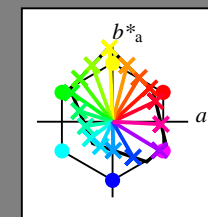


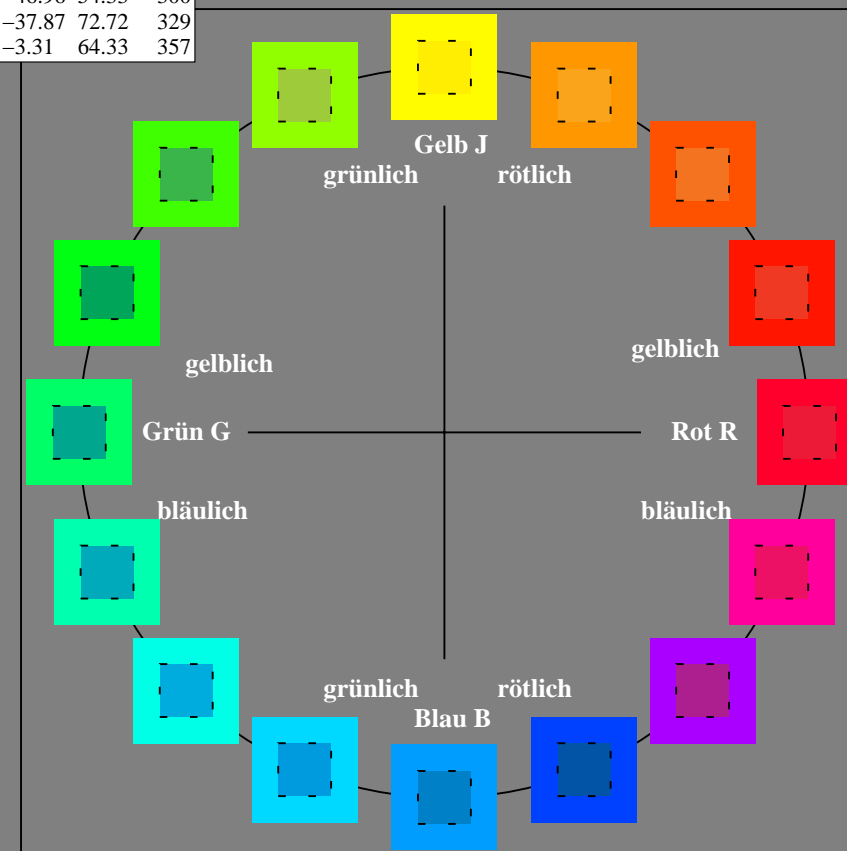
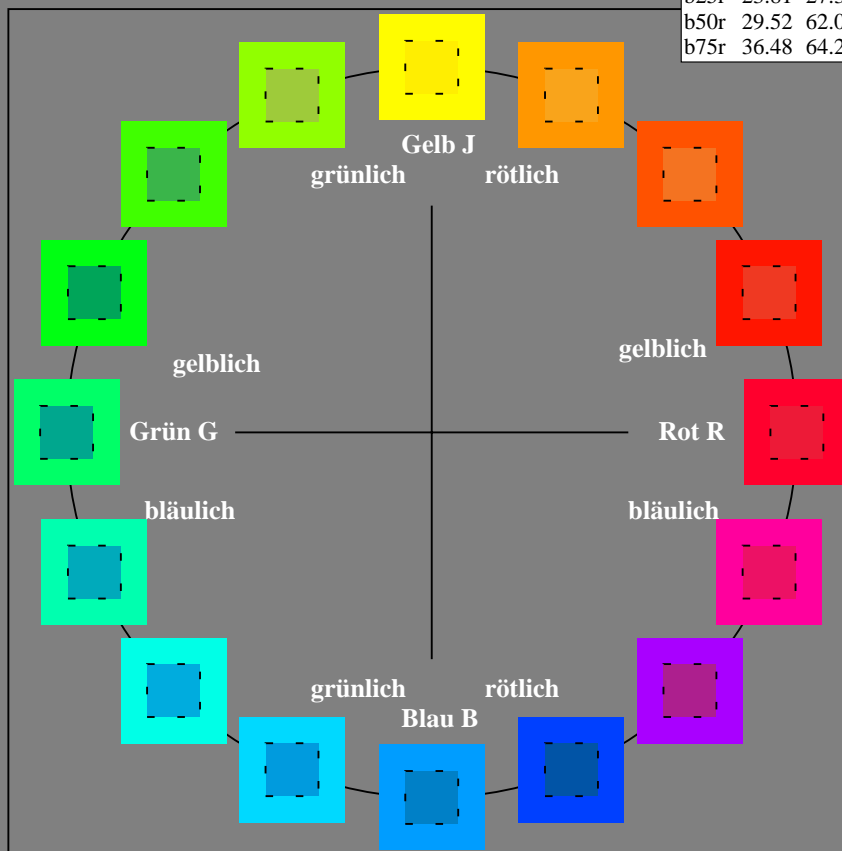
Ein und Ausgabe:  
Farbmetrisches Drucker-Reflektiv-System FRS15\_90a  
Daten für jede Farbe:  
 $lab^{*}ch^{*}$  und  $lab^{*}icu^{*}$   
Elementar-Bunttontext:  
 $u^{*} = 16$  Bunttöne  $r00j$ ,  $r25j$ , ...,  $b75r$   
Kontrastreduzierungsfaktor:  
 $c_R = 0.9$

FRS15_90a; adaptierte CIELAB-Daten					
	$L^{*}=L^{*}_a$	$a^{*}_a$	$b^{*}_a$	$C^{*}_{ab,a}$	$h^{*}_{ab,a}$
r00j	35.47	56.92	27.12	63.05	25
r25j	39.12	49.04	44.45	66.19	42
r50j	50.64	35.19	58.33	68.13	59
r75j	64.01	19.11	74.45	76.87	76
j00g	83.18	-3.93	97.56	97.64	92
j25g	66.73	-26.86	74.66	79.35	110
j50g	54.03	-43.42	57.07	71.71	127
j75g	44.73	-54.21	38.33	66.4	145
g00b	47.59	-44.11	14.14	46.33	162
g25b	49.97	-35.68	-6.03	36.19	190
g50b	51.85	-29.05	-21.88	36.38	217
g75b	46.92	-15.53	-32.37	35.92	244
b00r	37.91	1.15	-38.05	38.08	272
b25r	23.81	27.31	-46.96	54.33	300
b50r	29.52	62.07	-37.87	72.72	329
b75r	36.48	64.24	-3.31	64.33	357



%Umfang  
 $u^{*}_{rel} = 88$   
%Regularität  
 $g^{*}_{H,rel} = 31$   
 $g^{*}_{C,rel} = 40$

FRS15_90a; adaptierte CIELAB-Daten					
	$L^{*}=L^{*}_a$	$a^{*}_a$	$b^{*}_a$	$C^{*}_{ab,a}$	$h^{*}_{ab,a}$
OMa	35.06	53.93	39.55	66.88	36
YMa	83.77	-4.63	98.26	98.37	93
LMa	44.13	-56.32	43.36	71.09	142
CMa	52.66	-26.18	-28.74	38.89	228
VMa	14.15	45.22	-53.06	69.72	310
MMa	37.37	70.69	-30.1	76.83	337
NMa	15.0	0.0	0.0	0.0	0
WMa	90.0	0.0	0.0	0.0	0
RCIE	39.92	58.74	27.99	65.07	25
JCIE	81.26	-2.88	71.56	71.62	92
GCIE	52.23	-42.41	13.6	44.55	162
BCIE	30.57	1.41	-46.46	46.49	272





Ein und Ausgabe: Farbmetrisches Drucker-Reflektiv-System FRS15\_90a für relativen CIELAB-Buntton  $h^* = lab^*h^* = h_{ab}/360 = 42/360 = 0.117$

Daten für jede Farbe:

$lab^*ch^*$  und  $lab^*icu^*$

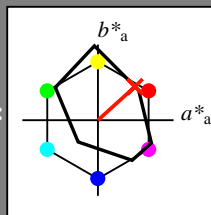
Elementar-Bunttontext:

$u^* = r25j$

Kontrastreduzierungsfaktor:

$c_R = 0.9$

Dreiecks-Helligkeit  $t^*$



FRS15\_90a; adaptierte CIELAB-Daten

	$L^*=L_a^*$	$a_a^*$	$b_a^*$	$C_{ab,a}^*$	$h_{ab,a}^*$
O <sub>Ma</sub>	35.06	53.93	39.55	66.88	36
Y <sub>Ma</sub>	83.77	-4.63	98.26	98.37	93
L <sub>Ma</sub>	44.13	-56.32	43.36	71.09	142
C <sub>Ma</sub>	52.66	-26.18	-28.74	38.89	228
V <sub>Ma</sub>	14.15	45.22	-53.06	69.72	310
M <sub>Ma</sub>	37.37	70.69	-30.1	76.83	337
N <sub>Ma</sub>	15.0	0.0	0.0	0.0	0
W <sub>Ma</sub>	90.0	0.0	0.0	0.0	0
R <sub>CIE</sub>	39.92	58.74	27.99	65.07	25
J <sub>CIE</sub>	81.26	-2.88	71.56	71.62	92
G <sub>CIE</sub>	52.23	-42.41	13.6	44.55	162
B <sub>CIE</sub>	30.57	1.41	-46.46	46.49	272

Daten für Maximalfarbe (Ma):

$LAB^*LAB^*_{Ma}$ : 39 49 44

$LAB^*LCH^*_{Ma}$ : 39 66 42

$lab^*rgb^*_{Ma}$ : 1.0 0.25 0.0

$lab^*olv^*_{Ma}$ : 1.0 0.08 0.0

Dreiecks-Helligkeit  $t^*$

%Umfang

$u^*_{rel} = 88$

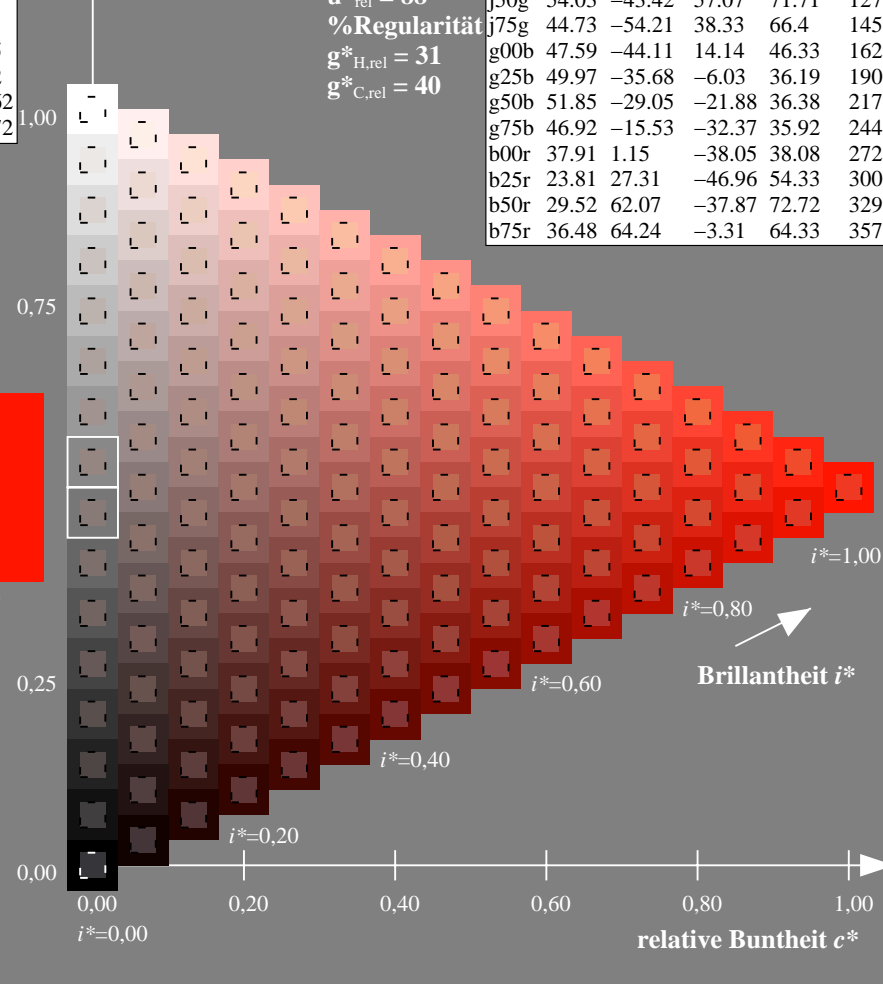
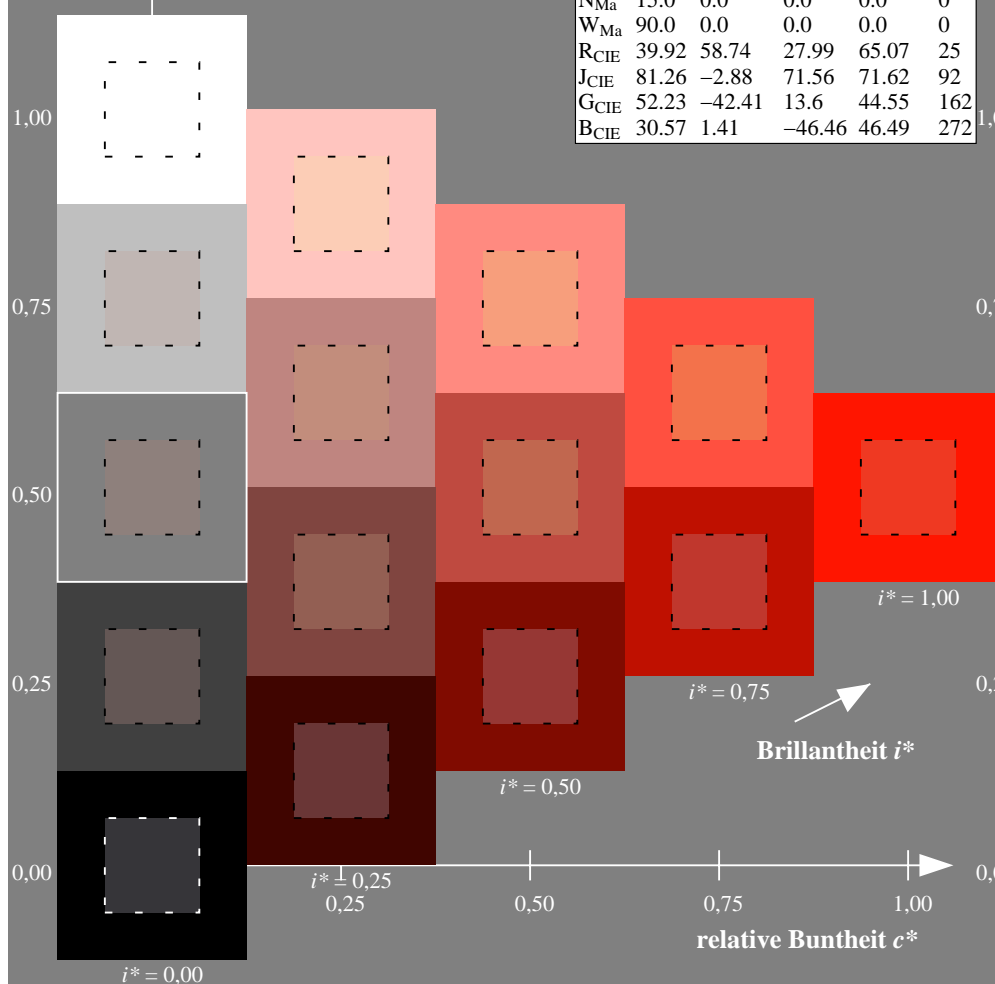
%Regularität

$g^*_{H,rel} = 31$

$g^*_{C,rel} = 40$

FRS15\_90a; adaptierte CIELAB-Daten

	$L^*=L_a^*$	$a_a^*$	$b_a^*$	$C_{ab,a}^*$	$h_{ab,a}^*$
r00j	35.47	56.92	27.12	63.05	25
r25j	39.12	49.04	44.45	66.19	42
r50j	50.64	35.19	58.33	68.13	59
r75j	64.01	19.11	74.45	76.87	76
j00g	83.18	-3.93	97.56	97.64	92
j25g	66.73	-26.86	74.66	79.35	110
j50g	54.03	-43.42	57.07	71.71	127
j75g	44.73	-54.21	38.33	66.4	145
g00b	47.59	-44.11	14.14	46.33	162
g25b	49.97	-35.68	-6.03	36.19	190
g50b	51.85	-29.05	-21.88	36.38	217
g75b	46.92	-15.53	-32.37	35.92	244
b00r	37.91	1.15	-38.05	38.08	272
b25r	23.81	27.31	-46.96	54.33	300
b50r	29.52	62.07	-37.87	72.72	329
b75r	36.48	64.24	-3.31	64.33	357



Ein und Ausgabe: Farbmetrisches Drucker-Reflektiv-System FRS15\_90a für relativen CIELAB-Buntton  $h^* = lab^*h^* = h_{ab}/360 = 59/360 = 0.164$

Daten für jede Farbe:

$lab^*ch^*$  und  $lab^*icu^*$

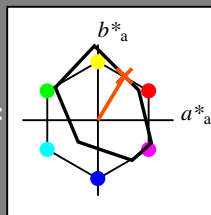
Elementar-Bunttontext:

$u^* = r50j$

Kontrastreduzierungsfaktor:

$c_R = 0.9$

Dreiecks-Helligkeit  $i^*$



FRS15\_90a; adaptierte CIELAB-Daten

	$L^*=L_a^*$	$a_a^*$	$b_a^*$	$C_{ab,a}^*$	$h_{ab,a}^*$
O <sub>Ma</sub>	35.06	53.93	39.55	66.88	36
Y <sub>Ma</sub>	83.77	-4.63	98.26	98.37	93
L <sub>Ma</sub>	44.13	-56.32	43.36	71.09	142
C <sub>Ma</sub>	52.66	-26.18	-28.74	38.89	228
V <sub>Ma</sub>	14.15	45.22	-53.06	69.72	310
M <sub>Ma</sub>	37.37	70.69	-30.1	76.83	337
N <sub>Ma</sub>	15.0	0.0	0.0	0.0	0
W <sub>Ma</sub>	90.0	0.0	0.0	0.0	0
R <sub>CIE</sub>	39.92	58.74	27.99	65.07	25
J <sub>CIE</sub>	81.26	-2.88	71.56	71.62	92
G <sub>CIE</sub>	52.23	-42.41	13.6	44.55	162
B <sub>CIE</sub>	30.57	1.41	-46.46	46.49	272

Daten für Maximalfarbe (Ma):

$LAB^*LAB^*_{Ma}$ : 51 35 58

$LAB^*LCH^*_{Ma}$ : 51 68 59

$lab^*rgb^*_{Ma}$ : 1.0 0.5 0.0

$lab^*olv^*_{Ma}$ : 1.0 0.32 0.0

Dreiecks-Helligkeit  $i^*$

%Umfang

$u^*_{rel} = 88$

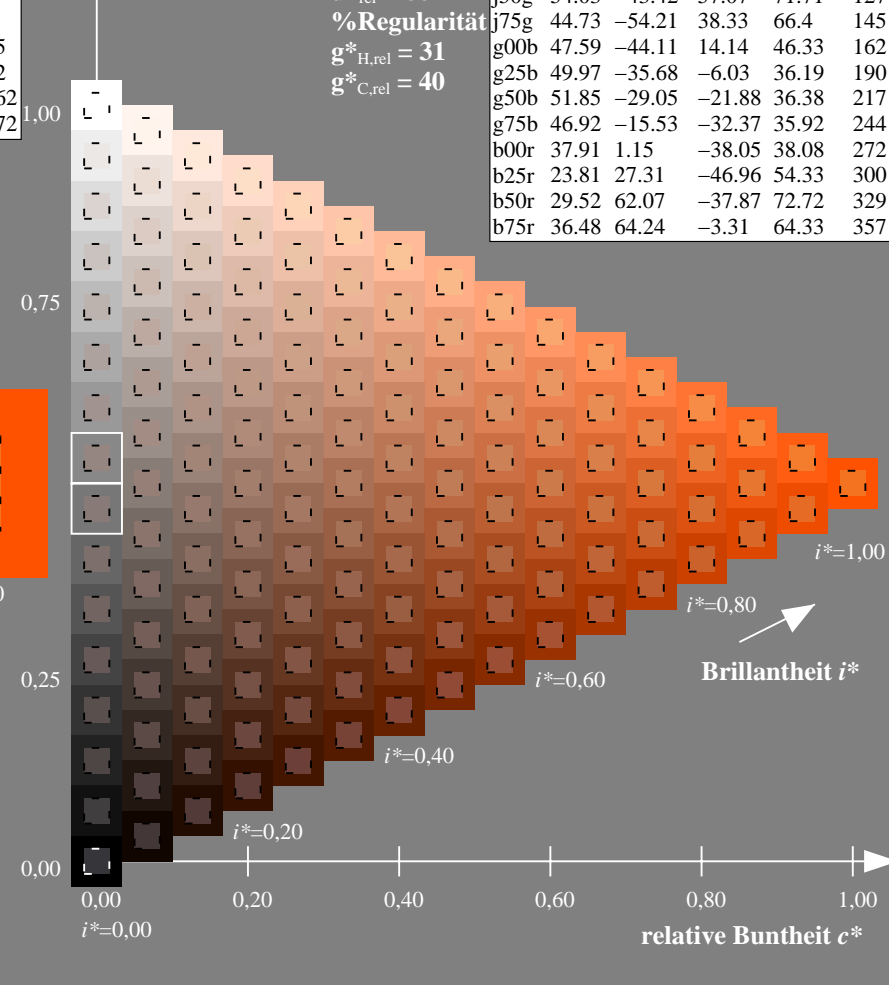
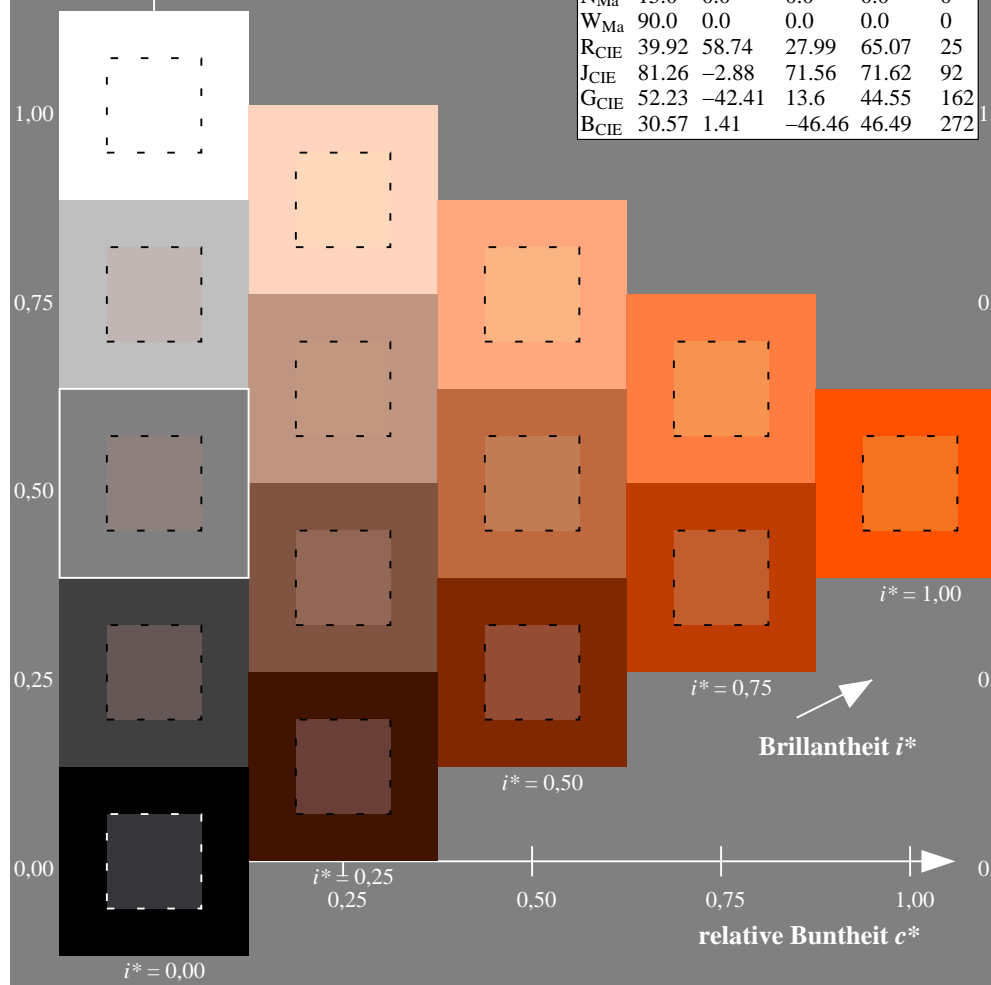
%Regularität

$g^*_{H,rel} = 31$

$g^*_{C,rel} = 40$

FRS15\_90a; adaptierte CIELAB-Daten

	$L^*=L_a^*$	$a_a^*$	$b_a^*$	$C_{ab,a}^*$	$h_{ab,a}^*$
r00j	35.47	56.92	27.12	63.05	25
r25j	39.12	49.04	44.45	66.19	42
r50j	50.64	35.19	58.33	68.13	59
r75j	64.01	19.11	74.45	76.87	76
j00g	83.18	-3.93	97.56	97.64	92
j25g	66.73	-26.86	74.66	79.35	110
j50g	54.03	-43.42	57.07	71.71	127
j75g	44.73	-54.21	38.33	66.4	145
g00b	47.59	-44.11	14.14	46.33	162
g25b	49.97	-35.68	-6.03	36.19	190
g50b	51.85	-29.05	-21.88	36.38	217
g75b	46.92	-15.53	-32.37	35.92	244
b00r	37.91	1.15	-38.05	38.08	272
b25r	23.81	27.31	-46.96	54.33	300
b50r	29.52	62.07	-37.87	72.72	329
b75r	36.48	64.24	-3.31	64.33	357



Ein und Ausgabe: Farbmetrisches Drucker-Reflektiv-System FRS15\_90a für relativen CIELAB-Buntton  $h^* = lab^*h^* = h_{ab}/360 = 76/360 = 0.21$

Daten für jede Farbe:

$lab^*ch^*$  und  $lab^*icu^*$

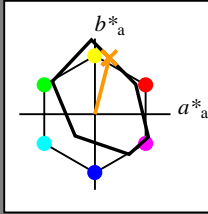
Elementar-Bunttontext:

$u^* = r75j$

Kontrastreduzierungsfaktor:

$c_R = 0.9$

Dreiecks-Helligkeit  $i^*$



FRS15\_90a; adaptierte CIELAB-Daten

	$L^*=L^*_a$	$a^*_a$	$b^*_a$	$C^*_{ab,a}$	$h^*_{ab,a}$
O <sub>Ma</sub>	35.06	53.93	39.55	66.88	36
Y <sub>Ma</sub>	83.77	-4.63	98.26	98.37	93
L <sub>Ma</sub>	44.13	-56.32	43.36	71.09	142
C <sub>Ma</sub>	52.66	-26.18	-28.74	38.89	228
V <sub>Ma</sub>	14.15	45.22	-53.06	69.72	310
M <sub>Ma</sub>	37.37	70.69	-30.1	76.83	337
N <sub>Ma</sub>	15.0	0.0	0.0	0.0	0
W <sub>Ma</sub>	90.0	0.0	0.0	0.0	0
R <sub>CIE</sub>	39.92	58.74	27.99	65.07	25
J <sub>CIE</sub>	81.26	-2.88	71.56	71.62	92
G <sub>CIE</sub>	52.23	-42.41	13.6	44.55	162
B <sub>CIE</sub>	30.57	1.41	-46.46	46.49	272

Daten für Maximalfarbe (Ma):

$LAB^*LAB^*_{Ma}$ : 64 19 74

$LAB^*LCH^*_{Ma}$ : 64 77 76

$lab^*rgb^*_{Ma}$ : 1.0 0.75 0.0

$lab^*olv^*_{Ma}$ : 1.0 0.59 0.0

Dreiecks-Helligkeit  $i^*$

%Umfang

$u^*_{rel} = 88$

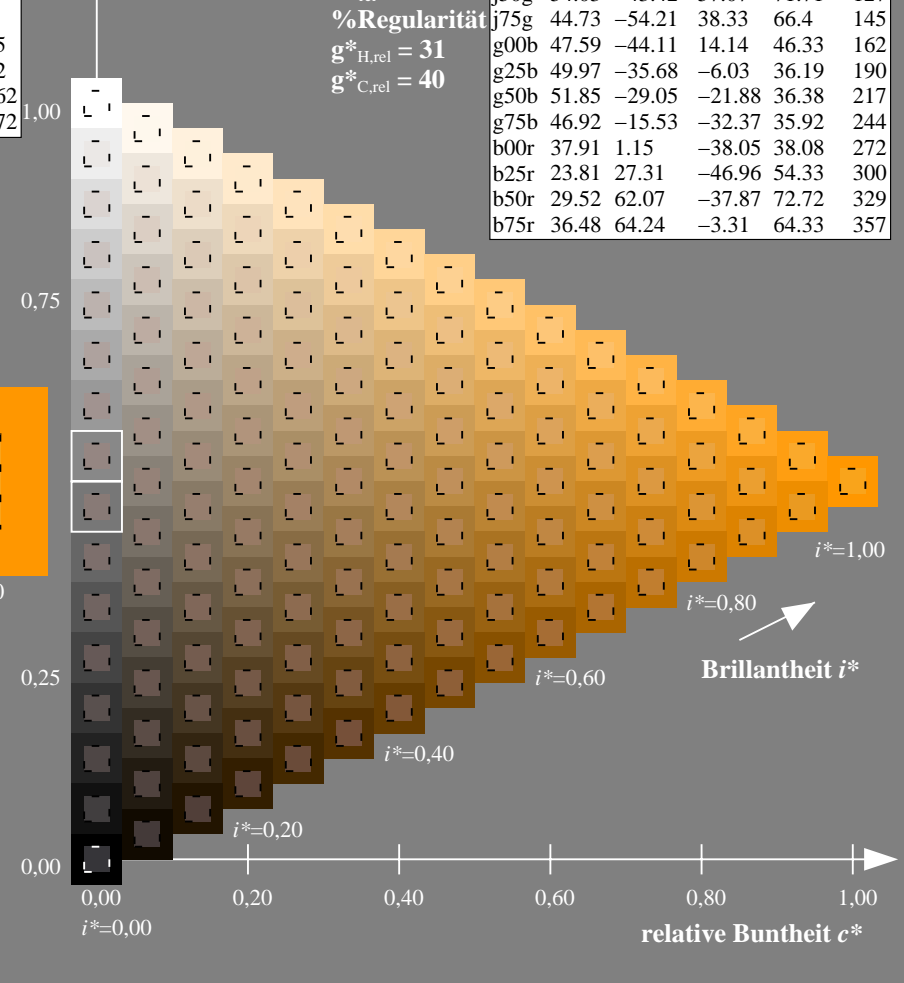
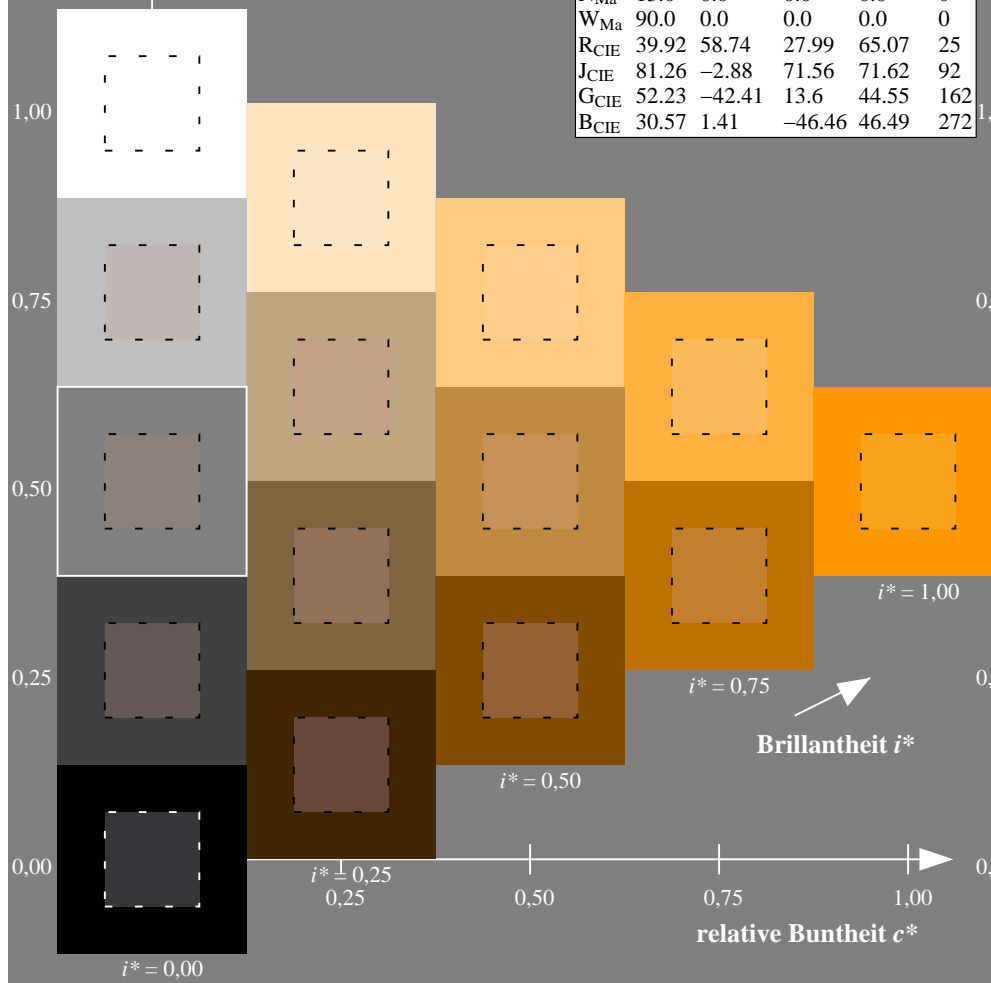
%Regularität

$g^*_{H,rel} = 31$

$g^*_{C,rel} = 40$

FRS15\_90a; adaptierte CIELAB-Daten

	$L^*=L^*_a$	$a^*_a$	$b^*_a$	$C^*_{ab,a}$	$h^*_{ab,a}$
r00j	35.47	56.92	27.12	63.05	25
r25j	39.12	49.04	44.45	66.19	42
r50j	50.64	35.19	58.33	68.13	59
r75j	64.01	19.11	74.45	76.87	76
j00g	83.18	-3.93	97.56	97.64	92
j25g	66.73	-26.86	74.66	79.35	110
j50g	54.03	-43.42	57.07	71.71	127
j75g	44.73	-54.21	38.33	66.4	145
g00b	47.59	-44.11	14.14	46.33	162
g25b	49.97	-35.68	-6.03	36.19	190
g50b	51.85	-29.05	-21.88	36.38	217
g75b	46.92	-15.53	-32.37	35.92	244
b00r	37.91	1.15	-38.05	38.08	272
b25r	23.81	27.31	-46.96	54.33	300
b50r	29.52	62.07	-37.87	72.72	329
b75r	36.48	64.24	-3.31	64.33	357



Ein und Ausgabe: Farbmetrisches Drucker-Reflektiv-System FRS15\_90a für relativen CIELAB-Buntton  $h^* = lab^*h^* = h_{ab}/360 = 92/360 = 0.256$

Daten für jede Farbe:

$lab^*ch^*$  und  $lab^*icu^*$

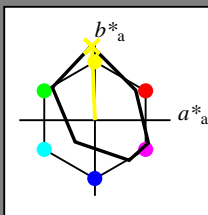
Elementar-Bunttontext:

$u^* = j00g$

Kontrastreduzierungsfaktor:

$c_R = 0.9$

Dreiecks-Helligkeit  $i^*$



FRS15\_90a; adaptierte CIELAB-Daten

	$L^*=L_a^*$	$a_a^*$	$b_a^*$	$C_{ab,a}^*$	$h_{ab,a}^*$
O <sub>Ma</sub>	35.06	53.93	39.55	66.88	36
Y <sub>Ma</sub>	83.77	-4.63	98.26	98.37	93
L <sub>Ma</sub>	44.13	-56.32	43.36	71.09	142
C <sub>Ma</sub>	52.66	-26.18	-28.74	38.89	228
V <sub>Ma</sub>	14.15	45.22	-53.06	69.72	310
M <sub>Ma</sub>	37.37	70.69	-30.1	76.83	337
N <sub>Ma</sub>	15.0	0.0	0.0	0.0	0
W <sub>Ma</sub>	90.0	0.0	0.0	0.0	0
R <sub>CIE</sub>	39.92	58.74	27.99	65.07	25
J <sub>CIE</sub>	81.26	-2.88	71.56	71.62	92
G <sub>CIE</sub>	52.23	-42.41	13.6	44.55	162
B <sub>CIE</sub>	30.57	1.41	-46.46	46.49	272

Daten für Maximalfarbe (Ma):

$LAB^*LAB^*_{Ma}$ : 83 -3 98

$LAB^*LCH^*_{Ma}$ : 83 98 92

$lab^*rgb^*_{Ma}$ : 1.0 1.0 0.0

$lab^*olv^*_{Ma}$ : 1.0 0.99 0.0

Dreiecks-Helligkeit  $i^*$

%Umfang

$u^*_{rel} = 88$

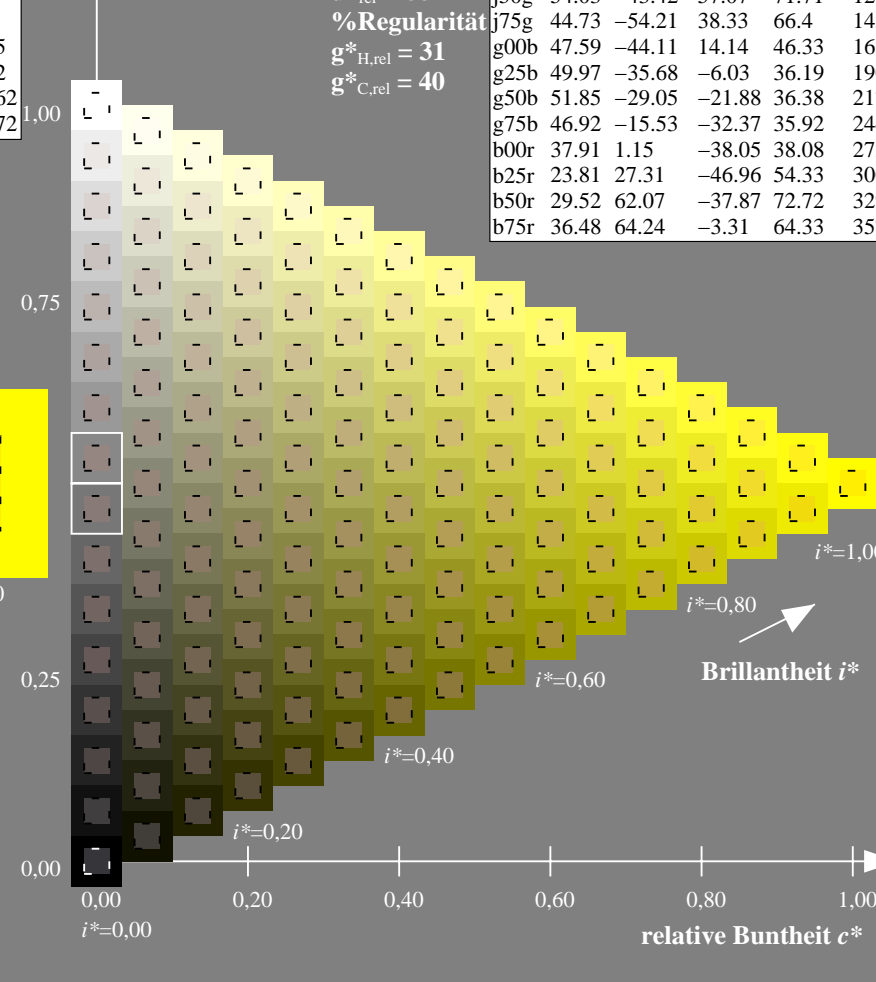
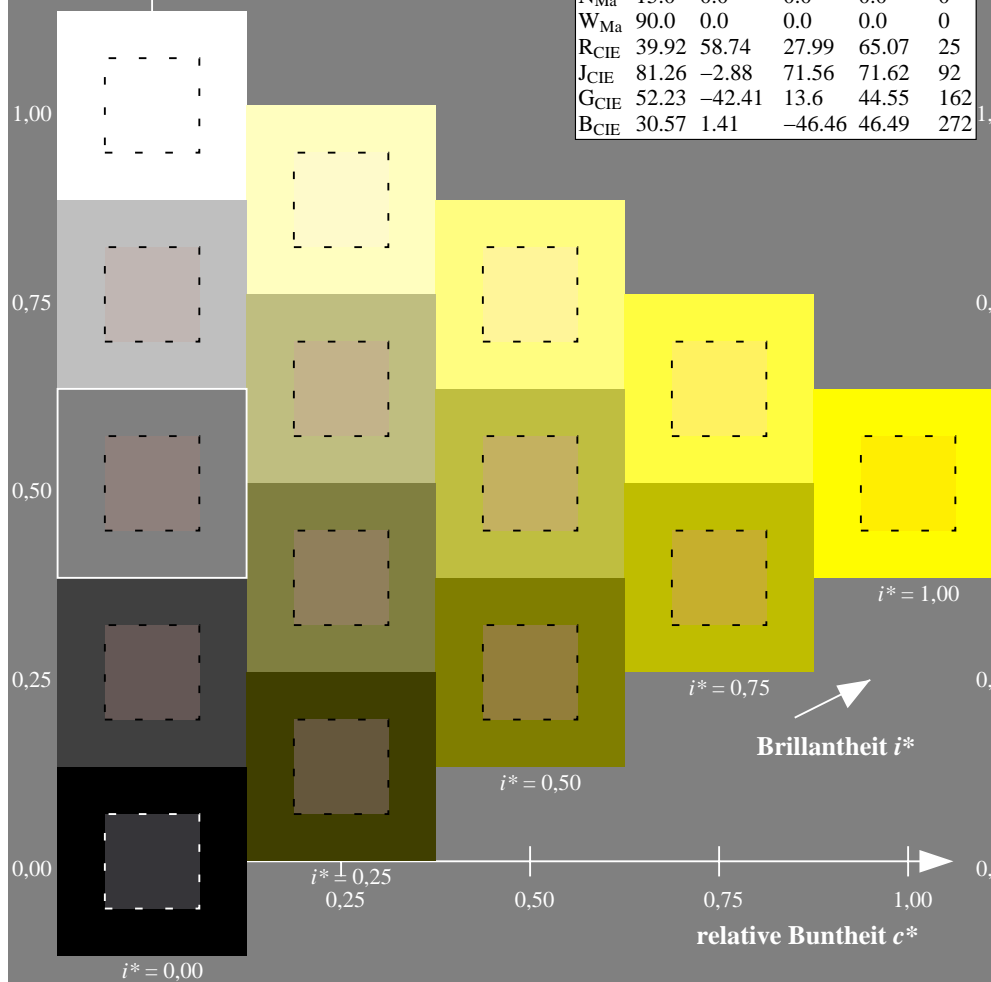
%Regularität

$g^*_{H,rel} = 31$

$g^*_{C,rel} = 40$

FRS15\_90a; adaptierte CIELAB-Daten

	$L^*=L_a^*$	$a_a^*$	$b_a^*$	$C_{ab,a}^*$	$h_{ab,a}^*$
r00j	35.47	56.92	27.12	63.05	25
r25j	39.12	49.04	44.45	66.19	42
r50j	50.64	35.19	58.33	68.13	59
r75j	64.01	19.11	74.45	76.87	76
j00g	83.18	-3.93	97.56	97.64	92
j25g	66.73	-26.86	74.66	79.35	110
j50g	54.03	-43.42	57.07	71.71	127
j75g	44.73	-54.21	38.33	66.4	145
g00b	47.59	-44.11	14.14	46.33	162
g25b	49.97	-35.68	-6.03	36.19	190
g50b	51.85	-29.05	-21.88	36.38	217
g75b	46.92	-15.53	-32.37	35.92	244
b00r	37.91	1.15	-38.05	38.08	272
b25r	23.81	27.31	-46.96	54.33	300
b50r	29.52	62.07	-37.87	72.72	329
b75r	36.48	64.24	-3.31	64.33	357





Ein und Ausgabe: Farbmetrisches Drucker-Reflektiv-System FRS15\_90a für relativen CIELAB-Buntton  $h^* = lab^*h^* = h_{ab}/360 = 110/360 = 0.305$

Daten für jede Farbe:

$lab^*ch^*$  und  $lab^*icu^*$

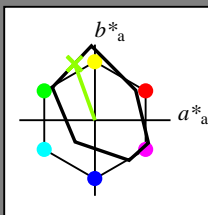
Elementar-Bunttontext:

$u^* = j25g$

Kontrastreduzierungsfaktor:

$c_R = 0.9$

Dreiecks-Helligkeit  $i^*$



FRS15\_90a; adaptierte CIELAB-Daten

	$L^*=L_a^*$	$a_a^*$	$b_a^*$	$C_{ab,a}^*$	$h_{ab,a}^*$
O <sub>Ma</sub>	35.06	53.93	39.55	66.88	36
Y <sub>Ma</sub>	83.77	-4.63	98.26	98.37	93
L <sub>Ma</sub>	44.13	-56.32	43.36	71.09	142
C <sub>Ma</sub>	52.66	-26.18	-28.74	38.89	228
V <sub>Ma</sub>	14.15	45.22	-53.06	69.72	310
M <sub>Ma</sub>	37.37	70.69	-30.1	76.83	337
N <sub>Ma</sub>	15.0	0.0	0.0	0.0	0
W <sub>Ma</sub>	90.0	0.0	0.0	0.0	0
R <sub>CIE</sub>	39.92	58.74	27.99	65.07	25
J <sub>CIE</sub>	81.26	-2.88	71.56	71.62	92
G <sub>CIE</sub>	52.23	-42.41	13.6	44.55	162
B <sub>CIE</sub>	30.57	1.41	-46.46	46.49	272

Daten für Maximalfarbe (Ma):

$LAB^*LAB^*_{Ma}$ : 67 -26 75

$LAB^*LCH^*_{Ma}$ : 67 79 110

$lab^*rgb^*_{Ma}$ : 0.75 1.0 0.0

$lab^*olv^*_{Ma}$ : 0.57 1.0 0.0

Dreiecks-Helligkeit  $i^*$

%Umfang

$u^*_{rel} = 88$

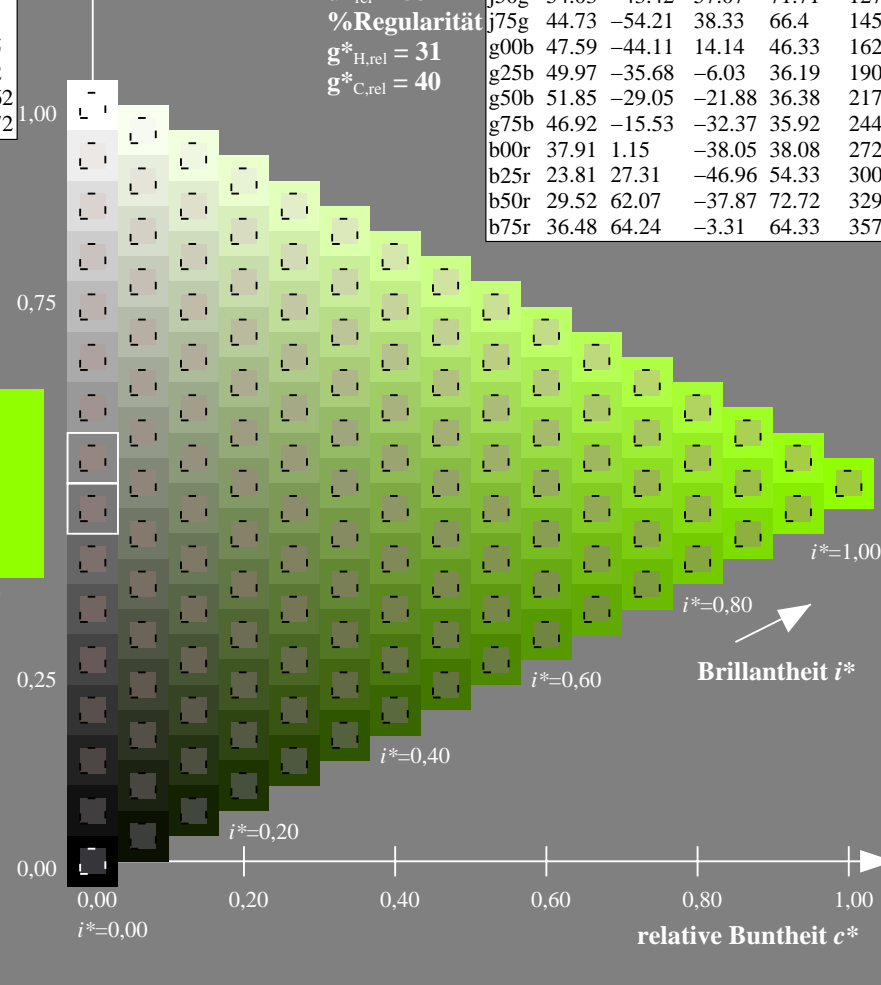
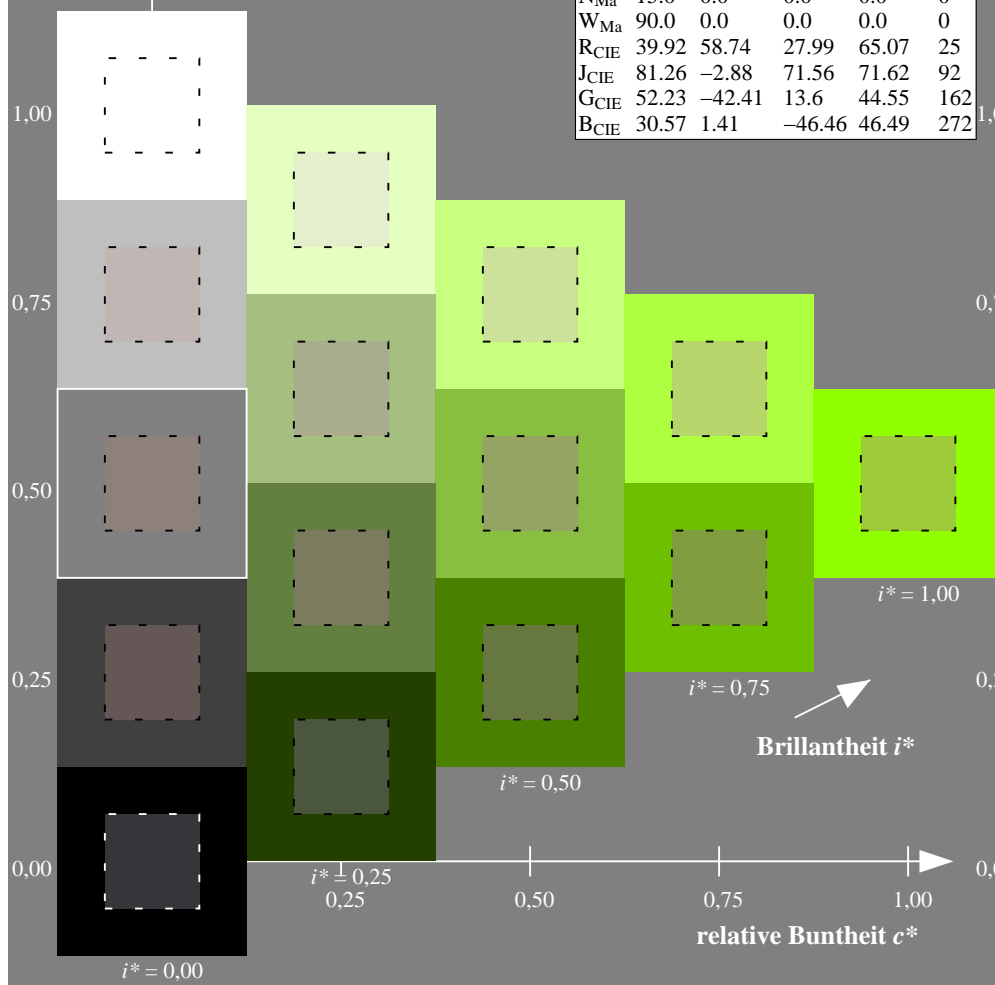
%Regularität

$g^*_{H,rel} = 31$

$g^*_{C,rel} = 40$

FRS15\_90a; adaptierte CIELAB-Daten

	$L^*=L_a^*$	$a_a^*$	$b_a^*$	$C_{ab,a}^*$	$h_{ab,a}^*$
r00j	35.47	56.92	27.12	63.05	25
r25j	39.12	49.04	44.45	66.19	42
r50j	50.64	35.19	58.33	68.13	59
r75j	64.01	19.11	74.45	76.87	76
j00g	83.18	-3.93	97.56	97.64	92
j25g	66.73	-26.86	74.66	79.35	110
j50g	54.03	-43.42	57.07	71.71	127
j75g	44.73	-54.21	38.33	66.4	145
g00b	47.59	-44.11	14.14	46.33	162
g25b	49.97	-35.68	-6.03	36.19	190
g50b	51.85	-29.05	-21.88	36.38	217
g75b	46.92	-15.53	-32.37	35.92	244
b00r	37.91	1.15	-38.05	38.08	272
b25r	23.81	27.31	-46.96	54.33	300
b50r	29.52	62.07	-37.87	72.72	329
b75r	36.48	64.24	-3.31	64.33	357



Ein und Ausgabe: Farbmetrisches Drucker-Reflektiv-System FRS15\_90a für relativen CIELAB-Buntton  $h^* = lab^*h^* = h_{ab}/360 = 127/360 = 0.354$

Daten für jede Farbe:

$lab^*ch^*$  und  $lab^*icu^*$

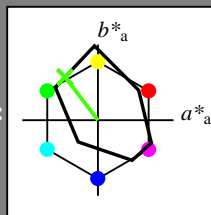
Elementar-Bunttontext:

$u^* = j50g$

Kontrastreduzierungsfaktor:

$c_R = 0.9$

Dreiecks-Helligkeit  $i^*$



FRS15\_90a; adaptierte CIELAB-Daten

	$L^*=L^*_a$	$a^*_a$	$b^*_a$	$C^*_{ab,a}$	$h^*_{ab,a}$
O <sub>Ma</sub>	35.06	53.93	39.55	66.88	36
Y <sub>Ma</sub>	83.77	-4.63	98.26	98.37	93
L <sub>Ma</sub>	44.13	-56.32	43.36	71.09	142
C <sub>Ma</sub>	52.66	-26.18	-28.74	38.89	228
V <sub>Ma</sub>	14.15	45.22	-53.06	69.72	310
M <sub>Ma</sub>	37.37	70.69	-30.1	76.83	337
N <sub>Ma</sub>	15.0	0.0	0.0	0.0	0
W <sub>Ma</sub>	90.0	0.0	0.0	0.0	0
R <sub>CIE</sub>	39.92	58.74	27.99	65.07	25
J <sub>CIE</sub>	81.26	-2.88	71.56	71.62	92
G <sub>CIE</sub>	52.23	-42.41	13.6	44.55	162
B <sub>CIE</sub>	30.57	1.41	-46.46	46.49	272

Daten für Maximalfarbe (Ma):

$LAB^*LAB^*_{Ma}$ : 54 -42 57

$LAB^*LCH^*_{Ma}$ : 54 72 127

$lab^*rgb^*_{Ma}$ : 0.5 1.0 0.0

$lab^*olv^*_{Ma}$ : 0.25 1.0 0.0

Dreiecks-Helligkeit  $i^*$

%Umfang

$u^*_{rel} = 88$

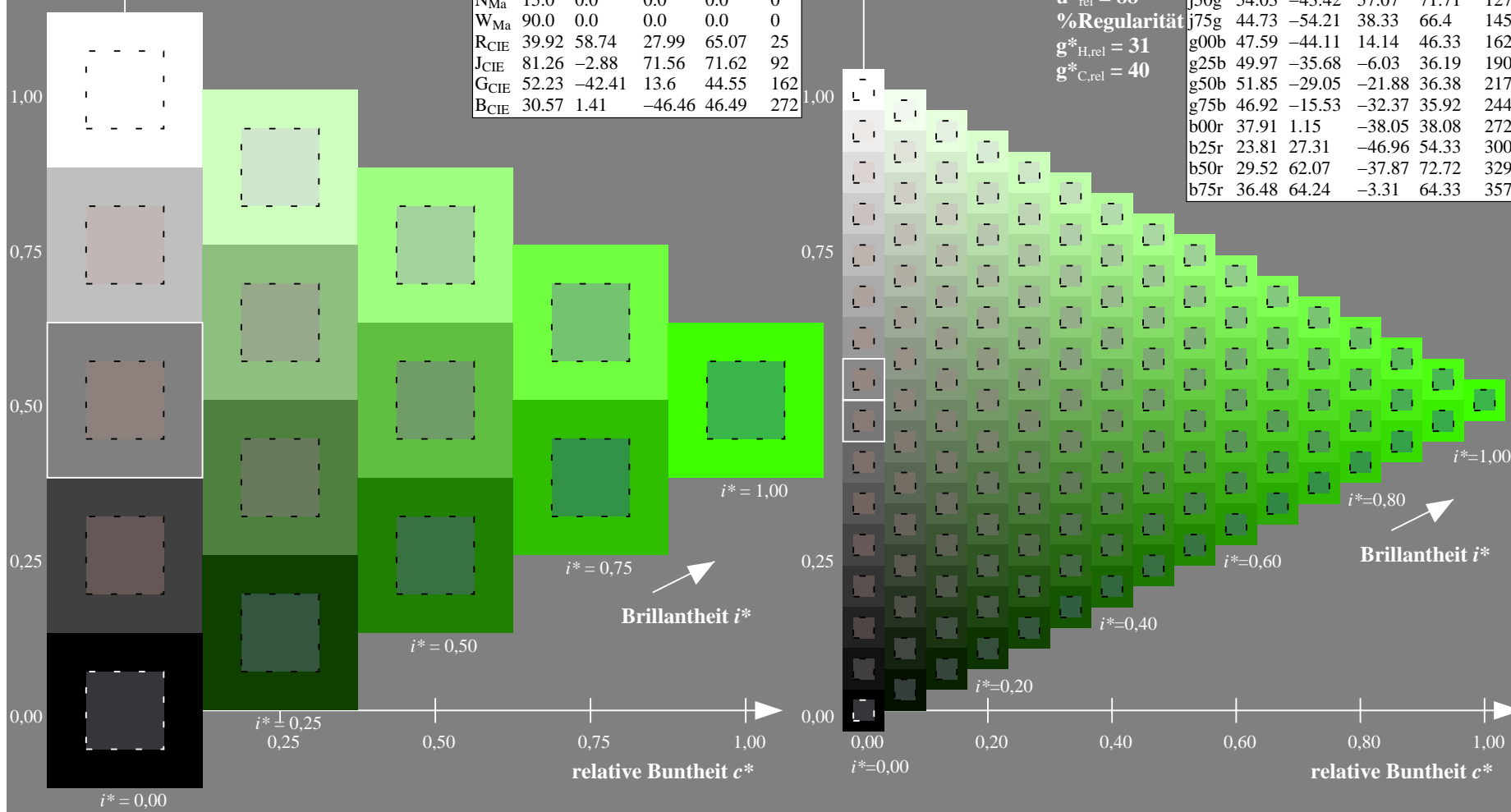
%Regularität

$g^*_{H,rel} = 31$

$g^*_{C,rel} = 40$

FRS15\_90a; adaptierte CIELAB-Daten

	$L^*=L^*_a$	$a^*_a$	$b^*_a$	$C^*_{ab,a}$	$h^*_{ab,a}$
r00j	35.47	56.92	27.12	63.05	25
r20j	39.12	49.04	44.45	66.19	42
r50j	50.64	35.19	58.33	68.13	59
r75j	64.01	19.11	74.45	76.87	76
j00g	83.18	-3.93	97.56	97.64	92
j25g	66.73	-26.86	74.66	79.35	110
j50g	54.03	-43.42	57.07	71.71	127
j75g	44.73	-54.21	38.33	66.4	145
g00b	47.59	-44.11	14.14	46.33	162
g25b	49.97	-35.68	-6.03	36.19	190
g50b	51.85	-29.05	-21.88	36.38	217
g75b	46.92	-15.53	-32.37	35.92	244
b00r	37.91	1.15	-38.05	38.08	272
b25r	23.81	27.31	-46.96	54.33	300
b50r	29.52	62.07	-37.87	72.72	329
b75r	36.48	64.24	-3.31	64.33	357





Ein und Ausgabe: Farbmetrisches Drucker-Reflektiv-System FRS15\_90a für relativen CIELAB-Buntton  $h^* = lab^*h^* = h_{ab}/360 = 145/360 = 0.402$

Daten für jede Farbe:

$lab^*ch^*$  und  $lab^*icu^*$

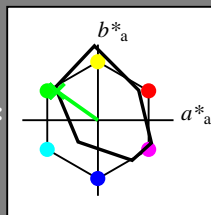
Elementar-Bunttontext:

$u^* = j75g$

Kontrastreduzierungsfaktor:

$c_R = 0.9$

Dreiecks-Helligkeit  $i^*$



FRS15\_90a; adaptierte CIELAB-Daten

	$L^*=L_a^*$	$a_a^*$	$b_a^*$	$C_{ab,a}^*$	$h_{ab,a}^*$
O <sub>Ma</sub>	35.06	53.93	39.55	66.88	36
Y <sub>Ma</sub>	83.77	-4.63	98.26	98.37	93
L <sub>Ma</sub>	44.13	-56.32	43.36	71.09	142
C <sub>Ma</sub>	52.66	-26.18	-28.74	38.89	228
V <sub>Ma</sub>	14.15	45.22	-53.06	69.72	310
M <sub>Ma</sub>	37.37	70.69	-30.1	76.83	337
N <sub>Ma</sub>	15.0	0.0	0.0	0.0	0
W <sub>Ma</sub>	90.0	0.0	0.0	0.0	0
R <sub>CIE</sub>	39.92	58.74	27.99	65.07	25
J <sub>CIE</sub>	81.26	-2.88	71.56	71.62	92
G <sub>CIE</sub>	52.23	-42.41	13.6	44.55	162
B <sub>CIE</sub>	30.57	1.41	-46.46	46.49	272

Daten für Maximalfarbe (Ma):

$LAB^*LAB^*_{Ma}$ : 45 -53 38

$LAB^*LCH^*_{Ma}$ : 45 66 145

$lab^*rgb^*_{Ma}$ : 0.25 1.0 0.0

$lab^*olv^*_{Ma}$ : 0.0 1.0 0.07

Dreiecks-Helligkeit  $i^*$

%Umfang

$u^*_{rel} = 88$

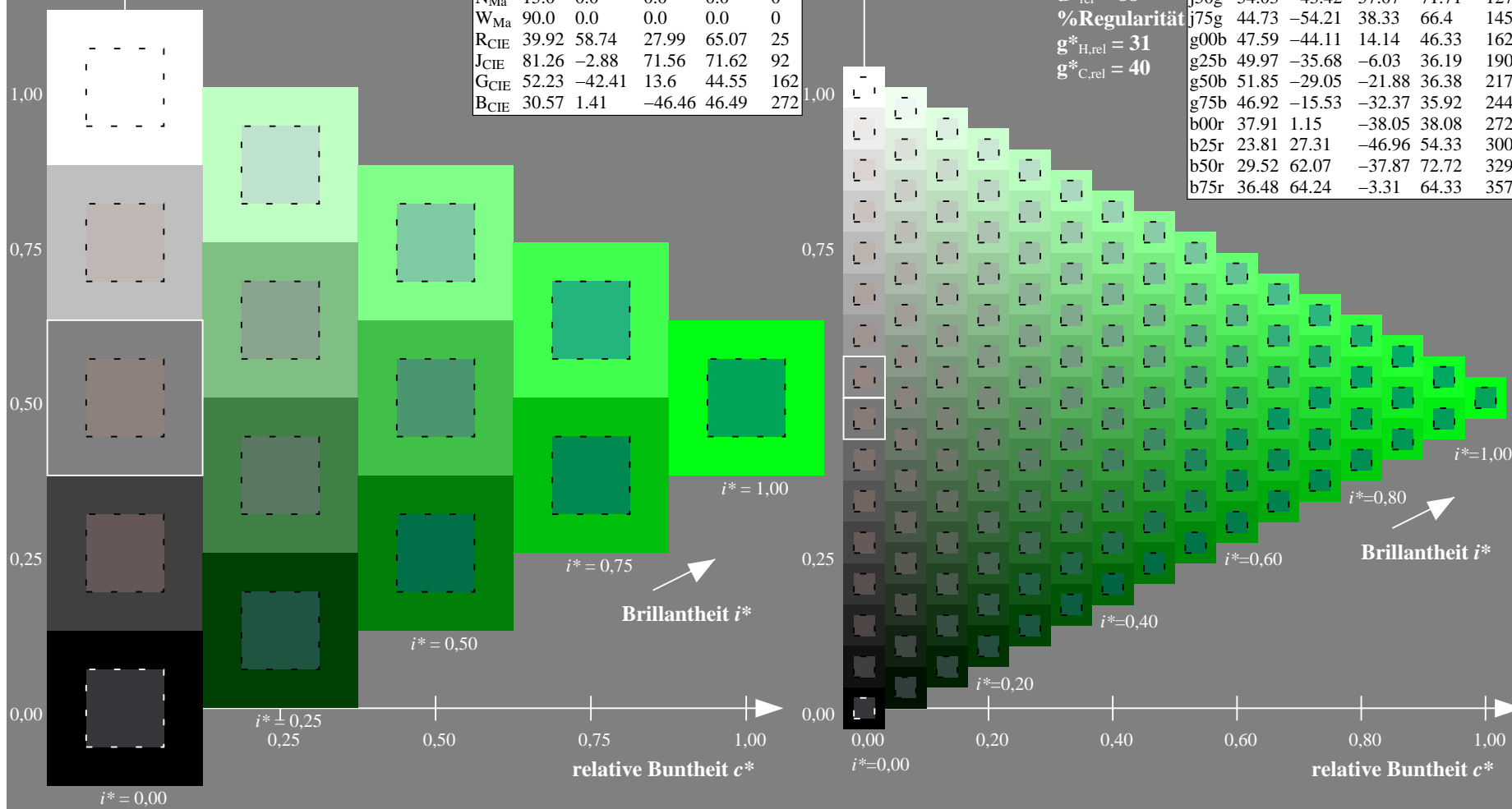
%Regularität

$g^*_{H,rel} = 31$

$g^*_{C,rel} = 40$

FRS15\_90a; adaptierte CIELAB-Daten

	$L^*=L_a^*$	$a_a^*$	$b_a^*$	$C_{ab,a}^*$	$h_{ab,a}^*$
r00j	35.47	56.92	27.12	63.05	25
r25j	39.12	49.04	44.45	66.19	42
r50j	50.64	35.19	58.33	68.13	59
r75j	64.01	19.11	74.45	76.87	76
j00g	83.18	-3.93	97.56	97.64	92
j25g	66.73	-26.86	74.66	79.35	110
j50g	54.03	-43.42	57.07	71.71	127
j75g	44.73	-54.21	38.33	66.4	145
g00b	47.59	-44.11	14.14	46.33	162
g25b	49.97	-35.68	-6.03	36.19	190
g50b	51.85	-29.05	-21.88	36.38	217
g75b	46.92	-15.53	-32.37	35.92	244
b00r	37.91	1.15	-38.05	38.08	272
b25r	23.81	27.31	-46.96	54.33	300
b50r	29.52	62.07	-37.87	72.72	329
b75r	36.48	64.24	-3.31	64.33	357



Ein und Ausgabe: Farbmetrisches Drucker-Reflektiv-System FRS15\_90a für relativen CIELAB-Buntton  $h^* = lab^*h^* = h_{ab}/360 = 162/360 = 0.451$

Daten für jede Farbe:

$lab^*ch^*$  und  $lab^*icu^*$

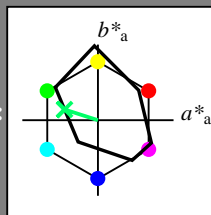
Elementar-Bunttontext:

$u^* = g00b$

Kontrastreduzierungsfaktor:

$c_R = 0.9$

Dreiecks-Helligkeit  $i^*$



FRS15\_90a; adaptierte CIELAB-Daten

	$L^*=L_a^*$	$a_a^*$	$b_a^*$	$C_{ab,a}^*$	$h_{ab,a}^*$
O <sub>Ma</sub>	35.06	53.93	39.55	66.88	36
Y <sub>Ma</sub>	83.77	-4.63	98.26	98.37	93
L <sub>Ma</sub>	44.13	-56.32	43.36	71.09	142
C <sub>Ma</sub>	52.66	-26.18	-28.74	38.89	228
V <sub>Ma</sub>	14.15	45.22	-53.06	69.72	310
M <sub>Ma</sub>	37.37	70.69	-30.1	76.83	337
N <sub>Ma</sub>	15.0	0.0	0.0	0.0	0
W <sub>Ma</sub>	90.0	0.0	0.0	0.0	0
R <sub>CIE</sub>	39.92	58.74	27.99	65.07	25
J <sub>CIE</sub>	81.26	-2.88	71.56	71.62	92
G <sub>CIE</sub>	52.23	-42.41	13.6	44.55	162
B <sub>CIE</sub>	30.57	1.41	-46.46	46.49	272

Daten für Maximalfarbe (Ma):

$LAB^*LAB^*_{Ma}$ : 48 -43 14

$LAB^*LCH^*_{Ma}$ : 48 46 162

$lab^*rgb^*_{Ma}$ : 0.0 1.0 0.0

$lab^*olv^*_{Ma}$ : 0.0 1.0 0.41

Dreiecks-Helligkeit  $i^*$

%Umfang

$u^*_{rel} = 88$

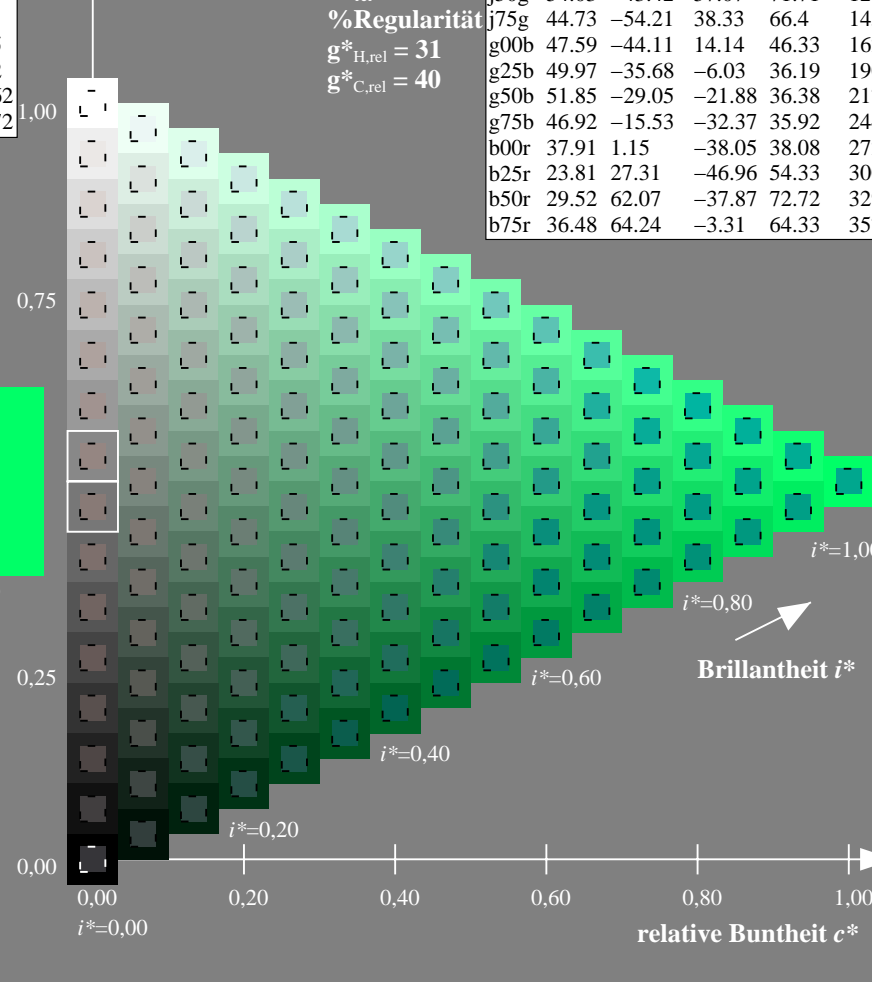
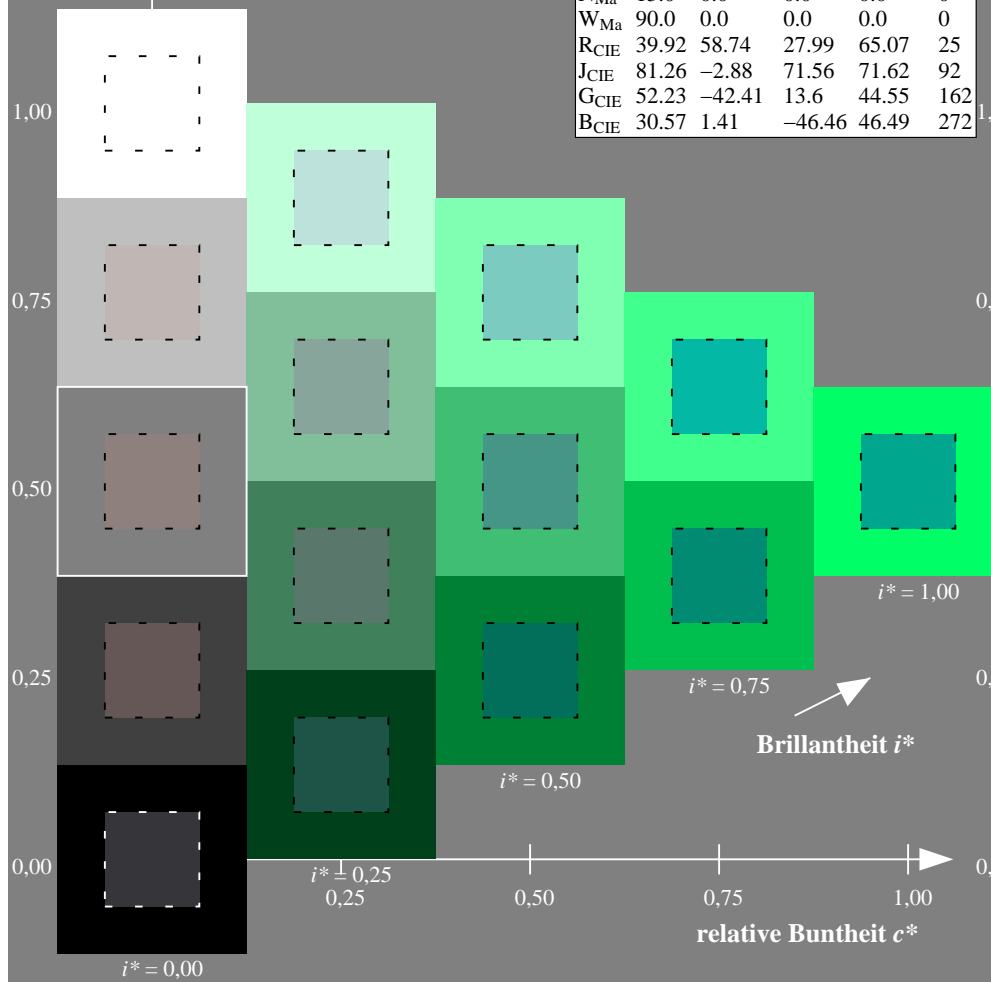
%Regularität

$g^*_{H,rel} = 31$

$g^*_{C,rel} = 40$

FRS15\_90a; adaptierte CIELAB-Daten

	$L^*=L_a^*$	$a_a^*$	$b_a^*$	$C_{ab,a}^*$	$h_{ab,a}^*$
r00j	35.47	56.92	27.12	63.05	25
r25j	39.12	49.04	44.45	66.19	42
r50j	50.64	35.19	58.33	68.13	59
r75j	64.01	19.11	74.45	76.87	76
j00g	83.18	-3.93	97.56	97.64	92
j25g	66.73	-26.86	74.66	79.35	110
j50g	54.03	-43.42	57.07	71.71	127
j75g	44.73	-54.21	38.33	66.4	145
g00b	47.59	-44.11	14.14	46.33	162
g25b	49.97	-35.68	-6.03	36.19	190
g50b	51.85	-29.05	-21.88	36.38	217
g75b	46.92	-15.53	-32.37	35.92	244
b00r	37.91	1.15	-38.05	38.08	272
b25r	23.81	27.31	-46.96	54.33	300
b50r	29.52	62.07	-37.87	72.72	329
b75r	36.48	64.24	-3.31	64.33	357



Ein und Ausgabe: Farbmetrisches Drucker-Reflektiv-System FRS15\_90a für relativen CIELAB-Buntton  $h^* = lab^*h^* = h_{ab}/360 = 190/360 = 0.527$

Daten für jede Farbe:

$lab^*ch^*$  und  $lab^*icu^*$

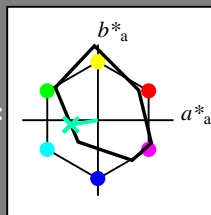
Elementar-Bunttontext:

$u^* = g25b$

Kontrastreduzierungsfaktor:

$c_R = 0.9$

Dreiecks-Helligkeit  $i^*$



FRS15\_90a; adaptierte CIELAB-Daten

	$L^*=L_a^*$	$a_a^*$	$b_a^*$	$C_{ab,a}^*$	$h_{ab,a}^*$
O <sub>Ma</sub>	35.06	53.93	39.55	66.88	36
Y <sub>Ma</sub>	83.77	-4.63	98.26	98.37	93
L <sub>Ma</sub>	44.13	-56.32	43.36	71.09	142
C <sub>Ma</sub>	52.66	-26.18	-28.74	38.89	228
V <sub>Ma</sub>	14.15	45.22	-53.06	69.72	310
M <sub>Ma</sub>	37.37	70.69	-30.1	76.83	337
N <sub>Ma</sub>	15.0	0.0	0.0	0.0	0
W <sub>Ma</sub>	90.0	0.0	0.0	0.0	0
R <sub>CIE</sub>	39.92	58.74	27.99	65.07	25
J <sub>CIE</sub>	81.26	-2.88	71.56	71.62	92
G <sub>CIE</sub>	52.23	-42.41	13.6	44.55	162
B <sub>CIE</sub>	30.57	1.41	-46.46	46.49	272

Daten für Maximalfarbe (Ma):

$LAB^*LAB^*Ma$ : 50 -35 -5

$LAB^*LCH^*Ma$ : 50 36 190

$lab^*rgb^*Ma$ : 0.0 1.0 0.5

$lab^*olv^*Ma$ : 0.0 1.0 0.69

Dreiecks-Helligkeit  $i^*$

%Umfang

$u^*_{rel} = 88$

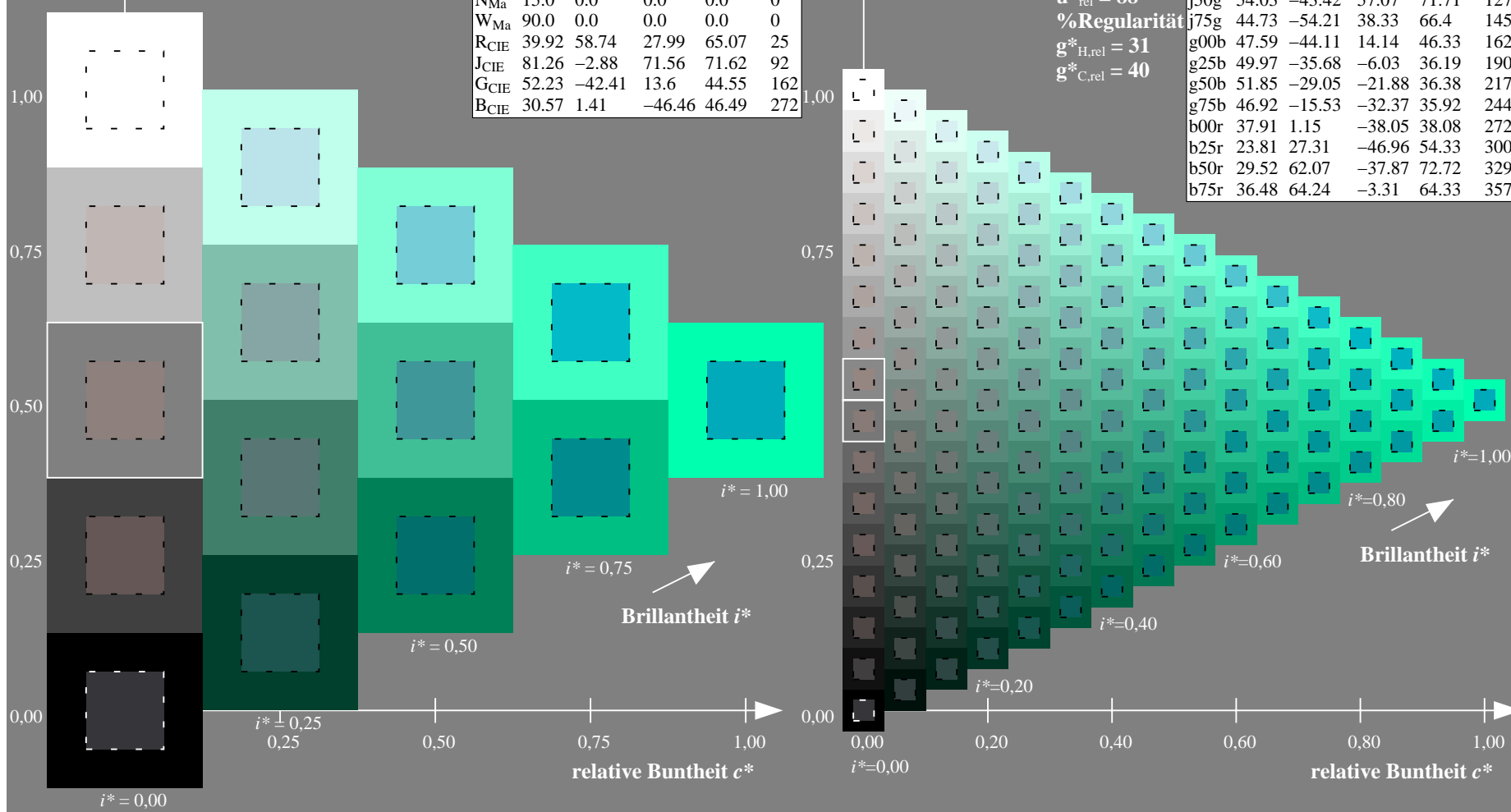
%Regularität

$g^*_{H,rel} = 31$

$g^*_{C,rel} = 40$

FRS15\_90a; adaptierte CIELAB-Daten

	$L^*=L_a^*$	$a_a^*$	$b_a^*$	$C_{ab,a}^*$	$h_{ab,a}^*$
r00j	35.47	56.92	27.12	63.05	25
r25j	39.12	49.04	44.45	66.19	42
r50j	50.64	35.19	58.33	68.13	59
r75j	64.01	19.11	74.45	76.87	76
j00g	83.18	-3.93	97.56	97.64	92
j25g	66.73	-26.86	74.66	79.35	110
j50g	54.03	-43.42	57.07	71.71	127
j75g	44.73	-54.21	38.33	66.4	145
g00b	47.59	-44.11	14.14	46.33	162
g25b	49.97	-35.68	-6.03	36.19	190
g50b	51.85	-29.05	-21.88	36.38	217
g75b	46.92	-15.53	-32.37	35.92	244
b00r	37.91	1.15	-38.05	38.08	272
b25r	23.81	27.31	-46.96	54.33	300
b50r	29.52	62.07	-37.87	72.72	329
b75r	36.48	64.24	-3.31	64.33	357



Ein und Ausgabe: Farbmetrisches Drucker-Reflektiv-System FRS15\_90a für relativen CIELAB-Buntton  $h^* = lab^*h^* = h_{ab}/360 = 217/360 = 0.603$

Daten für jede Farbe:

$lab^*ch^*$  und  $lab^*icu^*$

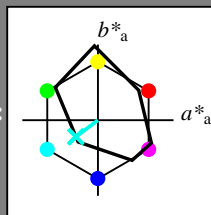
Elementar-Bunttontext:

$u^* = g50b$

Kontrastreduzierungsfaktor:

$c_R = 0.9$

Dreiecks-Helligkeit  $i^*$



FRS15\_90a; adaptierte CIELAB-Daten

	$L^*=L_a^*$	$a_a^*$	$b_a^*$	$C_{ab,a}^*$	$h_{ab,a}^*$
O <sub>Ma</sub>	35.06	53.93	39.55	66.88	36
Y <sub>Ma</sub>	83.77	-4.63	98.26	98.37	93
L <sub>Ma</sub>	44.13	-56.32	43.36	71.09	142
C <sub>Ma</sub>	52.66	-26.18	-28.74	38.89	228
V <sub>Ma</sub>	14.15	45.22	-53.06	69.72	310
M <sub>Ma</sub>	37.37	70.69	-30.1	76.83	337
N <sub>Ma</sub>	15.0	0.0	0.0	0.0	0
W <sub>Ma</sub>	90.0	0.0	0.0	0.0	0
R <sub>CIE</sub>	39.92	58.74	27.99	65.07	25
J <sub>CIE</sub>	81.26	-2.88	71.56	71.62	92
G <sub>CIE</sub>	52.23	-42.41	13.6	44.55	162
B <sub>CIE</sub>	30.57	1.41	-46.46	46.49	272

Daten für Maximalfarbe (Ma):

$LAB^*LAB^*_{Ma}$ : 52 -28 -21

$LAB^*LCH^*_{Ma}$ : 52 36 217

$lab^*rgb^*_{Ma}$ : 0.0 1.0 1.0

$lab^*olv^*_{Ma}$ : 0.0 1.0 0.9

Dreiecks-Helligkeit  $i^*$

%Umfang

$u^*_{rel} = 88$

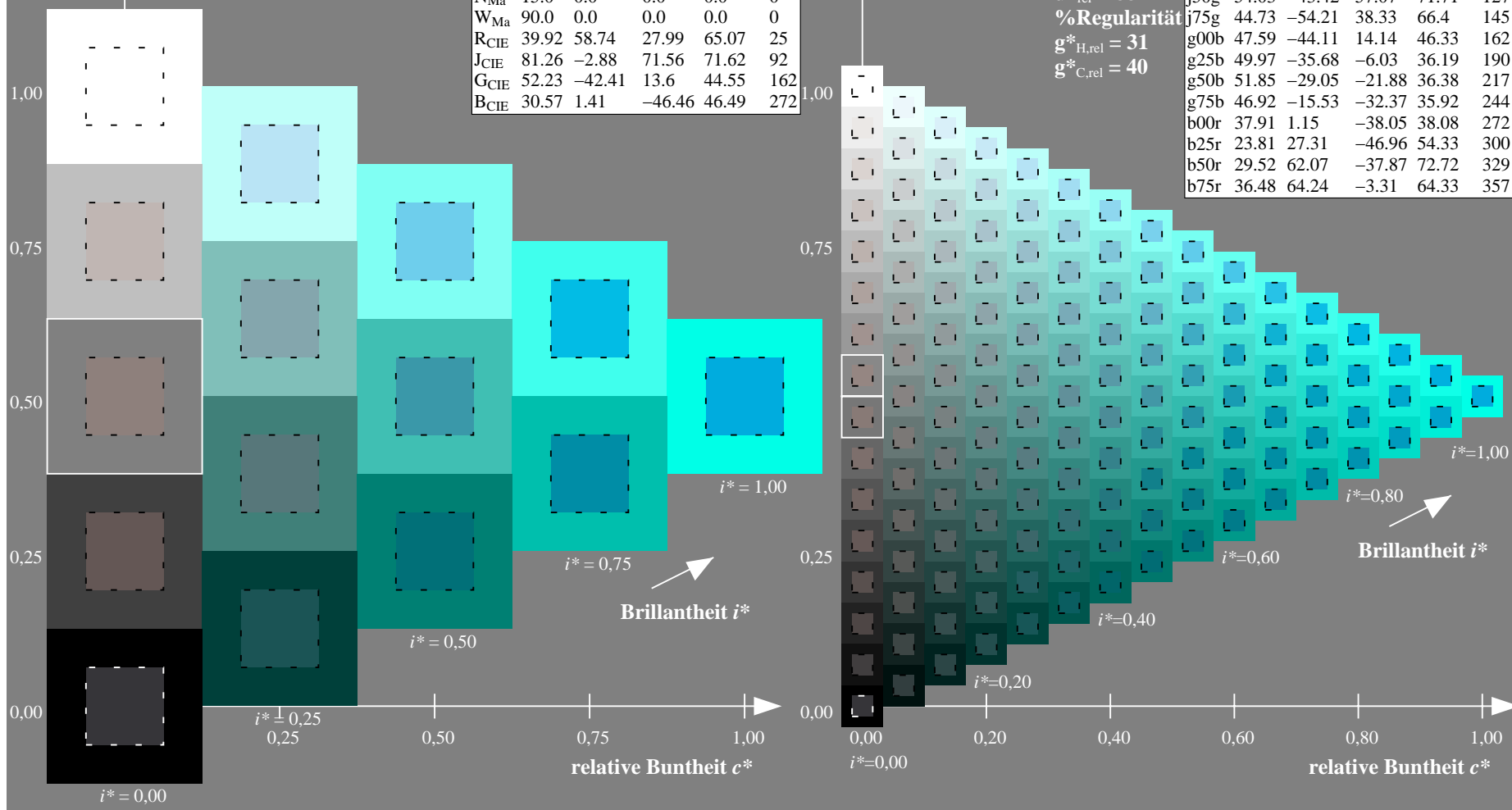
%Regularität

$g^*_{H,rel} = 31$

$g^*_{C,rel} = 40$

FRS15\_90a; adaptierte CIELAB-Daten

	$L^*=L_a^*$	$a_a^*$	$b_a^*$	$C_{ab,a}^*$	$h_{ab,a}^*$
r00j	35.47	56.92	27.12	63.05	25
r25j	39.12	49.04	44.45	66.19	42
r50j	50.64	35.19	58.33	68.13	59
r75j	64.01	19.11	74.45	76.87	76
j00g	83.18	-3.93	97.56	97.64	92
j25g	66.73	-26.86	74.66	79.35	110
j50g	54.03	-43.42	57.07	71.71	127
j75g	44.73	-54.21	38.33	66.4	145
g00b	47.59	-44.11	14.14	46.33	162
g25b	49.97	-35.68	-6.03	36.19	190
g50b	51.85	-29.05	-21.88	36.38	217
g75b	46.92	-15.53	-32.37	35.92	244
b00r	37.91	1.15	-38.05	38.08	272
b25r	23.81	27.31	-46.96	54.33	300
b50r	29.52	62.07	-37.87	72.72	329
b75r	36.48	64.24	-3.31	64.33	357



Ein und Ausgabe: Farbmetrisches Drucker-Reflektiv-System FRS15\_90a für relativen CIELAB-Buntton  $h^* = lab^*h^* = h_{ab}/360 = 244/360 = 0.679$

Daten für jede Farbe:

$lab^*ch^*$  und  $lab^*icu^*$

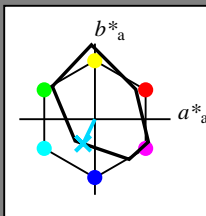
Elementar-Bunttontext:

$u^* = g75b$

Kontrastreduzierungsfaktor:

$c_R = 0.9$

Dreiecks-Helligkeit  $i^*$



FRS15\_90a; adaptierte CIELAB-Daten

	$L^*=L^*_a$	$a^*_a$	$b^*_a$	$C^*_{ab,a}$	$h^*_{ab,a}$
O <sub>Ma</sub>	35.06	53.93	39.55	66.88	36
Y <sub>Ma</sub>	83.77	-4.63	98.26	98.37	93
L <sub>Ma</sub>	44.13	-56.32	43.36	71.09	142
C <sub>Ma</sub>	52.66	-26.18	-28.74	38.89	228
V <sub>Ma</sub>	14.15	45.22	-53.06	69.72	310
M <sub>Ma</sub>	37.37	70.69	-30.1	76.83	337
N <sub>Ma</sub>	15.0	0.0	0.0	0.0	0
W <sub>Ma</sub>	90.0	0.0	0.0	0.0	0
R <sub>CIE</sub>	39.92	58.74	27.99	65.07	25
J <sub>CIE</sub>	81.26	-2.88	71.56	71.62	92
G <sub>CIE</sub>	52.23	-42.41	13.6	44.55	162
B <sub>CIE</sub>	30.57	1.41	-46.46	46.49	272

Daten für Maximalfarbe (Ma):

$LAB^*LAB^*_{Ma}$ : 47 -15 -31

$LAB^*LCH^*_{Ma}$ : 47 36 244

$lab^*rgb^*_{Ma}$ : 0.0 0.5 1.0

$lab^*olv^*_{Ma}$ : 0.0 0.85 1.0

Dreiecks-Helligkeit  $i^*$

%Umfang

$u^*_{rel} = 88$

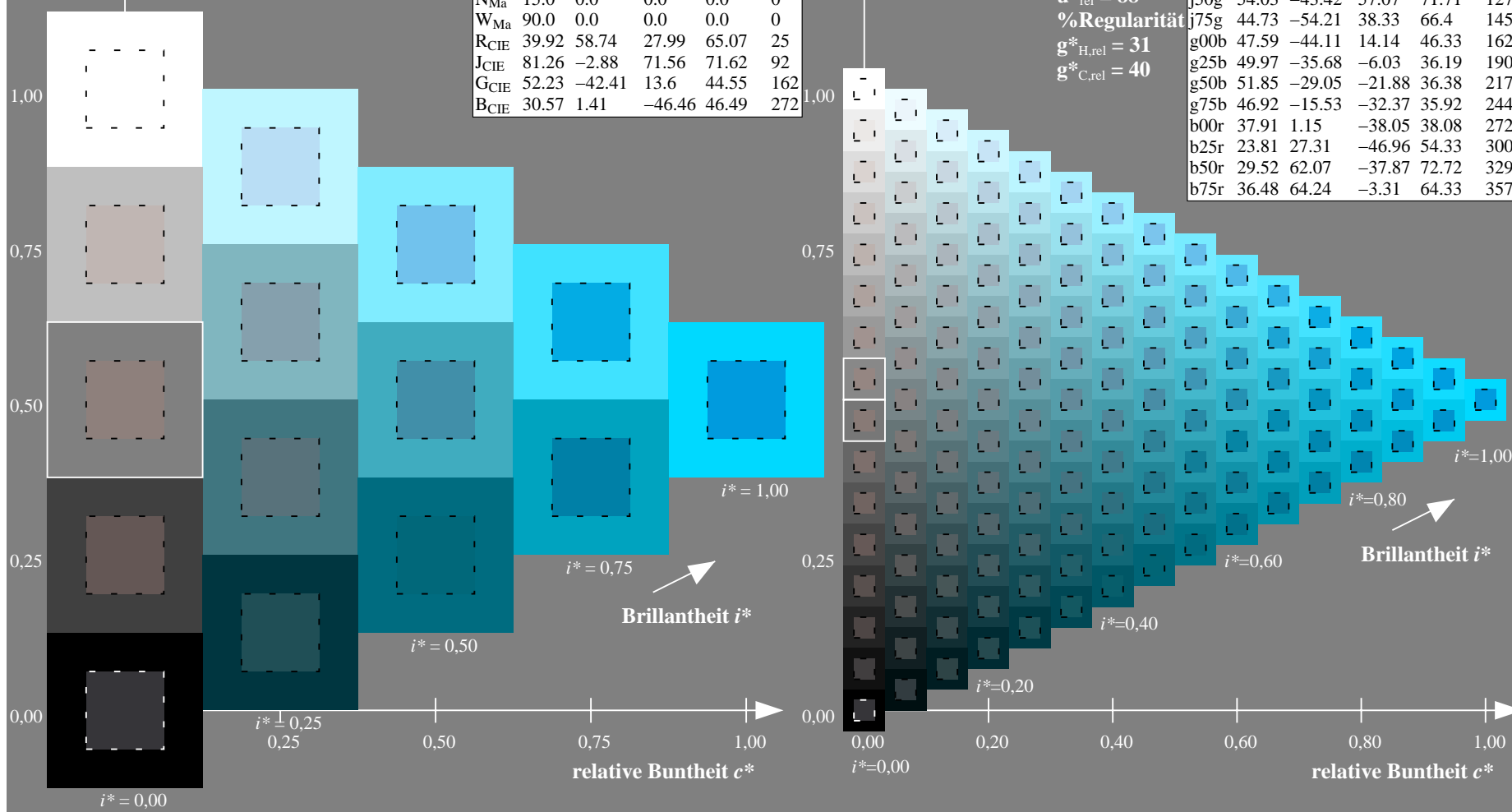
%Regularität

$g^*_{H,rel} = 31$

$g^*_{C,rel} = 40$

FRS15\_90a; adaptierte CIELAB-Daten

	$L^*=L^*_a$	$a^*_a$	$b^*_a$	$C^*_{ab,a}$	$h^*_{ab,a}$
r00j	35.47	56.92	27.12	63.05	25
r25j	39.12	49.04	44.45	66.19	42
r50j	50.64	35.19	58.33	68.13	59
r75j	64.01	19.11	74.45	76.87	76
j00g	83.18	-3.93	97.56	97.64	92
j25g	66.73	-26.86	74.66	79.35	110
j50g	54.03	-43.42	57.07	71.71	127
j75g	44.73	-54.21	38.33	66.4	145
g00b	47.59	-44.11	14.14	46.33	162
g25b	49.97	-35.68	-6.03	36.19	190
g50b	51.85	-29.05	-21.88	36.38	217
g75b	46.92	-15.53	-32.37	35.92	244
b00r	37.91	1.15	-38.05	38.08	272
b25r	23.81	27.31	-46.96	54.33	300
b50r	29.52	62.07	-37.87	72.72	329
b75r	36.48	64.24	-3.31	64.33	357



Ein und Ausgabe: Farbmétrisches Drucker-Reflektiv-System FRS15\_90a für relativen CIELAB-Buntton  $h^* = lab^*h^* = h_{ab}/360 = 272/360 = 0.755$

Daten für jede Farbe:

$lab^*tch^*$  und  $lab^*icu^*$

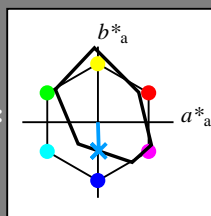
Elementar-Bunttontext:

$u^* = b00r$

Kontrastreduzierungsfaktor:

$c_R = 0.9$

Dreiecks-Helligkeit  $i^*$



FRS15\_90a; adaptierte CIELAB-Daten

	$L^*=L^*_a$	$a^*_a$	$b^*_a$	$C^*_{ab,a}$	$h^*_{ab,a}$
O <sub>Ma</sub>	35.06	53.93	39.55	66.88	36
Y <sub>Ma</sub>	83.77	-4.63	98.26	98.37	93
L <sub>Ma</sub>	44.13	-56.32	43.36	71.09	142
C <sub>Ma</sub>	52.66	-26.18	-28.74	38.89	228
V <sub>Ma</sub>	14.15	45.22	-53.06	69.72	310
M <sub>Ma</sub>	37.37	70.69	-30.1	76.83	337
N <sub>Ma</sub>	15.0	0.0	0.0	0.0	0
W <sub>Ma</sub>	90.0	0.0	0.0	0.0	0
R <sub>CIE</sub>	39.92	58.74	27.99	65.07	25
J <sub>CIE</sub>	81.26	-2.88	71.56	71.62	92
G <sub>CIE</sub>	52.23	-42.41	13.6	44.55	162
B <sub>CIE</sub>	30.57	1.41	-46.46	46.49	272

Daten für Maximalfarbe (Ma):

$LAB^*LAB^*_{Ma}$ : 38 1 -37

$LAB^*LCH^*_{Ma}$ : 38 38 272

$lab^*rgb^*_{Ma}$ : 0.0 0.0 1.0

$lab^*olv^*_{Ma}$ : 0.0 0.62 1.0

Dreiecks-Helligkeit  $i^*$

%Umfang

$u^*_{rel} = 88$

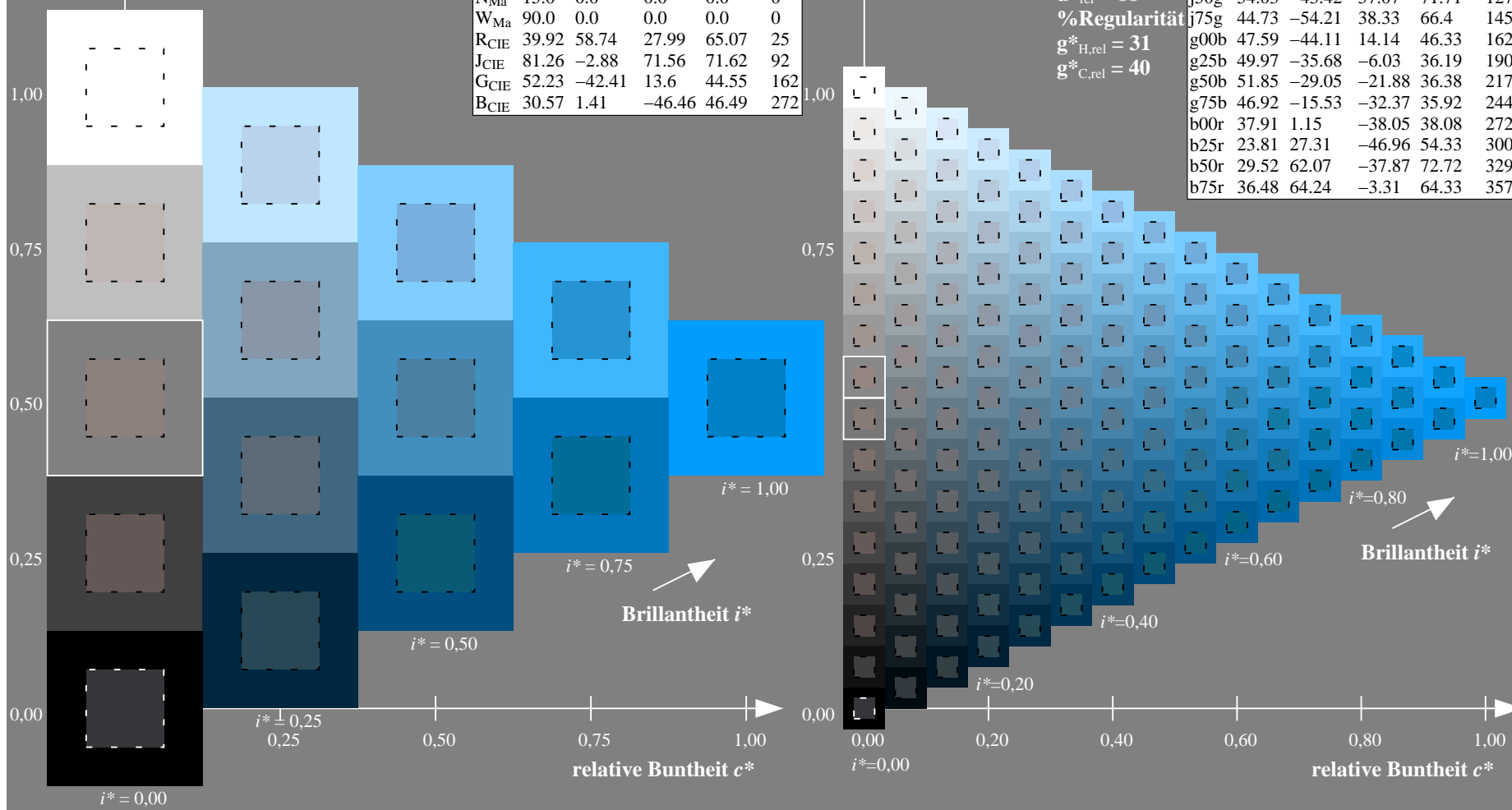
%Regularität

$g^*_{H,rel} = 31$

$g^*_{C,rel} = 40$

FRS15\_90a; adaptierte CIELAB-Daten

	$L^*=L^*_a$	$a^*_a$	$b^*_a$	$C^*_{ab,a}$	$h^*_{ab,a}$
r00j	35.47	56.92	27.12	63.05	25
r25j	39.12	49.04	44.45	66.19	42
r50j	50.64	35.19	58.33	68.13	59
r75j	64.01	19.11	74.45	76.87	76
j00g	83.18	-3.93	97.56	97.64	92
j25g	66.73	-26.86	74.66	79.35	110
j50g	54.03	-43.42	57.07	71.71	127
j75g	44.73	-54.21	38.33	66.4	145
g00b	47.59	-44.11	14.14	46.33	162
g25b	49.97	-35.68	-6.03	36.19	190
g50b	51.85	-29.05	-21.88	36.38	217
g75b	46.92	-15.53	-32.37	35.92	244
b00r	37.91	1.15	-38.05	38.08	272
b25r	23.81	27.31	-46.96	54.33	300
b50r	29.52	62.07	-37.87	72.72	329
b75r	36.48	64.24	-3.31	64.33	357





Ein und Ausgabe: Farbmimetrisches Drucker-Reflektiv-System FRS15\_90a für relativen CIELAB-Buntton  $h^* = lab^*h^* = h_{ab}/360 = 300/360 = 0.834$

Daten für jede Farbe:

$lab^*tch^*$  und  $lab^*icu^*$

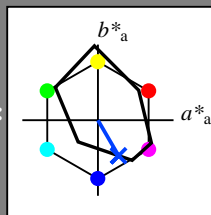
Elementar-Bunttontext:

$u^* = b25r$

Kontrastreduzierungsfaktor:

$c_R = 0.9$

Dreiecks-Helligkeit  $t^*$



FRS15\_90a; adaptierte CIELAB-Daten

	$L^*=L^*_a$	$a^*_a$	$b^*_a$	$C^*_{ab,a}$	$h^*_{ab,a}$
O <sub>Ma</sub>	35.06	53.93	39.55	66.88	36
Y <sub>Ma</sub>	83.77	-4.63	98.26	98.37	93
L <sub>Ma</sub>	44.13	-56.32	43.36	71.09	142
C <sub>Ma</sub>	52.66	-26.18	-28.74	38.89	228
V <sub>Ma</sub>	14.15	45.22	-53.06	69.72	310
M <sub>Ma</sub>	37.37	70.69	-30.1	76.83	337
N <sub>Ma</sub>	15.0	0.0	0.0	0.0	0
W <sub>Ma</sub>	90.0	0.0	0.0	0.0	0
R <sub>CIE</sub>	39.92	58.74	27.99	65.07	25
J <sub>CIE</sub>	81.26	-2.88	71.56	71.62	92
G <sub>CIE</sub>	52.23	-42.41	13.6	44.55	162
B <sub>CIE</sub>	30.57	1.41	-46.46	46.49	272

Daten für Maximalfarbe (Ma):

$LAB^*LAB^*_{Ma}$ : 24 27 -46

$LAB^*LCH^*_{Ma}$ : 24 54 300

$lab^*rgb^*_{Ma}$ : 0.5 0.0 1.0

$lab^*olv^*_{Ma}$ : 0.0 0.25 1.0

Dreiecks-Helligkeit  $t^*$

%Umfang

$u^*_{rel} = 88$

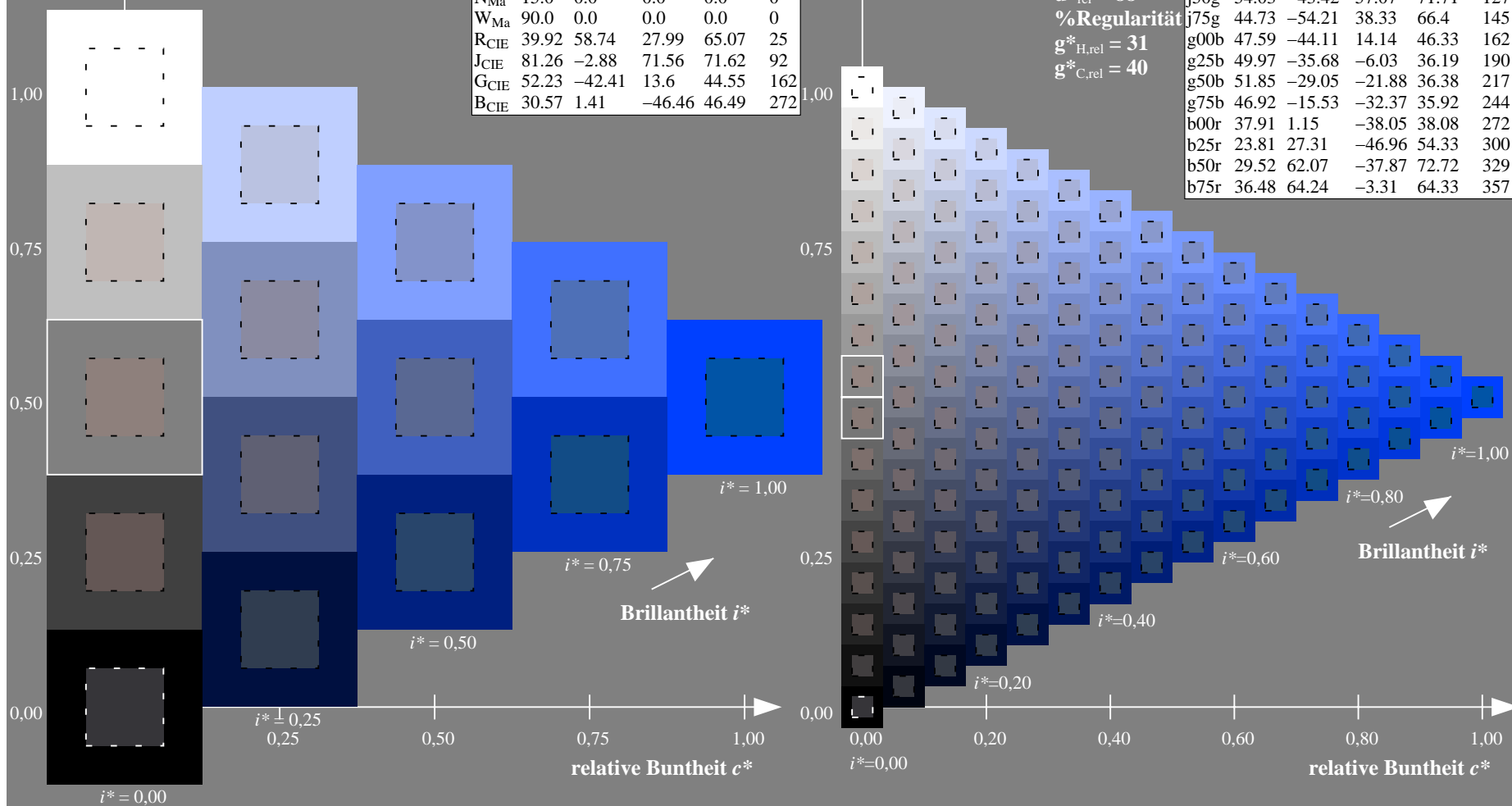
%Regularität

$g^*_{H,rel} = 31$

$g^*_{C,rel} = 40$

FRS15\_90a; adaptierte CIELAB-Daten

	$L^*=L^*_a$	$a^*_a$	$b^*_a$	$C^*_{ab,a}$	$h^*_{ab,a}$
r00j	35.47	56.92	27.12	63.05	25
r25j	39.12	49.04	44.45	66.19	42
r50j	50.64	35.19	58.33	68.13	59
r75j	64.01	19.11	74.45	76.87	76
j00g	83.18	-3.93	97.56	97.64	92
j25g	66.73	-26.86	74.66	79.35	110
j50g	54.03	-43.42	57.07	71.71	127
j75g	44.73	-54.21	38.33	66.4	145
g00b	47.59	-44.11	14.14	46.33	162
g25b	49.97	-35.68	-6.03	36.19	190
g50b	51.85	-29.05	-21.88	36.38	217
g75b	46.92	-15.53	-32.37	35.92	244
b00r	37.91	1.15	-38.05	38.08	272
b25r	23.81	27.31	-46.96	54.33	300
b50r	29.52	62.07	-37.87	72.72	329
b75r	36.48	64.24	-3.31	64.33	357



Ein und Ausgabe: Farbmetrisches Drucker-Reflektiv-System FRS15\_90a für relativen CIELAB-Buntton  $h^* = lab^*h^* = h_{ab}/360 = 329/360 = 0.913$

Daten für jede Farbe:

$lab^*tch^*$  und  $lab^*icu^*$

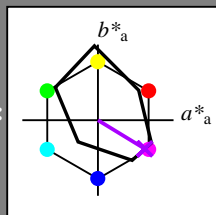
Elementar-Bunttontext:

$u^* = b50r$

Kontrastreduzierungsfaktor:

$c_R = 0.9$

Dreiecks-Helligkeit  $t^*$



FRS15\_90a; adaptierte CIELAB-Daten

	$L^*=L^*_a$	$a^*_a$	$b^*_a$	$C^*_{ab,a}$	$h^*_{ab,a}$
O <sub>Ma</sub>	35.06	53.93	39.55	66.88	36
Y <sub>Ma</sub>	83.77	-4.63	98.26	98.37	93
L <sub>Ma</sub>	44.13	-56.32	43.36	71.09	142
C <sub>Ma</sub>	52.66	-26.18	-28.74	38.89	228
V <sub>Ma</sub>	14.15	45.22	-53.06	69.72	310
M <sub>Ma</sub>	37.37	70.69	-30.1	76.83	337
N <sub>Ma</sub>	15.0	0.0	0.0	0.0	0
W <sub>Ma</sub>	90.0	0.0	0.0	0.0	0
R <sub>CIE</sub>	39.92	58.74	27.99	65.07	25
J <sub>CIE</sub>	81.26	-2.88	71.56	71.62	92
G <sub>CIE</sub>	52.23	-42.41	13.6	44.55	162
B <sub>CIE</sub>	30.57	1.41	-46.46	46.49	272

Daten für Maximalfarbe (Ma):

$LAB^*LAB^*_{Ma}$ : 30 62 -37

$LAB^*LCH^*_{Ma}$ : 30 73 329

$lab^*rgb^*_{Ma}$ : 1.0 0.0 1.0

$lab^*olv^*_{Ma}$ : 0.66 0.0 1.0

Dreiecks-Helligkeit  $t^*$

%Umfang

$u^*_{rel} = 88$

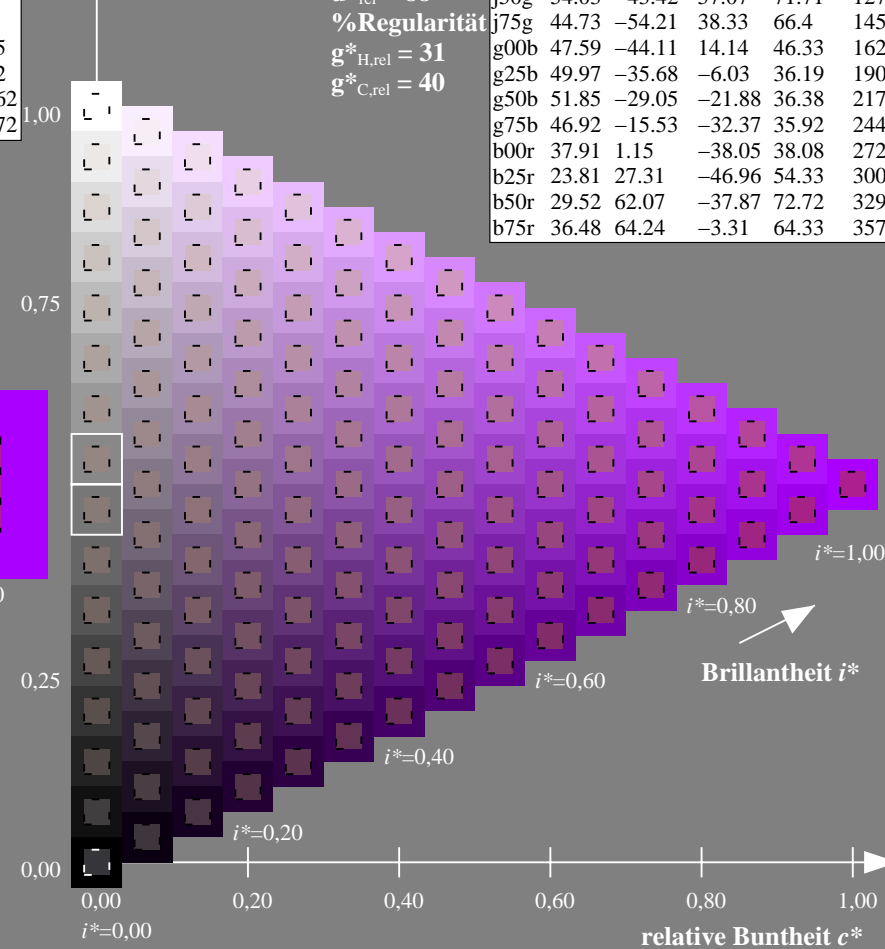
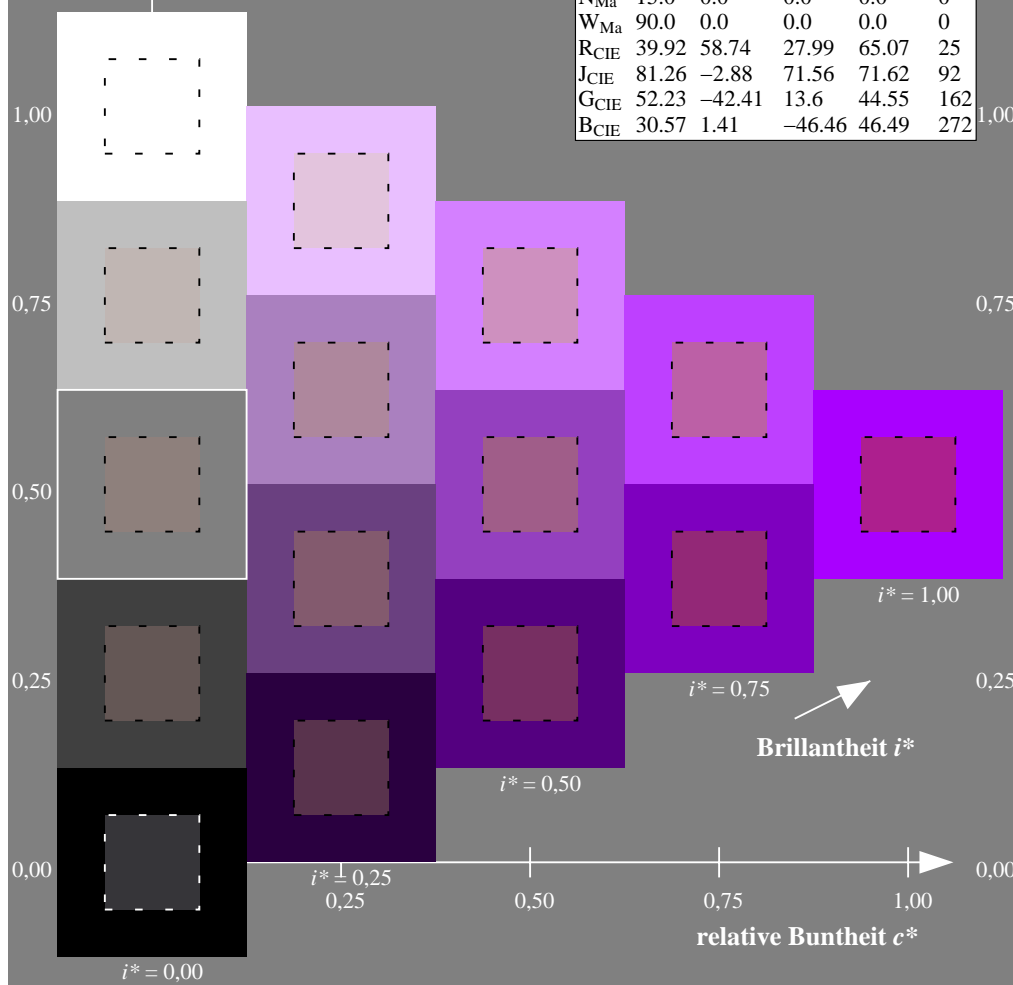
%Regularität

$g^*_{H,rel} = 31$

$g^*_{C,rel} = 40$

FRS15\_90a; adaptierte CIELAB-Daten

	$L^*=L^*_a$	$a^*_a$	$b^*_a$	$C^*_{ab,a}$	$h^*_{ab,a}$
r00j	35.47	56.92	27.12	63.05	25
r25j	39.12	49.04	44.45	66.19	42
r50j	50.64	35.19	58.33	68.13	59
r75j	64.01	19.11	74.45	76.87	76
j00g	83.18	-3.93	97.56	97.64	92
j25g	66.73	-26.86	74.66	79.35	110
j50g	54.03	-43.42	57.07	71.71	127
j75g	44.73	-54.21	38.33	66.4	145
g00b	47.59	-44.11	14.14	46.33	162
g25b	49.97	-35.68	-6.03	36.19	190
g50b	51.85	-29.05	-21.88	36.38	217
g75b	46.92	-15.53	-32.37	35.92	244
b00r	37.91	1.15	-38.05	38.08	272
b25r	23.81	27.31	-46.96	54.33	300
b50r	29.52	62.07	-37.87	72.72	329
b75r	36.48	64.24	-3.31	64.33	357



Ein und Ausgabe: Farbmimetrisches Drucker-Reflektiv-System FRS15\_90a für relativen CIELAB-Buntton  $h^* = lab^*h^* = h_{ab}/360 = 357/360 = 0.992$

Daten für jede Farbe:

$lab^*ch^*$  und  $lab^*icu^*$

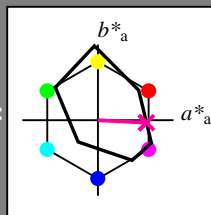
Elementar-Bunttontext:

$u^* = b75r$

Kontrastreduzierungsfaktor:

$c_R = 0.9$

Dreiecks-Helligkeit  $i^*$



FRS15\_90a; adaptierte CIELAB-Daten

	$L^*=L_a^*$	$a_a^*$	$b_a^*$	$C_{ab,a}^*$	$h_{ab,a}^*$
O <sub>Ma</sub>	35.06	53.93	39.55	66.88	36
Y <sub>Ma</sub>	83.77	-4.63	98.26	98.37	93
L <sub>Ma</sub>	44.13	-56.32	43.36	71.09	142
C <sub>Ma</sub>	52.66	-26.18	-28.74	38.89	228
V <sub>Ma</sub>	14.15	45.22	-53.06	69.72	310
M <sub>Ma</sub>	37.37	70.69	-30.1	76.83	337
N <sub>Ma</sub>	15.0	0.0	0.0	0.0	0
W <sub>Ma</sub>	90.0	0.0	0.0	0.0	0
R <sub>CIE</sub>	39.92	58.74	27.99	65.07	25
J <sub>CIE</sub>	81.26	-2.88	71.56	71.62	92
G <sub>CIE</sub>	52.23	-42.41	13.6	44.55	162
B <sub>CIE</sub>	30.57	1.41	-46.46	46.49	272

Daten für Maximalfarbe (Ma):

$LAB^*LAB^*Ma$ : 36 64 -2

$LAB^*LCH^*Ma$ : 36 64 357

$lab^*rgb^*Ma$ : 1.0 0.0 0.5

$lab^*olv^*Ma$ : 1.0 0.0 0.62

Dreiecks-Helligkeit  $i^*$

%Umfang

$u^*_{rel} = 88$

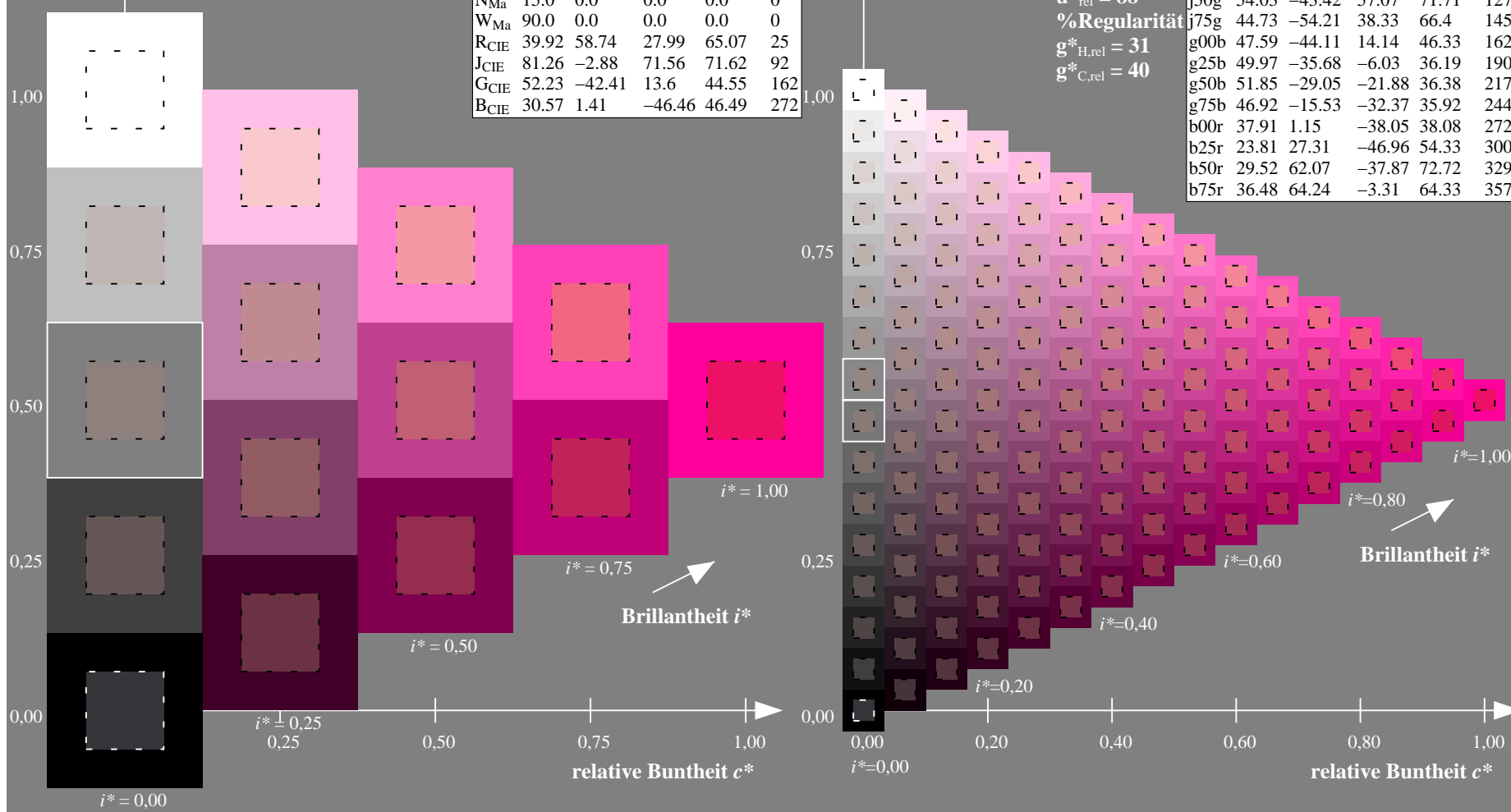
%Regularität

$g^*_{H,rel} = 31$

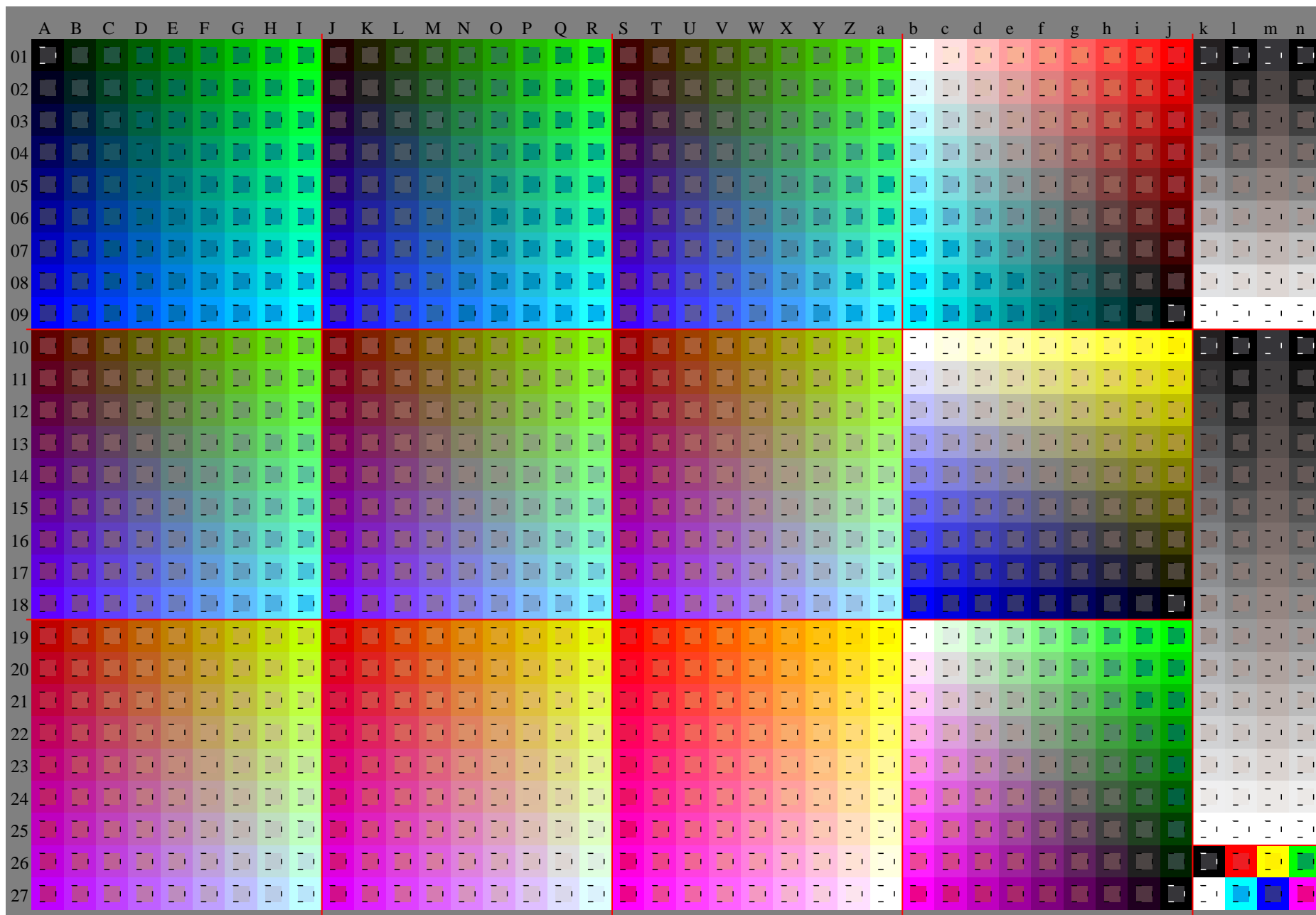
$g^*_{C,rel} = 40$

FRS15\_90a; adaptierte CIELAB-Daten

	$L^*=L_a^*$	$a_a^*$	$b_a^*$	$C_{ab,a}^*$	$h_{ab,a}^*$
r00j	35.47	56.92	27.12	63.05	25
r25j	39.12	49.04	44.45	66.19	42
r50j	50.64	35.19	58.33	68.13	59
r75j	64.01	19.11	74.45	76.87	76
j00g	83.18	-3.93	97.56	97.64	92
j25g	66.73	-26.86	74.66	79.35	110
j50g	54.03	-43.42	57.07	71.71	127
j75g	44.73	-54.21	38.33	66.4	145
g00b	47.59	-44.11	14.14	46.33	162
g25b	49.97	-35.68	-6.03	36.19	190
g50b	51.85	-29.05	-21.88	36.38	217
g75b	46.92	-15.53	-32.37	35.92	244
b00r	37.91	1.15	-38.05	38.08	272
b25r	23.81	27.31	-46.96	54.33	300
b50r	29.52	62.07	-37.87	72.72	329
b75r	36.48	64.24	-3.31	64.33	357

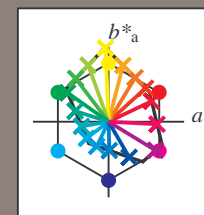


Siehe ähnliche Dateien: <http://www.ps.bam.de/Dg71/>; [www.ps.bam.de/Dg71/HTM](http://www.ps.bam.de/Dg71/HTM)  
Technische Information: <http://www.ps.bam.de> Version 2.1, io=1,1, ColSpx=0



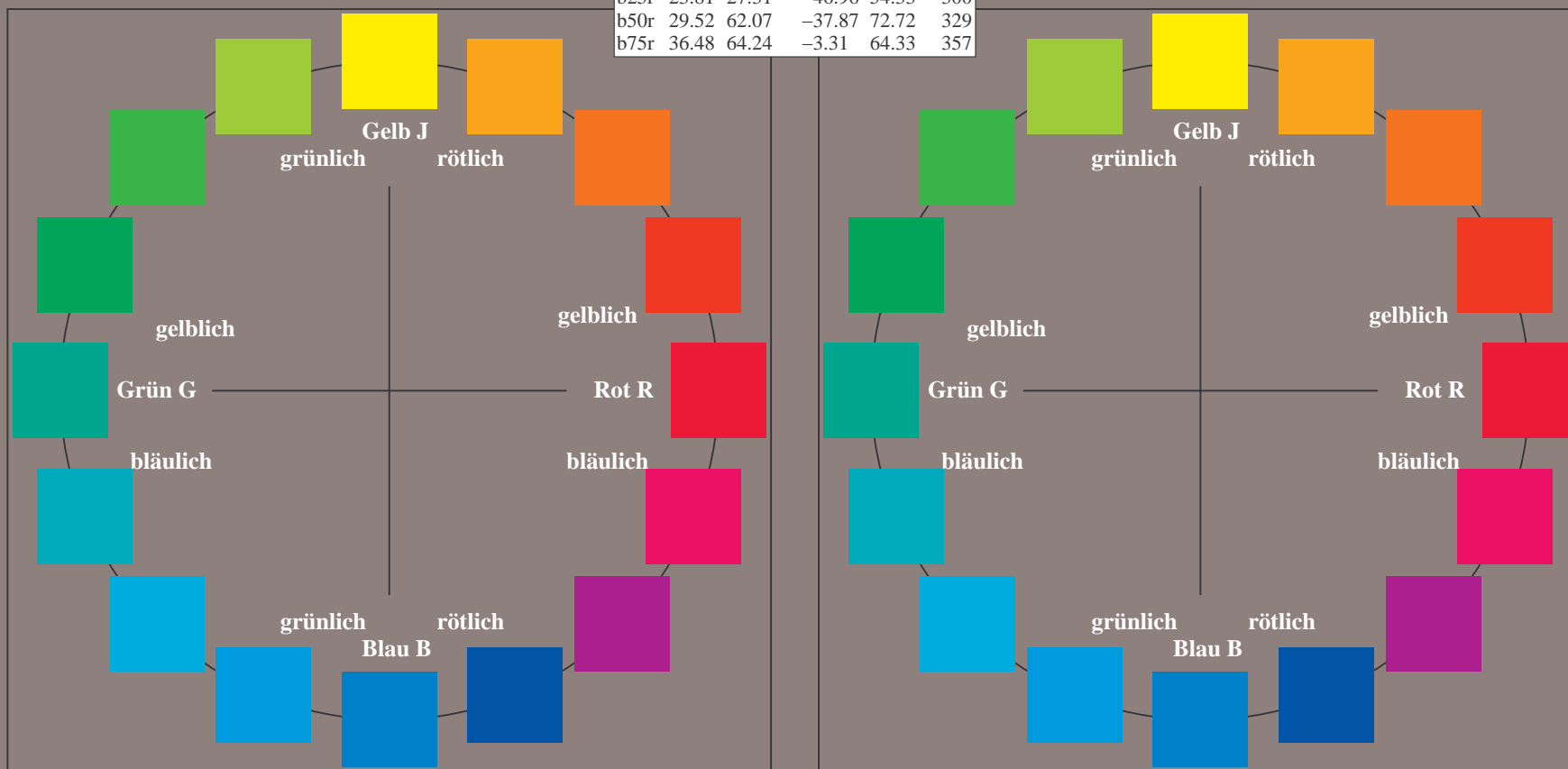
Ein und Ausgabe:  
Farbmetrisches Drucker-Reflektiv-System FRS15\_90a  
Daten für jede Farbe:  
*lab\*<sub>ich</sub>*\* und *lab\*<sub>icu</sub>*\*  
Elementar-Bunttontext:  
*u\** = 16 Bunttöne *r00j*, *r25j*, ..., *b75r*  
Kontrastreduzierungsfaktor:  
*c<sub>R</sub>* = 0.9

FRS15_90a; adaptierte CIELAB-Daten					
	<i>L*</i> = <i>L*</i> <sub>a</sub>	<i>a*</i> <sub>a</sub>	<i>b*</i> <sub>a</sub>	<i>C*</i> <sub>ab,a</sub>	<i>h*</i> <sub>ab,a</sub>
r00j	35.47	56.92	27.12	63.05	25
r25j	39.12	49.04	44.45	66.19	42
r50j	50.64	35.19	58.33	68.13	59
r75j	64.01	19.11	74.45	76.87	76
j00g	83.18	-3.93	97.56	97.64	92
j25g	66.73	-26.86	74.66	79.35	110
j50g	54.03	-43.42	57.07	71.71	127
j75g	44.73	-54.21	38.33	66.4	145
g00b	47.59	-44.11	14.14	46.33	162
g25b	49.97	-35.68	-6.03	36.19	190
g50b	51.85	-29.05	-21.88	36.38	217
g75b	46.92	-15.53	-32.37	35.92	244
b00r	37.91	1.15	-38.05	38.08	272
b25r	23.81	27.31	-46.96	54.33	300
b50r	29.52	62.07	-37.87	72.72	329
b75r	36.48	64.24	-3.31	64.33	357



%Umfang  
*u\**<sub>rel</sub> = 88  
%Regularität  
*g\**<sub>H,rel</sub> = 31  
*g\**<sub>C,rel</sub> = 40

FRS15_90a; adaptierte CIELAB-Daten					
	<i>L*</i> = <i>L*</i> <sub>a</sub>	<i>a*</i> <sub>a</sub>	<i>b*</i> <sub>a</sub>	<i>C*</i> <sub>ab,a</sub>	<i>h*</i> <sub>ab,a</sub>
O <sub>Ma</sub>	35.06	53.93	39.55	66.88	36
Y <sub>Ma</sub>	83.77	-4.63	98.26	98.37	93
L <sub>Ma</sub>	44.13	-56.32	43.36	71.09	142
C <sub>Ma</sub>	52.66	-26.18	-28.74	38.89	228
V <sub>Ma</sub>	14.15	45.22	-53.06	69.72	310
M <sub>Ma</sub>	37.37	70.69	-30.1	76.83	337
N <sub>Ma</sub>	15.0	0.0	0.0	0.0	0
W <sub>Ma</sub>	90.0	0.0	0.0	0.0	0
R <sub>CIE</sub>	39.92	58.74	27.99	65.07	25
J <sub>CIE</sub>	81.26	-2.88	71.56	71.62	92
G <sub>CIE</sub>	52.23	-42.41	13.6	44.55	162
B <sub>CIE</sub>	30.57	1.41	-46.46	46.49	272



Ein und Ausgabe: Farbmetrisches Drucker-Reflektiv-System FRS15\_90a für relativen CIELAB-Buntton  $h^* = lab^*h^* = h_{ab}/360 = 25/360 = 0.071$

Daten für jede Farbe:

$lab^*tch^*$  und  $lab^*icu^*$

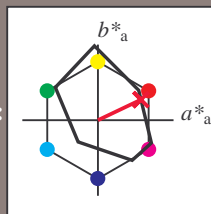
Elementar-Bunttontext:

$u^* = r00j$

Kontrastreduzierungsfaktor:

$c_R = 0.9$

Dreiecks-Helligkeit  $t^*$



FRS15\_90a; adaptierte CIELAB-Daten

	$L^*=L_a^*$	$a_a^*$	$b_a^*$	$C_{ab,a}^*$	$h_{ab,a}^*$
O <sub>Ma</sub>	35.06	53.93	39.55	66.88	36
Y <sub>Ma</sub>	83.77	-4.63	98.26	98.37	93
L <sub>Ma</sub>	44.13	-56.32	43.36	71.09	142
C <sub>Ma</sub>	52.66	-26.18	-28.74	38.89	228
V <sub>Ma</sub>	14.15	45.22	-53.06	69.72	310
M <sub>Ma</sub>	37.37	70.69	-30.1	76.83	337
N <sub>Ma</sub>	15.0	0.0	0.0	0.0	0
W <sub>Ma</sub>	90.0	0.0	0.0	0.0	0
R <sub>CIE</sub>	39.92	58.74	27.99	65.07	25
J <sub>CIE</sub>	81.26	-2.88	71.56	71.62	92
G <sub>CIE</sub>	52.23	-42.41	13.6	44.55	162
B <sub>CIE</sub>	30.57	1.41	-46.46	46.49	272

Daten für Maximalfarbe (Ma):

$LAB^*LAB^*Ma$ : 35 57 27

$LAB^*LCH^*Ma$ : 35 63 25

$lab^*rgb^*Ma$ : 1.0 0.0 0.0

$lab^*olv^*Ma$ : 1.0 0.0 0.18

Dreiecks-Helligkeit  $t^*$

%Umfang

$u^*_{rel} = 88$

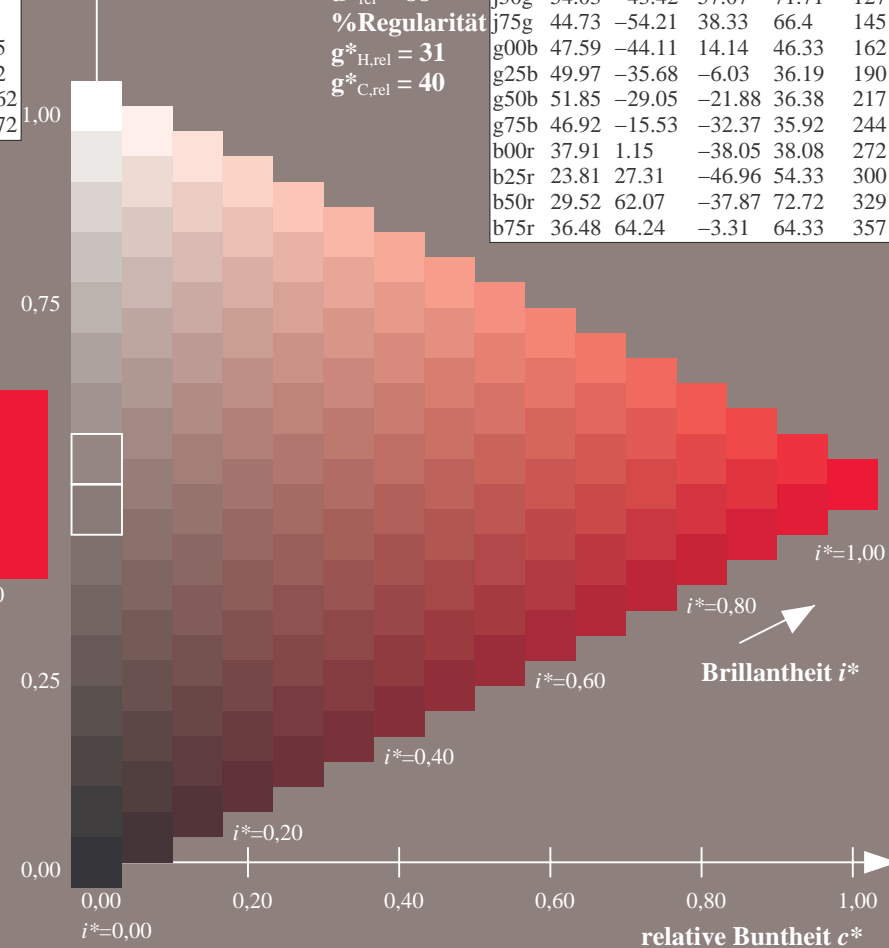
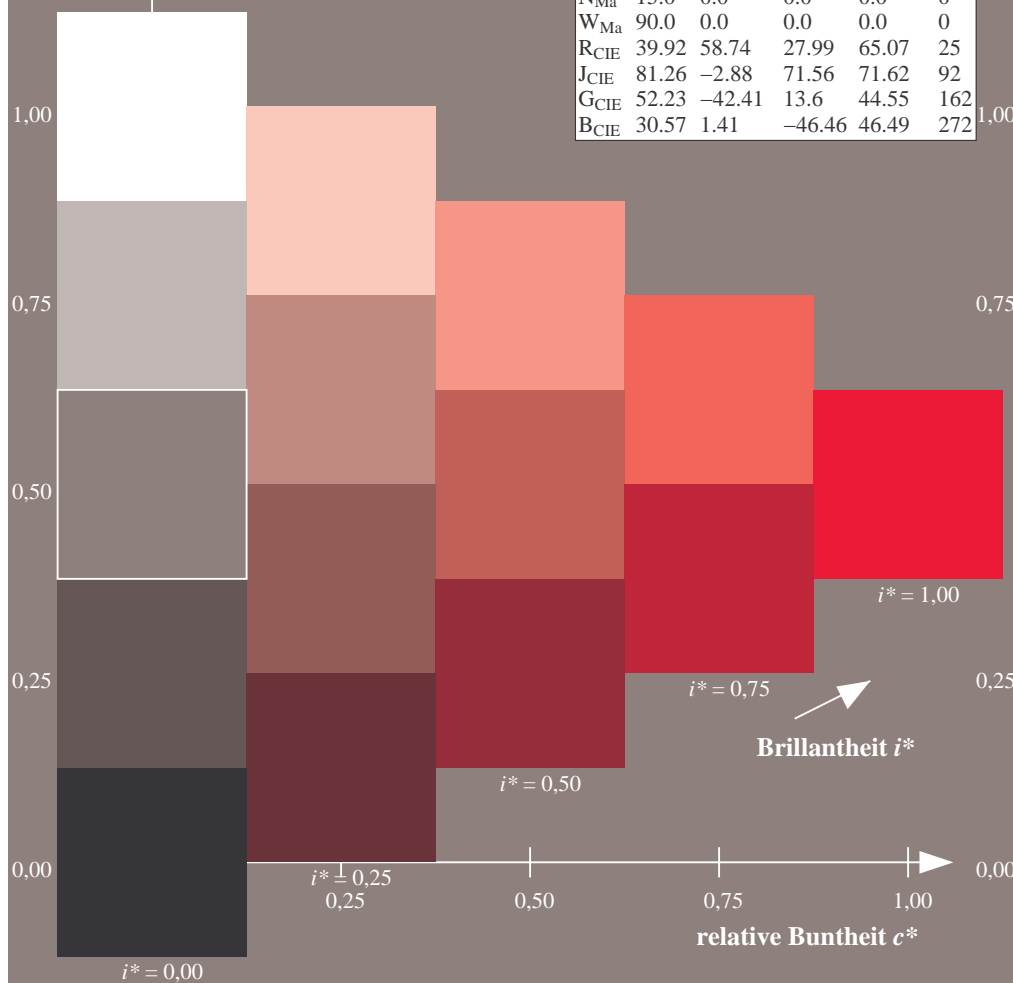
%Regularität

$g^*_{H,rel} = 31$

$g^*_{C,rel} = 40$

FRS15\_90a; adaptierte CIELAB-Daten

	$L^*=L_a^*$	$a_a^*$	$b_a^*$	$C_{ab,a}^*$	$h_{ab,a}^*$
r00j	35.47	56.92	27.12	63.05	25
r25j	39.12	49.04	44.45	66.19	42
r50j	50.64	35.19	58.33	68.13	59
r75j	64.01	19.11	74.45	76.87	76
j00g	83.18	-3.93	97.56	97.64	92
j25g	66.73	-26.86	74.66	79.35	110
j50g	54.03	-43.42	57.07	71.71	127
j75g	44.73	-54.21	38.33	66.4	145
g00b	47.59	-44.11	14.14	46.33	162
g25b	49.97	-35.68	-6.03	36.19	190
g50b	51.85	-29.05	-21.88	36.38	217
g75b	46.92	-15.53	-32.37	35.92	244
b00r	37.91	1.15	-38.05	38.08	272
b25r	23.81	27.31	-46.96	54.33	300
b50r	29.52	62.07	-37.87	72.72	329
b75r	36.48	64.24	-3.31	64.33	357





Ein und Ausgabe: Farbmetrisches Drucker-Reflektiv-System FRS15\_90a für relativen CIELAB-Buntton  $h^* = lab^*h^* = h_{ab}/360 = 42/360 = 0.117$

Daten für jede Farbe:

$lab^*tch^*$  und  $lab^*icu^*$

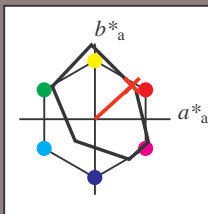
Elementar-Bunttontext:

$u^* = r25j$

Kontrastreduzierungsfaktor:

$c_R = 0.9$

Dreiecks-Helligkeit  $i^*$



FRS15\_90a; adaptierte CIELAB-Daten

	$L^*=L_a^*$	$a_a^*$	$b_a^*$	$C_{ab,a}^*$	$h_{ab,a}^*$
O <sub>Ma</sub>	35.06	53.93	39.55	66.88	36
Y <sub>Ma</sub>	83.77	-4.63	98.26	98.37	93
L <sub>Ma</sub>	44.13	-56.32	43.36	71.09	142
C <sub>Ma</sub>	52.66	-26.18	-28.74	38.89	228
V <sub>Ma</sub>	14.15	45.22	-53.06	69.72	310
M <sub>Ma</sub>	37.37	70.69	-30.1	76.83	337
N <sub>Ma</sub>	15.0	0.0	0.0	0.0	0
W <sub>Ma</sub>	90.0	0.0	0.0	0.0	0
R <sub>CIE</sub>	39.92	58.74	27.99	65.07	25
J <sub>CIE</sub>	81.26	-2.88	71.56	71.62	92
G <sub>CIE</sub>	52.23	-42.41	13.6	44.55	162
B <sub>CIE</sub>	30.57	1.41	-46.46	46.49	272

Daten für Maximalfarbe (Ma):

$LAB^*LAB^*Ma$ : 39 49 44

$LAB^*LCH^*Ma$ : 39 66 42

$lab^*rgb^*Ma$ : 1.0 0.25 0.0

$lab^*olv^*Ma$ : 1.0 0.08 0.0

Dreiecks-Helligkeit  $i^*$

%Umfang

$u^*_{rel} = 88$

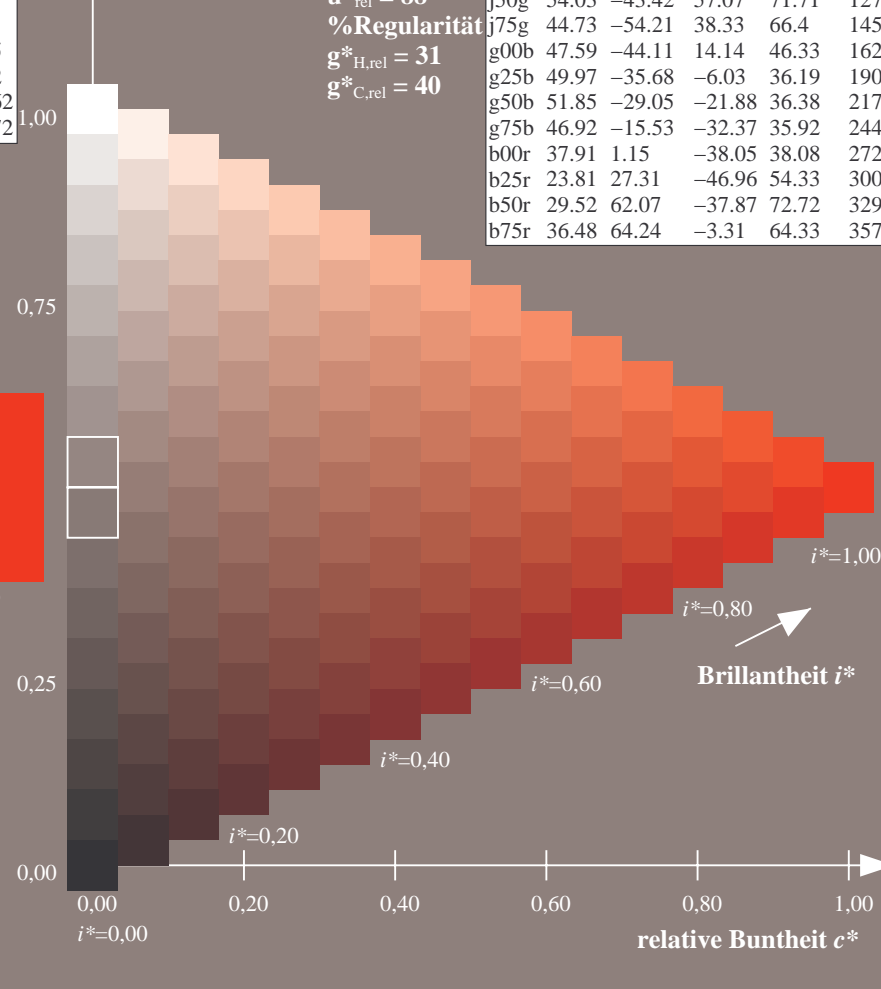
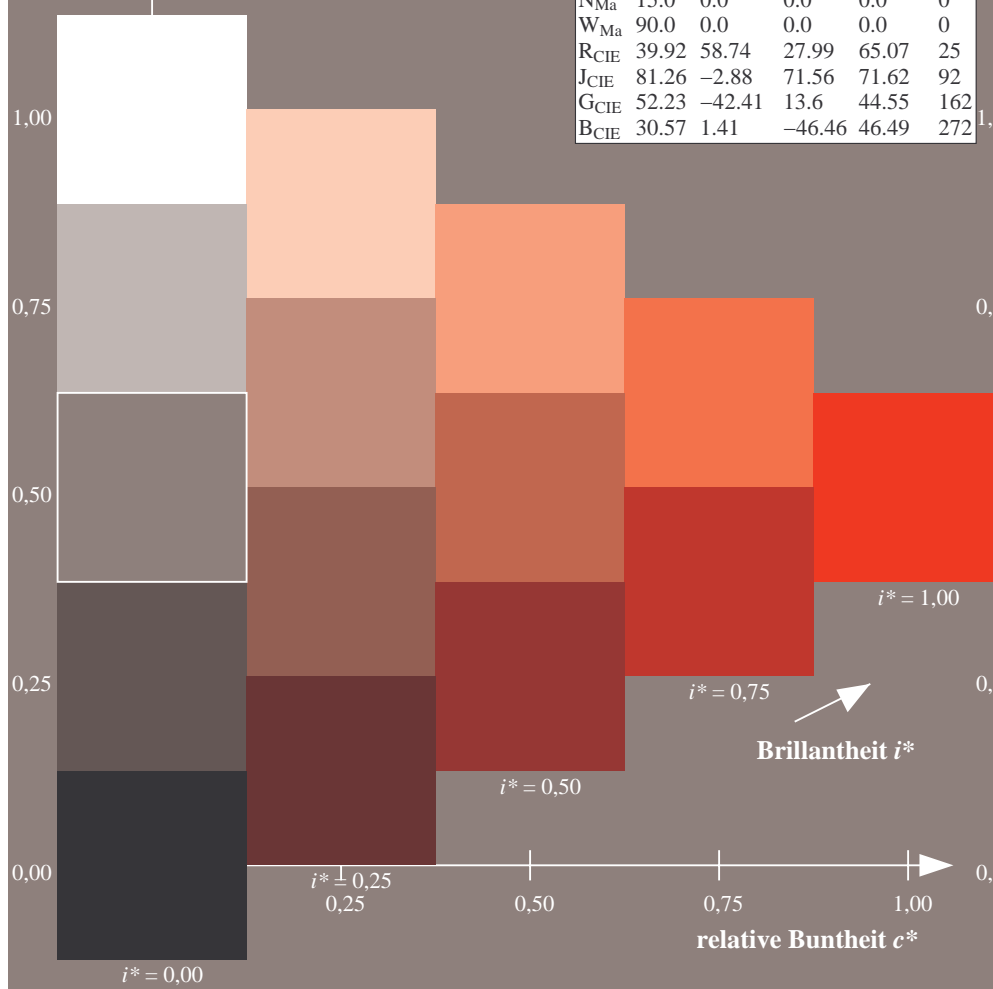
%Regularität

$g^*_{H,rel} = 31$

$g^*_{C,rel} = 40$

FRS15\_90a; adaptierte CIELAB-Daten

	$L^*=L_a^*$	$a_a^*$	$b_a^*$	$C_{ab,a}^*$	$h_{ab,a}^*$
r00j	35.47	56.92	27.12	63.05	25
r25j	39.12	49.04	44.45	66.19	42
r50j	50.64	35.19	58.33	68.13	59
r75j	64.01	19.11	74.45	76.87	76
j00g	83.18	-3.93	97.56	97.64	92
j25g	66.73	-26.86	74.66	79.35	110
j50g	54.03	-43.42	57.07	71.71	127
j75g	44.73	-54.21	38.33	66.4	145
g00b	47.59	-44.11	14.14	46.33	162
g25b	49.97	-35.68	-6.03	36.19	190
g50b	51.85	-29.05	-21.88	36.38	217
g75b	46.92	-15.53	-32.37	35.92	244
b00r	37.91	1.15	-38.05	38.08	272
b25r	23.81	27.31	-46.96	54.33	300
b50r	29.52	62.07	-37.87	72.72	329
b75r	36.48	64.24	-3.31	64.33	357



Ein und Ausgabe: Farbmetrisches Drucker-Reflektiv-System FRS15\_90a für relativen CIELAB-Buntton  $h^* = lab^*h^* = h_{ab}/360 = 59/360 = 0.164$

Daten für jede Farbe:

$lab^*tch^*$  und  $lab^*icu^*$

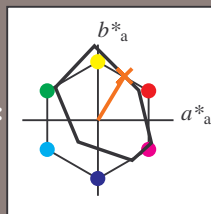
Elementar-Bunttontext:

$u^* = r50j$

Kontrastreduzierungsfaktor:

$c_R = 0.9$

Dreiecks-Helligkeit  $t^*$



FRS15\_90a; adaptierte CIELAB-Daten

	$L^*=L_a^*$	$a_a^*$	$b_a^*$	$C_{ab,a}^*$	$h_{ab,a}^*$
O <sub>Ma</sub>	35.06	53.93	39.55	66.88	36
Y <sub>Ma</sub>	83.77	-4.63	98.26	98.37	93
L <sub>Ma</sub>	44.13	-56.32	43.36	71.09	142
C <sub>Ma</sub>	52.66	-26.18	-28.74	38.89	228
V <sub>Ma</sub>	14.15	45.22	-53.06	69.72	310
M <sub>Ma</sub>	37.37	70.69	-30.1	76.83	337
N <sub>Ma</sub>	15.0	0.0	0.0	0.0	0
W <sub>Ma</sub>	90.0	0.0	0.0	0.0	0
R <sub>CIE</sub>	39.92	58.74	27.99	65.07	25
J <sub>CIE</sub>	81.26	-2.88	71.56	71.62	92
G <sub>CIE</sub>	52.23	-42.41	13.6	44.55	162
B <sub>CIE</sub>	30.57	1.41	-46.46	46.49	272

Daten für Maximalfarbe (Ma):

$LAB^*LAB^*Ma$ : 51 35 58

$LAB^*LCH^*Ma$ : 51 68 59

$lab^*rgb^*Ma$ : 1.0 0.5 0.0

$lab^*olv^*Ma$ : 1.0 0.32 0.0

Dreiecks-Helligkeit  $t^*$

%Umfang

$u^*_{rel} = 88$

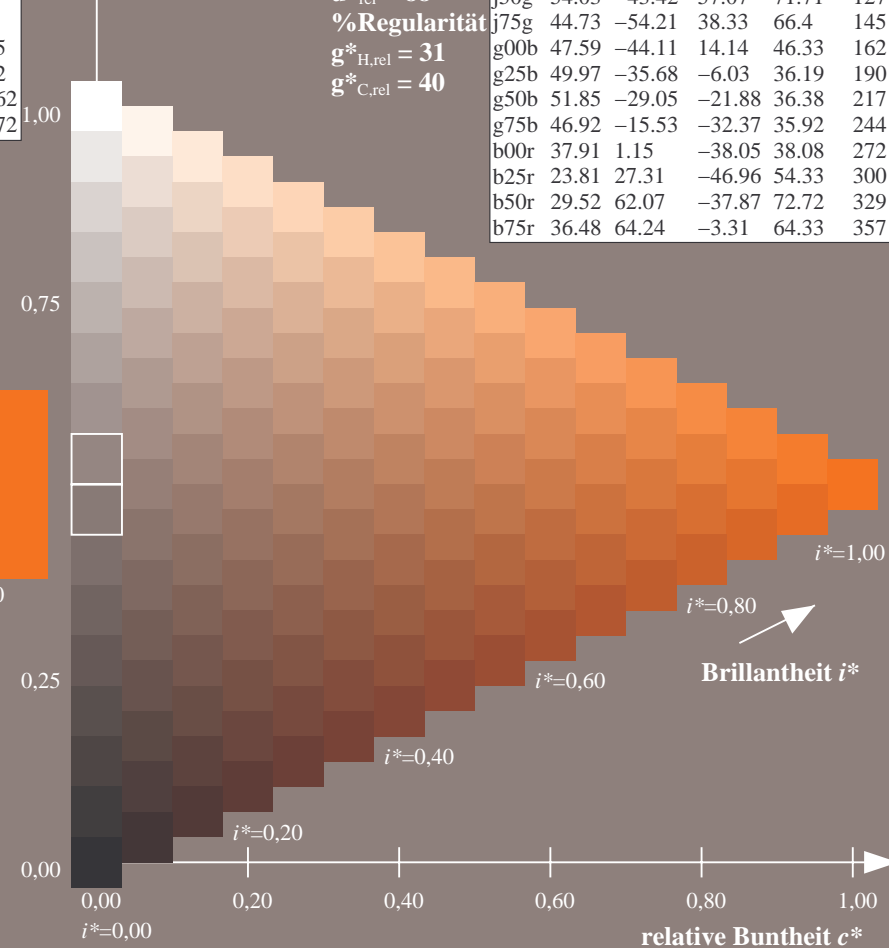
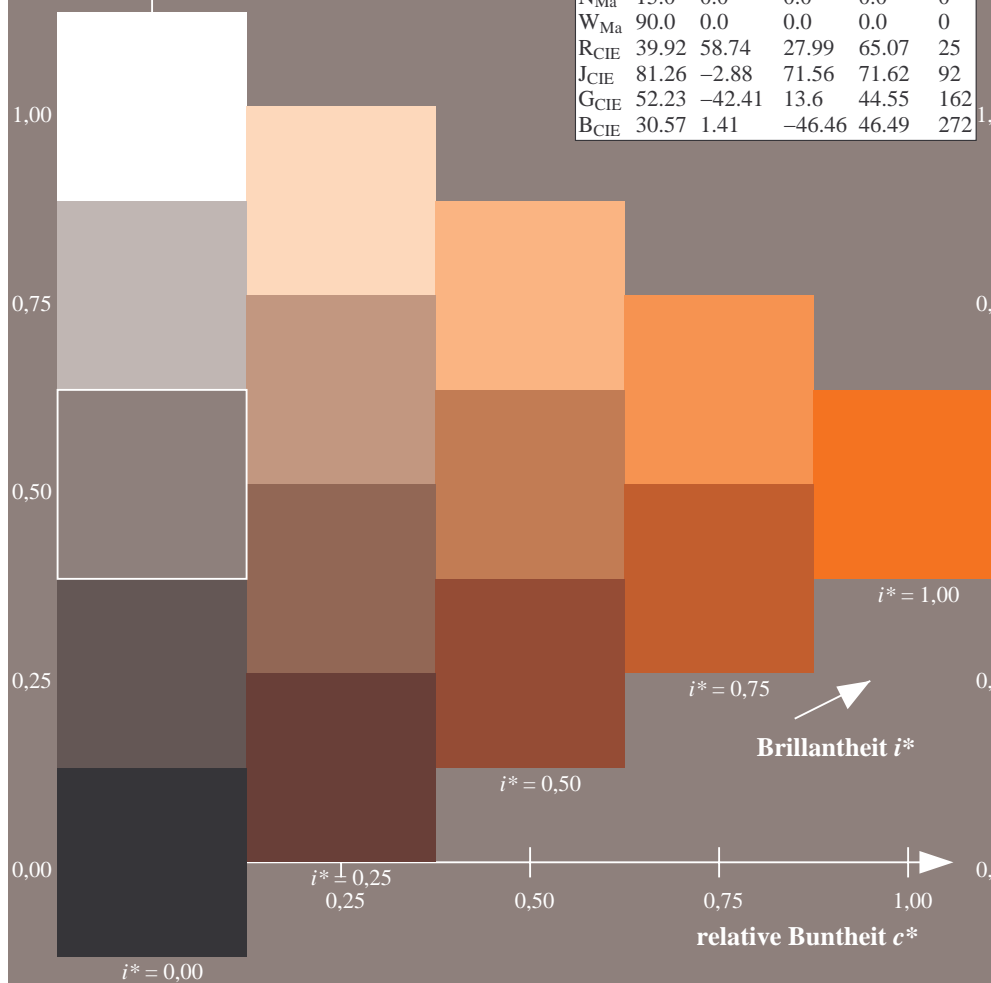
%Regularität

$g^*_{H,rel} = 31$

$g^*_{C,rel} = 40$

FRS15\_90a; adaptierte CIELAB-Daten

	$L^*=L_a^*$	$a_a^*$	$b_a^*$	$C_{ab,a}^*$	$h_{ab,a}^*$
r00j	35.47	56.92	27.12	63.05	25
r25j	39.12	49.04	44.45	66.19	42
r50j	50.64	35.19	58.33	68.13	59
r75j	64.01	19.11	74.45	76.87	76
j00g	83.18	-3.93	97.56	97.64	92
j25g	66.73	-26.86	74.66	79.35	110
j50g	54.03	-43.42	57.07	71.71	127
j75g	44.73	-54.21	38.33	66.4	145
g00b	47.59	-44.11	14.14	46.33	162
g25b	49.97	-35.68	-6.03	36.19	190
g50b	51.85	-29.05	-21.88	36.38	217
g75b	46.92	-15.53	-32.37	35.92	244
b00r	37.91	1.15	-38.05	38.08	272
b25r	23.81	27.31	-46.96	54.33	300
b50r	29.52	62.07	-37.87	72.72	329
b75r	36.48	64.24	-3.31	64.33	357



Ein und Ausgabe: Farbmetrisches Drucker-Reflektiv-System FRS15\_90a für relativen CIELAB-Buntton  $h^* = lab^*h^* = h_{ab}/360 = 76/360 = 0.21$

Daten für jede Farbe:

$lab^*tch^*$  und  $lab^*icu^*$

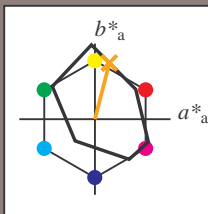
Elementar-Bunttontext:

$u^* = r75j$

Kontrastreduzierungsfaktor:

$c_R = 0.9$

Dreiecks-Helligkeit  $t^*$



FRS15\_90a; adaptierte CIELAB-Daten

	$L^*=L_a^*$	$a_a^*$	$b_a^*$	$C_{ab,a}^*$	$h_{ab,a}^*$
O <sub>Ma</sub>	35.06	53.93	39.55	66.88	36
Y <sub>Ma</sub>	83.77	-4.63	98.26	98.37	93
L <sub>Ma</sub>	44.13	-56.32	43.36	71.09	142
C <sub>Ma</sub>	52.66	-26.18	-28.74	38.89	228
V <sub>Ma</sub>	14.15	45.22	-53.06	69.72	310
M <sub>Ma</sub>	37.37	70.69	-30.1	76.83	337
N <sub>Ma</sub>	15.0	0.0	0.0	0.0	0
W <sub>Ma</sub>	90.0	0.0	0.0	0.0	0
R <sub>CIE</sub>	39.92	58.74	27.99	65.07	25
J <sub>CIE</sub>	81.26	-2.88	71.56	71.62	92
G <sub>CIE</sub>	52.23	-42.41	13.6	44.55	162
B <sub>CIE</sub>	30.57	1.41	-46.46	46.49	272

Daten für Maximalfarbe (Ma):

$LAB^*LAB^*Ma$ : 64 19 74

$LAB^*LCH^*Ma$ : 64 77 76

$lab^*rgb^*Ma$ : 1.0 0.75 0.0

$lab^*olv^*Ma$ : 1.0 0.59 0.0

Dreiecks-Helligkeit  $t^*$

%Umfang

$u^*_{rel} = 88$

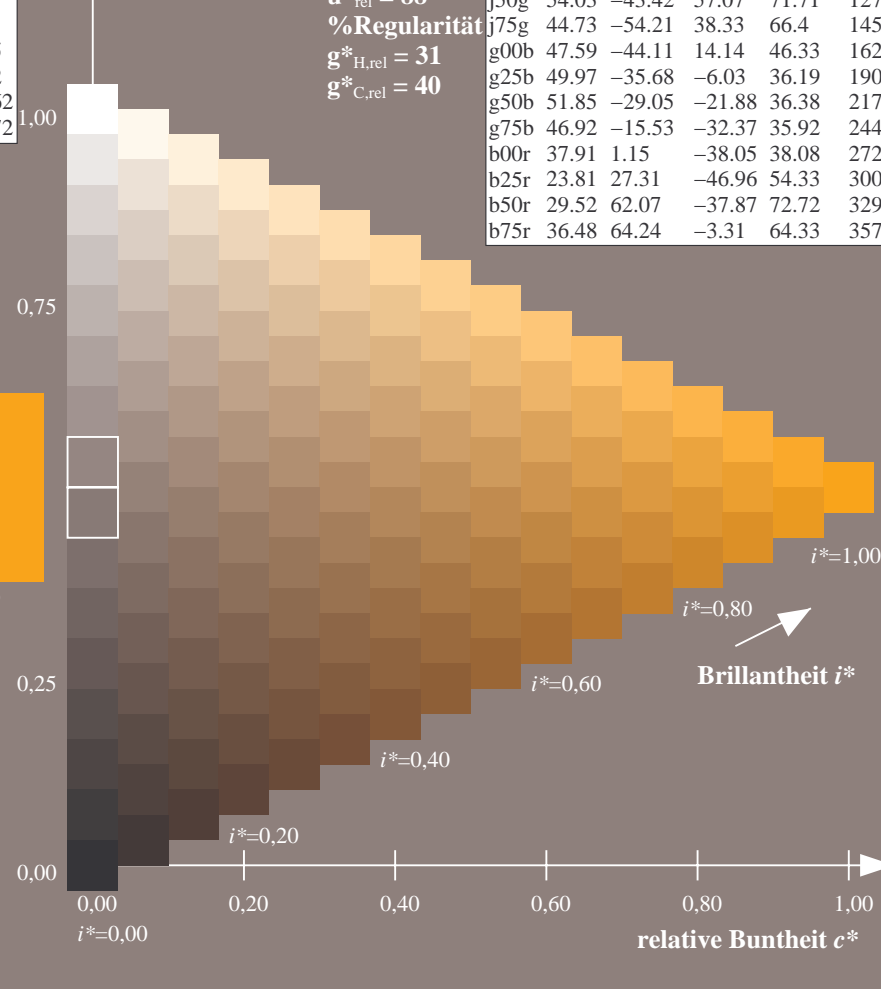
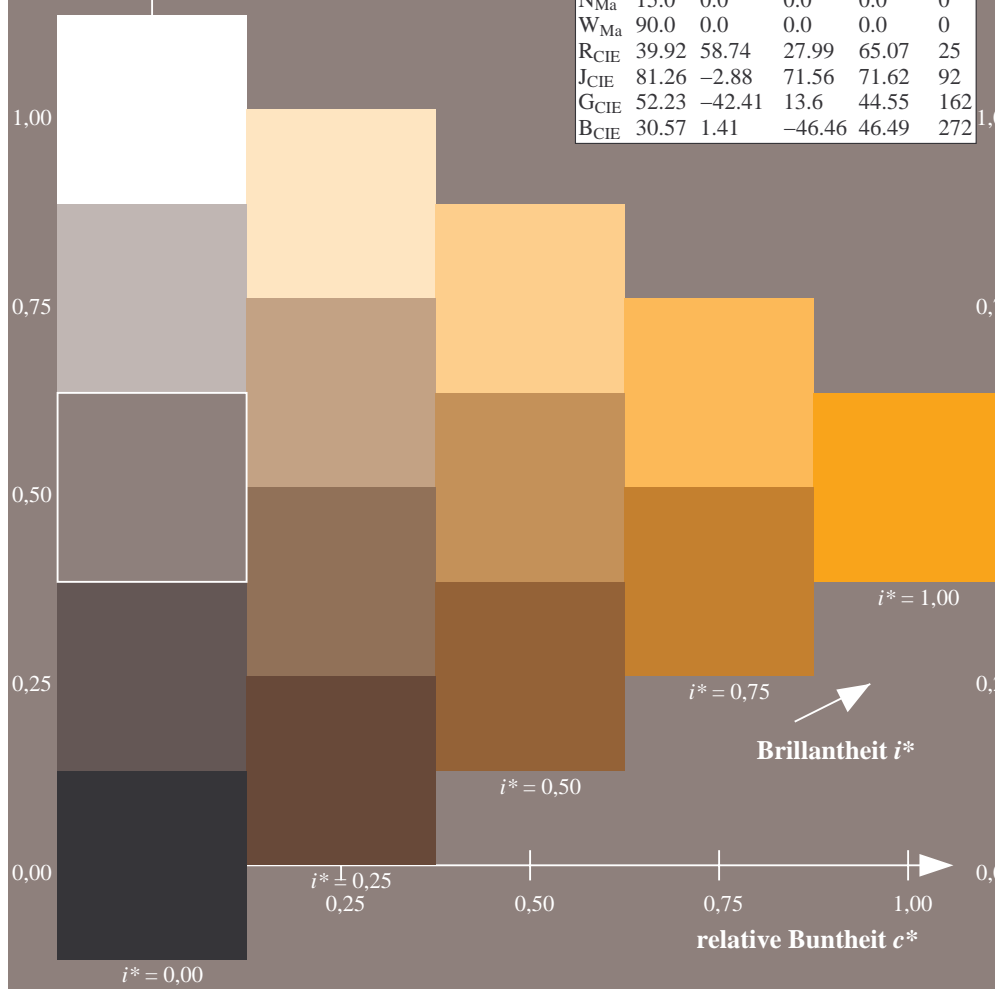
%Regularität

$g^*_{H,rel} = 31$

$g^*_{C,rel} = 40$

FRS15\_90a; adaptierte CIELAB-Daten

	$L^*=L_a^*$	$a_a^*$	$b_a^*$	$C_{ab,a}^*$	$h_{ab,a}^*$
r00j	35.47	56.92	27.12	63.05	25
r25j	39.12	49.04	44.45	66.19	42
r50j	50.64	35.19	58.33	68.13	59
r75j	64.01	19.11	74.45	76.87	76
j00g	83.18	-3.93	97.56	97.64	92
j25g	66.73	-26.86	74.66	79.35	110
j50g	54.03	-43.42	57.07	71.71	127
j75g	44.73	-54.21	38.33	66.4	145
g00b	47.59	-44.11	14.14	46.33	162
g25b	49.97	-35.68	-6.03	36.19	190
g50b	51.85	-29.05	-21.88	36.38	217
g75b	46.92	-15.53	-32.37	35.92	244
b00r	37.91	1.15	-38.05	38.08	272
b25r	23.81	27.31	-46.96	54.33	300
b50r	29.52	62.07	-37.87	72.72	329
b75r	36.48	64.24	-3.31	64.33	357



Ein und Ausgabe: Farbmetrisches Drucker-Reflektiv-System FRS15\_90a für relativen CIELAB-Buntton  $h^* = lab^*h^* = h_{ab}/360 = 92/360 = 0.256$

Daten für jede Farbe:

$lab^*ch^*$  und  $lab^*icu^*$

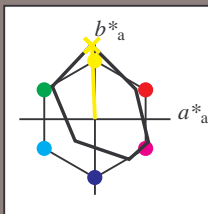
Elementar-Bunttontext:

$u^* = j00g$

Kontrastreduzierungsfaktor:

$c_R = 0.9$

Dreiecks-Helligkeit  $t^*$



FRS15\_90a; adaptierte CIELAB-Daten

	$L^*=L^*_a$	$a^*_a$	$b^*_a$	$C^*_{ab,a}$	$h^*_{ab,a}$
O <sub>Ma</sub>	35.06	53.93	39.55	66.88	36
Y <sub>Ma</sub>	83.77	-4.63	98.26	98.37	93
L <sub>Ma</sub>	44.13	-56.32	43.36	71.09	142
C <sub>Ma</sub>	52.66	-26.18	-28.74	38.89	228
V <sub>Ma</sub>	14.15	45.22	-53.06	69.72	310
M <sub>Ma</sub>	37.37	70.69	-30.1	76.83	337
N <sub>Ma</sub>	15.0	0.0	0.0	0.0	0
W <sub>Ma</sub>	90.0	0.0	0.0	0.0	0
R <sub>CIE</sub>	39.92	58.74	27.99	65.07	25
J <sub>CIE</sub>	81.26	-2.88	71.56	71.62	92
G <sub>CIE</sub>	52.23	-42.41	13.6	44.55	162
B <sub>CIE</sub>	30.57	1.41	-46.46	46.49	272

Daten für Maximalfarbe (Ma):

$LAB^*LAB^*_{Ma}$ : 83 -3 98

$LAB^*LCH^*_{Ma}$ : 83 98 92

$lab^*rgb^*_{Ma}$ : 1.0 1.0 0.0

$lab^*olv^*_{Ma}$ : 1.0 0.99 0.0

Dreiecks-Helligkeit  $t^*$

%Umfang

$u^*_{rel} = 88$

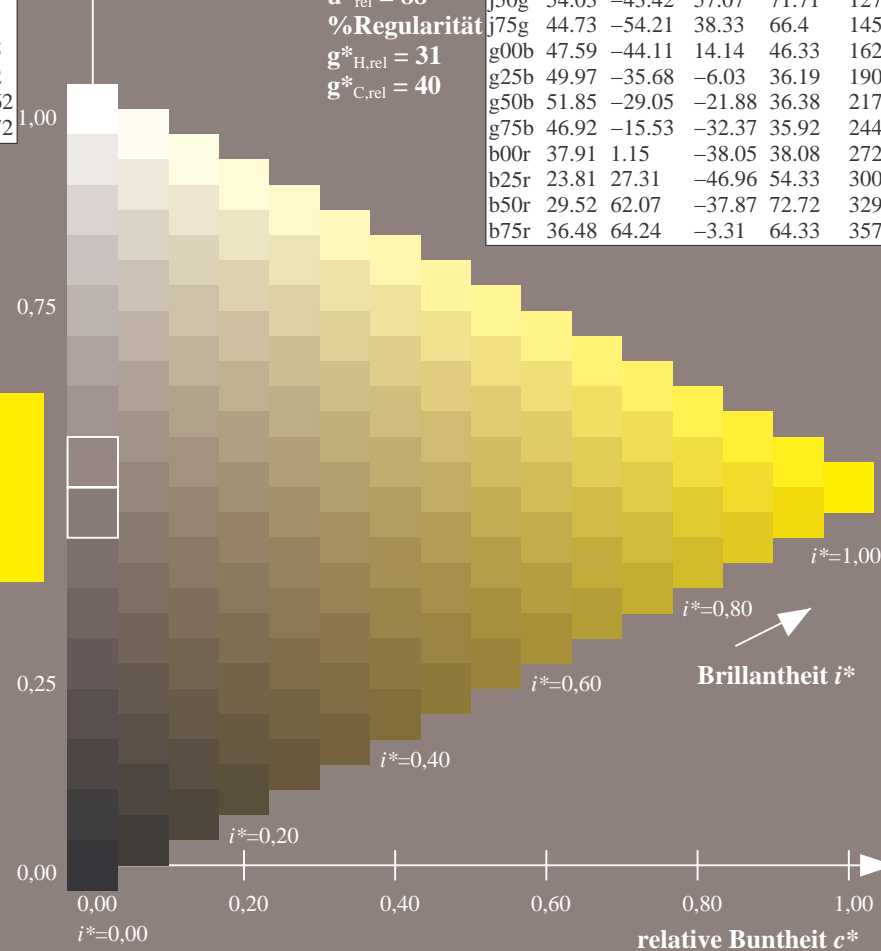
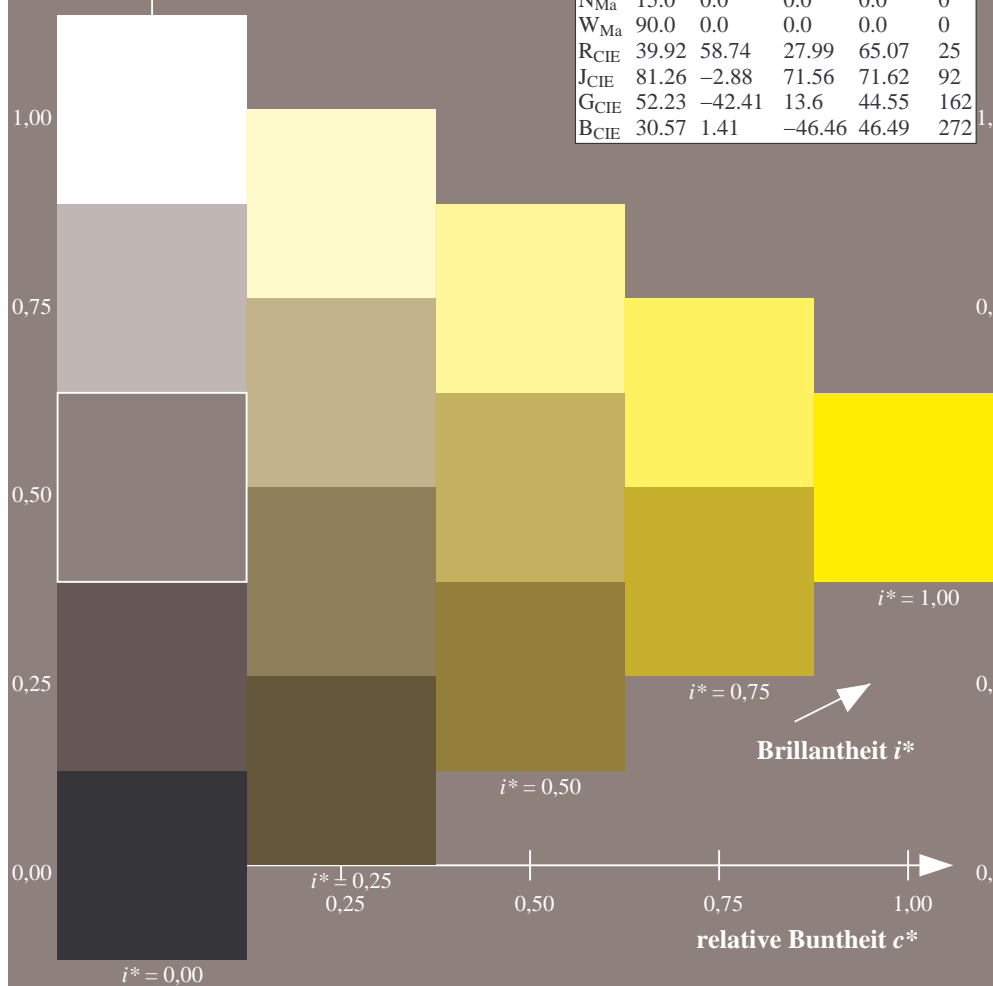
%Regularität

$g^*_{H,rel} = 31$

$g^*_{C,rel} = 40$

FRS15\_90a; adaptierte CIELAB-Daten

	$L^*=L^*_a$	$a^*_a$	$b^*_a$	$C^*_{ab,a}$	$h^*_{ab,a}$
r00j	35.47	56.92	27.12	63.05	25
r25j	39.12	49.04	44.45	66.19	42
r50j	50.64	35.19	58.33	68.13	59
r75j	64.01	19.11	74.45	76.87	76
j00g	83.18	-3.93	97.56	97.64	92
j25g	66.73	-26.86	74.66	79.35	110
j50g	54.03	-43.42	57.07	71.71	127
j75g	44.73	-54.21	38.33	66.4	145
g00b	47.59	-44.11	14.14	46.33	162
g25b	49.97	-35.68	-6.03	36.19	190
g50b	51.85	-29.05	-21.88	36.38	217
g75b	46.92	-15.53	-32.37	35.92	244
b00r	37.91	1.15	-38.05	38.08	272
b25r	23.81	27.31	-46.96	54.33	300
b50r	29.52	62.07	-37.87	72.72	329
b75r	36.48	64.24	-3.31	64.33	357



Ein und Ausgabe: Farbmetrisches Drucker-Reflektiv-System FRS15\_90a für relativen CIELAB-Buntton  $h^* = lab^*h^* = h_{ab}/360 = 110/360 = 0.305$

Daten für jede Farbe:

$lab^*tch^*$  und  $lab^*icu^*$

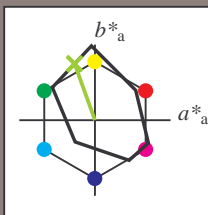
Elementar-Bunttontext:

$u^* = j25g$

Kontrastreduzierungsfaktor:

$c_R = 0.9$

Dreiecks-Helligkeit  $t^*$



FRS15\_90a; adaptierte CIELAB-Daten

	$L^*=L^*_a$	$a^*_a$	$b^*_a$	$C^*_{ab,a}$	$h^*_{ab,a}$
O <sub>Ma</sub>	35.06	53.93	39.55	66.88	36
Y <sub>Ma</sub>	83.77	-4.63	98.26	98.37	93
L <sub>Ma</sub>	44.13	-56.32	43.36	71.09	142
C <sub>Ma</sub>	52.66	-26.18	-28.74	38.89	228
V <sub>Ma</sub>	14.15	45.22	-53.06	69.72	310
M <sub>Ma</sub>	37.37	70.69	-30.1	76.83	337
N <sub>Ma</sub>	15.0	0.0	0.0	0.0	0
W <sub>Ma</sub>	90.0	0.0	0.0	0.0	0
R <sub>CIE</sub>	39.92	58.74	27.99	65.07	25
J <sub>CIE</sub>	81.26	-2.88	71.56	71.62	92
G <sub>CIE</sub>	52.23	-42.41	13.6	44.55	162
B <sub>CIE</sub>	30.57	1.41	-46.46	46.49	272

Daten für Maximalfarbe (Ma):

$LAB^*LAB^*_{Ma}$ : 67 -26 75

$LAB^*LCH^*_{Ma}$ : 67 79 110

$lab^*rgb^*_{Ma}$ : 0.75 1.0 0.0

$lab^*olv^*_{Ma}$ : 0.57 1.0 0.0

Dreiecks-Helligkeit  $t^*$

%Umfang

$u^*_{rel} = 88$

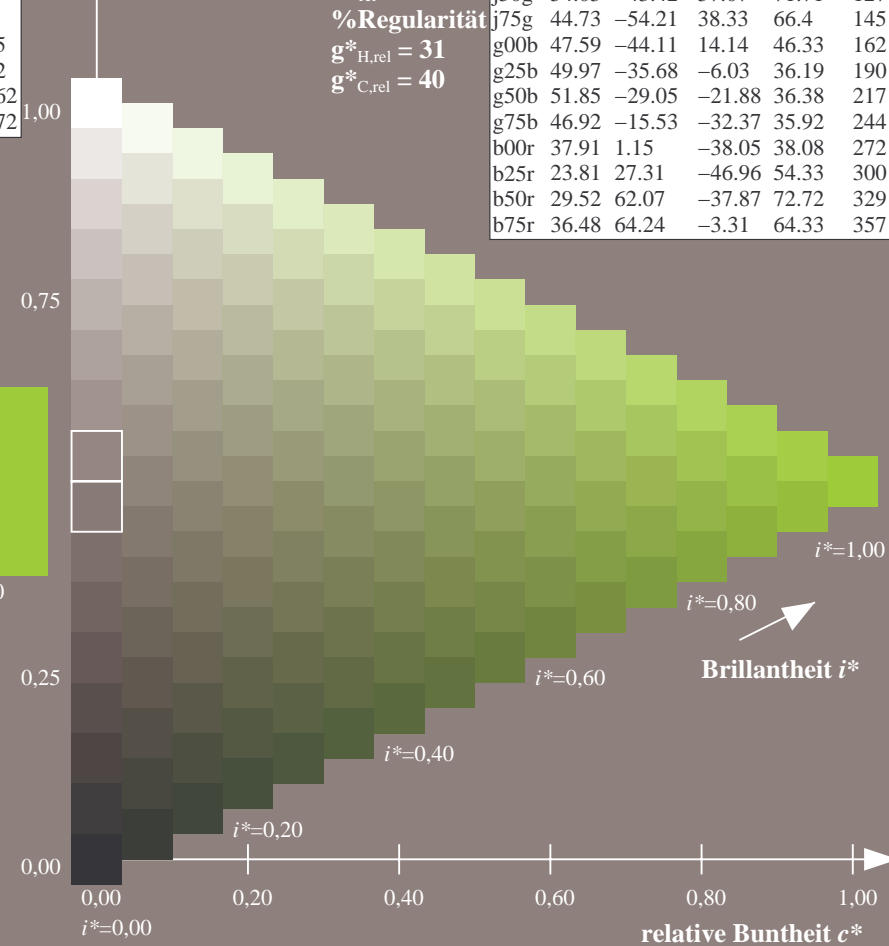
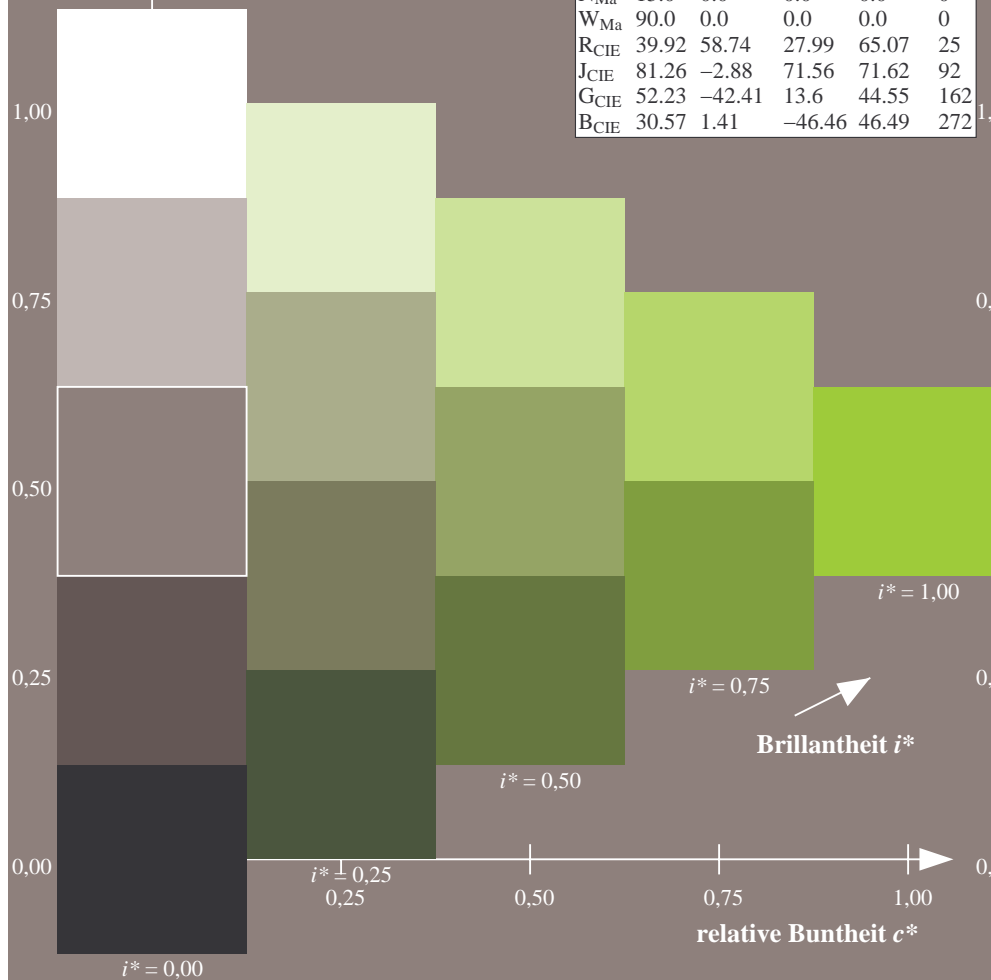
%Regularität

$g^*_{H,rel} = 31$

$g^*_{C,rel} = 40$

FRS15\_90a; adaptierte CIELAB-Daten

	$L^*=L^*_a$	$a^*_a$	$b^*_a$	$C^*_{ab,a}$	$h^*_{ab,a}$
r00j	35.47	56.92	27.12	63.05	25
r25j	39.12	49.04	44.45	66.19	42
r50j	50.64	35.19	58.33	68.13	59
r75j	64.01	19.11	74.45	76.87	76
j00g	83.18	-3.93	97.56	97.64	92
j25g	66.73	-26.86	74.66	79.35	110
j50g	54.03	-43.42	57.07	71.71	127
j75g	44.73	-54.21	38.33	66.4	145
g00b	47.59	-44.11	14.14	46.33	162
g25b	49.97	-35.68	-6.03	36.19	190
g50b	51.85	-29.05	-21.88	36.38	217
g75b	46.92	-15.53	-32.37	35.92	244
b00r	37.91	1.15	-38.05	38.08	272
b25r	23.81	27.31	-46.96	54.33	300
b50r	29.52	62.07	-37.87	72.72	329
b75r	36.48	64.24	-3.31	64.33	357



Ein und Ausgabe: Farbmetrisches Drucker-Reflektiv-System FRS15\_90a für relativen CIELAB-Buntton  $h^* = lab^*h^* = h_{ab}/360 = 127/360 = 0.354$

Daten für jede Farbe:

$lab^*ch^*$  und  $lab^*icu^*$

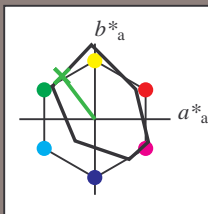
Elementar-Bunttontext:

$u^* = j50g$

Kontrastreduzierungsfaktor:

$c_R = 0.9$

Dreiecks-Helligkeit  $i^*$



FRS15\_90a; adaptierte CIELAB-Daten

	$L^*=L^*_a$	$a^*_a$	$b^*_a$	$C^*_{ab,a}$	$h^*_{ab,a}$
O <sub>Ma</sub>	35.06	53.93	39.55	66.88	36
Y <sub>Ma</sub>	83.77	-4.63	98.26	98.37	93
L <sub>Ma</sub>	44.13	-56.32	43.36	71.09	142
C <sub>Ma</sub>	52.66	-26.18	-28.74	38.89	228
V <sub>Ma</sub>	14.15	45.22	-53.06	69.72	310
M <sub>Ma</sub>	37.37	70.69	-30.1	76.83	337
N <sub>Ma</sub>	15.0	0.0	0.0	0.0	0
W <sub>Ma</sub>	90.0	0.0	0.0	0.0	0
R <sub>CIE</sub>	39.92	58.74	27.99	65.07	25
J <sub>CIE</sub>	81.26	-2.88	71.56	71.62	92
G <sub>CIE</sub>	52.23	-42.41	13.6	44.55	162
B <sub>CIE</sub>	30.57	1.41	-46.46	46.49	272

Daten für Maximalfarbe (Ma):

$LAB^*LAB^*_{Ma}$ : 54 -42 57

$LAB^*LCH^*_{Ma}$ : 54 72 127

$lab^*rgb^*_{Ma}$ : 0.5 1.0 0.0

$lab^*olv^*_{Ma}$ : 0.25 1.0 0.0

Dreiecks-Helligkeit  $i^*$

%Umfang

$u^*_{rel} = 88$

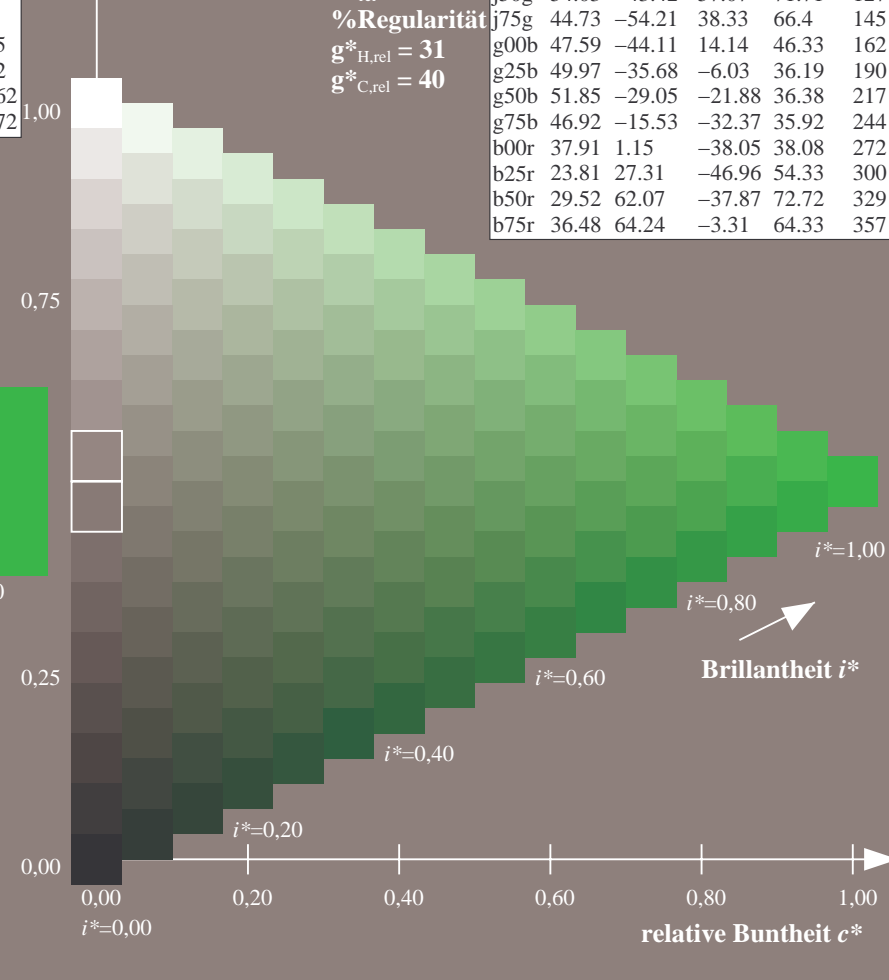
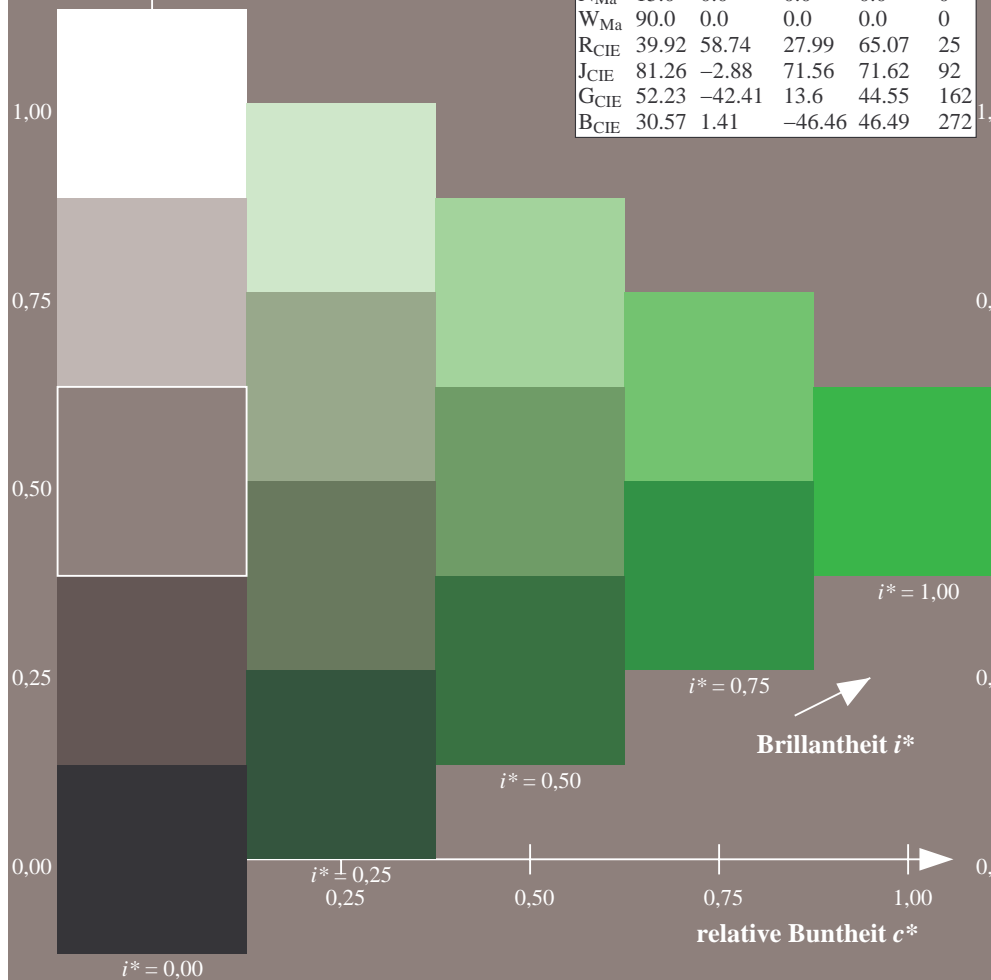
%Regularität

$g^*_{H,rel} = 31$

$g^*_{C,rel} = 40$

FRS15\_90a; adaptierte CIELAB-Daten

	$L^*=L^*_a$	$a^*_a$	$b^*_a$	$C^*_{ab,a}$	$h^*_{ab,a}$
r00j	35.47	56.92	27.12	63.05	25
r25j	39.12	49.04	44.45	66.19	42
r50j	50.64	35.19	58.33	68.13	59
r75j	64.01	19.11	74.45	76.87	76
j00g	83.18	-3.93	97.56	97.64	92
j25g	66.73	-26.86	74.66	79.35	110
j50g	54.03	-43.42	57.07	71.71	127
j75g	44.73	-54.21	38.33	66.4	145
g00b	47.59	-44.11	14.14	46.33	162
g25b	49.97	-35.68	-6.03	36.19	190
g50b	51.85	-29.05	-21.88	36.38	217
g75b	46.92	-15.53	-32.37	35.92	244
b00r	37.91	1.15	-38.05	38.08	272
b25r	23.81	27.31	-46.96	54.33	300
b50r	29.52	62.07	-37.87	72.72	329
b75r	36.48	64.24	-3.31	64.33	357





Ein und Ausgabe: Farbmetrisches Drucker-Reflektiv-System FRS15\_90a für relativen CIELAB-Buntton  $h^* = lab^*h^* = h_{ab}/360 = 145/360 = 0.402$

Daten für jede Farbe:

$lab^*ch^*$  und  $lab^*icu^*$

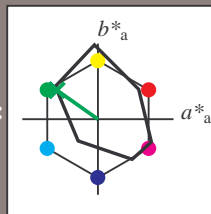
Elementar-Bunttontext:

$u^* = j75g$

Kontrastreduzierungsfaktor:

$c_R = 0.9$

Dreiecks-Helligkeit  $i^*$



FRS15\_90a; adaptierte CIELAB-Daten

	$L^*=L^*_a$	$a^*_a$	$b^*_a$	$C^*_{ab,a}$	$h^*_{ab,a}$
O <sub>Ma</sub>	35.06	53.93	39.55	66.88	36
Y <sub>Ma</sub>	83.77	-4.63	98.26	98.37	93
L <sub>Ma</sub>	44.13	-56.32	43.36	71.09	142
C <sub>Ma</sub>	52.66	-26.18	-28.74	38.89	228
V <sub>Ma</sub>	14.15	45.22	-53.06	69.72	310
M <sub>Ma</sub>	37.37	70.69	-30.1	76.83	337
N <sub>Ma</sub>	15.0	0.0	0.0	0.0	0
W <sub>Ma</sub>	90.0	0.0	0.0	0.0	0
R <sub>CIE</sub>	39.92	58.74	27.99	65.07	25
J <sub>CIE</sub>	81.26	-2.88	71.56	71.62	92
G <sub>CIE</sub>	52.23	-42.41	13.6	44.55	162
B <sub>CIE</sub>	30.57	1.41	-46.46	46.49	272

Daten für Maximalfarbe (Ma):

$LAB^*LAB^*_{Ma}$ : 45 -53 38

$LAB^*LCH^*_{Ma}$ : 45 66 145

$lab^*rgb^*_{Ma}$ : 0.25 1.0 0.0

$lab^*olv^*_{Ma}$ : 0.0 1.0 0.07

Dreiecks-Helligkeit  $i^*$

%Umfang

$u^*_{rel} = 88$

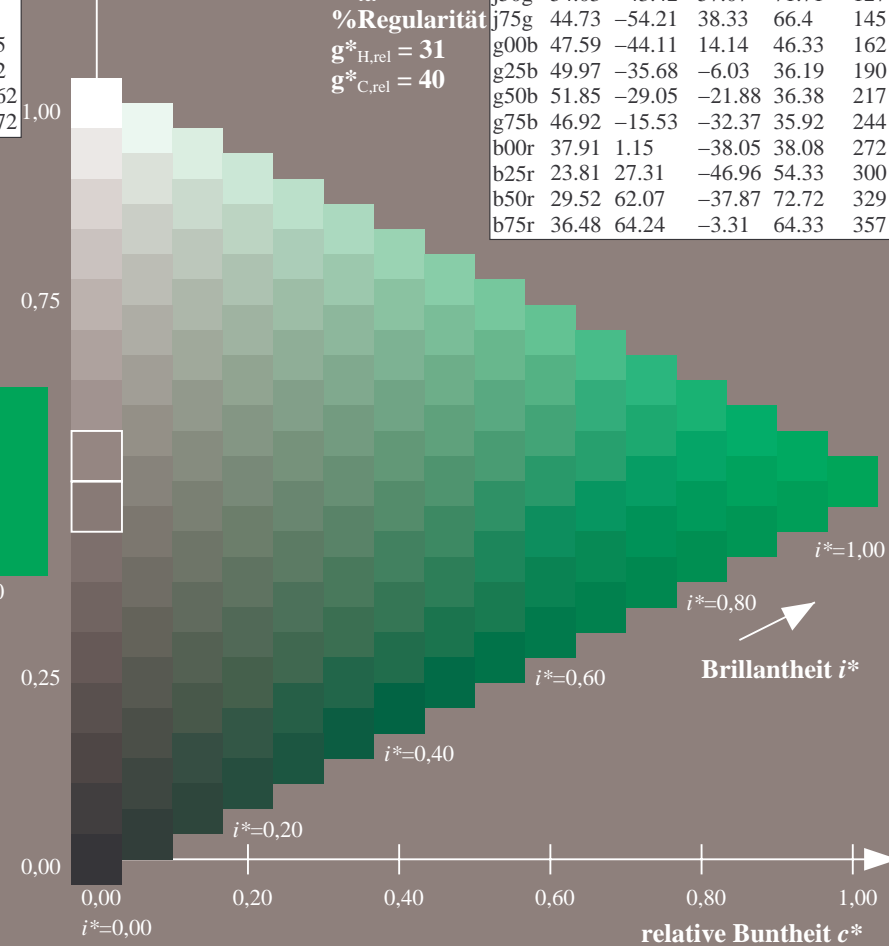
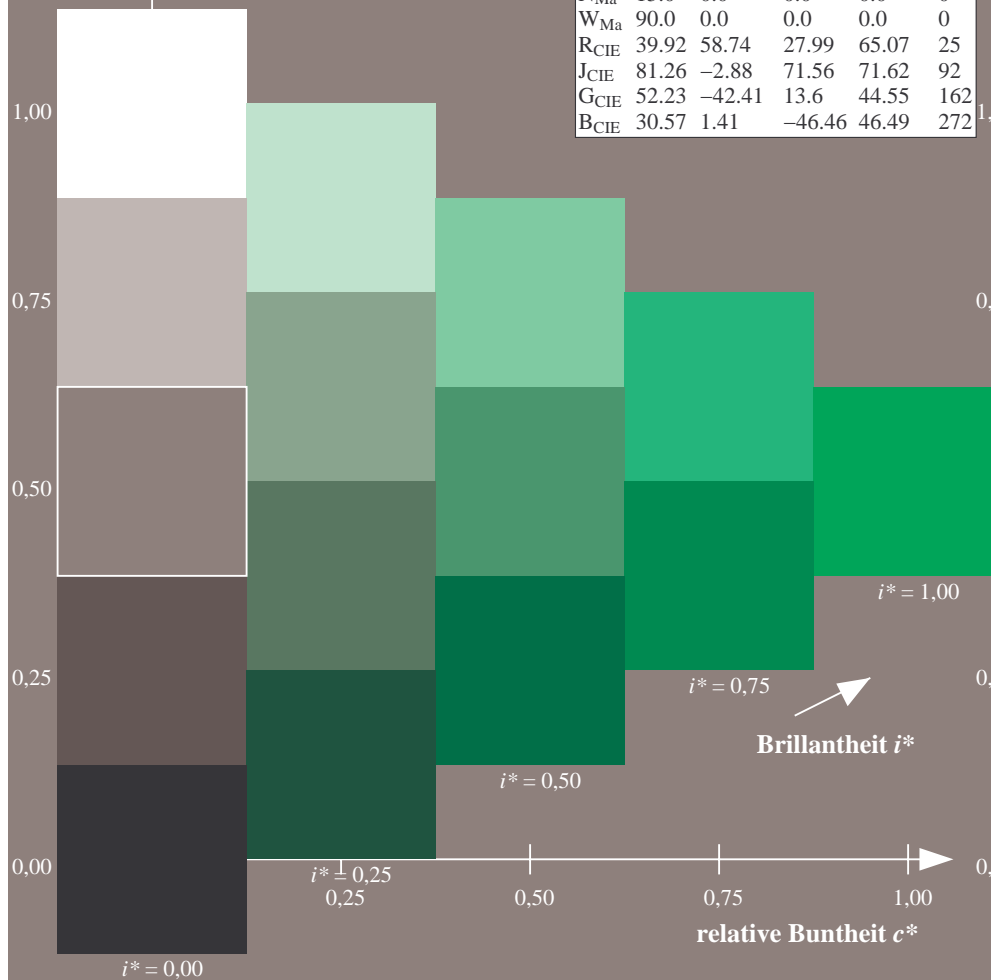
%Regularität

$g^*_{H,rel} = 31$

$g^*_{C,rel} = 40$

FRS15\_90a; adaptierte CIELAB-Daten

	$L^*=L^*_a$	$a^*_a$	$b^*_a$	$C^*_{ab,a}$	$h^*_{ab,a}$
r00j	35.47	56.92	27.12	63.05	25
r25j	39.12	49.04	44.45	66.19	42
r50j	50.64	35.19	58.33	68.13	59
r75j	64.01	19.11	74.45	76.87	76
j00g	83.18	-3.93	97.56	97.64	92
j25g	66.73	-26.86	74.66	79.35	110
j50g	54.03	-43.42	57.07	71.71	127
j75g	44.73	-54.21	38.33	66.4	145
g00b	47.59	-44.11	14.14	46.33	162
g25b	49.97	-35.68	-6.03	36.19	190
g50b	51.85	-29.05	-21.88	36.38	217
g75b	46.92	-15.53	-32.37	35.92	244
b00r	37.91	1.15	-38.05	38.08	272
b25r	23.81	27.31	-46.96	54.33	300
b50r	29.52	62.07	-37.87	72.72	329
b75r	36.48	64.24	-3.31	64.33	357



Ein und Ausgabe: Farbmetrisches Drucker-Reflektiv-System FRS15\_90a für relativen CIELAB-Buntton  $h^* = lab^*h^* = h_{ab}/360 = 162/360 = 0.451$

Daten für jede Farbe:

$lab^*ch^*$  und  $lab^*icu^*$

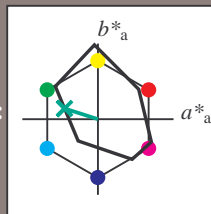
Elementar-Bunttontext:

$u^* = g00b$

Kontrastreduzierungsfaktor:

$c_R = 0.9$

Dreiecks-Helligkeit  $t^*$



FRS15\_90a; adaptierte CIELAB-Daten

	$L^*=L_a^*$	$a_a^*$	$b_a^*$	$C^*_{ab,a}$	$h^*_{ab,a}$
O <sub>Ma</sub>	35.06	53.93	39.55	66.88	36
Y <sub>Ma</sub>	83.77	-4.63	98.26	98.37	93
L <sub>Ma</sub>	44.13	-56.32	43.36	71.09	142
C <sub>Ma</sub>	52.66	-26.18	-28.74	38.89	228
V <sub>Ma</sub>	14.15	45.22	-53.06	69.72	310
M <sub>Ma</sub>	37.37	70.69	-30.1	76.83	337
N <sub>Ma</sub>	15.0	0.0	0.0	0.0	0
W <sub>Ma</sub>	90.0	0.0	0.0	0.0	0
R <sub>CIE</sub>	39.92	58.74	27.99	65.07	25
J <sub>CIE</sub>	81.26	-2.88	71.56	71.62	92
G <sub>CIE</sub>	52.23	-42.41	13.6	44.55	162
B <sub>CIE</sub>	30.57	1.41	-46.46	46.49	272

Daten für Maximalfarbe (Ma):

$LAB^*LAB^*_{Ma}$ : 48 -43 14

$LAB^*LCH^*_{Ma}$ : 48 46 162

$lab^*rgb^*_{Ma}$ : 0.0 1.0 0.0

$lab^*olv^*_{Ma}$ : 0.0 1.0 0.41

Dreiecks-Helligkeit  $t^*$

%Umfang

$u^*_{rel} = 88$

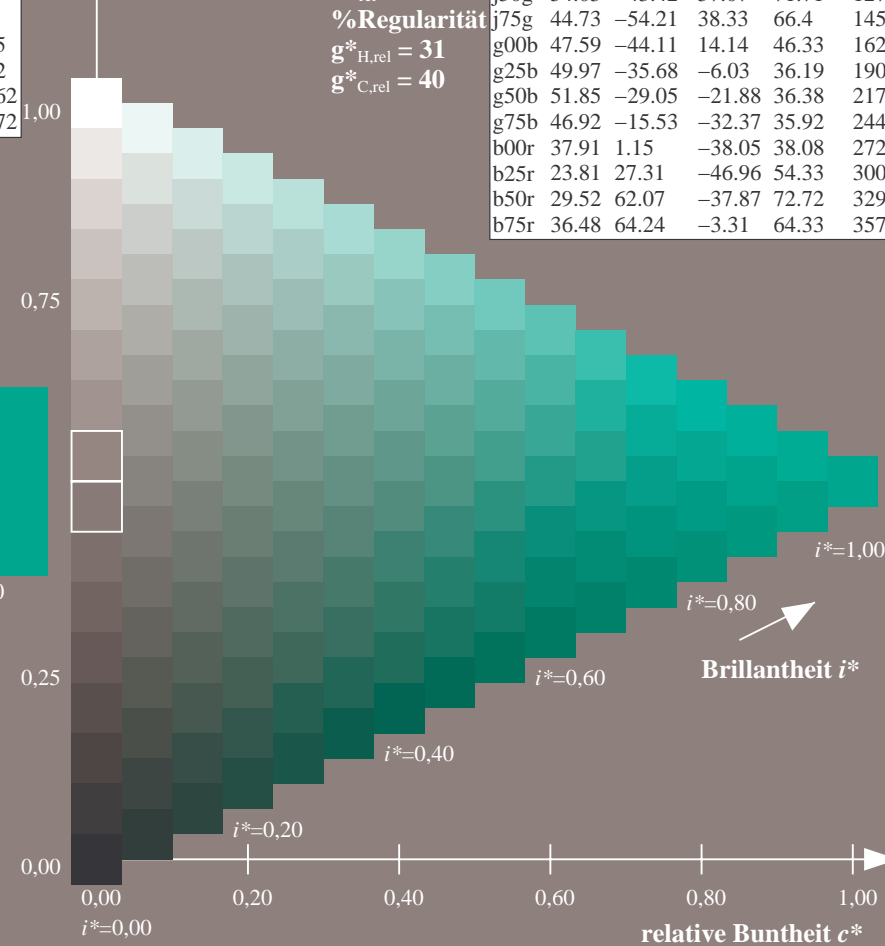
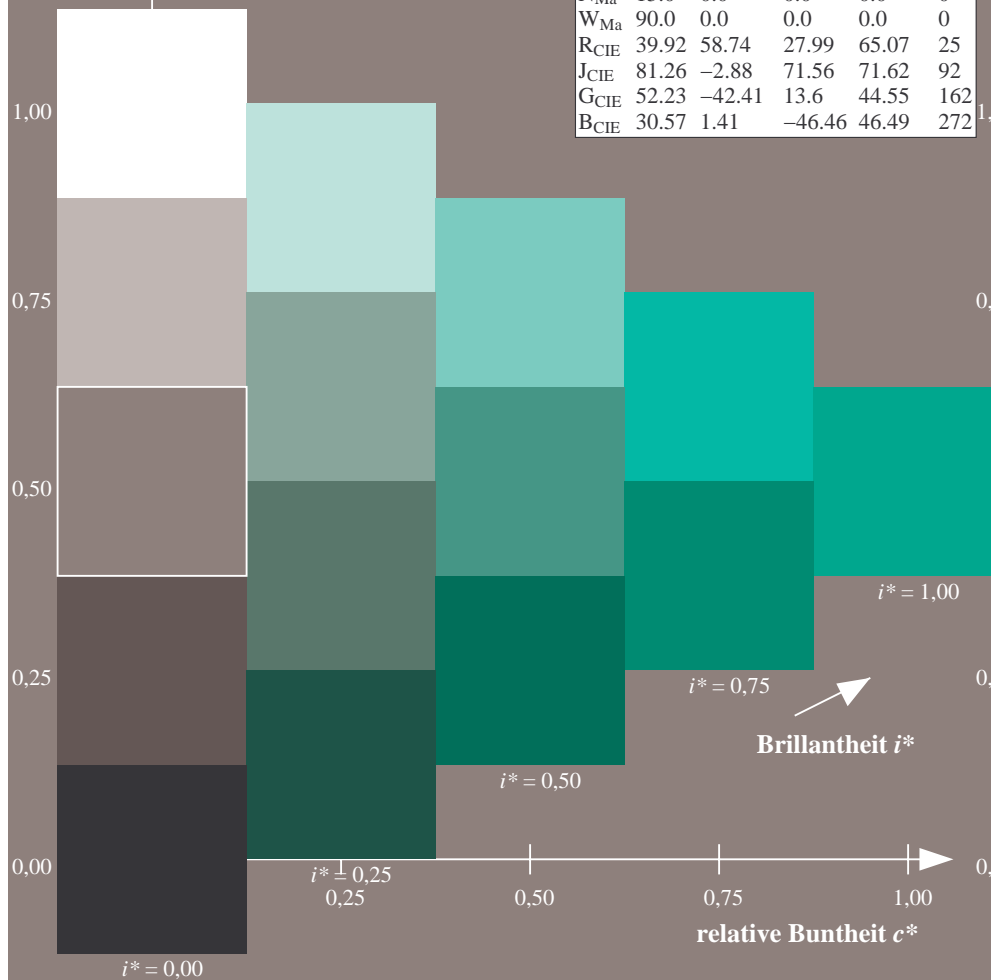
%Regularität

$g^*_{H,rel} = 31$

$g^*_{C,rel} = 40$

FRS15\_90a; adaptierte CIELAB-Daten

	$L^*=L_a^*$	$a_a^*$	$b_a^*$	$C^*_{ab,a}$	$h^*_{ab,a}$
r00j	35.47	56.92	27.12	63.05	25
r25j	39.12	49.04	44.45	66.19	42
r50j	50.64	35.19	58.33	68.13	59
r75j	64.01	19.11	74.45	76.87	76
j00g	83.18	-3.93	97.56	97.64	92
j25g	66.73	-26.86	74.66	79.35	110
j50g	54.03	-43.42	57.07	71.71	127
j75g	44.73	-54.21	38.33	66.4	145
g00b	47.59	-44.11	14.14	46.33	162
g25b	49.97	-35.68	-6.03	36.19	190
g50b	51.85	-29.05	-21.88	36.38	217
g75b	46.92	-15.53	-32.37	35.92	244
b00r	37.91	1.15	-38.05	38.08	272
b25r	23.81	27.31	-46.96	54.33	300
b50r	29.52	62.07	-37.87	72.72	329
b75r	36.48	64.24	-3.31	64.33	357



Ein und Ausgabe: Farbmetrisches Drucker-Reflektiv-System FRS15\_90a für relativen CIELAB-Buntton  $h^* = lab^*h^* = h_{ab}/360 = 190/360 = 0.527$

Daten für jede Farbe:

$lab^*ch^*$  und  $lab^*icu^*$

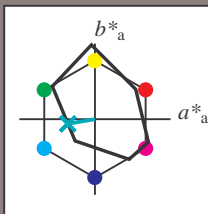
Elementar-Bunttontext:

$u^* = g25b$

Kontrastreduzierungsfaktor:

$c_R = 0.9$

Dreiecks-Helligkeit  $t^*$



FRS15\_90a; adaptierte CIELAB-Daten

	$L^*=L_a^*$	$a_a^*$	$b_a^*$	$C_{ab,a}^*$	$h_{ab,a}^*$
O <sub>Ma</sub>	35.06	53.93	39.55	66.88	36
Y <sub>Ma</sub>	83.77	-4.63	98.26	98.37	93
L <sub>Ma</sub>	44.13	-56.32	43.36	71.09	142
C <sub>Ma</sub>	52.66	-26.18	-28.74	38.89	228
V <sub>Ma</sub>	14.15	45.22	-53.06	69.72	310
M <sub>Ma</sub>	37.37	70.69	-30.1	76.83	337
N <sub>Ma</sub>	15.0	0.0	0.0	0.0	0
W <sub>Ma</sub>	90.0	0.0	0.0	0.0	0
R <sub>CIE</sub>	39.92	58.74	27.99	65.07	25
J <sub>CIE</sub>	81.26	-2.88	71.56	71.62	92
G <sub>CIE</sub>	52.23	-42.41	13.6	44.55	162
B <sub>CIE</sub>	30.57	1.41	-46.46	46.49	272

Daten für Maximalfarbe (Ma):

$LAB^*LAB^*_{Ma}$ : 50 -35 -5

$LAB^*LCH^*_{Ma}$ : 50 36 190

$lab^*rgb^*_{Ma}$ : 0.0 1.0 0.5

$lab^*olv^*_{Ma}$ : 0.0 1.0 0.69

Dreiecks-Helligkeit  $t^*$

%Umfang

$u^*_{rel} = 88$

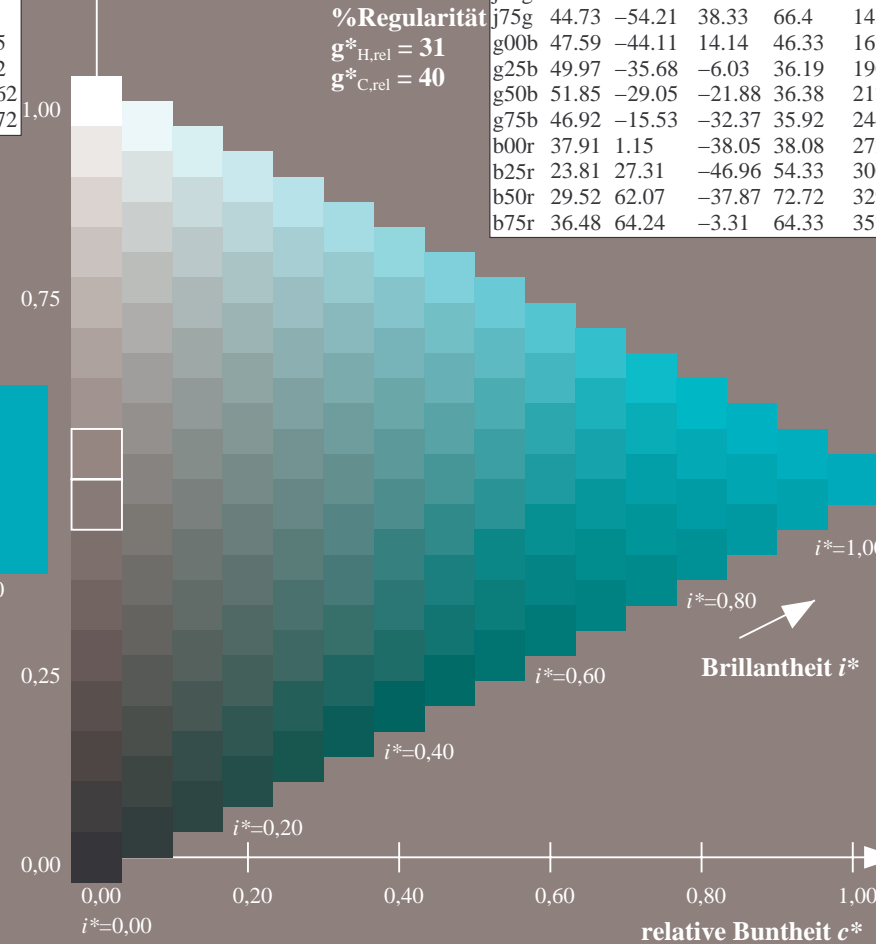
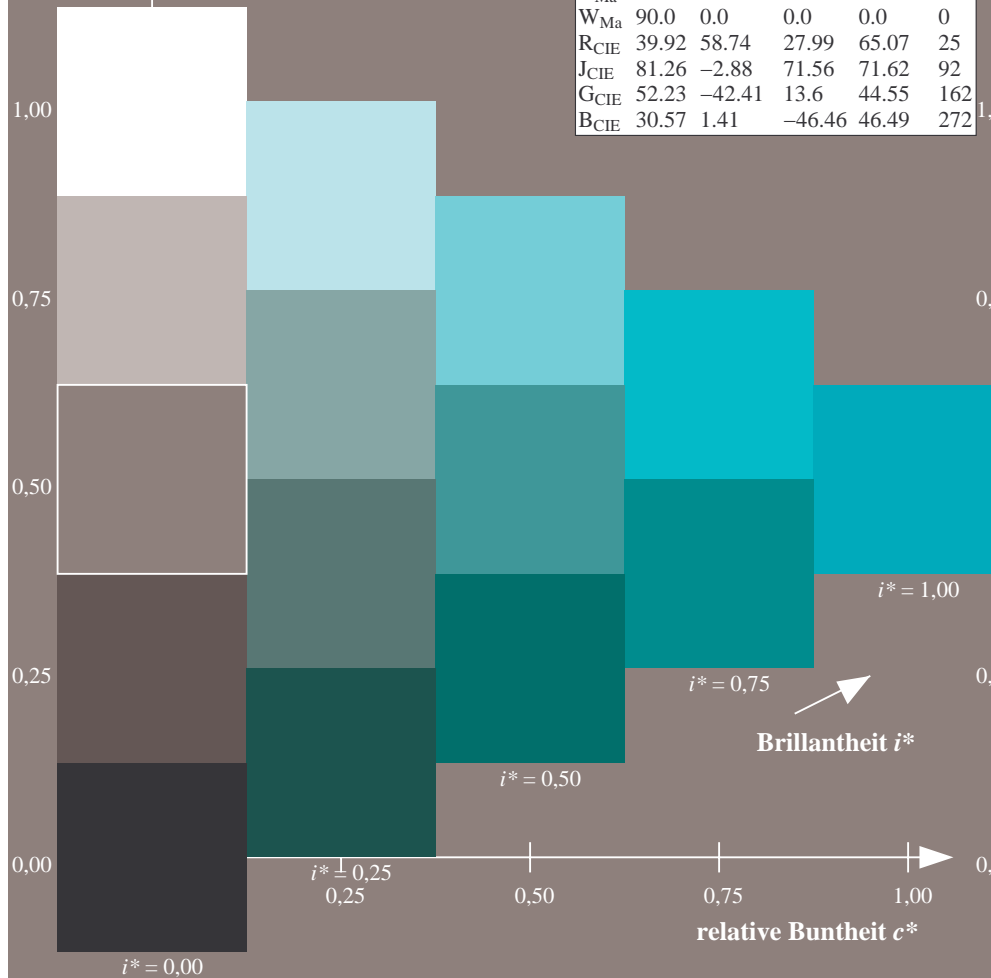
%Regularität

$g^*_{H,rel} = 31$

$g^*_{C,rel} = 40$

FRS15\_90a; adaptierte CIELAB-Daten

	$L^*=L_a^*$	$a_a^*$	$b_a^*$	$C_{ab,a}^*$	$h_{ab,a}^*$
r00j	35.47	56.92	27.12	63.05	25
r25j	39.12	49.04	44.45	66.19	42
r50j	50.64	35.19	58.33	68.13	59
r75j	64.01	19.11	74.45	76.87	76
j00g	83.18	-3.93	97.56	97.64	92
j25g	66.73	-26.86	74.66	79.35	110
j50g	54.03	-43.42	57.07	71.71	127
j75g	44.73	-54.21	38.33	66.4	145
g00b	47.59	-44.11	14.14	46.33	162
g25b	49.97	-35.68	-6.03	36.19	190
g50b	51.85	-29.05	-21.88	36.38	217
g75b	46.92	-15.53	-32.37	35.92	244
b00r	37.91	1.15	-38.05	38.08	272
b25r	23.81	27.31	-46.96	54.33	300
b50r	29.52	62.07	-37.87	72.72	329
b75r	36.48	64.24	-3.31	64.33	357



Ein und Ausgabe: Farbmetrisches Drucker-Reflektiv-System FRS15\_90a für relativen CIELAB-Buntton  $h^* = lab^*h^* = h_{ab}/360 = 217/360 = 0.603$

Daten für jede Farbe:

$lab^*ch^*$  und  $lab^*icu^*$

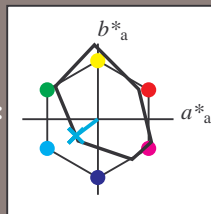
Elementar-Bunttontext:

$u^* = g50b$

Kontrastreduzierungsfaktor:

$c_R = 0.9$

Dreiecks-Helligkeit  $t^*$



FRS15\_90a; adaptierte CIELAB-Daten

	$L^*=L^*_a$	$a^*_a$	$b^*_a$	$C^*_{ab,a}$	$h^*_{ab,a}$
O <sub>Ma</sub>	35.06	53.93	39.55	66.88	36
Y <sub>Ma</sub>	83.77	-4.63	98.26	98.37	93
L <sub>Ma</sub>	44.13	-56.32	43.36	71.09	142
C <sub>Ma</sub>	52.66	-26.18	-28.74	38.89	228
V <sub>Ma</sub>	14.15	45.22	-53.06	69.72	310
M <sub>Ma</sub>	37.37	70.69	-30.1	76.83	337
N <sub>Ma</sub>	15.0	0.0	0.0	0.0	0
W <sub>Ma</sub>	90.0	0.0	0.0	0.0	0
R <sub>CIE</sub>	39.92	58.74	27.99	65.07	25
J <sub>CIE</sub>	81.26	-2.88	71.56	71.62	92
G <sub>CIE</sub>	52.23	-42.41	13.6	44.55	162
B <sub>CIE</sub>	30.57	1.41	-46.46	46.49	272

Daten für Maximalfarbe (Ma):

$LAB^*LAB^*_{Ma}$ : 52 -28 -21

$LAB^*LCH^*_{Ma}$ : 52 36 217

$lab^*rgb^*_{Ma}$ : 0.0 1.0 1.0

$lab^*olv^*_{Ma}$ : 0.0 1.0 0.9

Dreiecks-Helligkeit  $t^*$

%Umfang

$u^*_{rel} = 88$

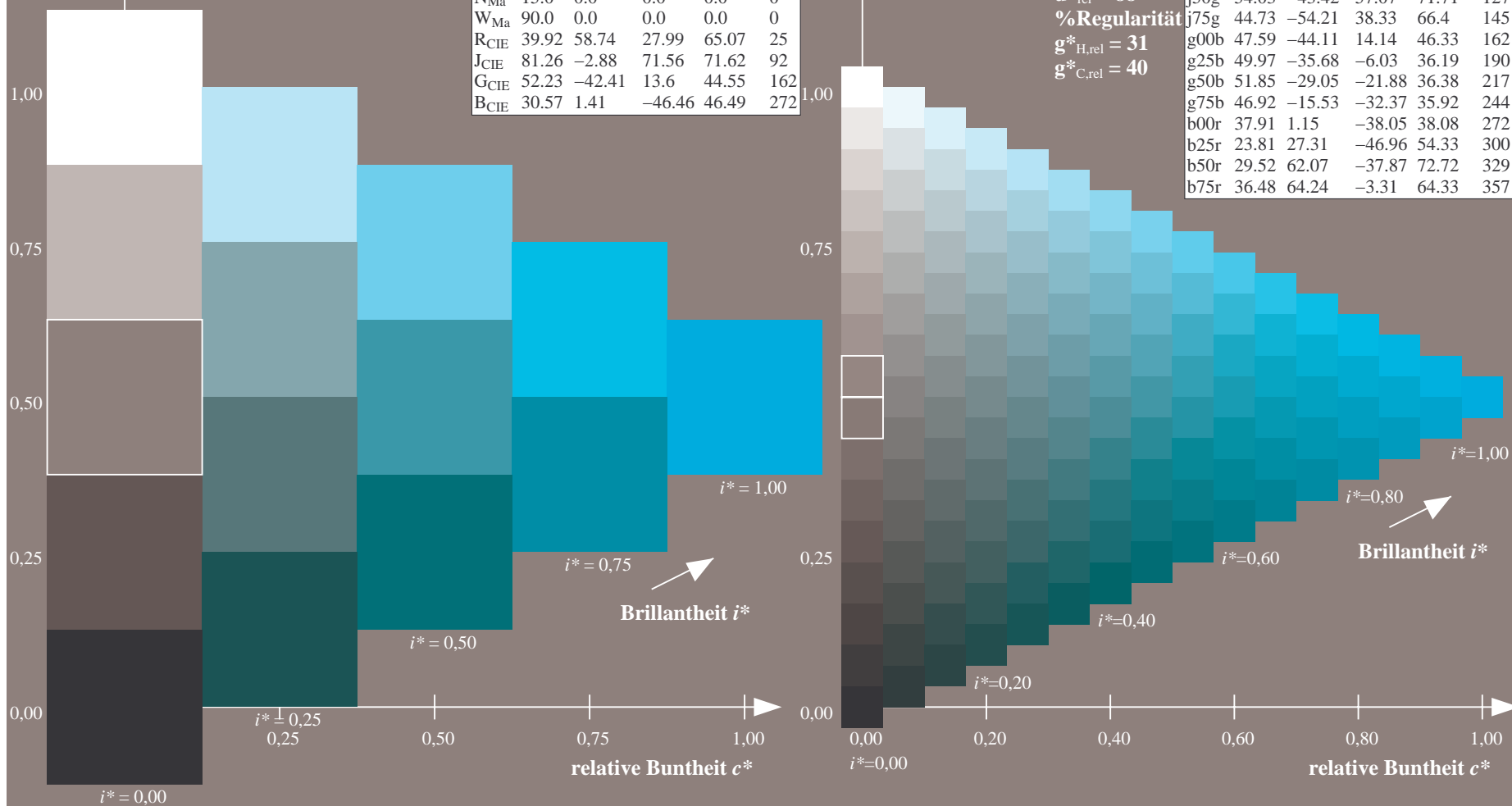
%Regularität

$g^*_{H,rel} = 31$

$g^*_{C,rel} = 40$

FRS15\_90a; adaptierte CIELAB-Daten

	$L^*=L^*_a$	$a^*_a$	$b^*_a$	$C^*_{ab,a}$	$h^*_{ab,a}$
r00j	35.47	56.92	27.12	63.05	25
r25j	39.12	49.04	44.45	66.19	42
r50j	50.64	35.19	58.33	68.13	59
r75j	64.01	19.11	74.45	76.87	76
j00g	83.18	-3.93	97.56	97.64	92
j25g	66.73	-26.86	74.66	79.35	110
j50g	54.03	-43.42	57.07	71.71	127
j75g	44.73	-54.21	38.33	66.4	145
g00b	47.59	-44.11	14.14	46.33	162
g25b	49.97	-35.68	-6.03	36.19	190
g50b	51.85	-29.05	-21.88	36.38	217
g75b	46.92	-15.53	-32.37	35.92	244
b00r	37.91	1.15	-38.05	38.08	272
b25r	23.81	27.31	-46.96	54.33	300
b50r	29.52	62.07	-37.87	72.72	329
b75r	36.48	64.24	-3.31	64.33	357



Ein und Ausgabe: Farbmetrisches Drucker-Reflektiv-System FRS15\_90a für relativen CIELAB-Buntton  $h^* = lab^*h^* = h_{ab}/360 = 244/360 = 0.679$

Daten für jede Farbe:

$lab^*ch^*$  und  $lab^*icu^*$

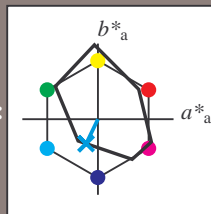
Elementar-Bunttontext:

$u^* = g75b$

Kontrastreduzierungsfaktor:

$c_R = 0.9$

Dreiecks-Helligkeit  $t^*$



FRS15\_90a; adaptierte CIELAB-Daten

	$L^*=L^*_a$	$a^*_a$	$b^*_a$	$C^*_{ab,a}$	$h^*_{ab,a}$
O <sub>Ma</sub>	35.06	53.93	39.55	66.88	36
Y <sub>Ma</sub>	83.77	-4.63	98.26	98.37	93
L <sub>Ma</sub>	44.13	-56.32	43.36	71.09	142
C <sub>Ma</sub>	52.66	-26.18	-28.74	38.89	228
V <sub>Ma</sub>	14.15	45.22	-53.06	69.72	310
M <sub>Ma</sub>	37.37	70.69	-30.1	76.83	337
N <sub>Ma</sub>	15.0	0.0	0.0	0.0	0
W <sub>Ma</sub>	90.0	0.0	0.0	0.0	0
R <sub>CIE</sub>	39.92	58.74	27.99	65.07	25
J <sub>CIE</sub>	81.26	-2.88	71.56	71.62	92
G <sub>CIE</sub>	52.23	-42.41	13.6	44.55	162
B <sub>CIE</sub>	30.57	1.41	-46.46	46.49	272

Daten für Maximalfarbe (Ma):

$LAB^*LAB^*_{Ma}$ : 47 -15 -31

$LAB^*LCH^*_{Ma}$ : 47 36 244

$lab^*rgb^*_{Ma}$ : 0.0 0.5 1.0

$lab^*olv^*_{Ma}$ : 0.0 0.85 1.0

Dreiecks-Helligkeit  $t^*$

%Umfang

$u^*_{rel} = 88$

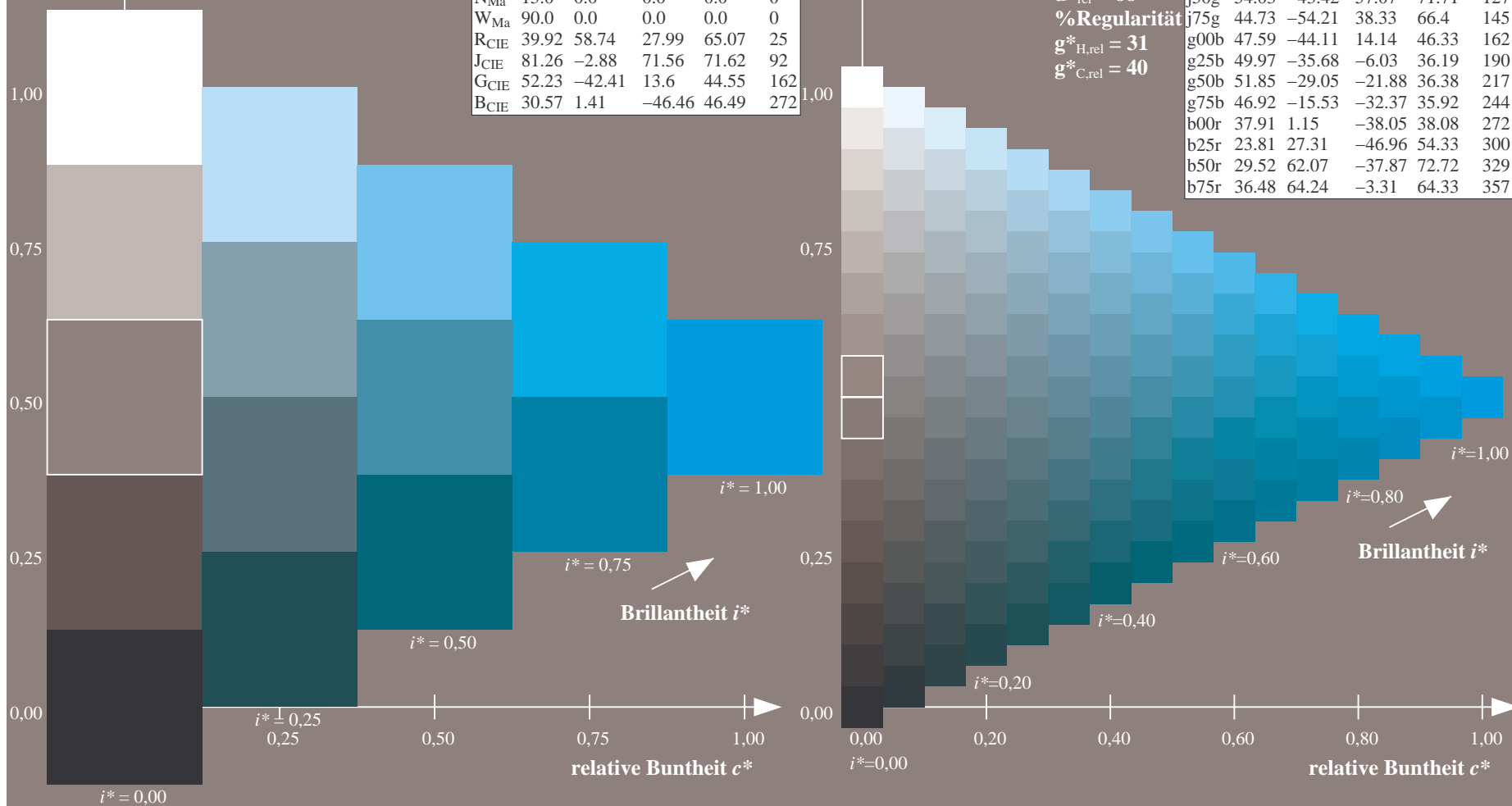
%Regularität

$g^*_{H,rel} = 31$

$g^*_{C,rel} = 40$

FRS15\_90a; adaptierte CIELAB-Daten

	$L^*=L^*_a$	$a^*_a$	$b^*_a$	$C^*_{ab,a}$	$h^*_{ab,a}$
r00j	35.47	56.92	27.12	63.05	25
r25j	39.12	49.04	44.45	66.19	42
r50j	50.64	35.19	58.33	68.13	59
r75j	64.01	19.11	74.45	76.87	76
j00g	83.18	-3.93	97.56	97.64	92
j25g	66.73	-26.86	74.66	79.35	110
j50g	54.03	-43.42	57.07	71.71	127
j75g	44.73	-54.21	38.33	66.4	145
g00b	47.59	-44.11	14.14	46.33	162
g25b	49.97	-35.68	-6.03	36.19	190
g50b	51.85	-29.05	-21.88	36.38	217
g75b	46.92	-15.53	-32.37	35.92	244
b00r	37.91	1.15	-38.05	38.08	272
b25r	23.81	27.31	-46.96	54.33	300
b50r	29.52	62.07	-37.87	72.72	329
b75r	36.48	64.24	-3.31	64.33	357



Ein und Ausgabe: Farbmetrisches Drucker-Reflektiv-System FRS15\_90a für relativen CIELAB-Buntton  $h^* = lab^*h^* = h_{ab}/360 = 272/360 = 0.755$

Daten für jede Farbe:

$lab^*ch^*$  und  $lab^*icu^*$

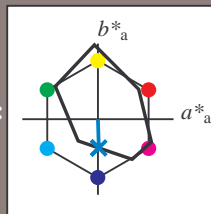
Elementar-Bunttontext:

$u^* = b00r$

Kontrastreduzierungsfaktor:

$c_R = 0.9$

Dreiecks-Helligkeit  $t^*$



FRS15\_90a; adaptierte CIELAB-Daten

	$L^*=L_a^*$	$a_a^*$	$b_a^*$	$C_{ab,a}^*$	$h_{ab,a}^*$
O <sub>Ma</sub>	35.06	53.93	39.55	66.88	36
Y <sub>Ma</sub>	83.77	-4.63	98.26	98.37	93
L <sub>Ma</sub>	44.13	-56.32	43.36	71.09	142
C <sub>Ma</sub>	52.66	-26.18	-28.74	38.89	228
V <sub>Ma</sub>	14.15	45.22	-53.06	69.72	310
M <sub>Ma</sub>	37.37	70.69	-30.1	76.83	337
N <sub>Ma</sub>	15.0	0.0	0.0	0.0	0
W <sub>Ma</sub>	90.0	0.0	0.0	0.0	0
R <sub>CIE</sub>	39.92	58.74	27.99	65.07	25
J <sub>CIE</sub>	81.26	-2.88	71.56	71.62	92
G <sub>CIE</sub>	52.23	-42.41	13.6	44.55	162
B <sub>CIE</sub>	30.57	1.41	-46.46	46.49	272

Daten für Maximalfarbe (Ma):

$LAB^*LAB^*Ma$ : 38 1 -37

$LAB^*LCH^*Ma$ : 38 38 272

$lab^*rgb^*Ma$ : 0.0 0.0 1.0

$lab^*olv^*Ma$ : 0.0 0.62 1.0

Dreiecks-Helligkeit  $t^*$

%Umfang

$u^*_{rel} = 88$

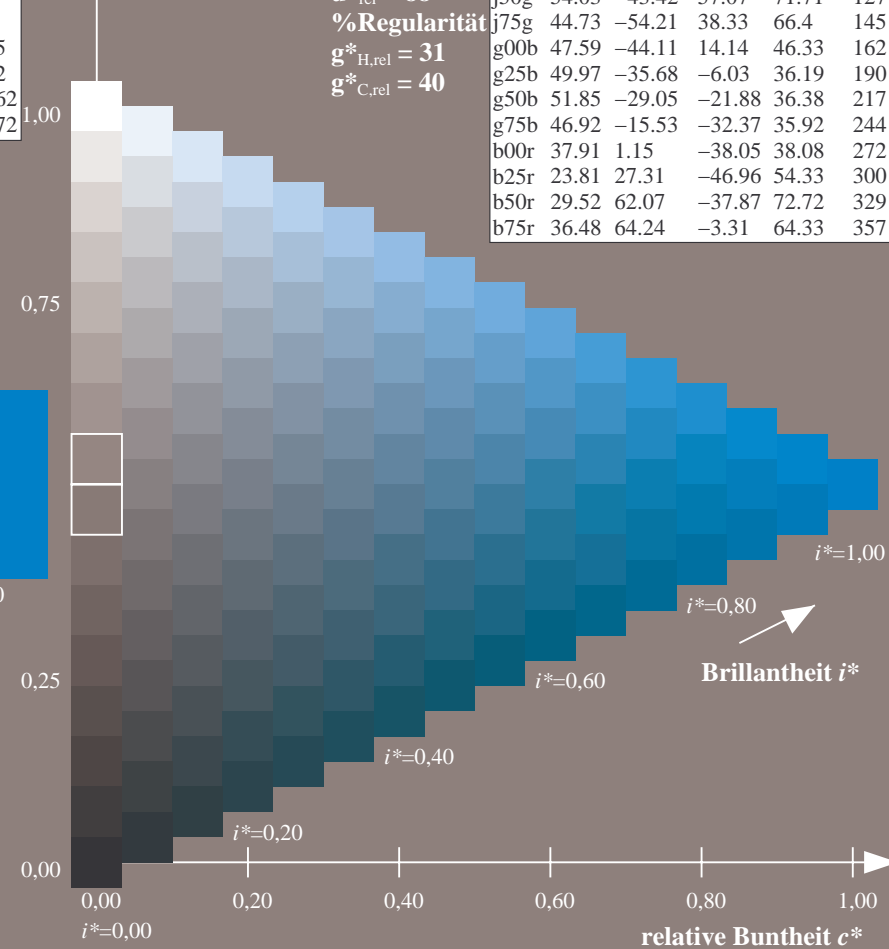
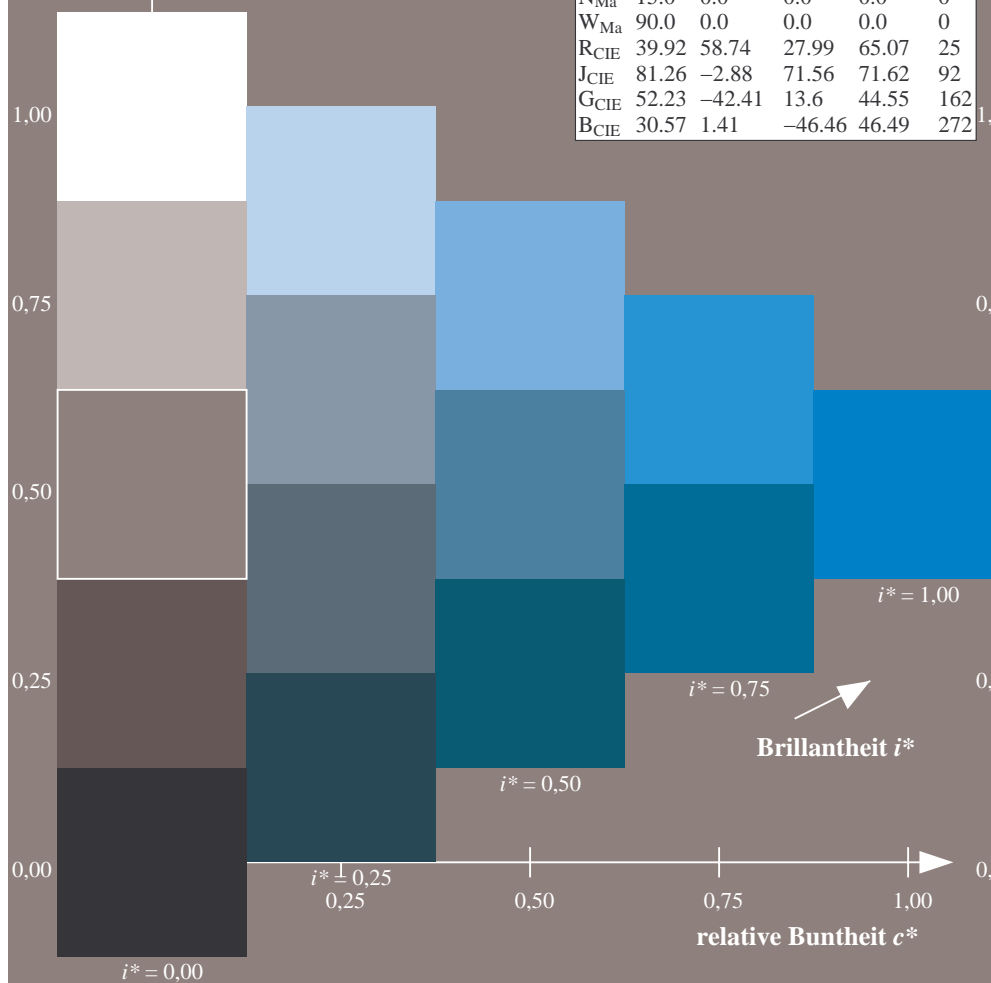
%Regularität

$g^*_{H,rel} = 31$

$g^*_{C,rel} = 40$

FRS15\_90a; adaptierte CIELAB-Daten

	$L^*=L_a^*$	$a_a^*$	$b_a^*$	$C_{ab,a}^*$	$h_{ab,a}^*$
r00j	35.47	56.92	27.12	63.05	25
r25j	39.12	49.04	44.45	66.19	42
r50j	50.64	35.19	58.33	68.13	59
r75j	64.01	19.11	74.45	76.87	76
j00g	83.18	-3.93	97.56	97.64	92
j25g	66.73	-26.86	74.66	79.35	110
j50g	54.03	-43.42	57.07	71.71	127
j75g	44.73	-54.21	38.33	66.4	145
g00b	47.59	-44.11	14.14	46.33	162
g25b	49.97	-35.68	-6.03	36.19	190
g50b	51.85	-29.05	-21.88	36.38	217
g75b	46.92	-15.53	-32.37	35.92	244
b00r	37.91	1.15	-38.05	38.08	272
b25r	23.81	27.31	-46.96	54.33	300
b50r	29.52	62.07	-37.87	72.72	329
b75r	36.48	64.24	-3.31	64.33	357





Ein und Ausgabe: Farbmetrisches Drucker-Reflektiv-System FRS15\_90a für relativen CIELAB-Buntton  $h^* = lab^*h^* = h_{ab}/360 = 300/360 = 0.834$

Daten für jede Farbe:

$lab^*tch^*$  und  $lab^*icu^*$

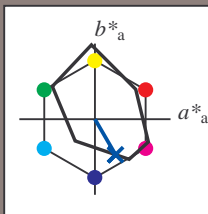
Elementar-Bunttontext:

$u^* = b25r$

Kontrastreduzierungsfaktor:

$c_R = 0.9$

Dreiecks-Helligkeit  $t^*$



FRS15\_90a; adaptierte CIELAB-Daten

	$L^*=L_a^*$	$a_a^*$	$b_a^*$	$C_{ab,a}^*$	$h_{ab,a}^*$
O <sub>Ma</sub>	35.06	53.93	39.55	66.88	36
Y <sub>Ma</sub>	83.77	-4.63	98.26	98.37	93
L <sub>Ma</sub>	44.13	-56.32	43.36	71.09	142
C <sub>Ma</sub>	52.66	-26.18	-28.74	38.89	228
V <sub>Ma</sub>	14.15	45.22	-53.06	69.72	310
M <sub>Ma</sub>	37.37	70.69	-30.1	76.83	337
N <sub>Ma</sub>	15.0	0.0	0.0	0.0	0
W <sub>Ma</sub>	90.0	0.0	0.0	0.0	0
R <sub>CIE</sub>	39.92	58.74	27.99	65.07	25
J <sub>CIE</sub>	81.26	-2.88	71.56	71.62	92
G <sub>CIE</sub>	52.23	-42.41	13.6	44.55	162
B <sub>CIE</sub>	30.57	1.41	-46.46	46.49	272

Daten für Maximalfarbe (Ma):

$LAB^*LAB^*_{Ma}$ : 24 27 -46

$LAB^*LCH^*_{Ma}$ : 24 54 300

$lab^*rgb^*_{Ma}$ : 0.5 0.0 1.0

$lab^*olv^*_{Ma}$ : 0.0 0.25 1.0

Dreiecks-Helligkeit  $t^*$

%Umfang

$u^*_{rel} = 88$

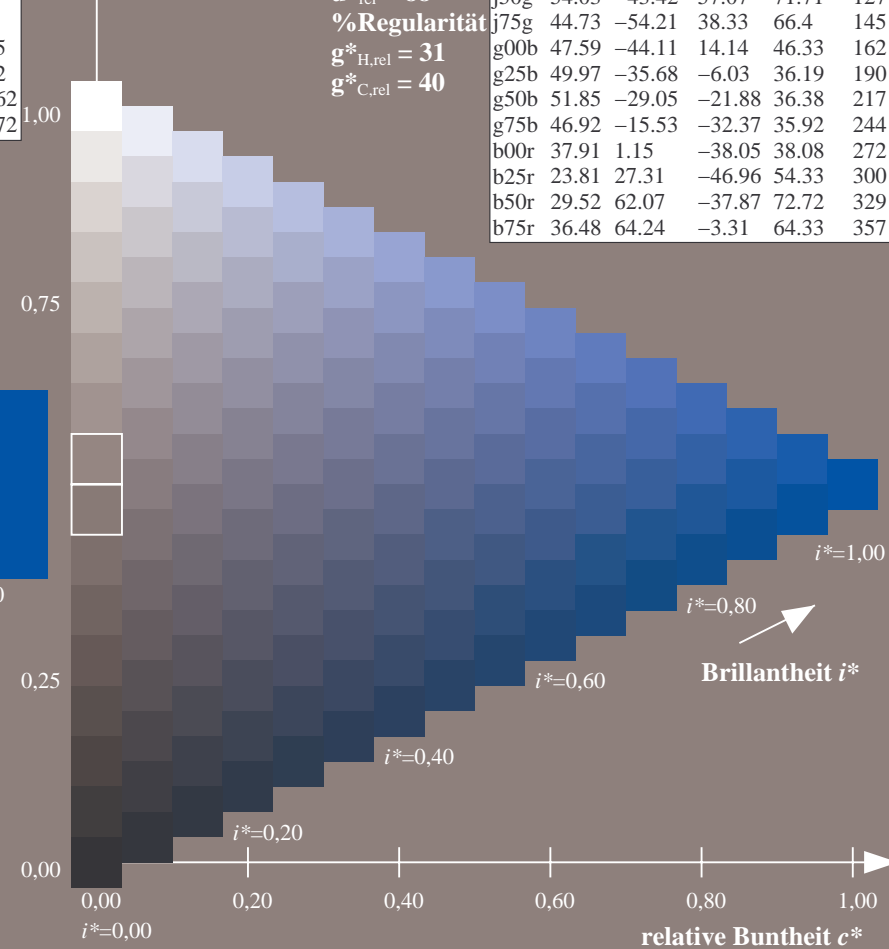
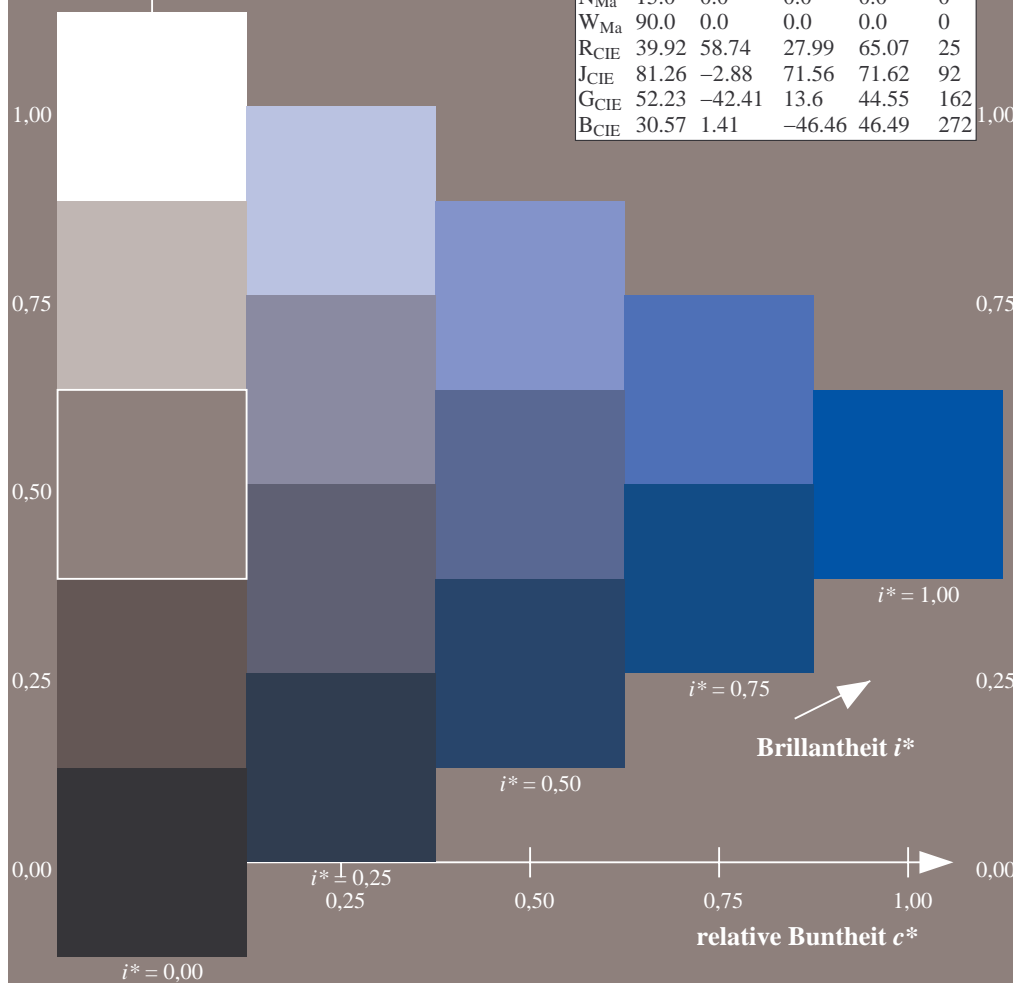
%Regularität

$g^*_{H,rel} = 31$

$g^*_{C,rel} = 40$

FRS15\_90a; adaptierte CIELAB-Daten

	$L^*=L_a^*$	$a_a^*$	$b_a^*$	$C_{ab,a}^*$	$h_{ab,a}^*$
r00j	35.47	56.92	27.12	63.05	25
r25j	39.12	49.04	44.45	66.19	42
r50j	50.64	35.19	58.33	68.13	59
r75j	64.01	19.11	74.45	76.87	76
j00g	83.18	-3.93	97.56	97.64	92
j25g	66.73	-26.86	74.66	79.35	110
j50g	54.03	-43.42	57.07	71.71	127
j75g	44.73	-54.21	38.33	66.4	145
g00b	47.59	-44.11	14.14	46.33	162
g25b	49.97	-35.68	-6.03	36.19	190
g50b	51.85	-29.05	-21.88	36.38	217
g75b	46.92	-15.53	-32.37	35.92	244
b00r	37.91	1.15	-38.05	38.08	272
b25r	23.81	27.31	-46.96	54.33	300
b50r	29.52	62.07	-37.87	72.72	329
b75r	36.48	64.24	-3.31	64.33	357



**Ein und Ausgabe: Farbmétrisches Drucker-Reflektiv-System FRS15\_90a für relativen CIELAB-Buntton  $h^* = lab^*h^* = h_{ab}/360 = 329/360 = 0.913$**

### Daten für jede Farbe:

*lab\*tch\** und *lab\*icu\**

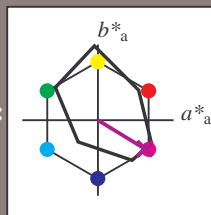
### Elementar-Bunttontext:

$$u^* = b50r$$

### Kontrastreduzierungsfaktor:

 $c_R = 0.9$ 

### Dreiecks-Helligkeit $t^*$



FRS15_90a; adaptierte CIELAB-Daten					
	$L^*_a$	$a^*_a$	$b^*_a$	$C^*_{ab,a}$	$h^*_{ab,a}$
O <sub>Ma</sub>	35.06	53.93	39.55	66.88	36
Y <sub>Ma</sub>	83.77	-4.63	98.26	98.37	93
L <sub>Ma</sub>	44.13	-56.32	43.36	71.09	142
C <sub>Ma</sub>	52.66	-26.18	-28.74	38.89	228
V <sub>Ma</sub>	14.15	45.22	-53.06	69.72	310
M <sub>Ma</sub>	37.37	70.69	-30.1	76.83	337
N <sub>Ma</sub>	15.0	0.0	0.0	0.0	0
W <sub>Ma</sub>	90.0	0.0	0.0	0.0	0
R <sub>CIE</sub>	39.92	58.74	27.99	65.07	25
J <sub>CIE</sub>	81.26	-2.88	71.56	71.62	92
G <sub>CIE</sub>	52.23	-42.41	13.6	44.55	162
B <sub>CIE</sub>	30.57	1.41	-46.46	46.49	272

### Daten für Maximalfarbe (Ma):

*LAB\*LAB\*Me*: 30, 62, -37

LAB\*LAB Ma. 50 62 57  
LAB\*LAB 30 52 329

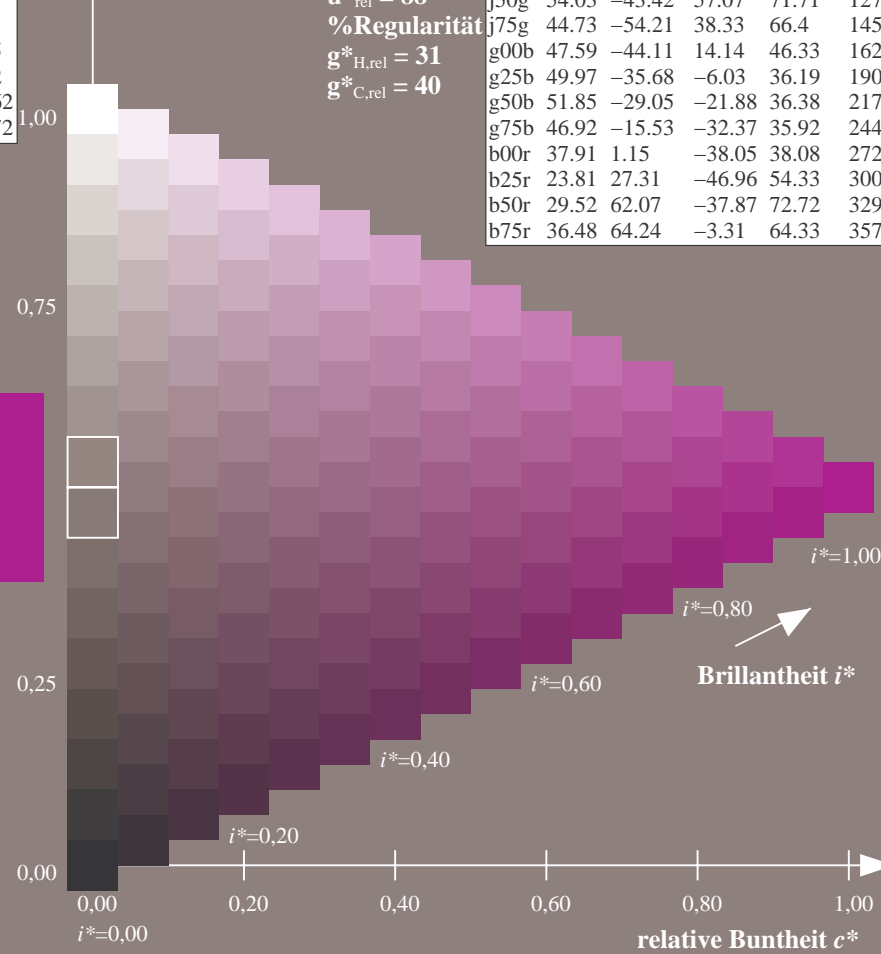
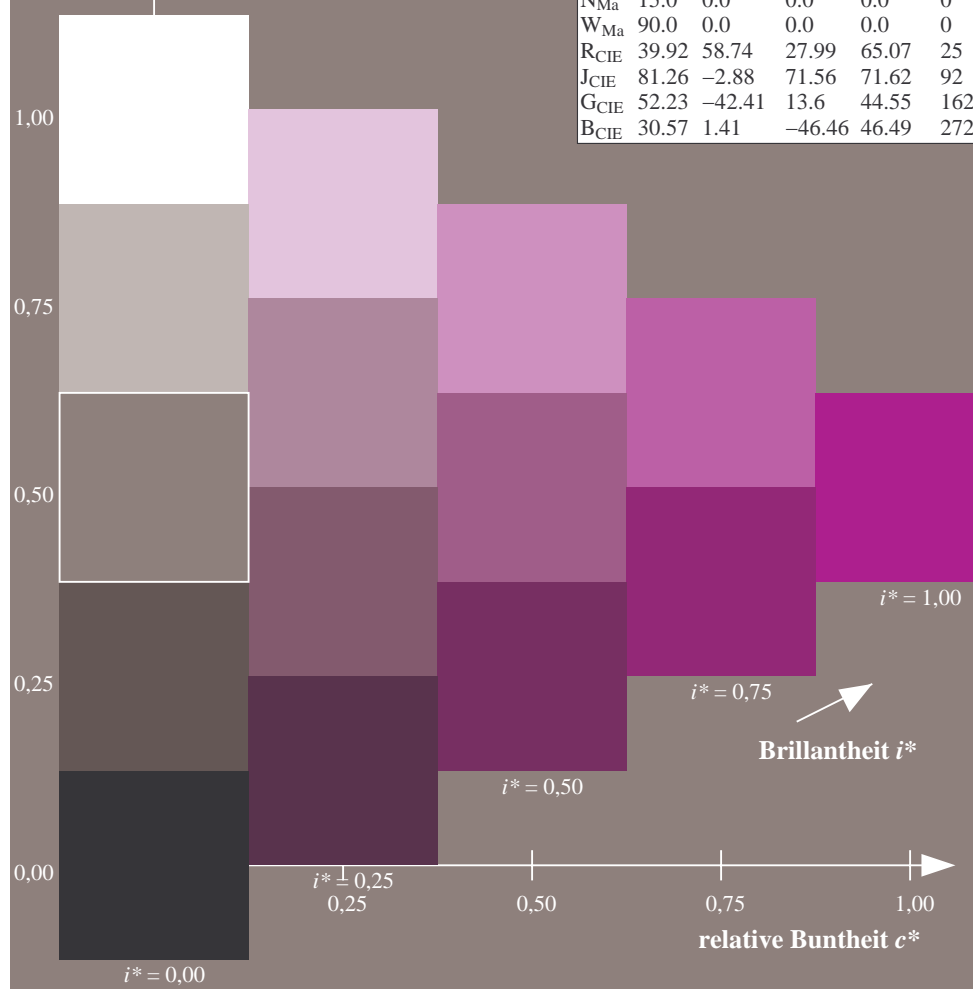
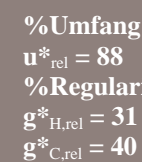
**LAB\*LCH\*Ma: 30 73 35**

***lab\*rgb*Ma: 1.0 0.0 1.0**

*lab\*olv\**Ma: 0.66 0.0 1.0

### Dreiecks-Helligkeit $t^*$

FRS15_90a; adaptierte CIELAB-Daten						
	$L^*_a$	$a^*_a$	$b^*_a$	$C^*_{ab,a}$	$h^*_{ab,a}$	
r00j	35.47	56.92	27.12	63.05	25	
r25j	39.12	49.04	44.45	66.19	42	
r50j	50.64	35.19	58.33	68.13	59	
r75j	64.01	19.11	74.45	76.87	76	
j00g	83.18	-3.93	97.56	97.64	92	
j25g	66.73	-26.86	74.66	79.35	110	
j50g	54.03	-43.42	57.07	71.71	127	
j75g	44.73	-54.21	38.33	66.4	145	
g00b	47.59	-44.11	14.14	46.33	162	
g25b	49.97	-35.68	-6.03	36.19	190	
g50b	51.85	-29.05	-21.88	36.38	217	
g75b	46.92	-15.53	-32.37	35.92	244	
b00r	37.91	1.15	-38.05	38.08	272	
b25r	23.81	27.31	-46.96	54.33	300	
b50r	29.52	62.07	-37.87	72.72	329	
b75r	36.48	64.24	-3.31	64.33	357	



Ein und Ausgabe: Farbmetrisches Drucker-Reflektiv-System FRS15\_90a für relativen CIELAB-Buntton  $h^* = lab^*h^* = h_{ab}/360 = 357/360 = 0.992$

Daten für jede Farbe:

$lab^*tch^*$  und  $lab^*icu^*$

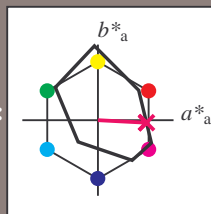
Elementar-Bunttontext:

$u^* = b75r$

Kontrastreduzierungsfaktor:

$c_R = 0.9$

Dreiecks-Helligkeit  $i^*$



FRS15\_90a; adaptierte CIELAB-Daten

	$L^*=L^*_a$	$a^*_a$	$b^*_a$	$C^*_{ab,a}$	$h^*_{ab,a}$
O <sub>Ma</sub>	35.06	53.93	39.55	66.88	36
Y <sub>Ma</sub>	83.77	-4.63	98.26	98.37	93
L <sub>Ma</sub>	44.13	-56.32	43.36	71.09	142
C <sub>Ma</sub>	52.66	-26.18	-28.74	38.89	228
V <sub>Ma</sub>	14.15	45.22	-53.06	69.72	310
M <sub>Ma</sub>	37.37	70.69	-30.1	76.83	337
N <sub>Ma</sub>	15.0	0.0	0.0	0.0	0
W <sub>Ma</sub>	90.0	0.0	0.0	0.0	0
R <sub>CIE</sub>	39.92	58.74	27.99	65.07	25
J <sub>CIE</sub>	81.26	-2.88	71.56	71.62	92
G <sub>CIE</sub>	52.23	-42.41	13.6	44.55	162
B <sub>CIE</sub>	30.57	1.41	-46.46	46.49	272

Daten für Maximalfarbe (Ma):

$LAB^*LAB^*_{Ma}$ : 36 64 -2

$LAB^*LCH^*_{Ma}$ : 36 64 357

$lab^*rgb^*_{Ma}$ : 1.0 0.0 0.5

$lab^*olv^*_{Ma}$ : 1.0 0.0 0.62

Dreiecks-Helligkeit  $i^*$

%Umfang

$u^*_{rel} = 88$

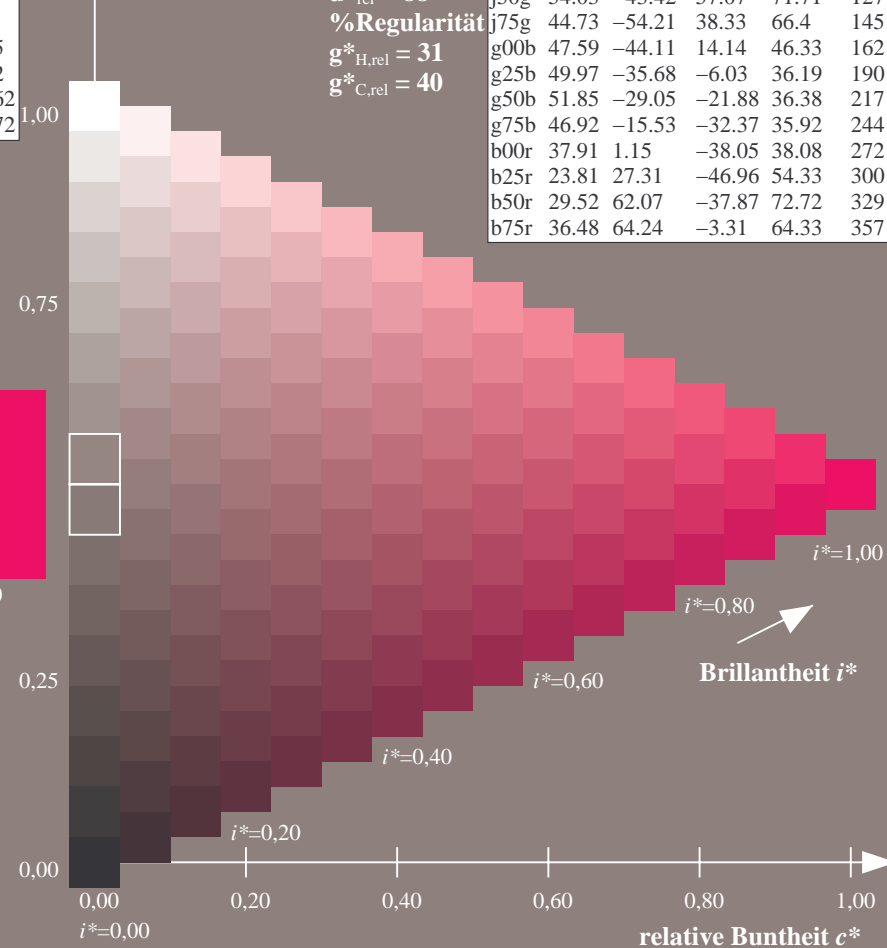
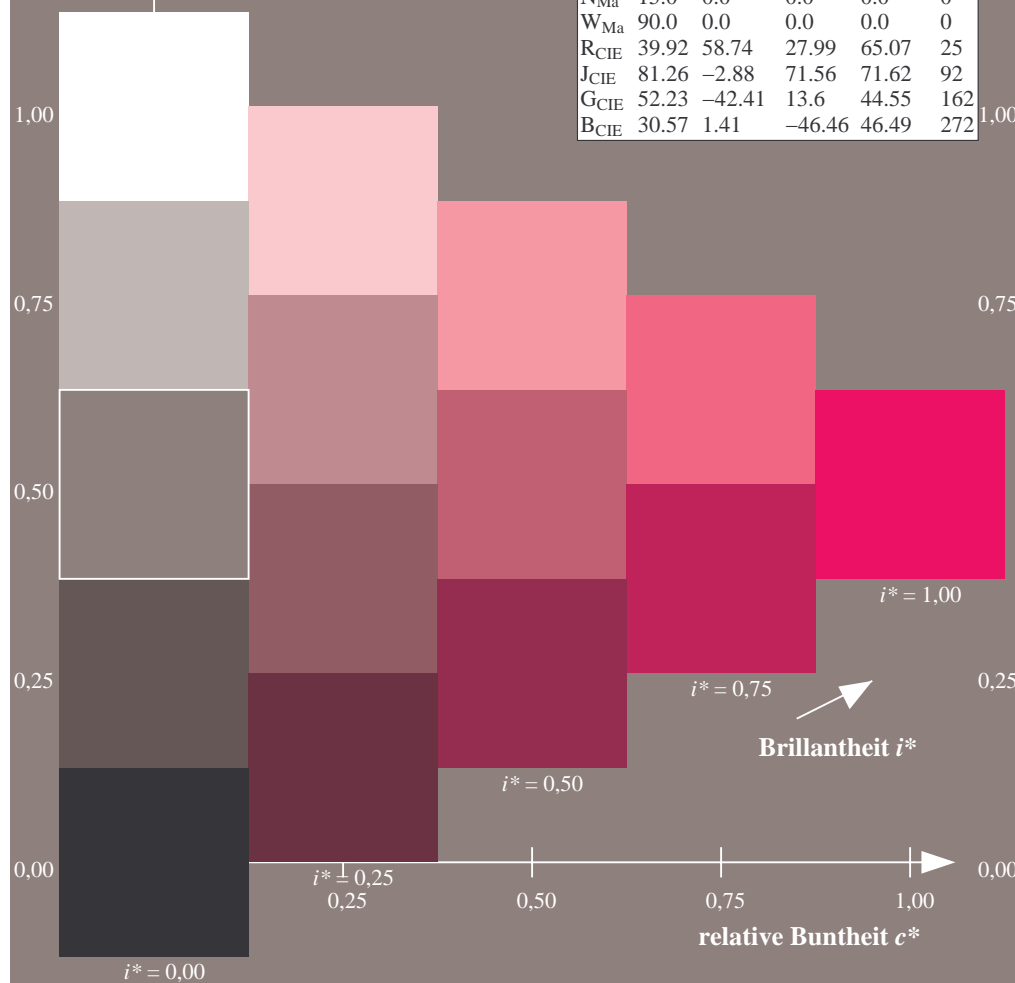
%Regularität

$g^*_{H,rel} = 31$

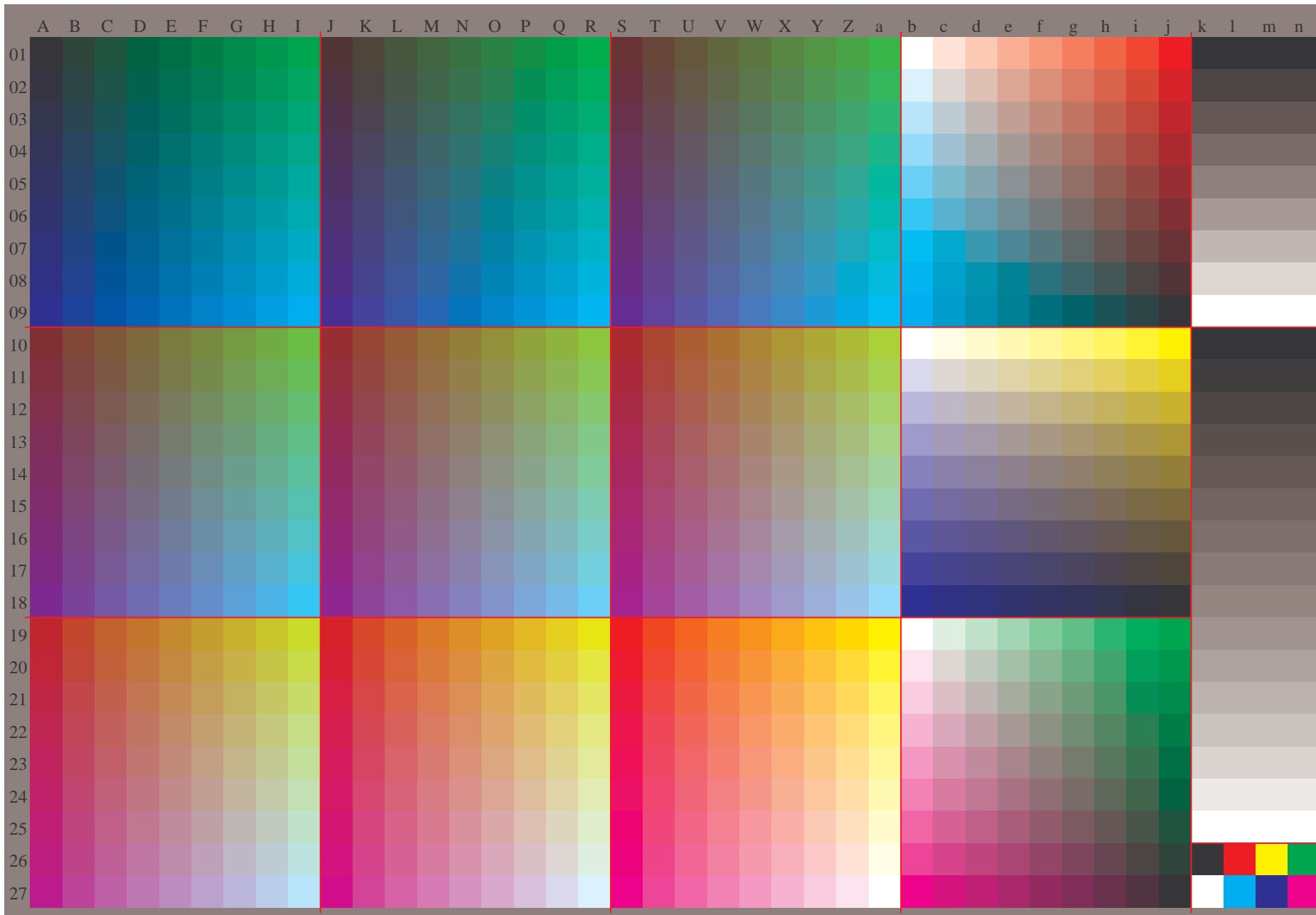
$g^*_{C,rel} = 40$

FRS15\_90a; adaptierte CIELAB-Daten

	$L^*=L^*_a$	$a^*_a$	$b^*_a$	$C^*_{ab,a}$	$h^*_{ab,a}$
r00j	35.47	56.92	27.12	63.05	25
r25j	39.12	49.04	44.45	66.19	42
r50j	50.64	35.19	58.33	68.13	59
r75j	64.01	19.11	74.45	76.87	76
j00g	83.18	-3.93	97.56	97.64	92
j25g	66.73	-26.86	74.66	79.35	110
j50g	54.03	-43.42	57.07	71.71	127
j75g	44.73	-54.21	38.33	66.4	145
g00b	47.59	-44.11	14.14	46.33	162
g25b	49.97	-35.68	-6.03	36.19	190
g50b	51.85	-29.05	-21.88	36.38	217
g75b	46.92	-15.53	-32.37	35.92	244
b00r	37.91	1.15	-38.05	38.08	272
b25r	23.81	27.31	-46.96	54.33	300
b50r	29.52	62.07	-37.87	72.72	329
b75r	36.48	64.24	-3.31	64.33	357

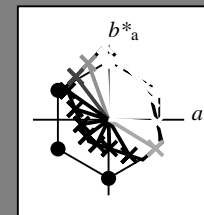


Siehe ähnliche Dateien: <http://www.ps.bam.de/Dg71/>; [www.ps.bam.de/Dg71/10L/L71G00NP.PS/.PDF](http://www.ps.bam.de/Dg71/10L/L71G00NP.PS/.PDF)  
Technische Information: [http://www.ps.bam.de/Version 2.1](http://www.ps.bam.de/Version2.1), io=1,1, ColSpx=0



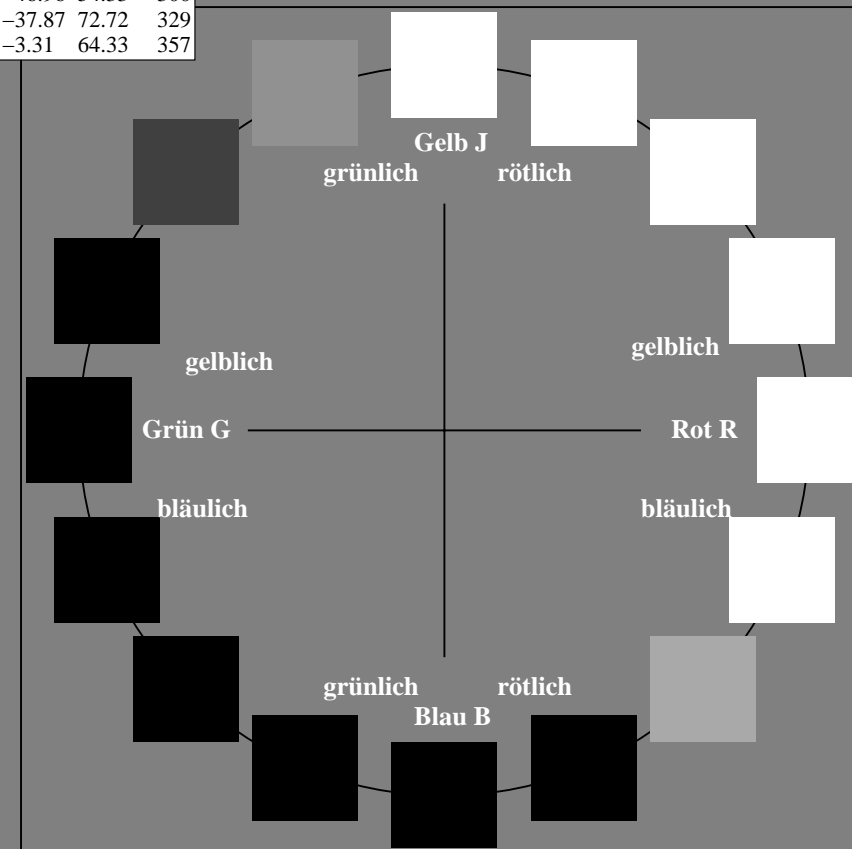
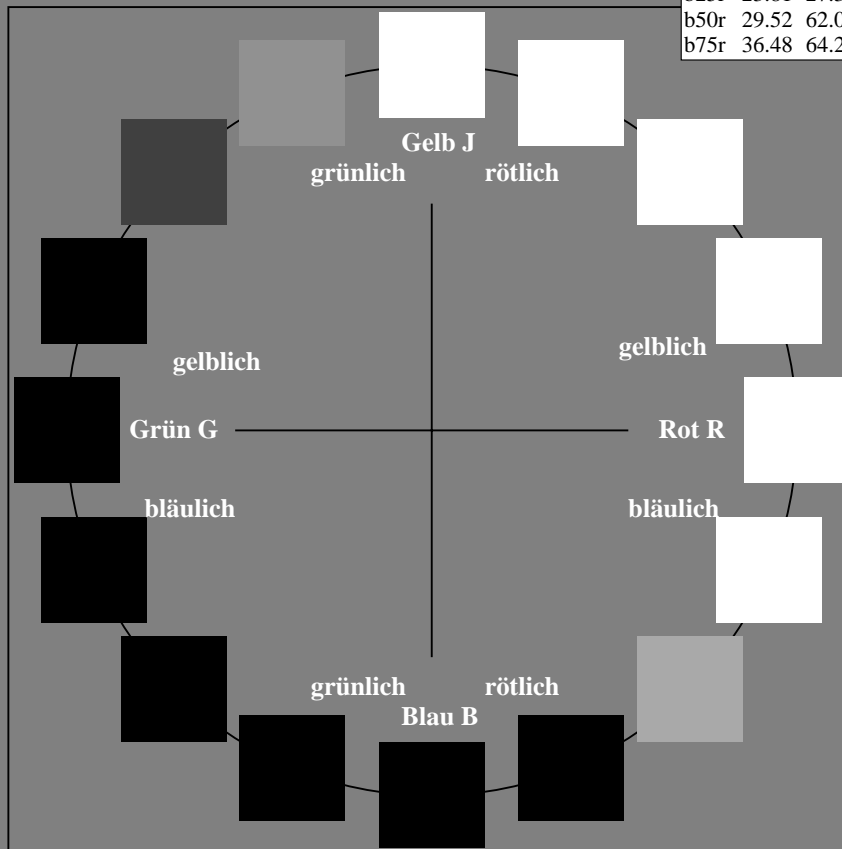
Ein und Ausgabe:  
Farbmetrisches Drucker-Reflektiv-System FRS15\_90a  
Daten für jede Farbe:  
*lab\*<sub>ich</sub>*\* und *lab\*<sub>icu</sub>*\*  
Elementar-Bunttontext:  
*u\** = 16 Buntttöne *r00j*, *r25j*, ..., *b75r*  
Kontrastreduzierungsfaktor:  
*c<sub>R</sub>* = 0.9

FRS15_90a; adaptierte CIELAB-Daten					
	<i>L*</i> = <i>L*</i> <sub>a</sub>	<i>a*</i> <sub>a</sub>	<i>b*</i> <sub>a</sub>	<i>C*</i> <sub>ab,a</sub>	<i>h*</i> <sub>ab,a</sub>
r00j	35.47	56.92	27.12	63.05	25
r25j	39.12	49.04	44.45	66.19	42
r50j	50.64	35.19	58.33	68.13	59
r75j	64.01	19.11	74.45	76.87	76
j00g	83.18	-3.93	97.56	97.64	92
j25g	66.73	-26.86	74.66	79.35	110
j50g	54.03	-43.42	57.07	71.71	127
j75g	44.73	-54.21	38.33	66.4	145
g00b	47.59	-44.11	14.14	46.33	162
g25b	49.97	-35.68	-6.03	36.19	190
g50b	51.85	-29.05	-21.88	36.38	217
g75b	46.92	-15.53	-32.37	35.92	244
b00r	37.91	1.15	-38.05	38.08	272
b25r	23.81	27.31	-46.96	54.33	300
b50r	29.52	62.07	-37.87	72.72	329
b75r	36.48	64.24	-3.31	64.33	357



%Umfang  
*u\**<sub>rel</sub> = 88  
%Regularität  
*g\**<sub>H,rel</sub> = 31  
*g\**<sub>C,rel</sub> = 40

FRS15_90a; adaptierte CIELAB-Daten					
	<i>L*</i> = <i>L*</i> <sub>a</sub>	<i>a*</i> <sub>a</sub>	<i>b*</i> <sub>a</sub>	<i>C*</i> <sub>ab,a</sub>	<i>h*</i> <sub>ab,a</sub>
OMa	35.06	53.93	39.55	66.88	36
YMa	83.77	-4.63	98.26	98.37	93
LMa	44.13	-56.32	43.36	71.09	142
CMa	52.66	-26.18	-28.74	38.89	228
VMa	14.15	45.22	-53.06	69.72	310
MMa	37.37	70.69	-30.1	76.83	337
NMa	15.0	0.0	0.0	0.0	0
WMa	90.0	0.0	0.0	0.0	0
RCIE	39.92	58.74	27.99	65.07	25
JCIE	81.26	-2.88	71.56	71.62	92
GCIE	52.23	-42.41	13.6	44.55	162
BCIE	30.57	1.41	-46.46	46.49	272



Ein und Ausgabe: Farbmetrisches Drucker-Reflektiv-System FRS15\_90a für relativen CIELAB-Buntton  $h^* = lab^*h^* = h_{ab}/360 = 25/360 = 0.071$

Daten für jede Farbe:

$lab^*ch^*$  und  $lab^*icu^*$

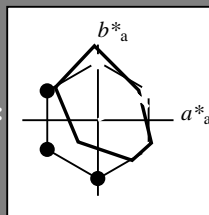
Elementar-Bunttonext:

$u^* = r00j$

Kontrastreduzierungsfaktor:

$c_R = 0.9$

Dreiecks-Helligkeit  $t^*$



FRS15\_90a; adaptierte CIELAB-Daten

	$L^*=L_a^*$	$a_a^*$	$b_a^*$	$C_{ab,a}^*$	$h_{ab,a}^*$
O <sub>Ma</sub>	35.06	53.93	39.55	66.88	36
Y <sub>Ma</sub>	83.77	-4.63	98.26	98.37	93
L <sub>Ma</sub>	44.13	-56.32	43.36	71.09	142
C <sub>Ma</sub>	52.66	-26.18	-28.74	38.89	228
V <sub>Ma</sub>	14.15	45.22	-53.06	69.72	310
M <sub>Ma</sub>	37.37	70.69	-30.1	76.83	337
N <sub>Ma</sub>	15.0	0.0	0.0	0.0	0
W <sub>Ma</sub>	90.0	0.0	0.0	0.0	0
R <sub>CIE</sub>	39.92	58.74	27.99	65.07	25
J <sub>CIE</sub>	81.26	-2.88	71.56	71.62	92
G <sub>CIE</sub>	52.23	-42.41	13.6	44.55	162
B <sub>CIE</sub>	30.57	1.41	-46.46	46.49	272

Daten für Maximalfarbe (Ma):

$LAB^*LAB^*_{Ma}$ : 35 57 27

$LAB^*LCH^*_{Ma}$ : 35 63 25

$lab^*rgb^*_{Ma}$ : 1.0 0.0 0.0

$lab^*olv^*_{Ma}$ : 1.0 0.0 0.18

Dreiecks-Helligkeit  $t^*$

FRS15\_90a; adaptierte CIELAB-Daten

	$L^*=L_a^*$	$a_a^*$	$b_a^*$	$C_{ab,a}^*$	$h_{ab,a}^*$
r00j	35.47	56.92	27.12	63.05	25
r25j	39.12	49.04	44.45	66.19	42
r50j	50.64	35.19	58.33	68.13	59
r75j	64.01	19.11	74.45	76.87	76
j00g	83.18	-3.93	97.56	97.64	92
j25g	66.73	-26.86	74.66	79.35	110
j50g	54.03	-43.42	57.07	71.71	127
j75g	44.73	-54.21	38.33	66.4	145
g00b	47.59	-44.11	14.14	46.33	162
g25b	49.97	-35.68	-6.03	36.19	190
g50b	51.85	-29.05	-21.88	36.38	217
g75b	46.92	-15.53	-32.37	35.92	244
b00r	37.91	1.15	-38.05	38.08	272
b25r	23.81	27.31	-46.96	54.33	300
b50r	29.52	62.07	-37.87	72.72	329
b75r	36.48	64.24	-3.31	64.33	357

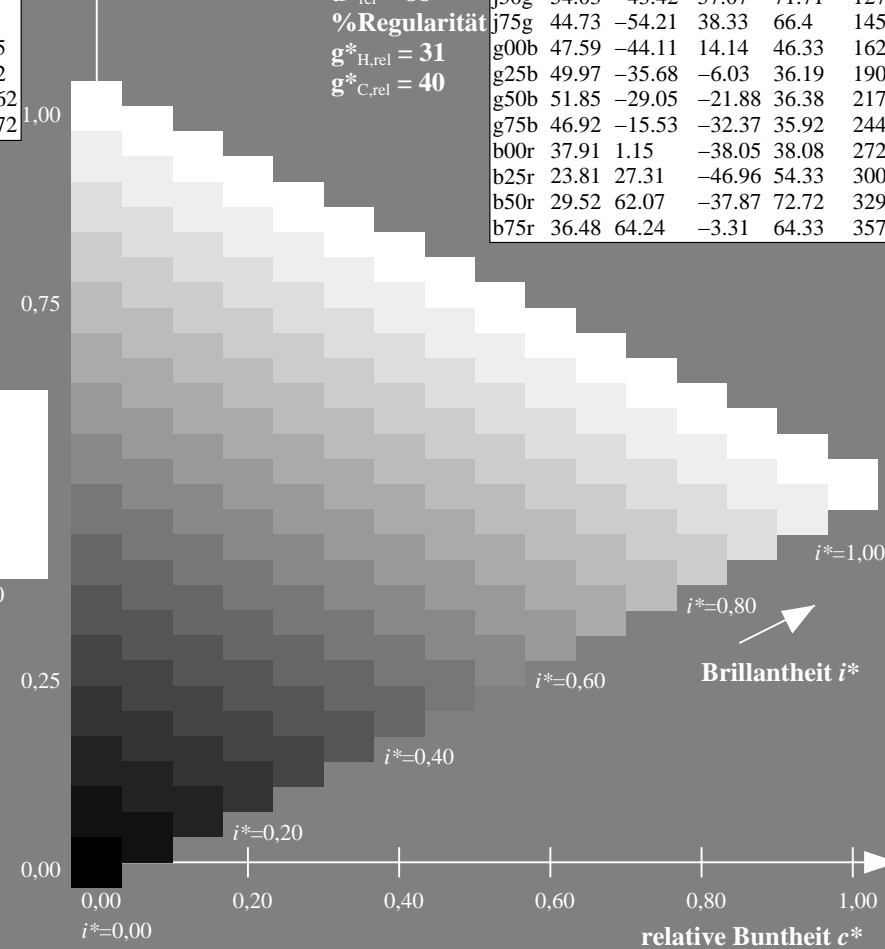
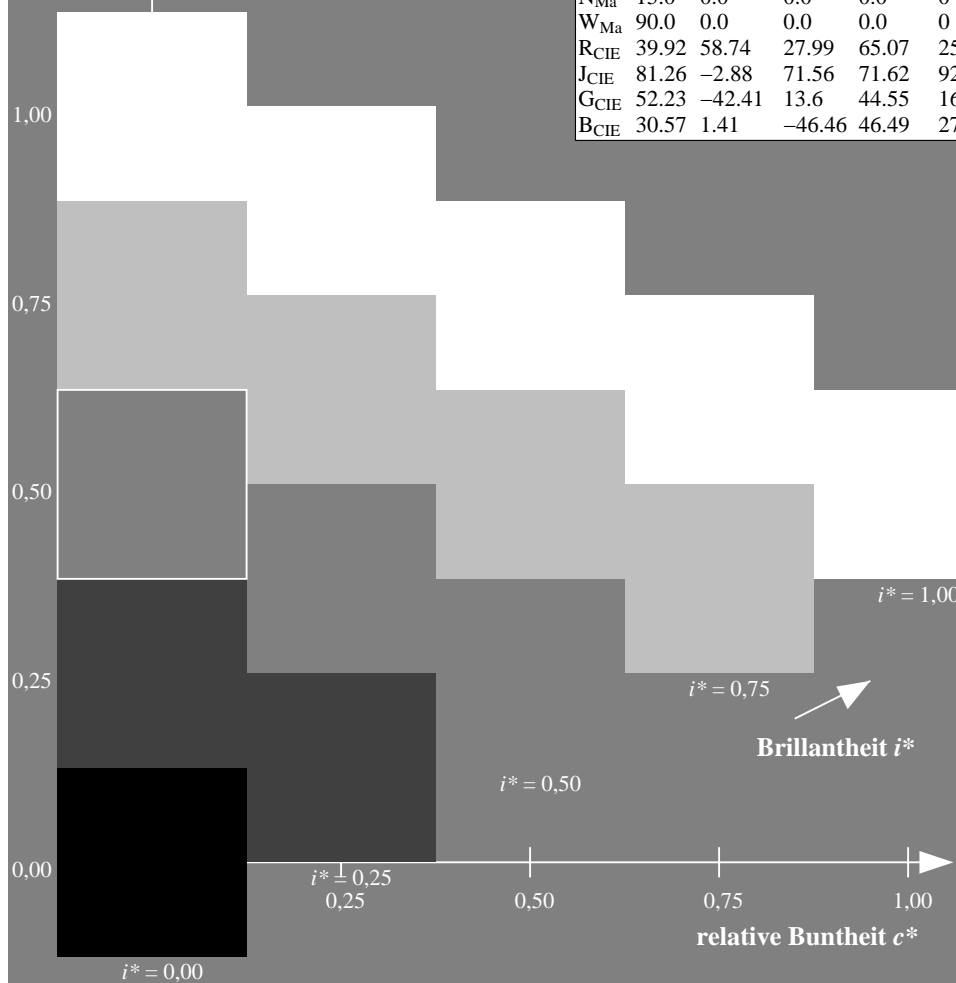
%Umfang

$u^*_{rel} = 88$

%Regularität

$g^*_{H,rel} = 31$

$g^*_{C,rel} = 40$





Ein und Ausgabe: Farbmetrisches Drucker-Reflektiv-System FRS15\_90a für relativen CIELAB-Buntton  $h^* = lab^*h^* = h_{ab}/360 = 42/360 = 0.117$

Daten für jede Farbe:

$lab^*ch^*$  und  $lab^*icu^*$

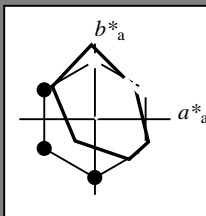
Elementar-Bunttontext:

$u^* = r25j$

Kontrastreduzierungsfaktor:

$c_R = 0.9$

Dreiecks-Helligkeit  $i^*$



FRS15\_90a; adaptierte CIELAB-Daten

	$L^*=L^*_a$	$a^*_a$	$b^*_a$	$C^*_{ab,a}$	$h^*_{ab,a}$
O <sub>Ma</sub>	35.06	53.93	39.55	66.88	36
Y <sub>Ma</sub>	83.77	-4.63	98.26	98.37	93
L <sub>Ma</sub>	44.13	-56.32	43.36	71.09	142
C <sub>Ma</sub>	52.66	-26.18	-28.74	38.89	228
V <sub>Ma</sub>	14.15	45.22	-53.06	69.72	310
M <sub>Ma</sub>	37.37	70.69	-30.1	76.83	337
N <sub>Ma</sub>	15.0	0.0	0.0	0.0	0
W <sub>Ma</sub>	90.0	0.0	0.0	0.0	0
R <sub>CIE</sub>	39.92	58.74	27.99	65.07	25
J <sub>CIE</sub>	81.26	-2.88	71.56	71.62	92
G <sub>CIE</sub>	52.23	-42.41	13.6	44.55	162
B <sub>CIE</sub>	30.57	1.41	-46.46	46.49	272

Daten für Maximalfarbe (Ma):

$LAB^*LAB^*_{Ma}$ : 39 49 44

$LAB^*LCH^*_{Ma}$ : 39 66 42

$lab^*rgb^*_{Ma}$ : 1.0 0.25 0.0

$lab^*olv^*_{Ma}$ : 1.0 0.08 0.0

Dreiecks-Helligkeit  $i^*$

%Umfang

$u^*_{rel} = 88$

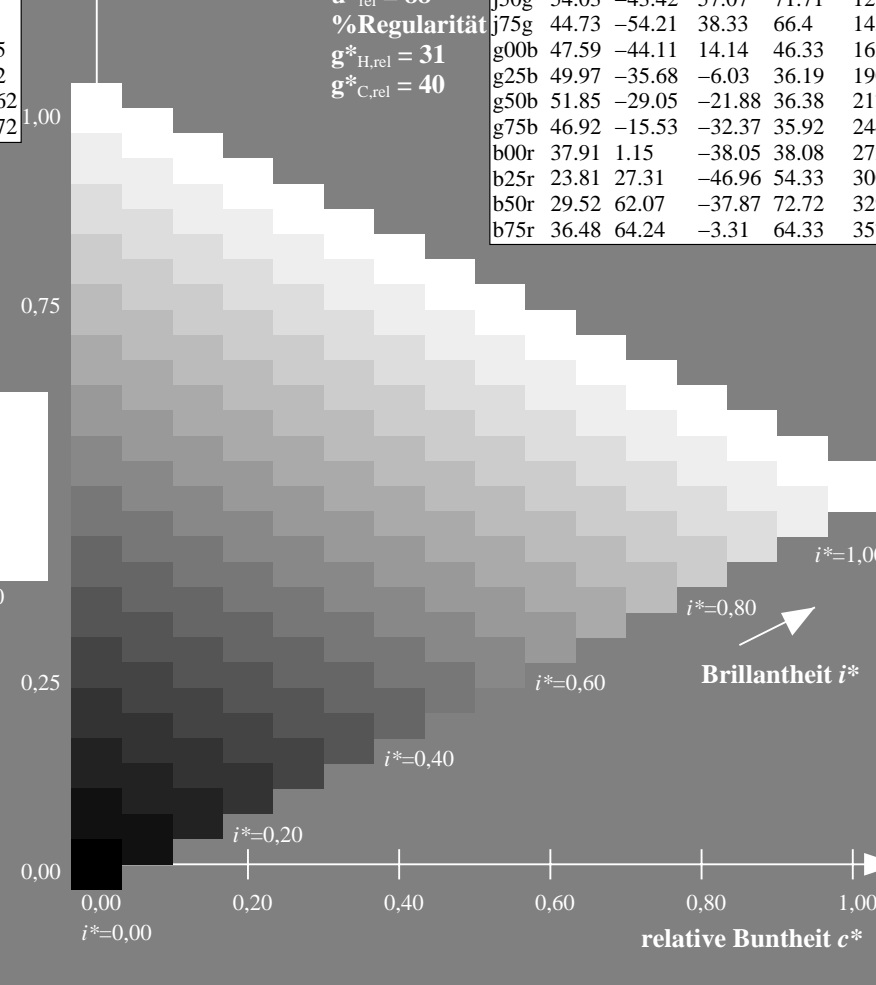
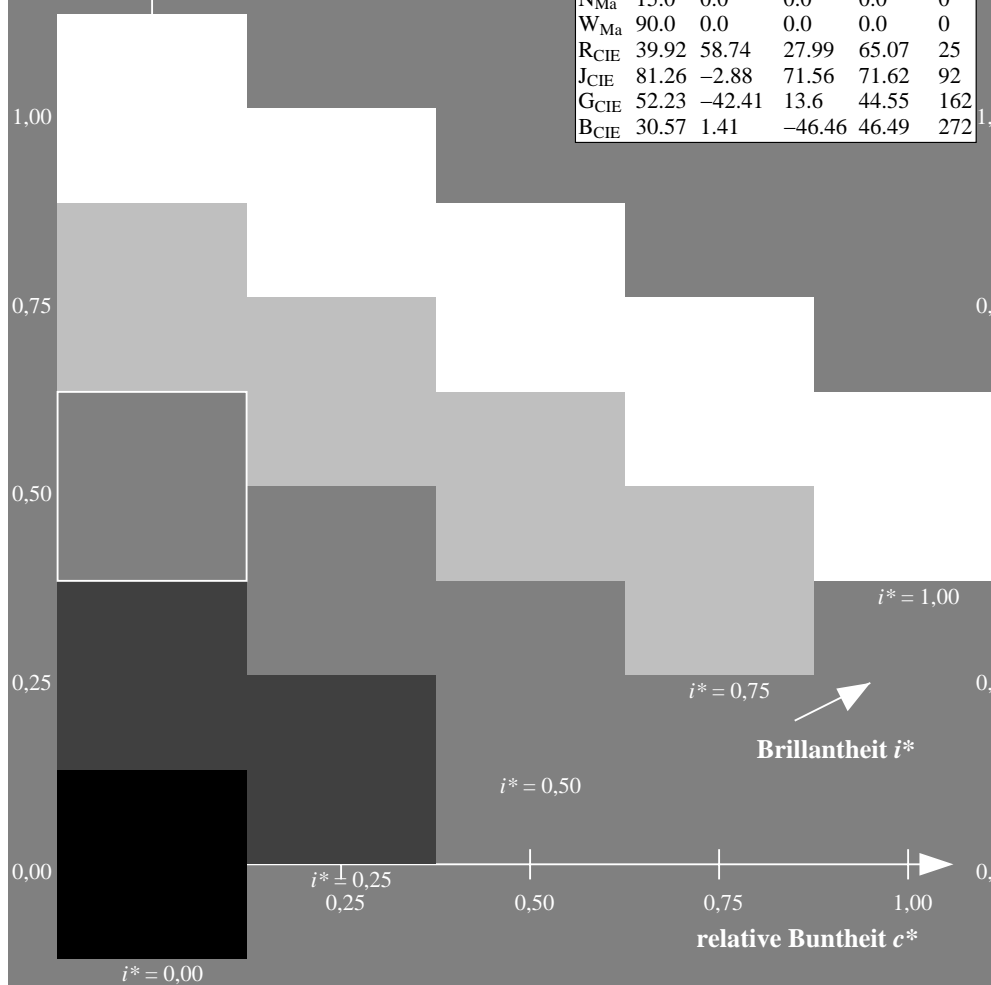
%Regularität

$g^*_{H,rel} = 31$

$g^*_{C,rel} = 40$

FRS15\_90a; adaptierte CIELAB-Daten

	$L^*=L^*_a$	$a^*_a$	$b^*_a$	$C^*_{ab,a}$	$h^*_{ab,a}$
r00j	35.47	56.92	27.12	63.05	25
r25j	39.12	49.04	44.45	66.19	42
r50j	50.64	35.19	58.33	68.13	59
r75j	64.01	19.11	74.45	76.87	76
j00g	83.18	-3.93	97.56	97.64	92
j25g	66.73	-26.86	74.66	79.35	110
j50g	54.03	-43.42	57.07	71.71	127
j75g	44.73	-54.21	38.33	66.4	145
g00b	47.59	-44.11	14.14	46.33	162
g25b	49.97	-35.68	-6.03	36.19	190
g50b	51.85	-29.05	-21.88	36.38	217
g75b	46.92	-15.53	-32.37	35.92	244
b00r	37.91	1.15	-38.05	38.08	272
b25r	23.81	27.31	-46.96	54.33	300
b50r	29.52	62.07	-37.87	72.72	329
b75r	36.48	64.24	-3.31	64.33	357



Ein und Ausgabe: Farbmetrisches Drucker-Reflektiv-System FRS15\_90a für relativen CIELAB-Buntton  $h^* = lab^*h^* = h_{ab}/360 = 59/360 = 0.164$

Daten für jede Farbe:

$lab^*ch^*$  und  $lab^*icu^*$

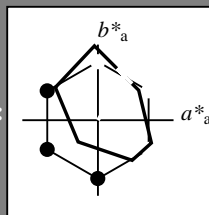
Elementar-Bunttontext:

$u^* = r50j$

Kontrastreduzierungsfaktor:

$c_R = 0.9$

Dreiecks-Helligkeit  $t^*$



FRS15\_90a; adaptierte CIELAB-Daten

	$L^*=L_a^*$	$a_a^*$	$b_a^*$	$C_{ab,a}^*$	$h_{ab,a}^*$
O <sub>Ma</sub>	35.06	53.93	39.55	66.88	36
Y <sub>Ma</sub>	83.77	-4.63	98.26	98.37	93
L <sub>Ma</sub>	44.13	-56.32	43.36	71.09	142
C <sub>Ma</sub>	52.66	-26.18	-28.74	38.89	228
V <sub>Ma</sub>	14.15	45.22	-53.06	69.72	310
M <sub>Ma</sub>	37.37	70.69	-30.1	76.83	337
N <sub>Ma</sub>	15.0	0.0	0.0	0.0	0
W <sub>Ma</sub>	90.0	0.0	0.0	0.0	0
R <sub>CIE</sub>	39.92	58.74	27.99	65.07	25
J <sub>CIE</sub>	81.26	-2.88	71.56	71.62	92
G <sub>CIE</sub>	52.23	-42.41	13.6	44.55	162
B <sub>CIE</sub>	30.57	1.41	-46.46	46.49	272

Daten für Maximalfarbe (Ma):

$LAB^*LAB^*_{Ma}$ : 51 35 58

$LAB^*LCH^*_{Ma}$ : 51 68 59

$lab^*rgb^*_{Ma}$ : 1.0 0.5 0.0

$lab^*olv^*_{Ma}$ : 1.0 0.32 0.0

Dreiecks-Helligkeit  $t^*$

%Umfang

$u^*_{rel} = 88$

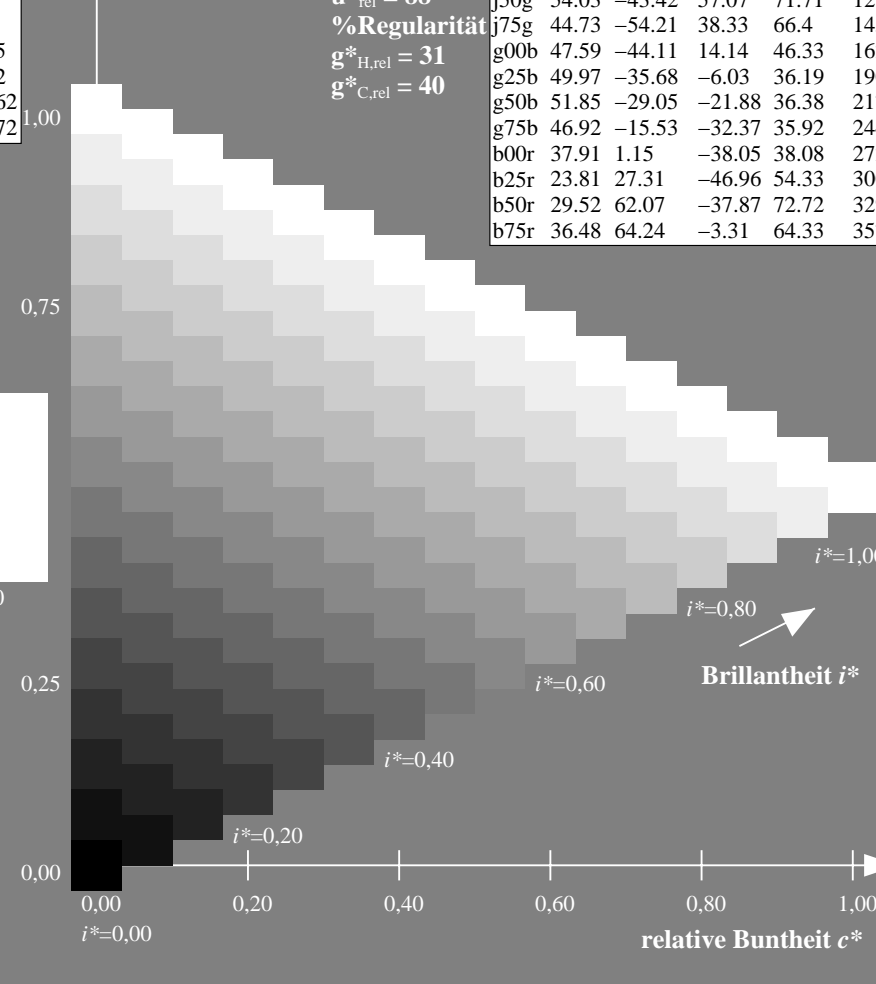
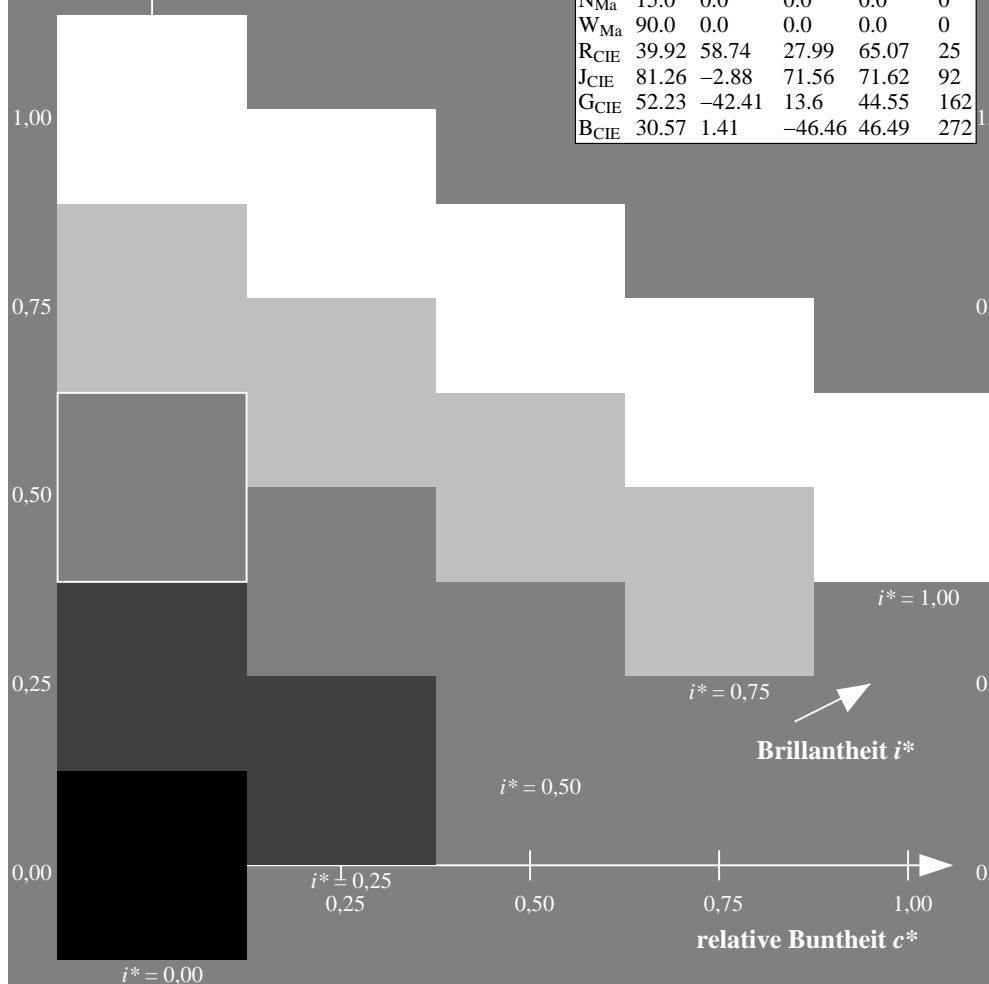
%Regularität

$g^*_{H,rel} = 31$

$g^*_{C,rel} = 40$

FRS15\_90a; adaptierte CIELAB-Daten

	$L^*=L_a^*$	$a_a^*$	$b_a^*$	$C_{ab,a}^*$	$h_{ab,a}^*$
r00j	35.47	56.92	27.12	63.05	25
r25j	39.12	49.04	44.45	66.19	42
r50j	50.64	35.19	58.33	68.13	59
r75j	64.01	19.11	74.45	76.87	76
j00g	83.18	-3.93	97.56	97.64	92
j25g	66.73	-26.86	74.66	79.35	110
j50g	54.03	-43.42	57.07	71.71	127
j75g	44.73	-54.21	38.33	66.4	145
g00b	47.59	-44.11	14.14	46.33	162
g25b	49.97	-35.68	-6.03	36.19	190
g50b	51.85	-29.05	-21.88	36.38	217
g75b	46.92	-15.53	-32.37	35.92	244
b00r	37.91	1.15	-38.05	38.08	272
b25r	23.81	27.31	-46.96	54.33	300
b50r	29.52	62.07	-37.87	72.72	329
b75r	36.48	64.24	-3.31	64.33	357



Ein und Ausgabe: Farbmetrisches Drucker-Reflektiv-System FRS15\_90a für relativen CIELAB-Buntton  $h^* = lab^*h^* = h_{ab}/360 = 76/360 = 0.21$

Daten für jede Farbe:

$lab^*ch^*$  und  $lab^*icu^*$

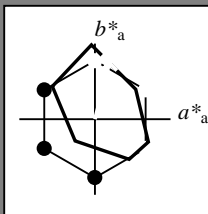
Elementar-Bunttontext:

$u^* = r75j$

Kontrastreduzierungsfaktor:

$c_R = 0.9$

Dreiecks-Helligkeit  $i^*$



FRS15\_90a; adaptierte CIELAB-Daten

	$L^*=L_a^*$	$a_a^*$	$b_a^*$	$C_{ab,a}^*$	$h_{ab,a}^*$
O <sub>Ma</sub>	35.06	53.93	39.55	66.88	36
Y <sub>Ma</sub>	83.77	-4.63	98.26	98.37	93
L <sub>Ma</sub>	44.13	-56.32	43.36	71.09	142
C <sub>Ma</sub>	52.66	-26.18	-28.74	38.89	228
V <sub>Ma</sub>	14.15	45.22	-53.06	69.72	310
M <sub>Ma</sub>	37.37	70.69	-30.1	76.83	337
N <sub>Ma</sub>	15.0	0.0	0.0	0.0	0
W <sub>Ma</sub>	90.0	0.0	0.0	0.0	0
R <sub>CIE</sub>	39.92	58.74	27.99	65.07	25
J <sub>CIE</sub>	81.26	-2.88	71.56	71.62	92
G <sub>CIE</sub>	52.23	-42.41	13.6	44.55	162
B <sub>CIE</sub>	30.57	1.41	-46.46	46.49	272

Daten für Maximalfarbe (Ma):

$LAB^*LAB^*_{Ma}$ : 64 19 74

$LAB^*LCH^*_{Ma}$ : 64 77 76

$lab^*rgb^*_{Ma}$ : 1.0 0.75 0.0

$lab^*olv^*_{Ma}$ : 1.0 0.59 0.0

Dreiecks-Helligkeit  $i^*$

%Umfang

$u^*_{rel} = 88$

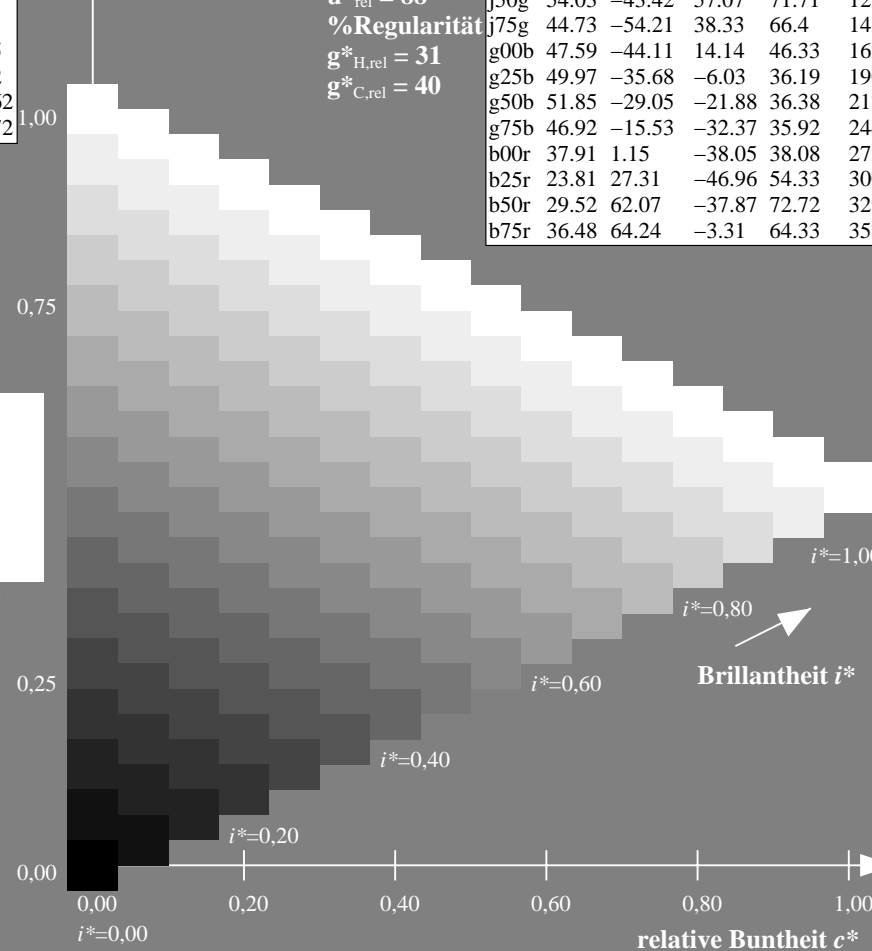
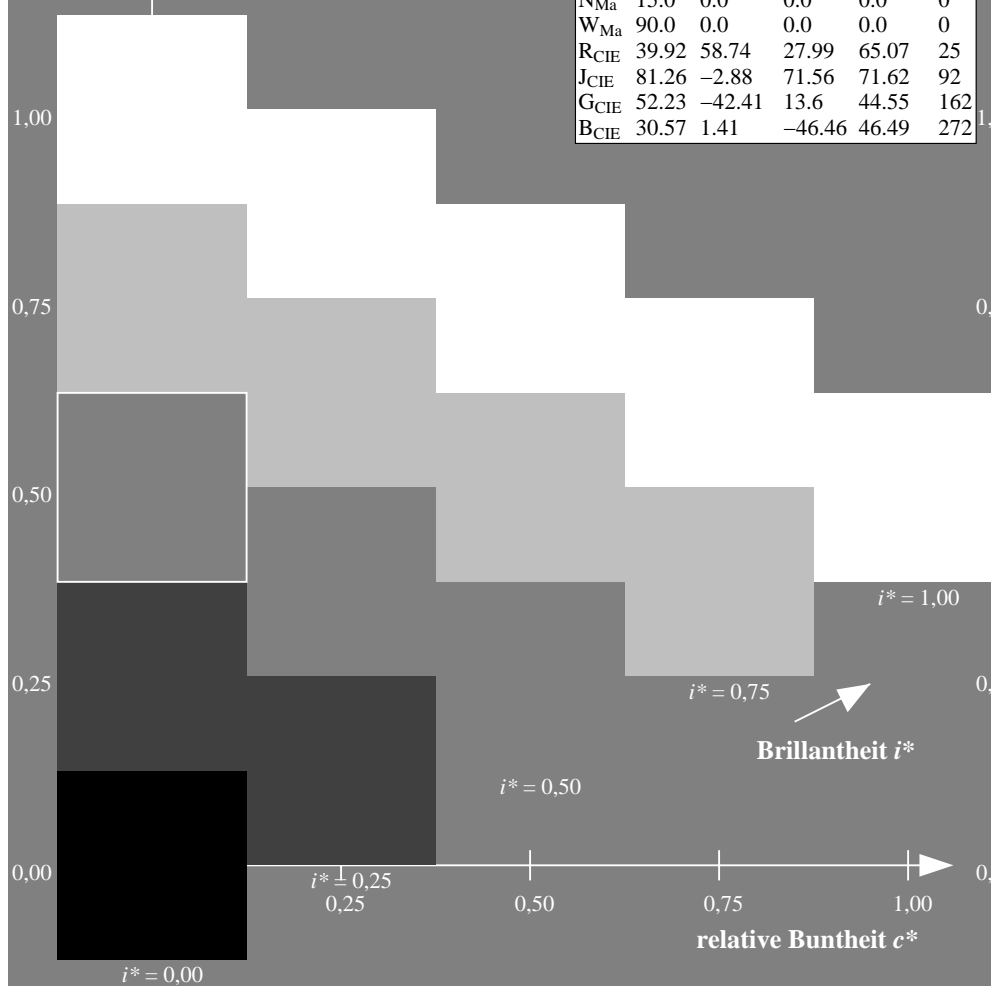
%Regularität

$g^*_{H,rel} = 31$

$g^*_{C,rel} = 40$

FRS15\_90a; adaptierte CIELAB-Daten

	$L^*=L_a^*$	$a_a^*$	$b_a^*$	$C_{ab,a}^*$	$h_{ab,a}^*$
r00j	35.47	56.92	27.12	63.05	25
r25j	39.12	49.04	44.45	66.19	42
r50j	50.64	35.19	58.33	68.13	59
r75j	64.01	19.11	74.45	76.87	76
j00g	83.18	-3.93	97.56	97.64	92
j25g	66.73	-26.86	74.66	79.35	110
j50g	54.03	-43.42	57.07	71.71	127
j75g	44.73	-54.21	38.33	66.4	145
g00b	47.59	-44.11	14.14	46.33	162
g25b	49.97	-35.68	-6.03	36.19	190
g50b	51.85	-29.05	-21.88	36.38	217
g75b	46.92	-15.53	-32.37	35.92	244
b00r	37.91	1.15	-38.05	38.08	272
b25r	23.81	27.31	-46.96	54.33	300
b50r	29.52	62.07	-37.87	72.72	329
b75r	36.48	64.24	-3.31	64.33	357



Ein und Ausgabe: Farbmetrisches Drucker-Reflektiv-System FRS15\_90a für relativen CIELAB-Buntton  $h^* = lab^*h^* = h_{ab}/360 = 92/360 = 0.256$

Daten für jede Farbe:

$lab^*ch^*$  und  $lab^*icu^*$

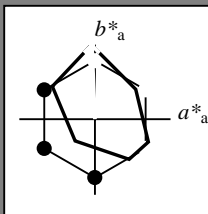
Elementar-Bunttonext:

$u^* = j00g$

Kontrastreduzierungsfaktor:

$c_R = 0.9$

Dreiecks-Helligkeit  $i^*$



FRS15\_90a; adaptierte CIELAB-Daten

	$L^*=L^*_a$	$a^*_a$	$b^*_a$	$C^*_{ab,a}$	$h^*_{ab,a}$
O <sub>Ma</sub>	35.06	53.93	39.55	66.88	36
Y <sub>Ma</sub>	83.77	-4.63	98.26	98.37	93
L <sub>Ma</sub>	44.13	-56.32	43.36	71.09	142
C <sub>Ma</sub>	52.66	-26.18	-28.74	38.89	228
V <sub>Ma</sub>	14.15	45.22	-53.06	69.72	310
M <sub>Ma</sub>	37.37	70.69	-30.1	76.83	337
N <sub>Ma</sub>	15.0	0.0	0.0	0.0	0
W <sub>Ma</sub>	90.0	0.0	0.0	0.0	0
R <sub>CIE</sub>	39.92	58.74	27.99	65.07	25
J <sub>CIE</sub>	81.26	-2.88	71.56	71.62	92
G <sub>CIE</sub>	52.23	-42.41	13.6	44.55	162
B <sub>CIE</sub>	30.57	1.41	-46.46	46.49	272

Daten für Maximalfarbe (Ma):

$LAB^*LAB^*_{Ma}$ : 83 -3 98

$LAB^*LCH^*_{Ma}$ : 83 98 92

$lab^*rgb^*_{Ma}$ : 1.0 1.0 0.0

$lab^*olv^*_{Ma}$ : 1.0 0.99 0.0

Dreiecks-Helligkeit  $i^*$

%Umfang

$u^*_{rel} = 88$

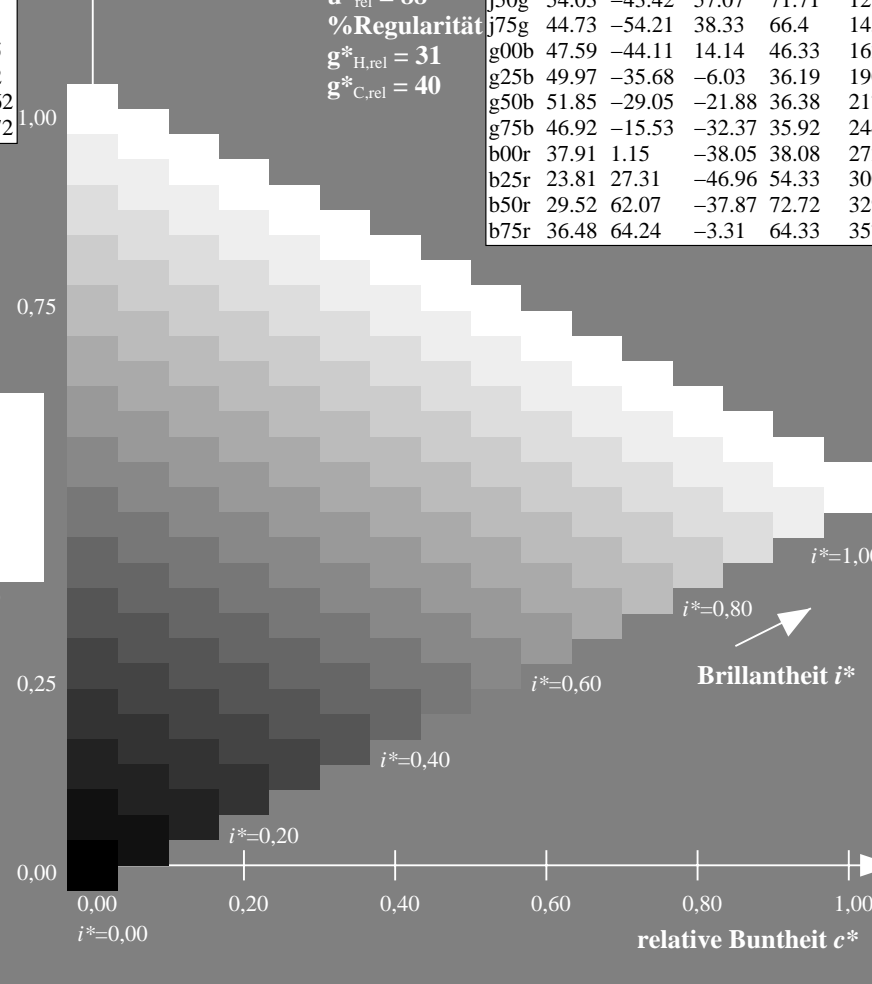
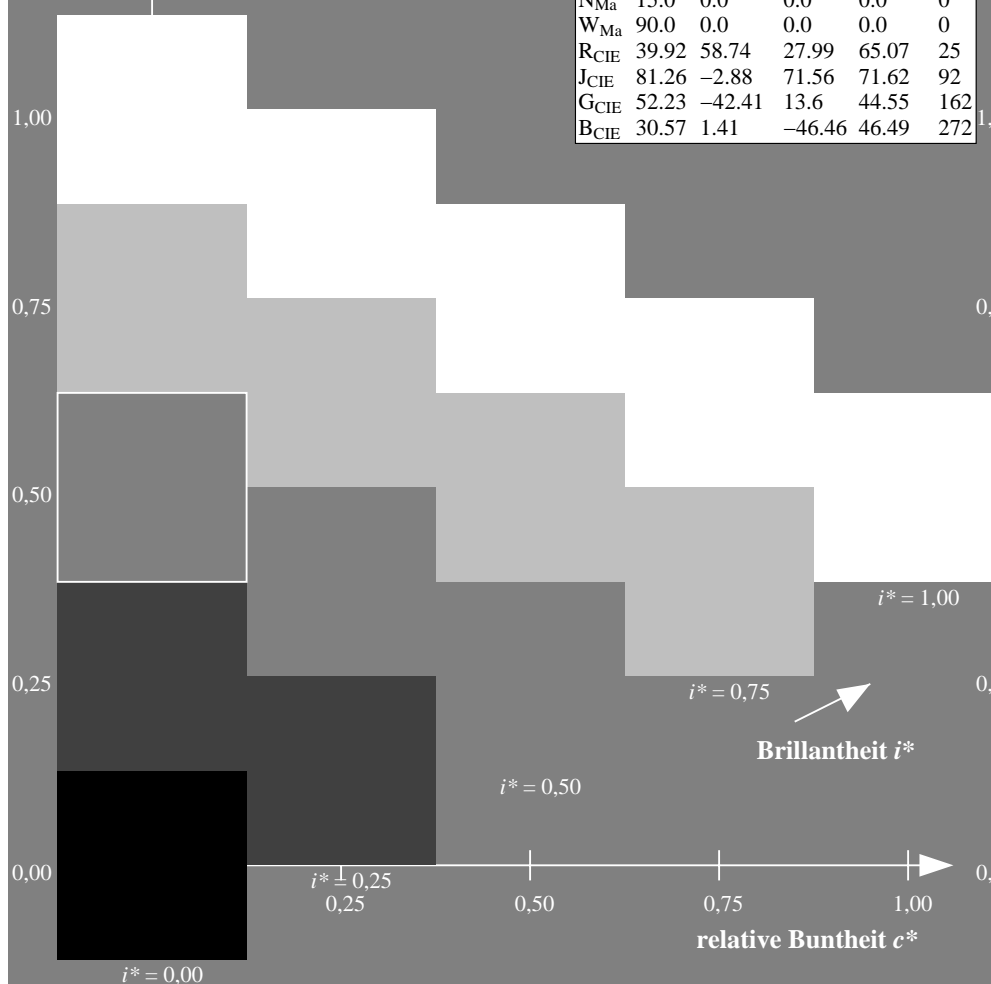
%Regularität

$g^*_{H,rel} = 31$

$g^*_{C,rel} = 40$

FRS15\_90a; adaptierte CIELAB-Daten

	$L^*=L^*_a$	$a^*_a$	$b^*_a$	$C^*_{ab,a}$	$h^*_{ab,a}$
r00j	35.47	56.92	27.12	63.05	25
r25j	39.12	49.04	44.45	66.19	42
r50j	50.64	35.19	58.33	68.13	59
r75j	64.01	19.11	74.45	76.87	76
j00g	83.18	-3.93	97.56	97.64	92
j25g	66.73	-26.86	74.66	79.35	110
j50g	54.03	-43.42	57.07	71.71	127
j75g	44.73	-54.21	38.33	66.4	145
g00b	47.59	-44.11	14.14	46.33	162
g25b	49.97	-35.68	-6.03	36.19	190
g50b	51.85	-29.05	-21.88	36.38	217
g75b	46.92	-15.53	-32.37	35.92	244
b00r	37.91	1.15	-38.05	38.08	272
b25r	23.81	27.31	-46.96	54.33	300
b50r	29.52	62.07	-37.87	72.72	329
b75r	36.48	64.24	-3.31	64.33	357



Ein und Ausgabe: Farbmetrisches Drucker-Reflektiv-System FRS15\_90a für relativen CIELAB-Buntton  $h^* = lab^*h^* = h_{ab}/360 = 110/360 = 0.305$

Daten für jede Farbe:

$lab^*tch^*$  und  $lab^*icu^*$

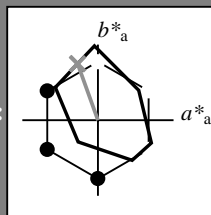
Elementar-Bunttontext:

$u^* = j25g$

Kontrastreduzierungsfaktor:

$c_R = 0.9$

Dreiecks-Helligkeit  $i^*$



FRS15\_90a; adaptierte CIELAB-Daten

	$L^*=L_a^*$	$a_a^*$	$b_a^*$	$C_{ab,a}^*$	$h_{ab,a}^*$
O <sub>Ma</sub>	35.06	53.93	39.55	66.88	36
Y <sub>Ma</sub>	83.77	-4.63	98.26	98.37	93
L <sub>Ma</sub>	44.13	-56.32	43.36	71.09	142
C <sub>Ma</sub>	52.66	-26.18	-28.74	38.89	228
V <sub>Ma</sub>	14.15	45.22	-53.06	69.72	310
M <sub>Ma</sub>	37.37	70.69	-30.1	76.83	337
N <sub>Ma</sub>	15.0	0.0	0.0	0.0	0
W <sub>Ma</sub>	90.0	0.0	0.0	0.0	0
R <sub>CIE</sub>	39.92	58.74	27.99	65.07	25
J <sub>CIE</sub>	81.26	-2.88	71.56	71.62	92
G <sub>CIE</sub>	52.23	-42.41	13.6	44.55	162
B <sub>CIE</sub>	30.57	1.41	-46.46	46.49	272

Daten für Maximalfarbe (Ma):

$LAB^*LAB^*_{Ma}$ : 67 -26 75

$LAB^*LCH^*_{Ma}$ : 67 79 110

$lab^*rgb^*_{Ma}$ : 0.75 1.0 0.0

$lab^*olv^*_{Ma}$ : 0.57 1.0 0.0

Dreiecks-Helligkeit  $i^*$

%Umfang

$u^*_{rel} = 88$

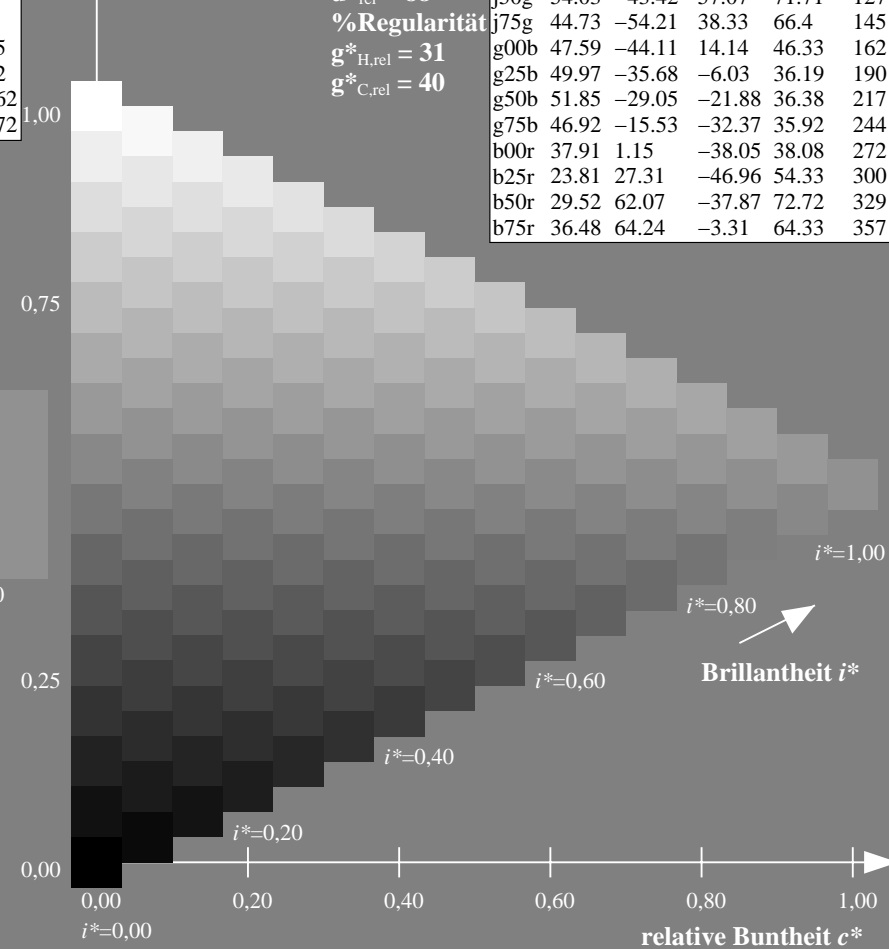
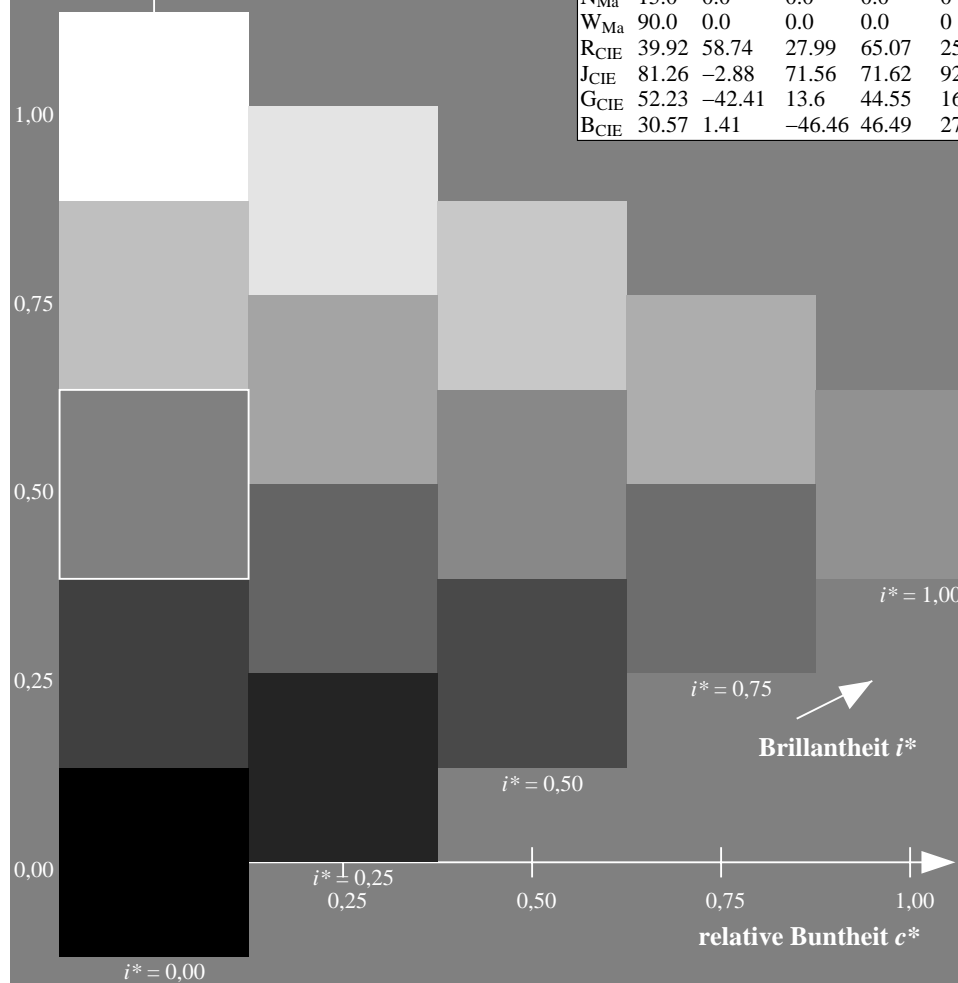
%Regularität

$g^*_{H,rel} = 31$

$g^*_{C,rel} = 40$

FRS15\_90a; adaptierte CIELAB-Daten

	$L^*=L_a^*$	$a_a^*$	$b_a^*$	$C_{ab,a}^*$	$h_{ab,a}^*$
r00j	35.47	56.92	27.12	63.05	25
r25j	39.12	49.04	44.45	66.19	42
r50j	50.64	35.19	58.33	68.13	59
r75j	64.01	19.11	74.45	76.87	76
j00g	83.18	-3.93	97.56	97.64	92
j25g	66.73	-26.86	74.66	79.35	110
j50g	54.03	-43.42	57.07	71.71	127
j75g	44.73	-54.21	38.33	66.4	145
g00b	47.59	-44.11	14.14	46.33	162
g25b	49.97	-35.68	-6.03	36.19	190
g50b	51.85	-29.05	-21.88	36.38	217
g75b	46.92	-15.53	-32.37	35.92	244
b00r	37.91	1.15	-38.05	38.08	272
b25r	23.81	27.31	-46.96	54.33	300
b50r	29.52	62.07	-37.87	72.72	329
b75r	36.48	64.24	-3.31	64.33	357



Ein und Ausgabe: Farbmetrisches Drucker-Reflektiv-System FRS15\_90a für relativen CIELAB-Buntton  $h^* = lab^*h^* = h_{ab}/360 = 127/360 = 0.354$

Daten für jede Farbe:

$lab^*ch^*$  und  $lab^*icu^*$

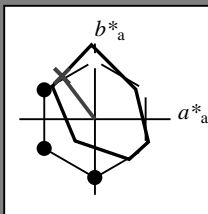
Elementar-Bunttontext:

$u^* = j50g$

Kontrastreduzierungsfaktor:

$c_R = 0.9$

Dreiecks-Helligkeit  $i^*$



FRS15\_90a; adaptierte CIELAB-Daten

	$L^*=L_a^*$	$a_a^*$	$b_a^*$	$C_{ab,a}^*$	$h_{ab,a}^*$
O <sub>Ma</sub>	35.06	53.93	39.55	66.88	36
Y <sub>Ma</sub>	83.77	-4.63	98.26	98.37	93
L <sub>Ma</sub>	44.13	-56.32	43.36	71.09	142
C <sub>Ma</sub>	52.66	-26.18	-28.74	38.89	228
V <sub>Ma</sub>	14.15	45.22	-53.06	69.72	310
M <sub>Ma</sub>	37.37	70.69	-30.1	76.83	337
N <sub>Ma</sub>	15.0	0.0	0.0	0.0	0
W <sub>Ma</sub>	90.0	0.0	0.0	0.0	0
R <sub>CIE</sub>	39.92	58.74	27.99	65.07	25
J <sub>CIE</sub>	81.26	-2.88	71.56	71.62	92
G <sub>CIE</sub>	52.23	-42.41	13.6	44.55	162
B <sub>CIE</sub>	30.57	1.41	-46.46	46.49	272

Daten für Maximalfarbe (Ma):

$LAB^*LAB^*_{Ma}$ : 54 -42 57

$LAB^*LCH^*_{Ma}$ : 54 72 127

$lab^*rgb^*_{Ma}$ : 0.5 1.0 0.0

$lab^*olv^*_{Ma}$ : 0.25 1.0 0.0

Dreiecks-Helligkeit  $i^*$

%Umfang

$u^*_{rel} = 88$

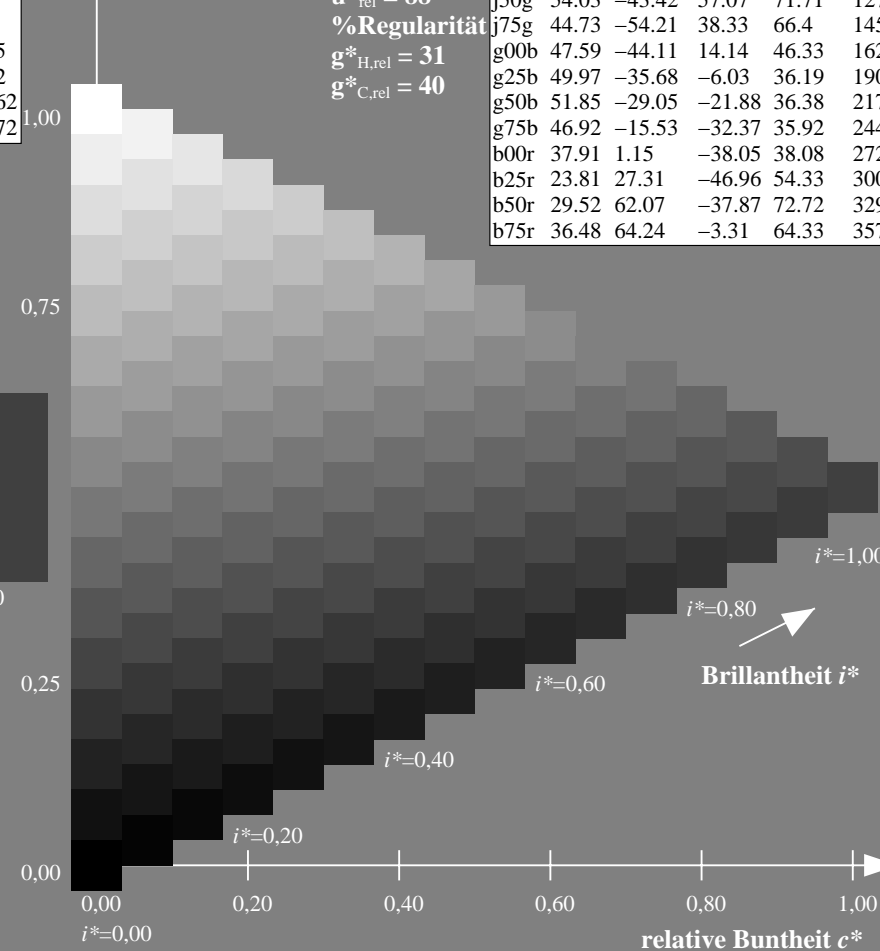
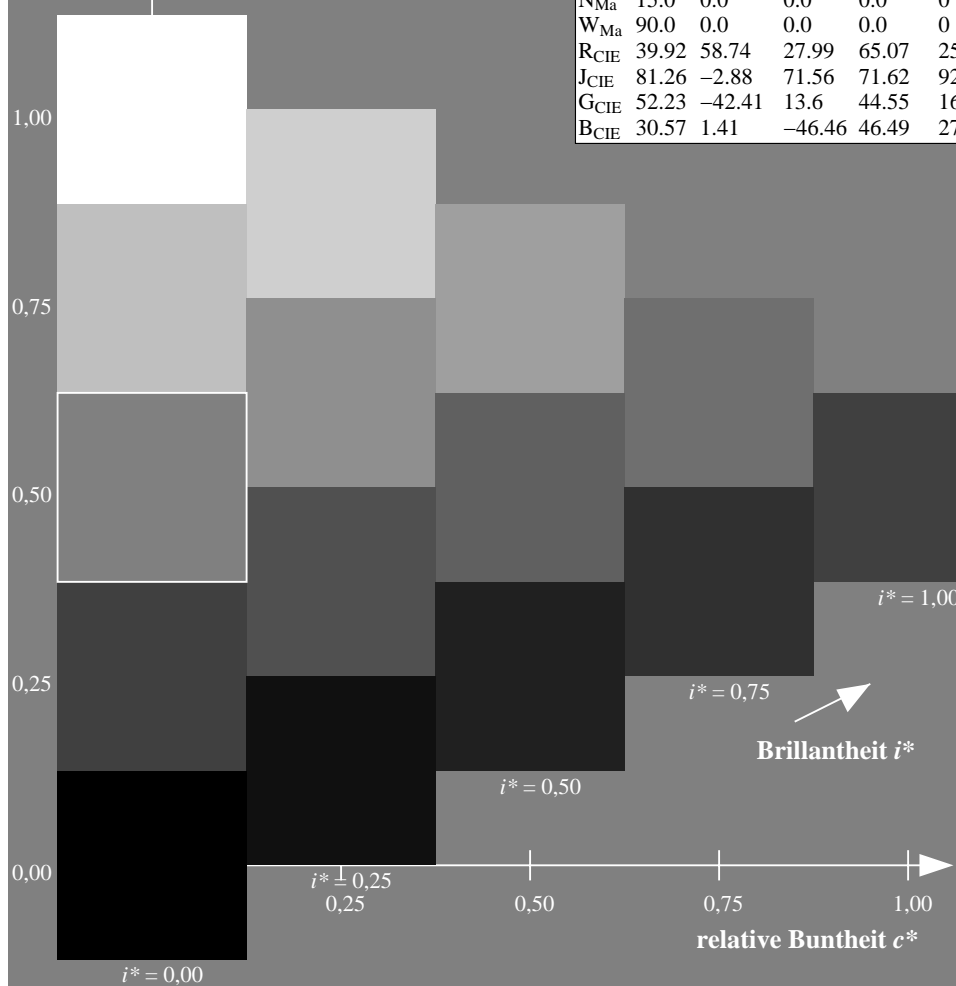
%Regularität

$g^*_{H,rel} = 31$

$g^*_{C,rel} = 40$

FRS15\_90a; adaptierte CIELAB-Daten

	$L^*=L_a^*$	$a_a^*$	$b_a^*$	$C_{ab,a}^*$	$h_{ab,a}^*$
r00j	35.47	56.92	27.12	63.05	25
r25j	39.12	49.04	44.45	66.19	42
r50j	50.64	35.19	58.33	68.13	59
r75j	64.01	19.11	74.45	76.87	76
j00g	83.18	-3.93	97.56	97.64	92
j25g	66.73	-26.86	74.66	79.35	110
j50g	54.03	-43.42	57.07	71.71	127
j75g	44.73	-54.21	38.33	66.4	145
g00b	47.59	-44.11	14.14	46.33	162
g25b	49.97	-35.68	-6.03	36.19	190
g50b	51.85	-29.05	-21.88	36.38	217
g75b	46.92	-15.53	-32.37	35.92	244
b00r	37.91	1.15	-38.05	38.08	272
b25r	23.81	27.31	-46.96	54.33	300
b50r	29.52	62.07	-37.87	72.72	329
b75r	36.48	64.24	-3.31	64.33	357





Ein und Ausgabe: Farbmetrisches Drucker-Reflektiv-System FRS15\_90a für relativen CIELAB-Buntton  $h^* = lab^*h^* = h_{ab}/360 = 145/360 = 0.402$

Daten für jede Farbe:

$lab^*ch^*$  und  $lab^*icu^*$

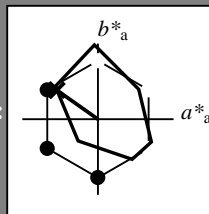
Elementar-Bunttoncontext:

$u^* = j75g$

Kontrastreduzierungsfaktor:

$c_R = 0.9$

Dreiecks-Helligkeit  $i^*$



FRS15\_90a; adaptierte CIELAB-Daten

	$L^*=L_a^*$	$a_a^*$	$b_a^*$	$C_{ab,a}^*$	$h_{ab,a}^*$
O <sub>Ma</sub>	35.06	53.93	39.55	66.88	36
Y <sub>Ma</sub>	83.77	-4.63	98.26	98.37	93
L <sub>Ma</sub>	44.13	-56.32	43.36	71.09	142
C <sub>Ma</sub>	52.66	-26.18	-28.74	38.89	228
V <sub>Ma</sub>	14.15	45.22	-53.06	69.72	310
M <sub>Ma</sub>	37.37	70.69	-30.1	76.83	337
N <sub>Ma</sub>	15.0	0.0	0.0	0.0	0
W <sub>Ma</sub>	90.0	0.0	0.0	0.0	0
R <sub>CIE</sub>	39.92	58.74	27.99	65.07	25
J <sub>CIE</sub>	81.26	-2.88	71.56	71.62	92
G <sub>CIE</sub>	52.23	-42.41	13.6	44.55	162
B <sub>CIE</sub>	30.57	1.41	-46.46	46.49	272

Daten für Maximalfarbe (Ma):

$LAB^*LAB^*_{Ma}$ : 45 -53 38

$LAB^*LCH^*_{Ma}$ : 45 66 145

$lab^*rgb^*_{Ma}$ : 0.25 1.0 0.0

$lab^*olv^*_{Ma}$ : 0.0 1.0 0.07

Dreiecks-Helligkeit  $i^*$

%Umfang

$u^*_{rel} = 88$

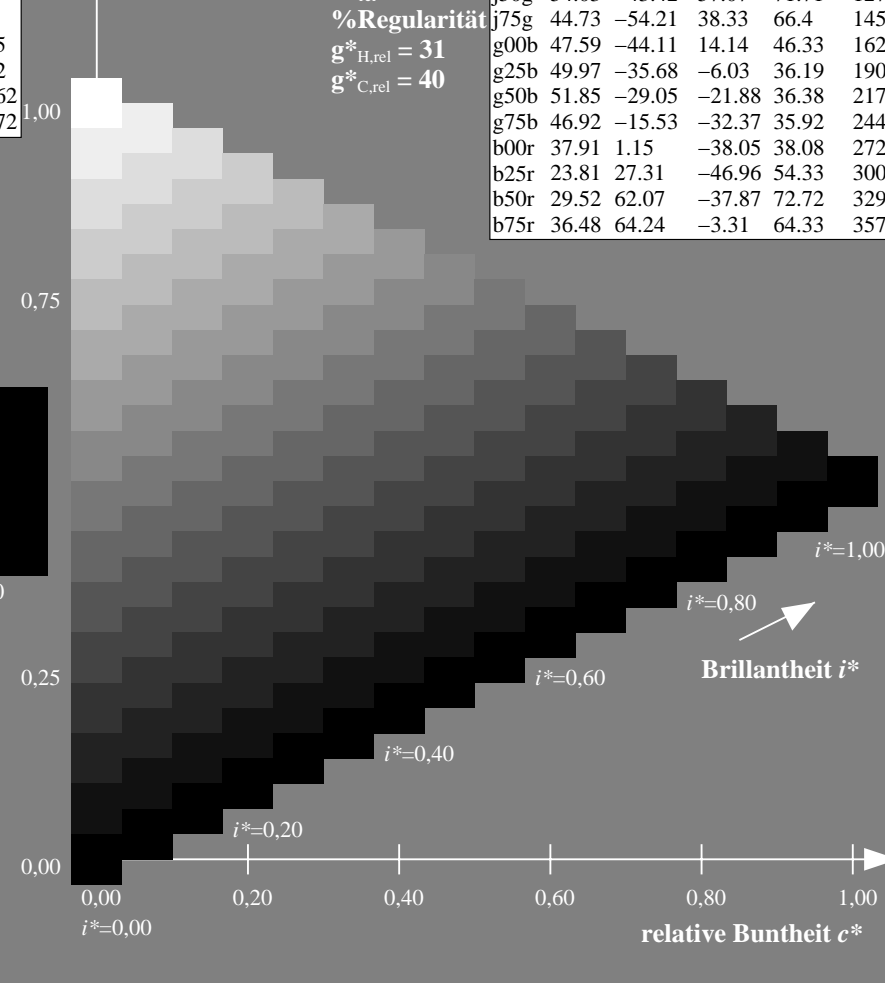
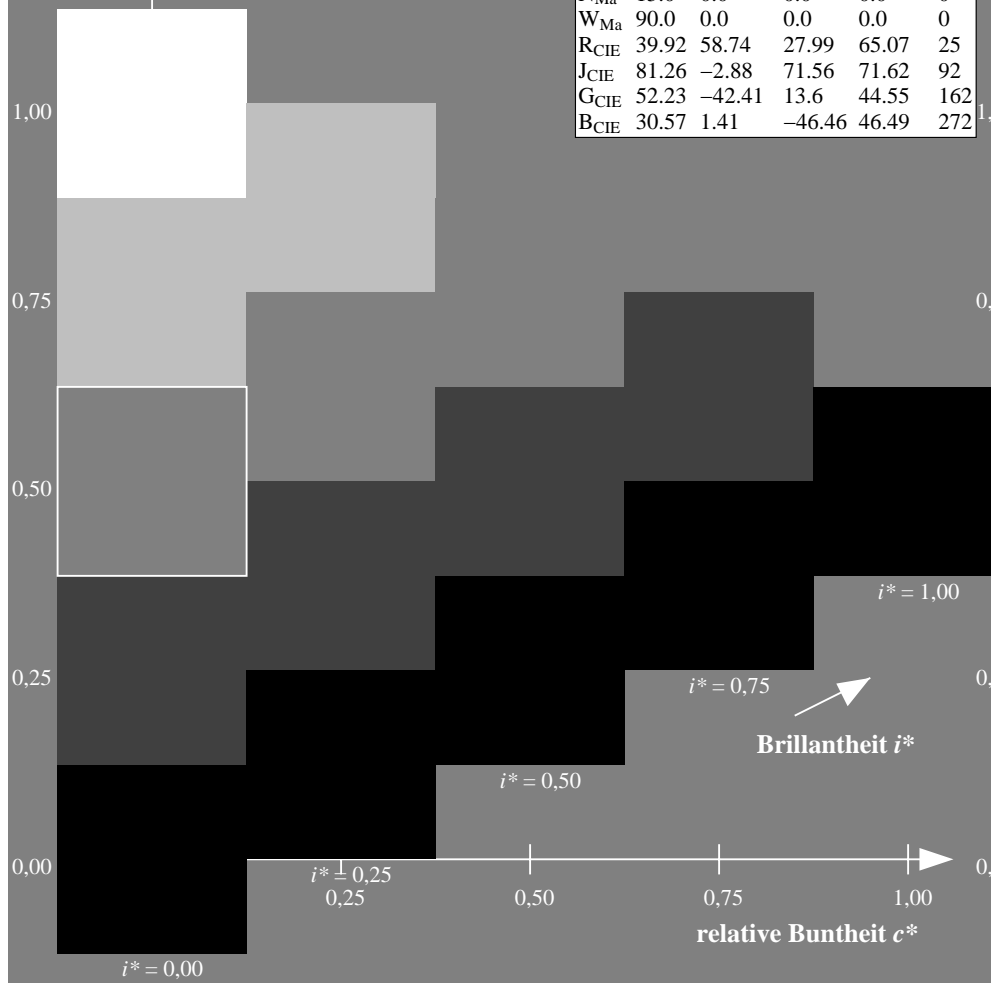
%Regularität

$g^*_{H,rel} = 31$

$g^*_{C,rel} = 40$

FRS15\_90a; adaptierte CIELAB-Daten

	$L^*=L_a^*$	$a_a^*$	$b_a^*$	$C_{ab,a}^*$	$h_{ab,a}^*$
r00j	35.47	56.92	27.12	63.05	25
r25j	39.12	49.04	44.45	66.19	42
r50j	50.64	35.19	58.33	68.13	59
r75j	64.01	19.11	74.45	76.87	76
j00g	83.18	-3.93	97.56	97.64	92
j25g	66.73	-26.86	74.66	79.35	110
j50g	54.03	-43.42	57.07	71.71	127
j75g	44.73	-54.21	38.33	66.4	145
g00b	47.59	-44.11	14.14	46.33	162
g25b	49.97	-35.68	-6.03	36.19	190
g50b	51.85	-29.05	-21.88	36.38	217
g75b	46.92	-15.53	-32.37	35.92	244
b00r	37.91	1.15	-38.05	38.08	272
b25r	23.81	27.31	-46.96	54.33	300
b50r	29.52	62.07	-37.87	72.72	329
b75r	36.48	64.24	-3.31	64.33	357



Ein und Ausgabe: Farbmetrisches Drucker-Reflektiv-System FRS15\_90a für relativen CIELAB-Buntton  $h^* = lab^*h^* = h_{ab}/360 = 162/360 = 0.451$

Daten für jede Farbe:

$lab^*ch^*$  und  $lab^*icu^*$

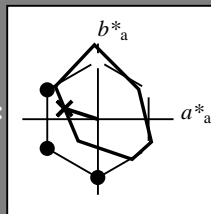
Elementar-Bunttoncontext:

$u^* = g00b$

Kontrastreduzierungsfaktor:

$c_R = 0.9$

Dreiecks-Helligkeit  $i^*$



FRS15\_90a; adaptierte CIELAB-Daten

	$L^*=L^*_a$	$a^*_a$	$b^*_a$	$C^*_{ab,a}$	$h^*_{ab,a}$
O <sub>Ma</sub>	35.06	53.93	39.55	66.88	36
Y <sub>Ma</sub>	83.77	-4.63	98.26	98.37	93
L <sub>Ma</sub>	44.13	-56.32	43.36	71.09	142
C <sub>Ma</sub>	52.66	-26.18	-28.74	38.89	228
V <sub>Ma</sub>	14.15	45.22	-53.06	69.72	310
M <sub>Ma</sub>	37.37	70.69	-30.1	76.83	337
N <sub>Ma</sub>	15.0	0.0	0.0	0.0	0
W <sub>Ma</sub>	90.0	0.0	0.0	0.0	0
R <sub>CIE</sub>	39.92	58.74	27.99	65.07	25
J <sub>CIE</sub>	81.26	-2.88	71.56	71.62	92
G <sub>CIE</sub>	52.23	-42.41	13.6	44.55	162
B <sub>CIE</sub>	30.57	1.41	-46.46	46.49	272

Daten für Maximalfarbe (Ma):

$LAB^*LAB^*_{Ma}$ : 48 -43 14

$LAB^*LCH^*_{Ma}$ : 48 46 162

$lab^*rgb^*_{Ma}$ : 0.0 1.0 0.0

$lab^*olv^*_{Ma}$ : 0.0 1.0 0.41

Dreiecks-Helligkeit  $i^*$

%Umfang

$u^*_{rel} = 88$

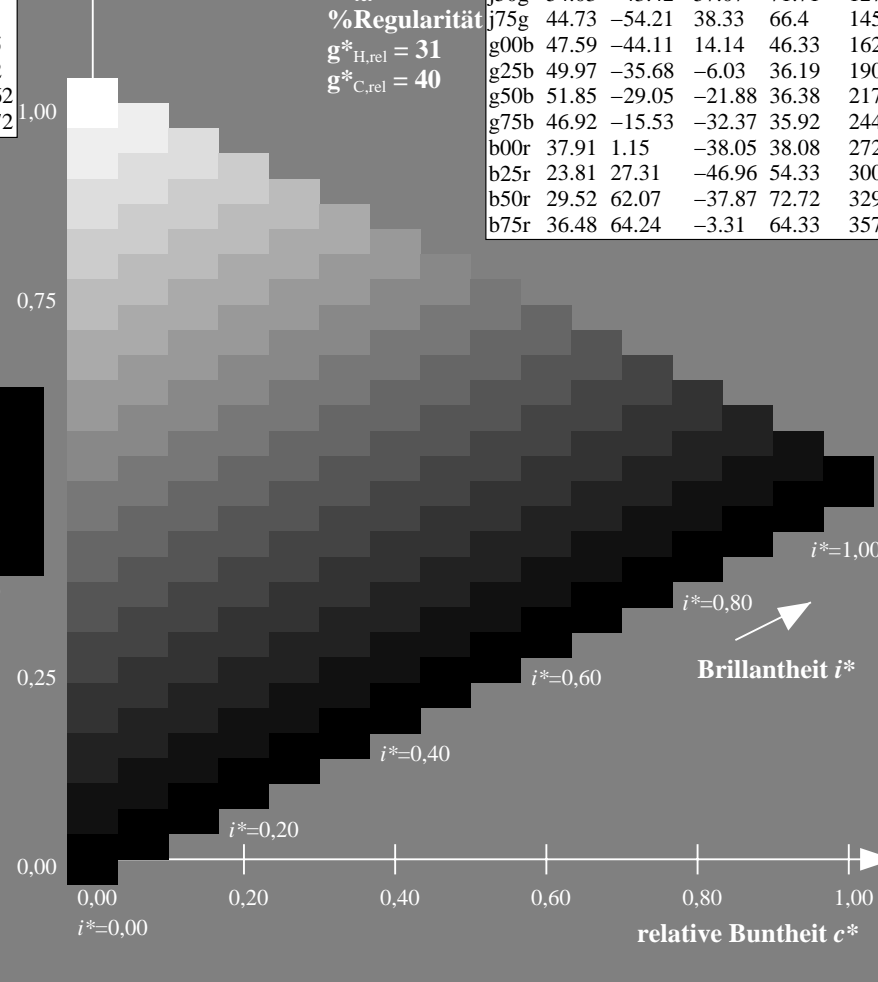
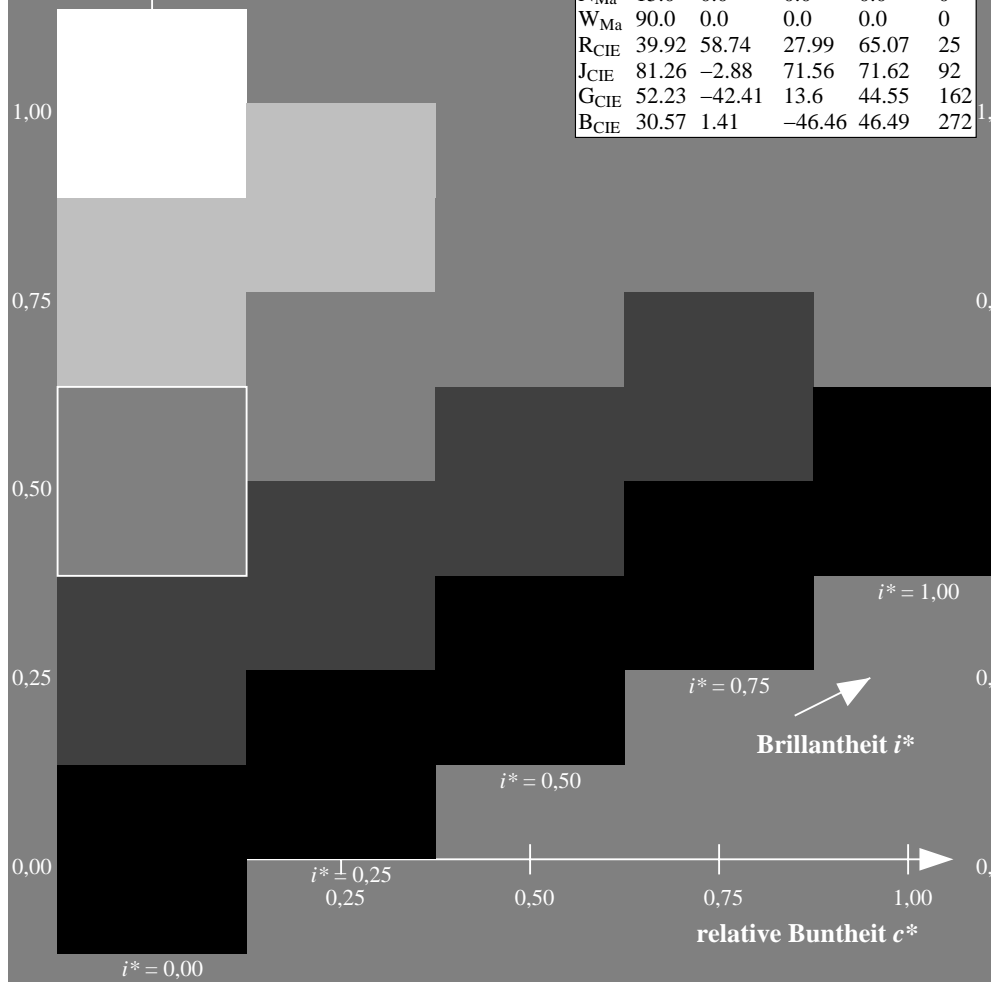
%Regularität

$g^*_{H,rel} = 31$

$g^*_{C,rel} = 40$

FRS15\_90a; adaptierte CIELAB-Daten

	$L^*=L^*_a$	$a^*_a$	$b^*_a$	$C^*_{ab,a}$	$h^*_{ab,a}$
r00j	35.47	56.92	27.12	63.05	25
r25j	39.12	49.04	44.45	66.19	42
r50j	50.64	35.19	58.33	68.13	59
r75j	64.01	19.11	74.45	76.87	76
j00g	83.18	-3.93	97.56	97.64	92
j25g	66.73	-26.86	74.66	79.35	110
j50g	54.03	-43.42	57.07	71.71	127
j75g	44.73	-54.21	38.33	66.4	145
g00b	47.59	-44.11	14.14	46.33	162
g25b	49.97	-35.68	-6.03	36.19	190
g50b	51.85	-29.05	-21.88	36.38	217
g75b	46.92	-15.53	-32.37	35.92	244
b00r	37.91	1.15	-38.05	38.08	272
b25r	23.81	27.31	-46.96	54.33	300
b50r	29.52	62.07	-37.87	72.72	329
b75r	36.48	64.24	-3.31	64.33	357



Ein und Ausgabe: Farbmetrisches Drucker-Reflektiv-System FRS15\_90a für relativen CIELAB-Buntton  $h^* = lab^*h^* = h_{ab}/360 = 190/360 = 0.527$

Daten für jede Farbe:

$lab^*ch^*$  und  $lab^*icu^*$

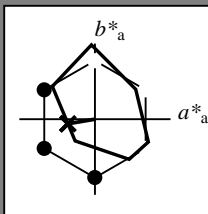
Elementar-Bunttoncontext:

$u^* = g25b$

Kontrastreduzierungsfaktor:

$c_R = 0.9$

Dreiecks-Helligkeit  $i^*$



FRS15\_90a; adaptierte CIELAB-Daten

	$L^*=L_a^*$	$a_a^*$	$b_a^*$	$C_{ab,a}^*$	$h_{ab,a}^*$
O <sub>Ma</sub>	35.06	53.93	39.55	66.88	36
Y <sub>Ma</sub>	83.77	-4.63	98.26	98.37	93
L <sub>Ma</sub>	44.13	-56.32	43.36	71.09	142
C <sub>Ma</sub>	52.66	-26.18	-28.74	38.89	228
V <sub>Ma</sub>	14.15	45.22	-53.06	69.72	310
M <sub>Ma</sub>	37.37	70.69	-30.1	76.83	337
N <sub>Ma</sub>	15.0	0.0	0.0	0.0	0
W <sub>Ma</sub>	90.0	0.0	0.0	0.0	0
R <sub>CIE</sub>	39.92	58.74	27.99	65.07	25
J <sub>CIE</sub>	81.26	-2.88	71.56	71.62	92
G <sub>CIE</sub>	52.23	-42.41	13.6	44.55	162
B <sub>CIE</sub>	30.57	1.41	-46.46	46.49	272

Daten für Maximalfarbe (Ma):

$LAB^*LAB^*Ma$ : 50 -35 -5

$LAB^*LCH^*Ma$ : 50 36 190

$lab^*rgb^*Ma$ : 0.0 1.0 0.5

$lab^*olv^*Ma$ : 0.0 1.0 0.69

Dreiecks-Helligkeit  $i^*$

%Umfang

$u^*_{rel} = 88$

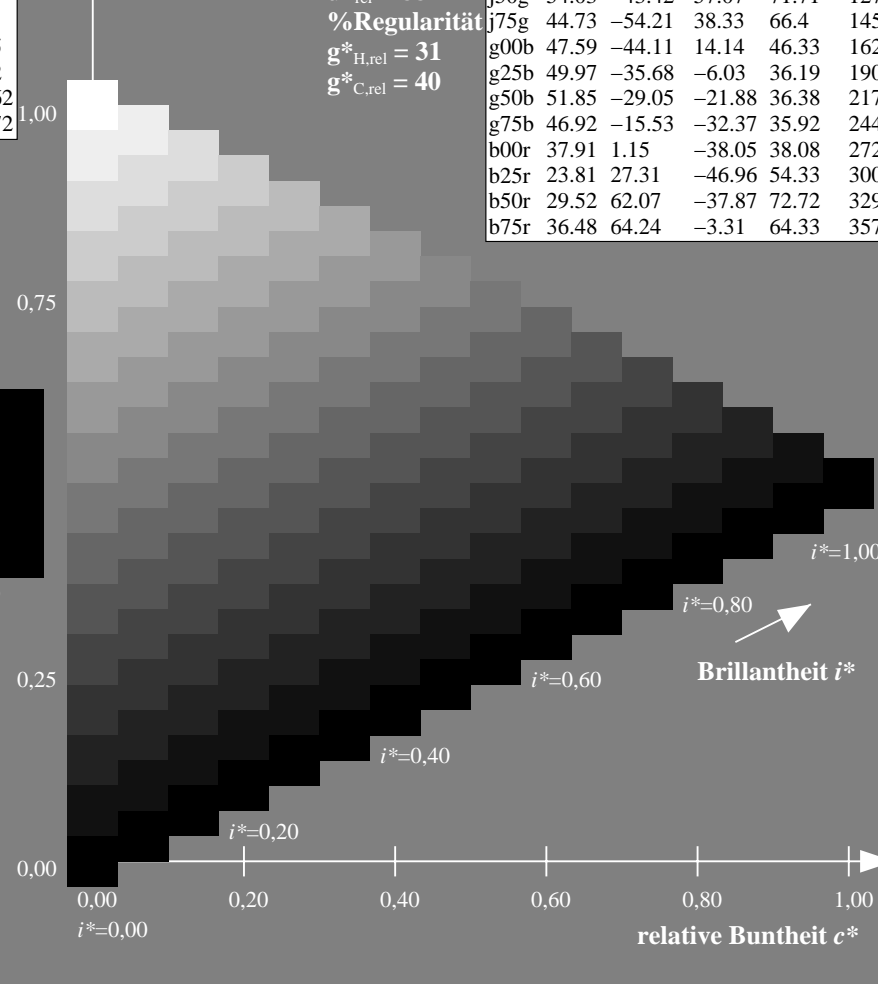
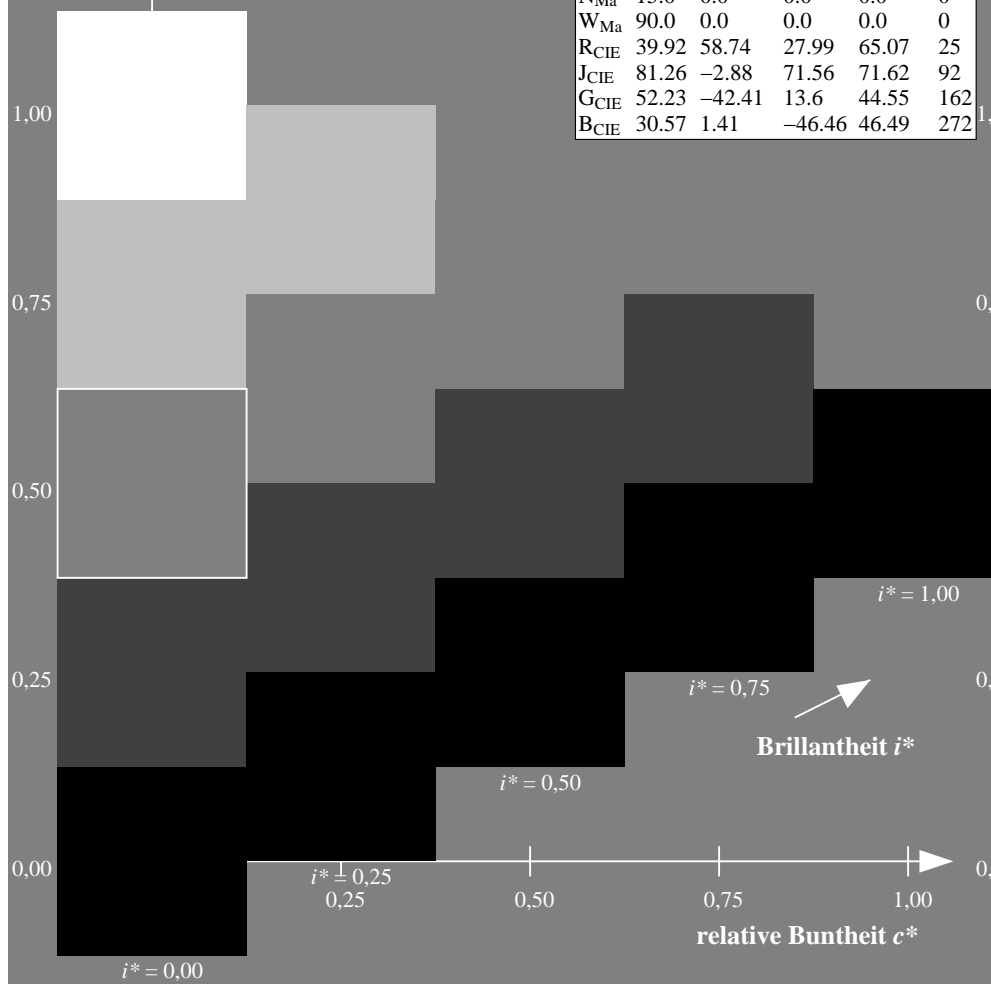
%Regularität

$g^*_{H,rel} = 31$

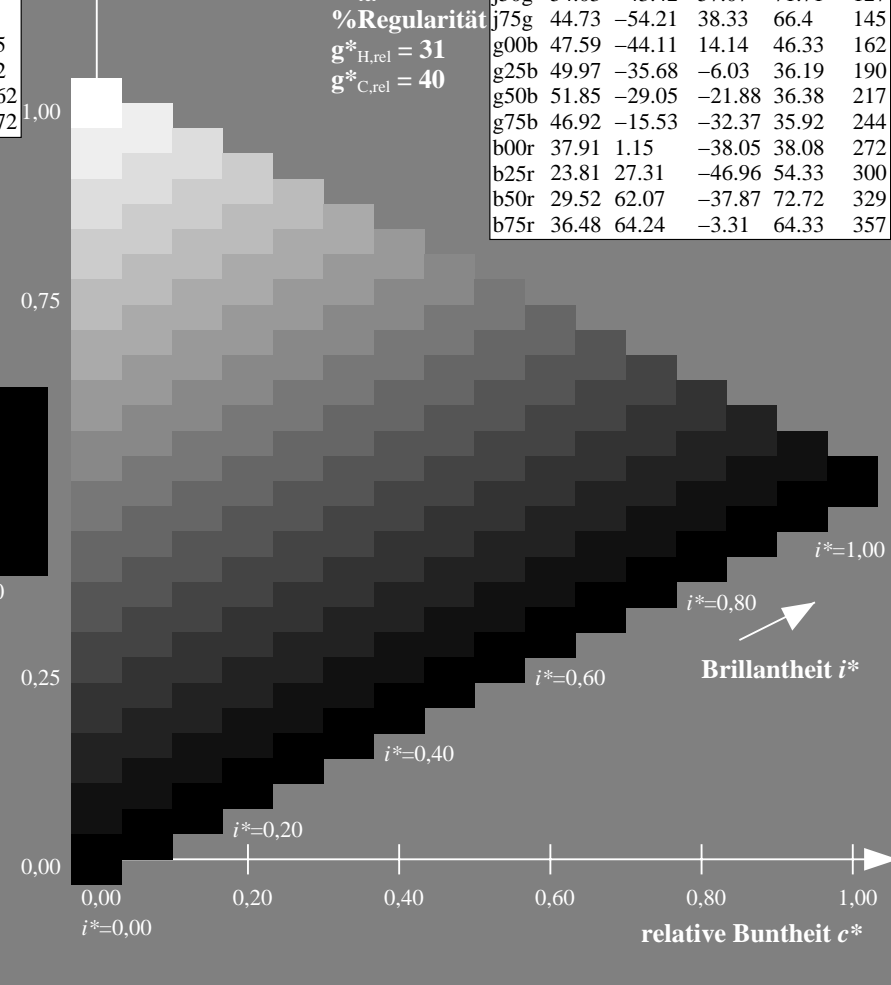
$g^*_{C,rel} = 40$

FRS15\_90a; adaptierte CIELAB-Daten

	$L^*=L_a^*$	$a_a^*$	$b_a^*$	$C_{ab,a}^*$	$h_{ab,a}^*$
r00j	35.47	56.92	27.12	63.05	25
r25j	39.12	49.04	44.45	66.19	42
r50j	50.64	35.19	58.33	68.13	59
r75j	64.01	19.11	74.45	76.87	76
j00g	83.18	-3.93	97.56	97.64	92
j25g	66.73	-26.86	74.66	79.35	110
j50g	54.03	-43.42	57.07	71.71	127
j75g	44.73	-54.21	38.33	66.4	145
g00b	47.59	-44.11	14.14	46.33	162
g25b	49.97	-35.68	-6.03	36.19	190
g50b	51.85	-29.05	-21.88	36.38	217
g75b	46.92	-15.53	-32.37	35.92	244
b00r	37.91	1.15	-38.05	38.08	272
b25r	23.81	27.31	-46.96	54.33	300
b50r	29.52	62.07	-37.87	72.72	329
b75r	36.48	64.24	-3.31	64.33	357



100


$$g^*_{C,rel} = 40$$


Ausgabe:  $\rightarrow cmyk5^*$  *setcmykcolor*

Ein und Ausgabe: Farbmetrisches Drucker-Reflektiv-System FRS15\_90a für relativen CIELAB-Buntton  $h^* = lab^*h^* = h_{ab}/360 = 244/360 = 0.679$

Daten für jede Farbe:

$lab^*ch^*$  und  $lab^*icu^*$

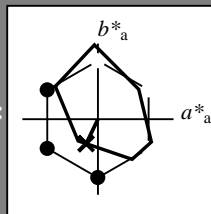
Elementar-Bunttoncontext:

$u^* = g75b$

Kontrastreduzierungsfaktor:

$c_R = 0.9$

Dreiecks-Helligkeit  $i^*$



FRS15\_90a; adaptierte CIELAB-Daten

	$L^*=L^*_a$	$a^*_a$	$b^*_a$	$C^*_{ab,a}$	$h^*_{ab,a}$
O <sub>Ma</sub>	35.06	53.93	39.55	66.88	36
Y <sub>Ma</sub>	83.77	-4.63	98.26	98.37	93
L <sub>Ma</sub>	44.13	-56.32	43.36	71.09	142
C <sub>Ma</sub>	52.66	-26.18	-28.74	38.89	228
V <sub>Ma</sub>	14.15	45.22	-53.06	69.72	310
M <sub>Ma</sub>	37.37	70.69	-30.1	76.83	337
N <sub>Ma</sub>	15.0	0.0	0.0	0.0	0
W <sub>Ma</sub>	90.0	0.0	0.0	0.0	0
R <sub>CIE</sub>	39.92	58.74	27.99	65.07	25
J <sub>CIE</sub>	81.26	-2.88	71.56	71.62	92
G <sub>CIE</sub>	52.23	-42.41	13.6	44.55	162
B <sub>CIE</sub>	30.57	1.41	-46.46	46.49	272

Daten für Maximalfarbe (Ma):

$LAB^*LAB^*_{Ma}$ : 47 -15 -31

$LAB^*LCH^*_{Ma}$ : 47 36 244

$lab^*rgb^*_{Ma}$ : 0.0 0.5 1.0

$lab^*olv^*_{Ma}$ : 0.0 0.85 1.0

Dreiecks-Helligkeit  $i^*$

%Umfang

$u^*_{rel} = 88$

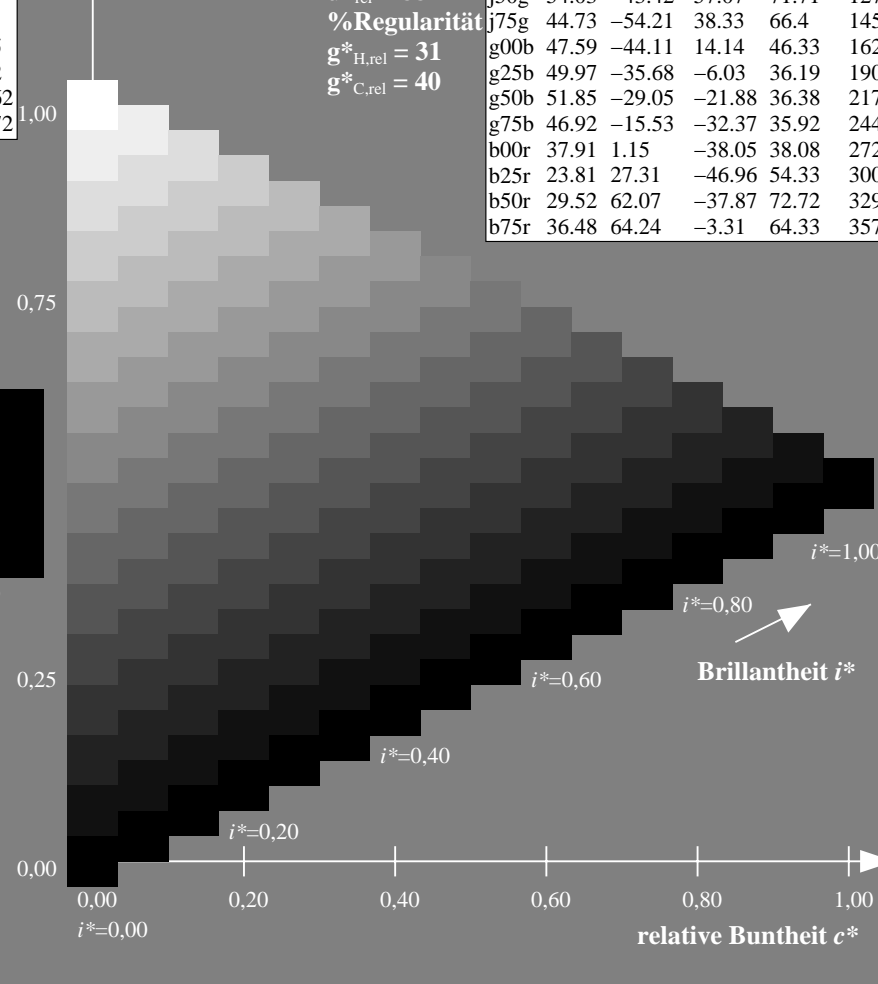
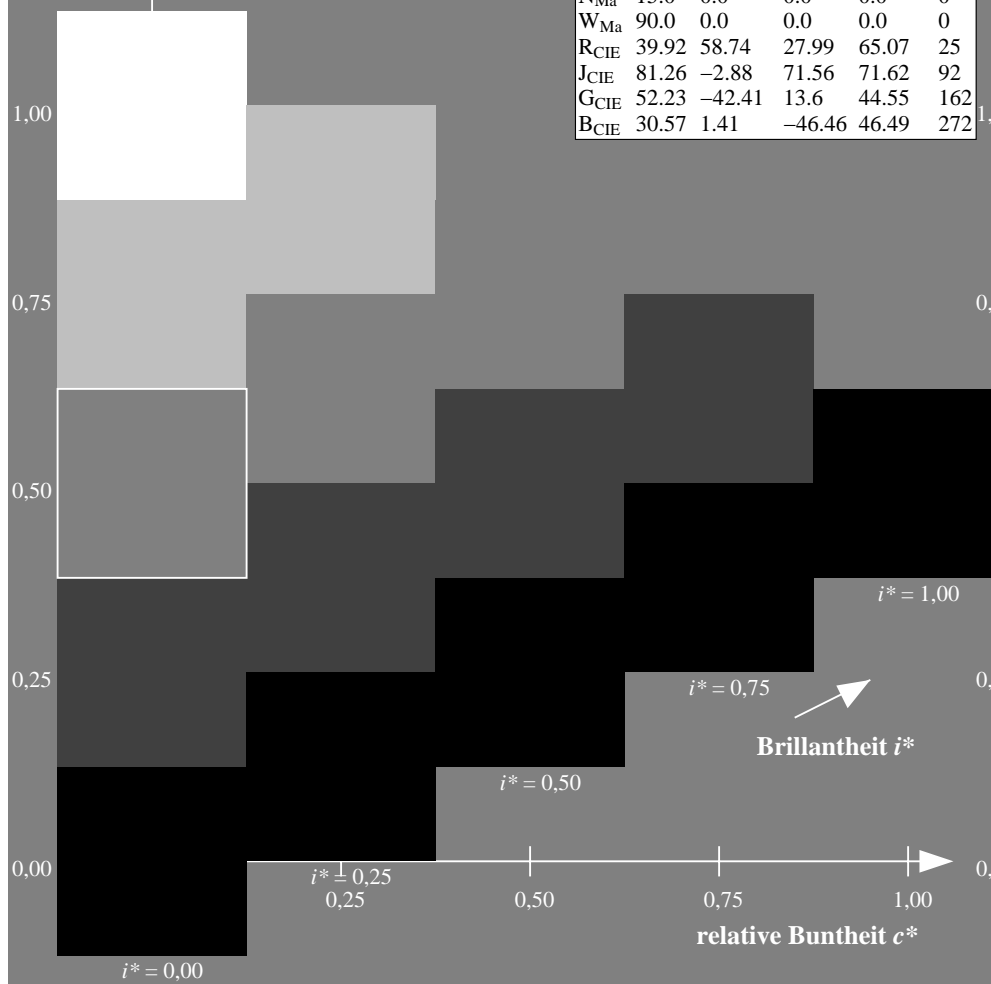
%Regularität

$g^*_{H,rel} = 31$

$g^*_{C,rel} = 40$

FRS15\_90a; adaptierte CIELAB-Daten

	$L^*=L^*_a$	$a^*_a$	$b^*_a$	$C^*_{ab,a}$	$h^*_{ab,a}$
r00j	35.47	56.92	27.12	63.05	25
r25j	39.12	49.04	44.45	66.19	42
r50j	50.64	35.19	58.33	68.13	59
r75j	64.01	19.11	74.45	76.87	76
j00g	83.18	-3.93	97.56	97.64	92
j25g	66.73	-26.86	74.66	79.35	110
j50g	54.03	-43.42	57.07	71.71	127
j75g	44.73	-54.21	38.33	66.4	145
g00b	47.59	-44.11	14.14	46.33	162
g25b	49.97	-35.68	-6.03	36.19	190
g50b	51.85	-29.05	-21.88	36.38	217
g75b	46.92	-15.53	-32.37	35.92	244
b00r	37.91	1.15	-38.05	38.08	272
b25r	23.81	27.31	-46.96	54.33	300
b50r	29.52	62.07	-37.87	72.72	329
b75r	36.48	64.24	-3.31	64.33	357



Ein und Ausgabe: Farbmetrisches Drucker-Reflektiv-System FRS15\_90a für relativen CIELAB-Buntton  $h^* = lab^*h^* = h_{ab}/360 = 272/360 = 0.755$

Daten für jede Farbe:

$lab^*tch^*$  und  $lab^*icu^*$

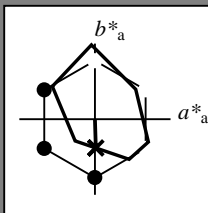
Elementar-Bunttoncontext:

$u^* = b00r$

Kontrastreduzierungsfaktor:

$c_R = 0.9$

Dreiecks-Helligkeit  $i^*$



FRS15\_90a; adaptierte CIELAB-Daten

	$L^*=L_a^*$	$a_a^*$	$b_a^*$	$C_{ab,a}^*$	$h_{ab,a}^*$
O <sub>Ma</sub>	35.06	53.93	39.55	66.88	36
Y <sub>Ma</sub>	83.77	-4.63	98.26	98.37	93
L <sub>Ma</sub>	44.13	-56.32	43.36	71.09	142
C <sub>Ma</sub>	52.66	-26.18	-28.74	38.89	228
V <sub>Ma</sub>	14.15	45.22	-53.06	69.72	310
M <sub>Ma</sub>	37.37	70.69	-30.1	76.83	337
N <sub>Ma</sub>	15.0	0.0	0.0	0.0	0
W <sub>Ma</sub>	90.0	0.0	0.0	0.0	0
R <sub>CIE</sub>	39.92	58.74	27.99	65.07	25
J <sub>CIE</sub>	81.26	-2.88	71.56	71.62	92
G <sub>CIE</sub>	52.23	-42.41	13.6	44.55	162
B <sub>CIE</sub>	30.57	1.41	-46.46	46.49	272

Daten für Maximalfarbe (Ma):

$LAB^*LAB^*Ma$ : 38 1 -37

$LAB^*LCH^*Ma$ : 38 38 272

$lab^*rgb^*Ma$ : 0.0 0.0 1.0

$lab^*olv^*Ma$ : 0.0 0.62 1.0

Dreiecks-Helligkeit  $i^*$

%Umfang

$u^*_{rel} = 88$

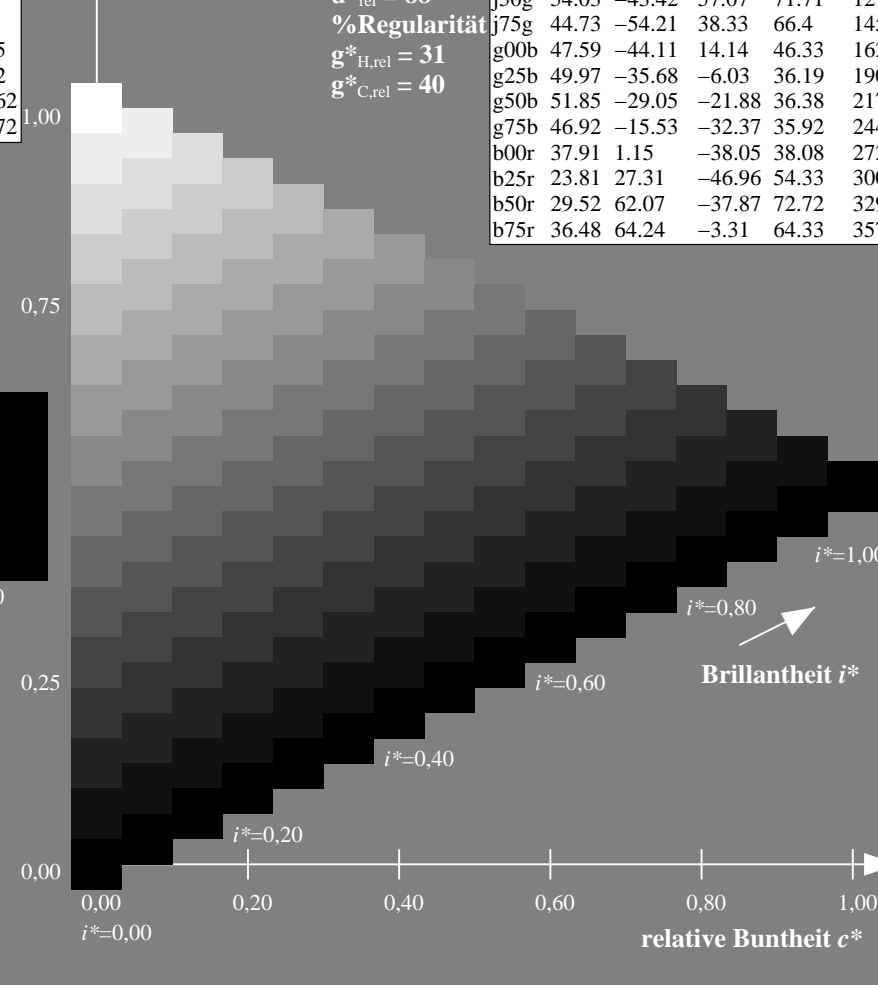
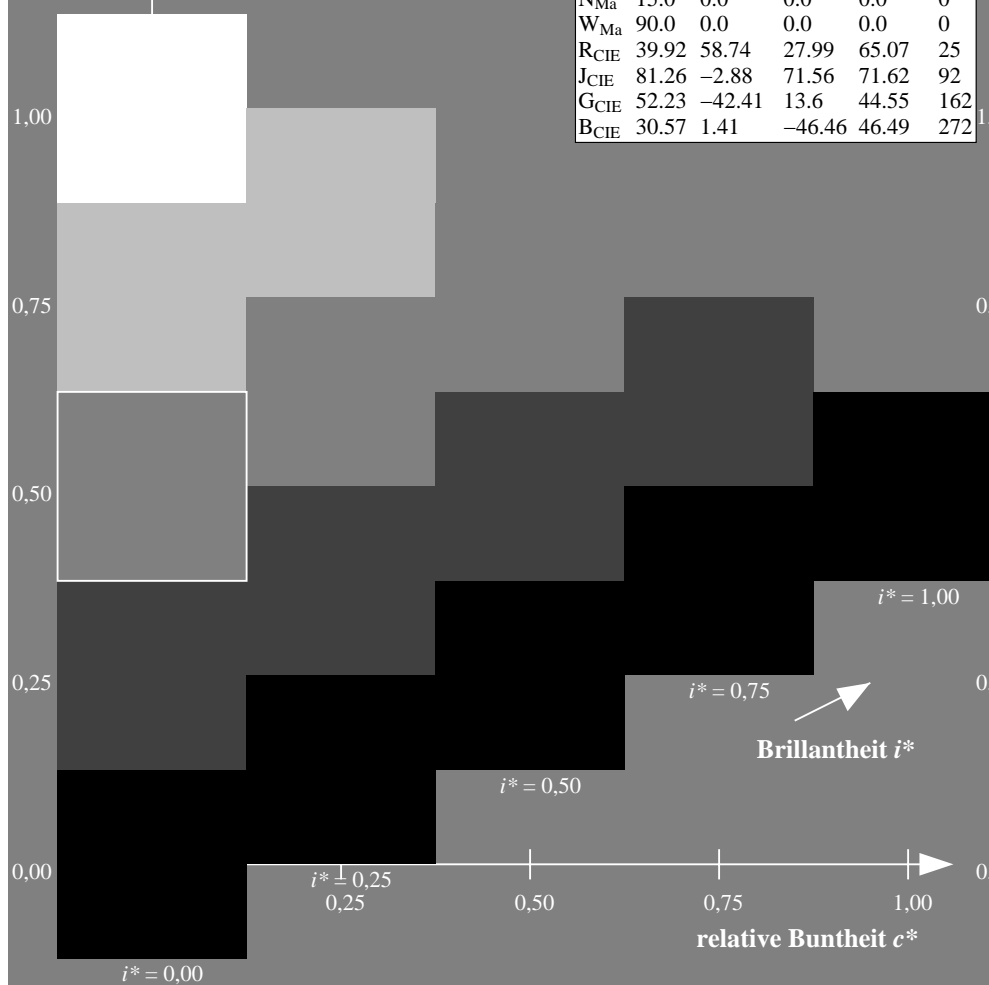
%Regularität

$g^*_{H,rel} = 31$

$g^*_{C,rel} = 40$

FRS15\_90a; adaptierte CIELAB-Daten

	$L^*=L_a^*$	$a_a^*$	$b_a^*$	$C_{ab,a}^*$	$h_{ab,a}^*$
r00j	35.47	56.92	27.12	63.05	25
r25j	39.12	49.04	44.45	66.19	42
r50j	50.64	35.19	58.33	68.13	59
r75j	64.01	19.11	74.45	76.87	76
j00g	83.18	-3.93	97.56	97.64	92
j25g	66.73	-26.86	74.66	79.35	110
j50g	54.03	-43.42	57.07	71.71	127
j75g	44.73	-54.21	38.33	66.4	145
g00b	47.59	-44.11	14.14	46.33	162
g25b	49.97	-35.68	-6.03	36.19	190
g50b	51.85	-29.05	-21.88	36.38	217
g75b	46.92	-15.53	-32.37	35.92	244
b00r	37.91	1.15	-38.05	38.08	272
b25r	23.81	27.31	-46.96	54.33	300
b50r	29.52	62.07	-37.87	72.72	329
b75r	36.48	64.24	-3.31	64.33	357





Ein und Ausgabe: Farbmetrisches Drucker-Reflektiv-System FRS15\_90a für relativen CIELAB-Buntton  $h^* = lab^*h^* = h_{ab}/360 = 300/360 = 0.834$

Daten für jede Farbe:

$lab^*tch^*$  und  $lab^*icu^*$

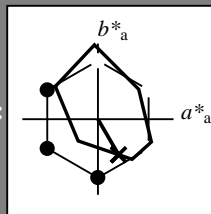
Elementar-Bunttoncontext:

$u^* = b25r$

Kontrastreduzierungsfaktor:

$c_R = 0.9$

Dreiecks-Helligkeit  $t^*$



FRS15\_90a; adaptierte CIELAB-Daten

	$L^*=L^*_a$	$a^*_a$	$b^*_a$	$C^*_{ab,a}$	$h^*_{ab,a}$
O <sub>Ma</sub>	35.06	53.93	39.55	66.88	36
Y <sub>Ma</sub>	83.77	-4.63	98.26	98.37	93
L <sub>Ma</sub>	44.13	-56.32	43.36	71.09	142
C <sub>Ma</sub>	52.66	-26.18	-28.74	38.89	228
V <sub>Ma</sub>	14.15	45.22	-53.06	69.72	310
M <sub>Ma</sub>	37.37	70.69	-30.1	76.83	337
N <sub>Ma</sub>	15.0	0.0	0.0	0.0	0
W <sub>Ma</sub>	90.0	0.0	0.0	0.0	0
R <sub>CIE</sub>	39.92	58.74	27.99	65.07	25
J <sub>CIE</sub>	81.26	-2.88	71.56	71.62	92
G <sub>CIE</sub>	52.23	-42.41	13.6	44.55	162
B <sub>CIE</sub>	30.57	1.41	-46.46	46.49	272

Daten für Maximalfarbe (Ma):

$LAB^*LAB^*_{Ma}$ : 24 27 -46

$LAB^*LCH^*_{Ma}$ : 24 54 300

$lab^*rgb^*_{Ma}$ : 0.5 0.0 1.0

$lab^*olv^*_{Ma}$ : 0.0 0.25 1.0

Dreiecks-Helligkeit  $t^*$

%Umfang

$u^*_{rel} = 88$

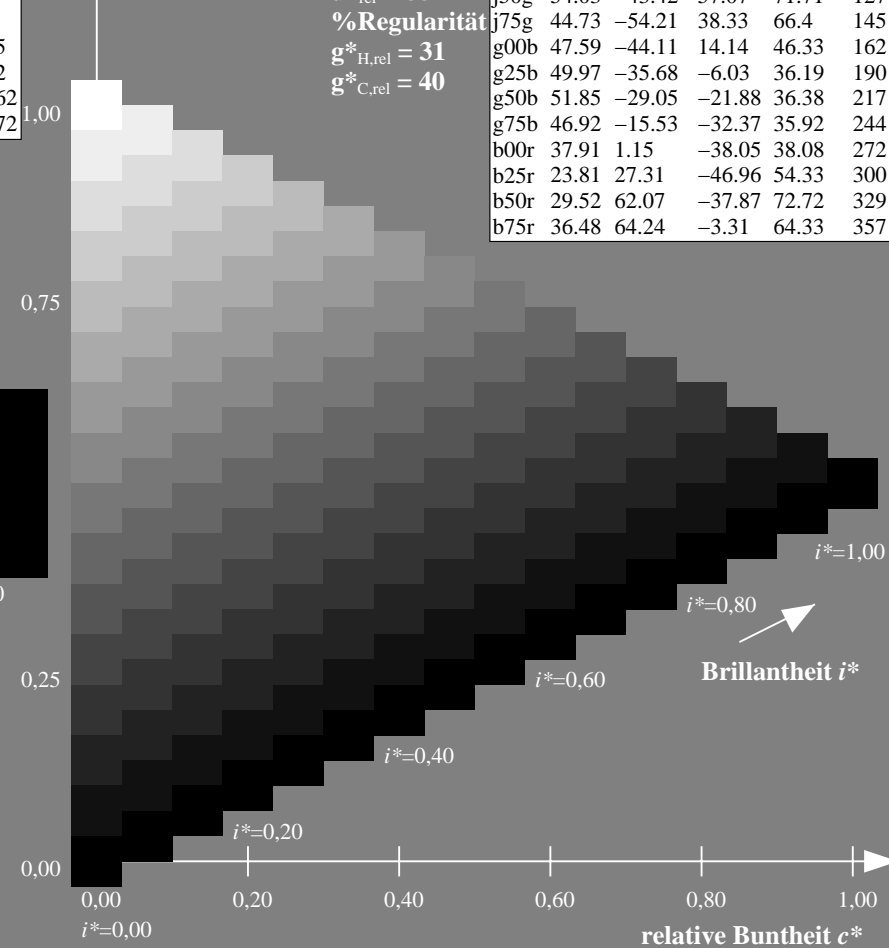
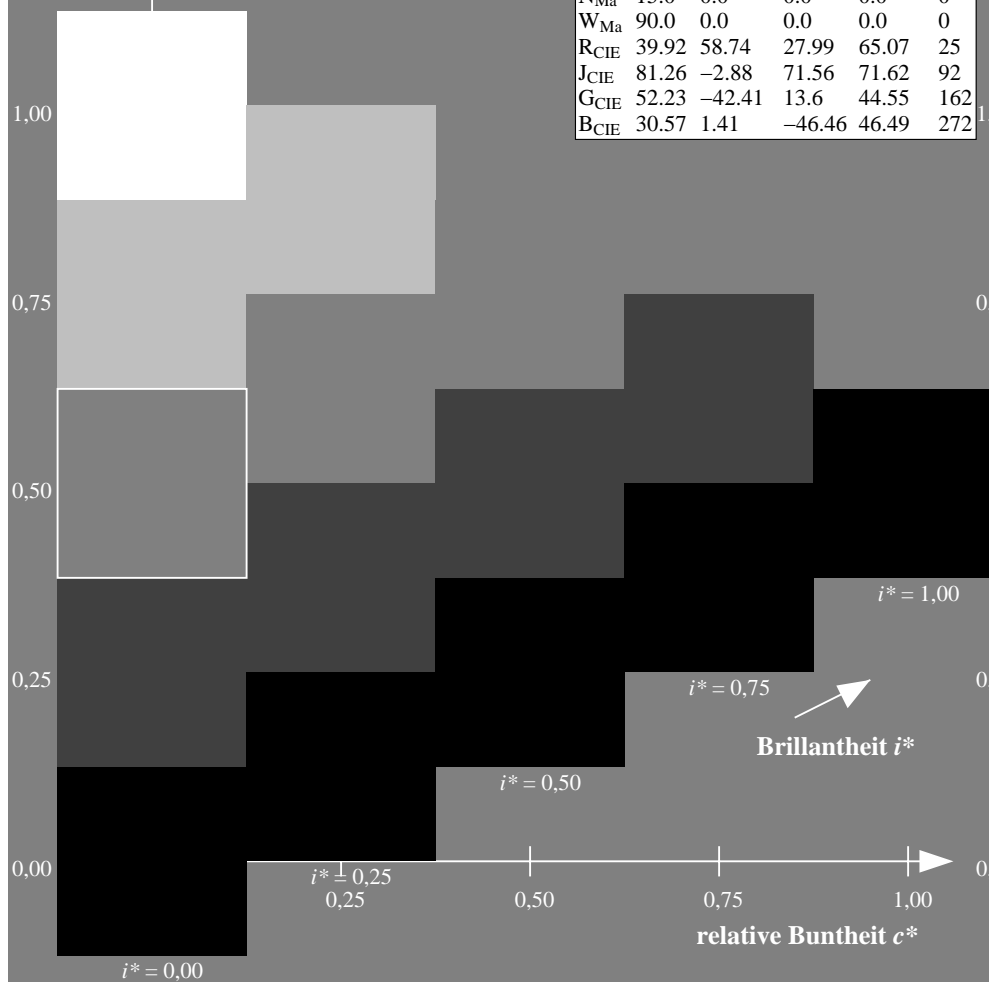
%Regularität

$g^*_{H,rel} = 31$

$g^*_{C,rel} = 40$

FRS15\_90a; adaptierte CIELAB-Daten

	$L^*=L^*_a$	$a^*_a$	$b^*_a$	$C^*_{ab,a}$	$h^*_{ab,a}$
r00j	35.47	56.92	27.12	63.05	25
r25j	39.12	49.04	44.45	66.19	42
r50j	50.64	35.19	58.33	68.13	59
r75j	64.01	19.11	74.45	76.87	76
j00g	83.18	-3.93	97.56	97.64	92
j25g	66.73	-26.86	74.66	79.35	110
j50g	54.03	-43.42	57.07	71.71	127
j75g	44.73	-54.21	38.33	66.4	145
g00b	47.59	-44.11	14.14	46.33	162
g25b	49.97	-35.68	-6.03	36.19	190
g50b	51.85	-29.05	-21.88	36.38	217
g75b	46.92	-15.53	-32.37	35.92	244
b00r	37.91	1.15	-38.05	38.08	272
b25r	23.81	27.31	-46.96	54.33	300
b50r	29.52	62.07	-37.87	72.72	329
b75r	36.48	64.24	-3.31	64.33	357



Ein und Ausgabe: Farbmetrisches Drucker-Reflektiv-System FRS15\_90a für relativen CIELAB-Buntton  $h^* = lab^*h^* = h_{ab}/360 = 329/360 = 0.913$

Daten für jede Farbe:

$lab^*tch^*$  und  $lab^*icu^*$

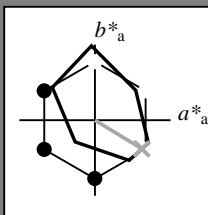
Elementar-Bunttontext:

$u^* = b50r$

Kontrastreduzierungsfaktor:

$c_R = 0.9$

Dreiecks-Helligkeit  $t^*$



FRS15\_90a; adaptierte CIELAB-Daten

	$L^*=L_a^*$	$a_a^*$	$b_a^*$	$C_{ab,a}^*$	$h_{ab,a}^*$
O <sub>Ma</sub>	35.06	53.93	39.55	66.88	36
Y <sub>Ma</sub>	83.77	-4.63	98.26	98.37	93
L <sub>Ma</sub>	44.13	-56.32	43.36	71.09	142
C <sub>Ma</sub>	52.66	-26.18	-28.74	38.89	228
V <sub>Ma</sub>	14.15	45.22	-53.06	69.72	310
M <sub>Ma</sub>	37.37	70.69	-30.1	76.83	337
N <sub>Ma</sub>	15.0	0.0	0.0	0.0	0
W <sub>Ma</sub>	90.0	0.0	0.0	0.0	0
R <sub>CIE</sub>	39.92	58.74	27.99	65.07	25
J <sub>CIE</sub>	81.26	-2.88	71.56	71.62	92
G <sub>CIE</sub>	52.23	-42.41	13.6	44.55	162
B <sub>CIE</sub>	30.57	1.41	-46.46	46.49	272

Daten für Maximalfarbe (Ma):

$LAB^*LAB^*_{Ma}$ : 30 62 -37

$LAB^*LCH^*_{Ma}$ : 30 73 329

$lab^*rgb^*_{Ma}$ : 1.0 0.0 1.0

$lab^*olv^*_{Ma}$ : 0.66 0.0 1.0

Dreiecks-Helligkeit  $t^*$

%Umfang

$u^*_{rel} = 88$

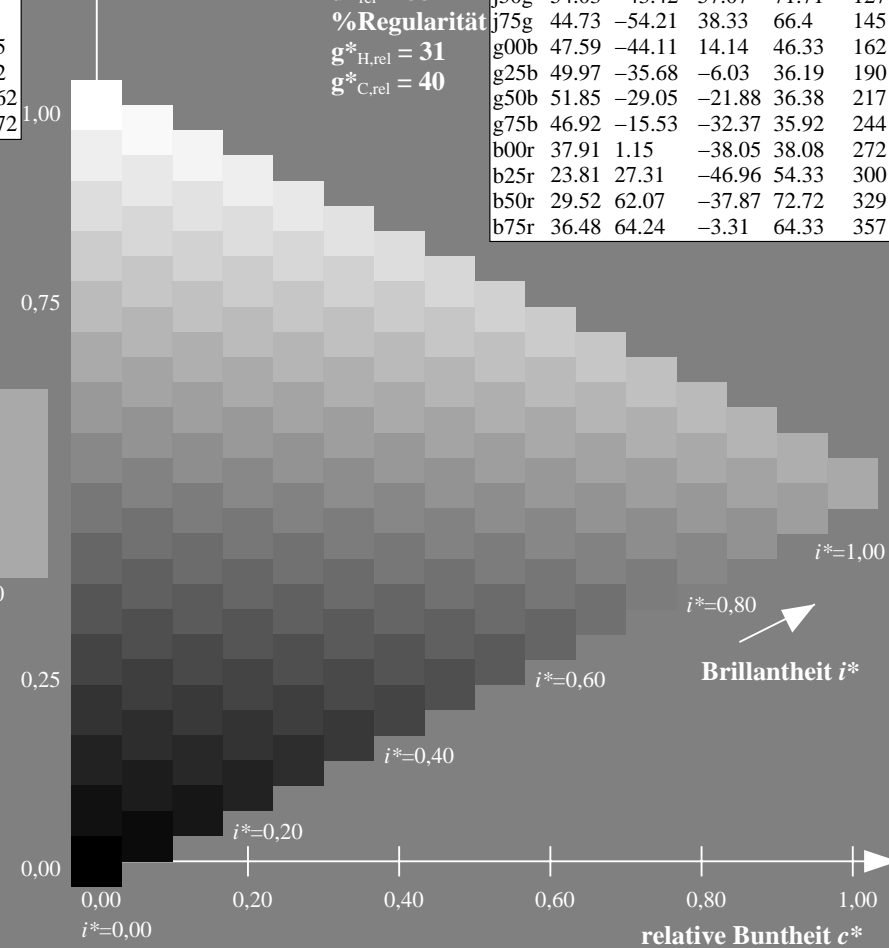
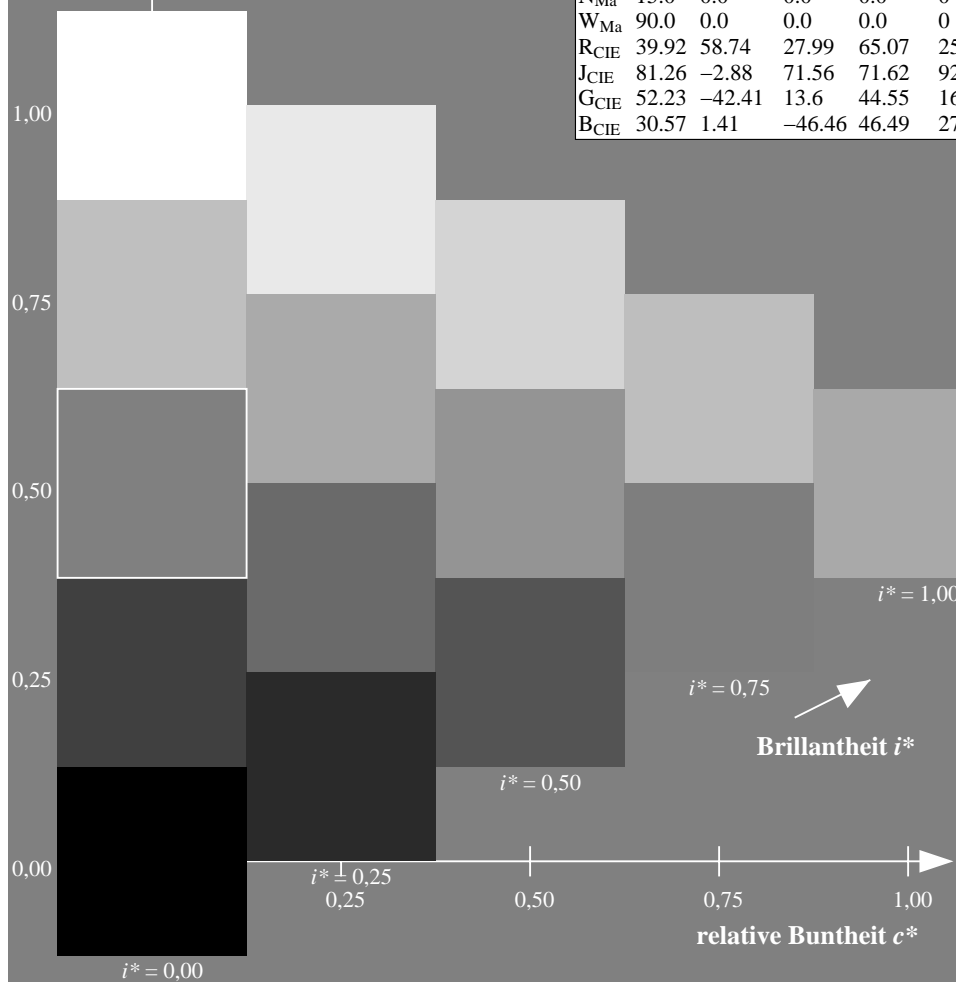
%Regularität

$g^*_{H,rel} = 31$

$g^*_{C,rel} = 40$

FRS15\_90a; adaptierte CIELAB-Daten

	$L^*=L_a^*$	$a_a^*$	$b_a^*$	$C_{ab,a}^*$	$h_{ab,a}^*$
r00j	35.47	56.92	27.12	63.05	25
r25j	39.12	49.04	44.45	66.19	42
r50j	50.64	35.19	58.33	68.13	59
r75j	64.01	19.11	74.45	76.87	76
j00g	83.18	-3.93	97.56	97.64	92
j25g	66.73	-26.86	74.66	79.35	110
j50g	54.03	-43.42	57.07	71.71	127
j75g	44.73	-54.21	38.33	66.4	145
g00b	47.59	-44.11	14.14	46.33	162
g25b	49.97	-35.68	-6.03	36.19	190
g50b	51.85	-29.05	-21.88	36.38	217
g75b	46.92	-15.53	-32.37	35.92	244
b00r	37.91	1.15	-38.05	38.08	272
b25r	23.81	27.31	-46.96	54.33	300
b50r	29.52	62.07	-37.87	72.72	329
b75r	36.48	64.24	-3.31	64.33	357



Ein und Ausgabe: Farbmetrisches Drucker-Reflektiv-System FRS15\_90a für relativen CIELAB-Buntton  $h^* = lab^*h^* = h_{ab}/360 = 357/360 = 0.992$

Daten für jede Farbe:

$lab^*ch^*$  und  $lab^*icu^*$

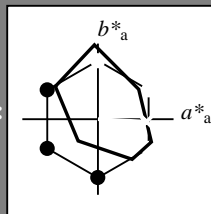
Elementar-Bunttontext:

$u^* = b75r$

Kontrastreduzierungsfaktor:

$c_R = 0.9$

Dreiecks-Helligkeit  $i^*$



FRS15\_90a; adaptierte CIELAB-Daten

	$L^*=L_a^*$	$a_a^*$	$b_a^*$	$C_{ab,a}^*$	$h_{ab,a}^*$
O <sub>Ma</sub>	35.06	53.93	39.55	66.88	36
Y <sub>Ma</sub>	83.77	-4.63	98.26	98.37	93
L <sub>Ma</sub>	44.13	-56.32	43.36	71.09	142
C <sub>Ma</sub>	52.66	-26.18	-28.74	38.89	228
V <sub>Ma</sub>	14.15	45.22	-53.06	69.72	310
M <sub>Ma</sub>	37.37	70.69	-30.1	76.83	337
N <sub>Ma</sub>	15.0	0.0	0.0	0.0	0
W <sub>Ma</sub>	90.0	0.0	0.0	0.0	0
R <sub>CIE</sub>	39.92	58.74	27.99	65.07	25
J <sub>CIE</sub>	81.26	-2.88	71.56	71.62	92
G <sub>CIE</sub>	52.23	-42.41	13.6	44.55	162
B <sub>CIE</sub>	30.57	1.41	-46.46	46.49	272

Daten für Maximalfarbe (Ma):

$LAB^*LAB^*Ma$ : 36 64 -2

$LAB^*LCH^*Ma$ : 36 64 357

$lab^*rgb^*Ma$ : 1.0 0.0 0.5

$lab^*olv^*Ma$ : 1.0 0.0 0.62

Dreiecks-Helligkeit  $i^*$

%Umfang

$u^*_{rel} = 88$

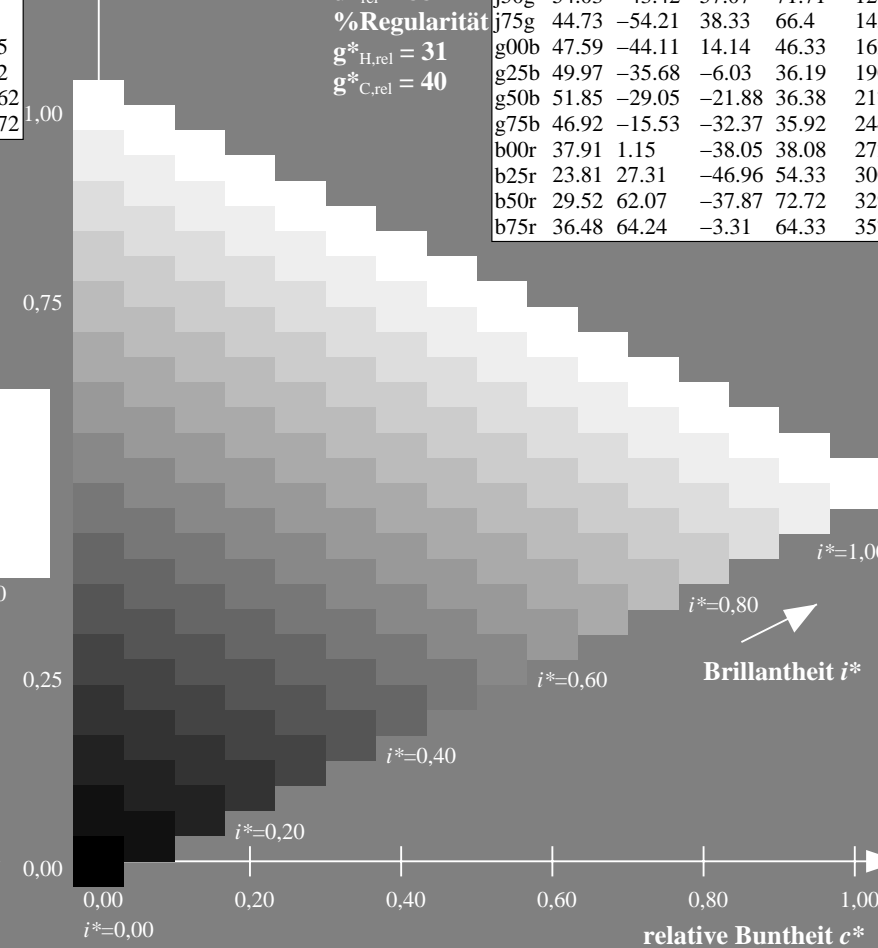
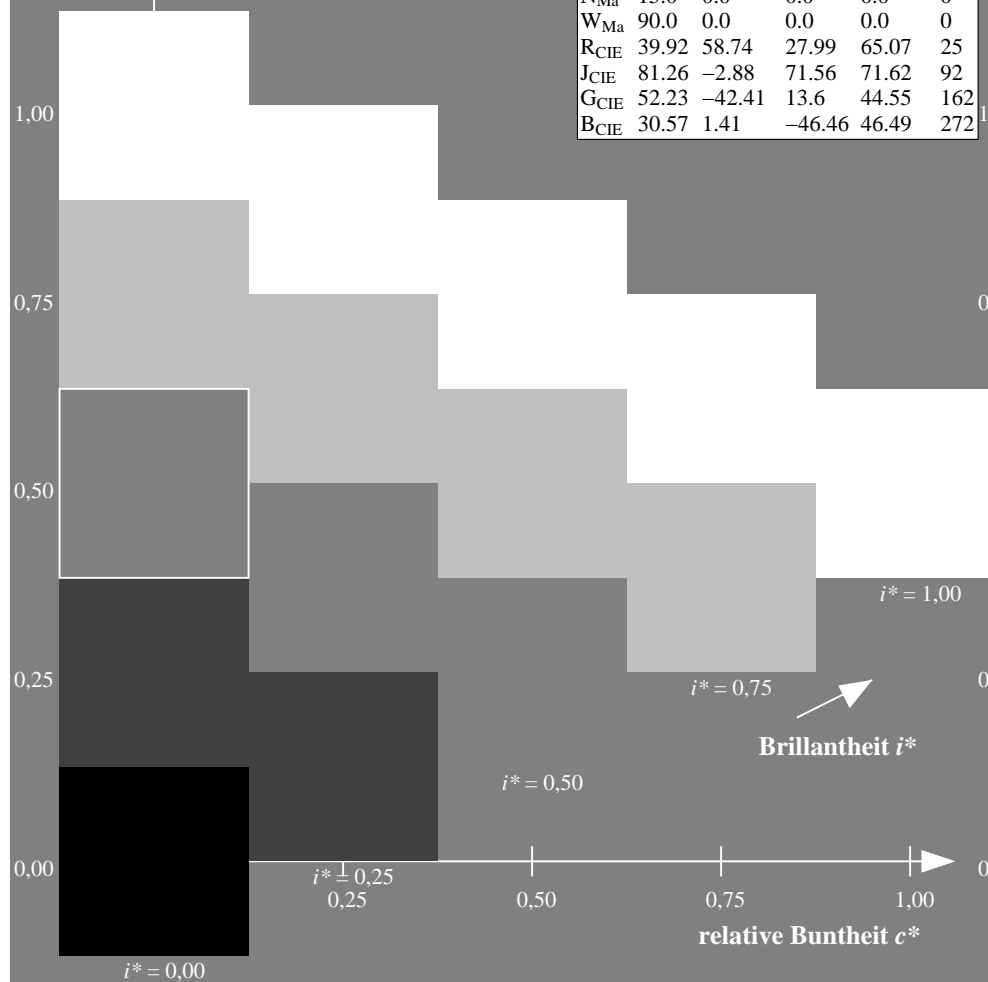
%Regularität

$g^*_{H,rel} = 31$

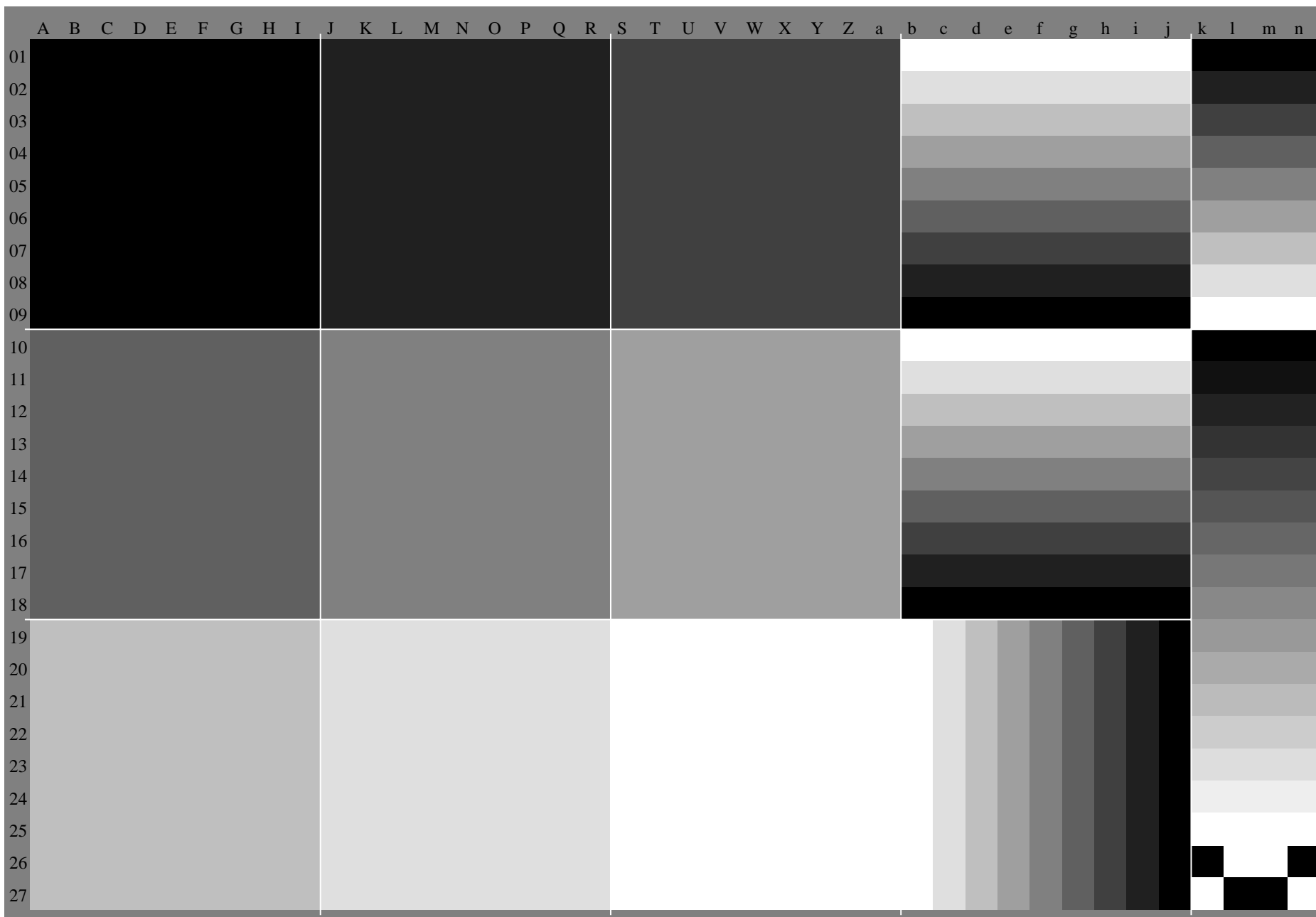
$g^*_{C,rel} = 40$

FRS15\_90a; adaptierte CIELAB-Daten

	$L^*=L_a^*$	$a_a^*$	$b_a^*$	$C_{ab,a}^*$	$h_{ab,a}^*$
r00j	35.47	56.92	27.12	63.05	25
r25j	39.12	49.04	44.45	66.19	42
r50j	50.64	35.19	58.33	68.13	59
r75j	64.01	19.11	74.45	76.87	76
j00g	83.18	-3.93	97.56	97.64	92
j25g	66.73	-26.86	74.66	79.35	110
j50g	54.03	-43.42	57.07	71.71	127
j75g	44.73	-54.21	38.33	66.4	145
g00b	47.59	-44.11	14.14	46.33	162
g25b	49.97	-35.68	-6.03	36.19	190
g50b	51.85	-29.05	-21.88	36.38	217
g75b	46.92	-15.53	-32.37	35.92	244
b00r	37.91	1.15	-38.05	38.08	272
b25r	23.81	27.31	-46.96	54.33	300
b50r	29.52	62.07	-37.87	72.72	329
b75r	36.48	64.24	-3.31	64.33	357



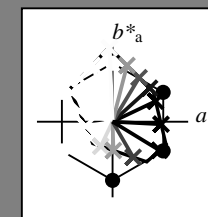
BAM-Registrierung: 20080701-Dg71/10L/L71G00NP.PS/.PDF BAM-Material: Code=rh4ta  
Anwendung für Beurteilung und Messung von Drucker- oder Monitorsystemen



Siehe ähnliche Dateien: <http://www.ps.bam.de/Dg71/>; [www.ps.bam.de/Dg71/10L/L71G00NP.PS/.PDF](http://www.ps.bam.de/Dg71/10L/L71G00NP.PS/.PDF)  
Technische Information: [http://www.ps.bam.de/Version 2.1, io=1,1, ColSpx=0](http://www.ps.bam.de/Version2.1,io=1,1,ColSpx=0)

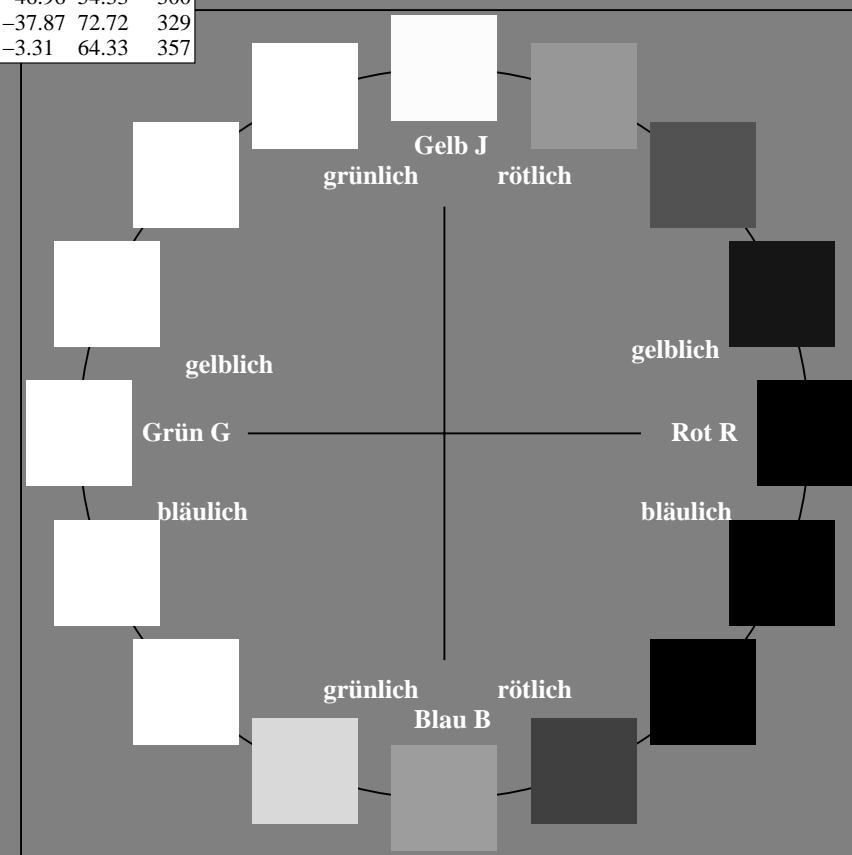
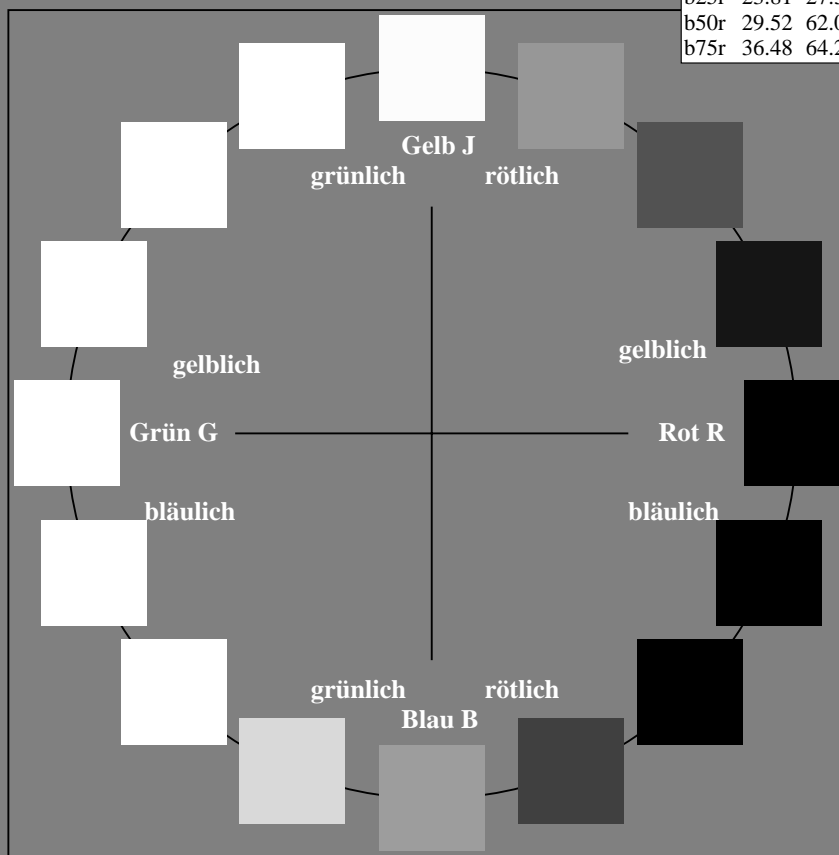
Ein und Ausgabe:  
Farbmetrisches Drucker-Reflektiv-System FRS15\_90a  
Daten für jede Farbe:  
*lab\*<sub>ich</sub>*\* und *lab\*<sub>icu</sub>*\*  
Elementar-Bunttontext:  
*u\** = 16 Buntttöne *r00j*, *r25j*, ..., *b75r*  
Kontrastreduzierungsfaktor:  
*c<sub>R</sub>* = 0.9

FRS15_90a; adaptierte CIELAB-Daten					
	<i>L*</i> = <i>L*</i> <sub>a</sub>	<i>a*</i> <sub>a</sub>	<i>b*</i> <sub>a</sub>	<i>C*</i> <sub>ab,a</sub>	<i>h*</i> <sub>ab,a</sub>
r00j	35.47	56.92	27.12	63.05	25
r25j	39.12	49.04	44.45	66.19	42
r50j	50.64	35.19	58.33	68.13	59
r75j	64.01	19.11	74.45	76.87	76
j00g	83.18	-3.93	97.56	97.64	92
j25g	66.73	-26.86	74.66	79.35	110
j50g	54.03	-43.42	57.07	71.71	127
j75g	44.73	-54.21	38.33	66.4	145
g00b	47.59	-44.11	14.14	46.33	162
g25b	49.97	-35.68	-6.03	36.19	190
g50b	51.85	-29.05	-21.88	36.38	217
g75b	46.92	-15.53	-32.37	35.92	244
b00r	37.91	1.15	-38.05	38.08	272
b25r	23.81	27.31	-46.96	54.33	300
b50r	29.52	62.07	-37.87	72.72	329
b75r	36.48	64.24	-3.31	64.33	357



%Umfang  
*u\**<sub>rel</sub> = 88  
%Regularität  
*g\**<sub>H,rel</sub> = 31  
*g\**<sub>C,rel</sub> = 40

FRS15_90a; adaptierte CIELAB-Daten					
	<i>L*</i> = <i>L*</i> <sub>a</sub>	<i>a*</i> <sub>a</sub>	<i>b*</i> <sub>a</sub>	<i>C*</i> <sub>ab,a</sub>	<i>h*</i> <sub>ab,a</sub>
O <sub>Ma</sub>	35.06	53.93	39.55	66.88	36
Y <sub>Ma</sub>	83.77	-4.63	98.26	98.37	93
L <sub>Ma</sub>	44.13	-56.32	43.36	71.09	142
C <sub>Ma</sub>	52.66	-26.18	-28.74	38.89	228
V <sub>Ma</sub>	14.15	45.22	-53.06	69.72	310
M <sub>Ma</sub>	37.37	70.69	-30.1	76.83	337
N <sub>Ma</sub>	15.0	0.0	0.0	0.0	0
W <sub>Ma</sub>	90.0	0.0	0.0	0.0	0
R <sub>CIE</sub>	39.92	58.74	27.99	65.07	25
J <sub>CIE</sub>	81.26	-2.88	71.56	71.62	92
G <sub>CIE</sub>	52.23	-42.41	13.6	44.55	162
B <sub>CIE</sub>	30.57	1.41	-46.46	46.49	272



Ein und Ausgabe: Farbmetrisches Drucker-Reflektiv-System FRS15\_90a für relativen CIELAB-Buntton  $h^* = lab^*h^* = h_{ab}/360 = 25/360 = 0.071$

Daten für jede Farbe:

$lab^*ch^*$  und  $lab^*icu^*$

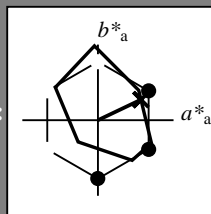
Elementar-Bunttoncontext:

$u^* = r00j$

Kontrastreduzierungsfaktor:

$c_R = 0.9$

Dreiecks-Helligkeit  $i^*$



FRS15\_90a; adaptierte CIELAB-Daten

	$L^*=L^*_a$	$a^*_a$	$b^*_a$	$C^*_{ab,a}$	$h^*_{ab,a}$
O <sub>Ma</sub>	35.06	53.93	39.55	66.88	36
Y <sub>Ma</sub>	83.77	-4.63	98.26	98.37	93
L <sub>Ma</sub>	44.13	-56.32	43.36	71.09	142
C <sub>Ma</sub>	52.66	-26.18	-28.74	38.89	228
V <sub>Ma</sub>	14.15	45.22	-53.06	69.72	310
M <sub>Ma</sub>	37.37	70.69	-30.1	76.83	337
N <sub>Ma</sub>	15.0	0.0	0.0	0.0	0
W <sub>Ma</sub>	90.0	0.0	0.0	0.0	0
R <sub>CIE</sub>	39.92	58.74	27.99	65.07	25
J <sub>CIE</sub>	81.26	-2.88	71.56	71.62	92
G <sub>CIE</sub>	52.23	-42.41	13.6	44.55	162
B <sub>CIE</sub>	30.57	1.41	-46.46	46.49	272

Daten für Maximalfarbe (Ma):

$LAB^*LAB^*Ma$ : 35 57 27

$LAB^*LCH^*Ma$ : 35 63 25

$lab^*rgb^*Ma$ : 1.0 0.0 0.0

$lab^*olv^*Ma$ : 1.0 0.0 0.18

Dreiecks-Helligkeit  $i^*$

%Umfang

$u^*_{rel} = 88$

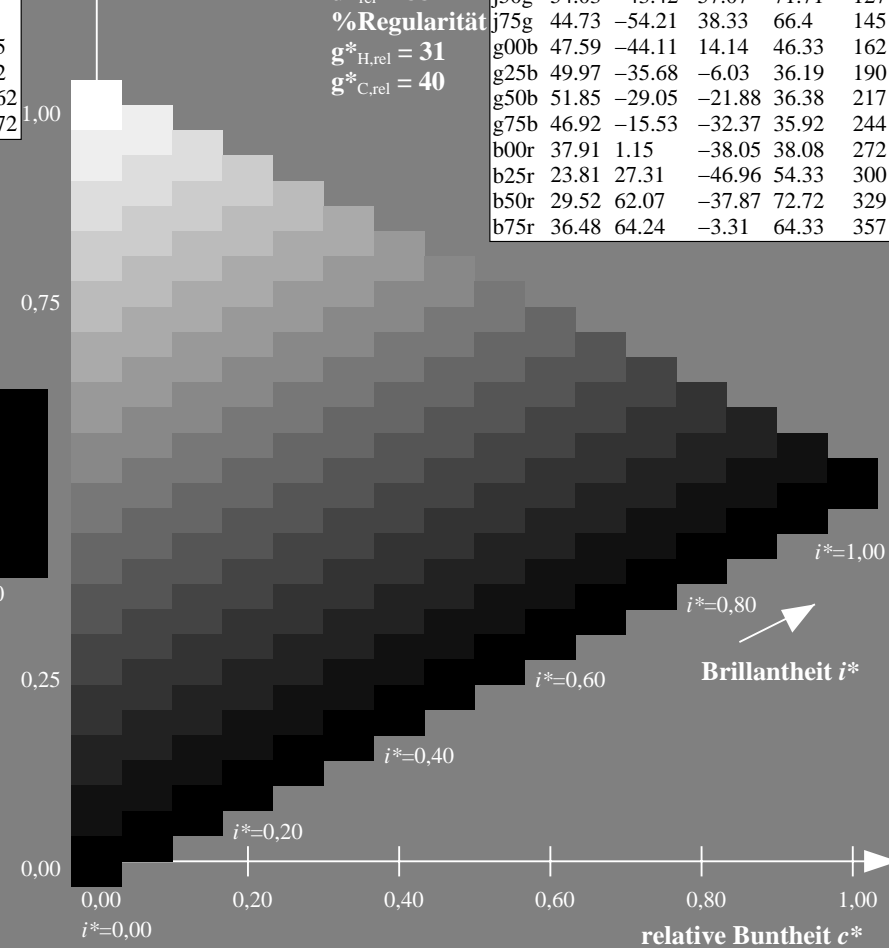
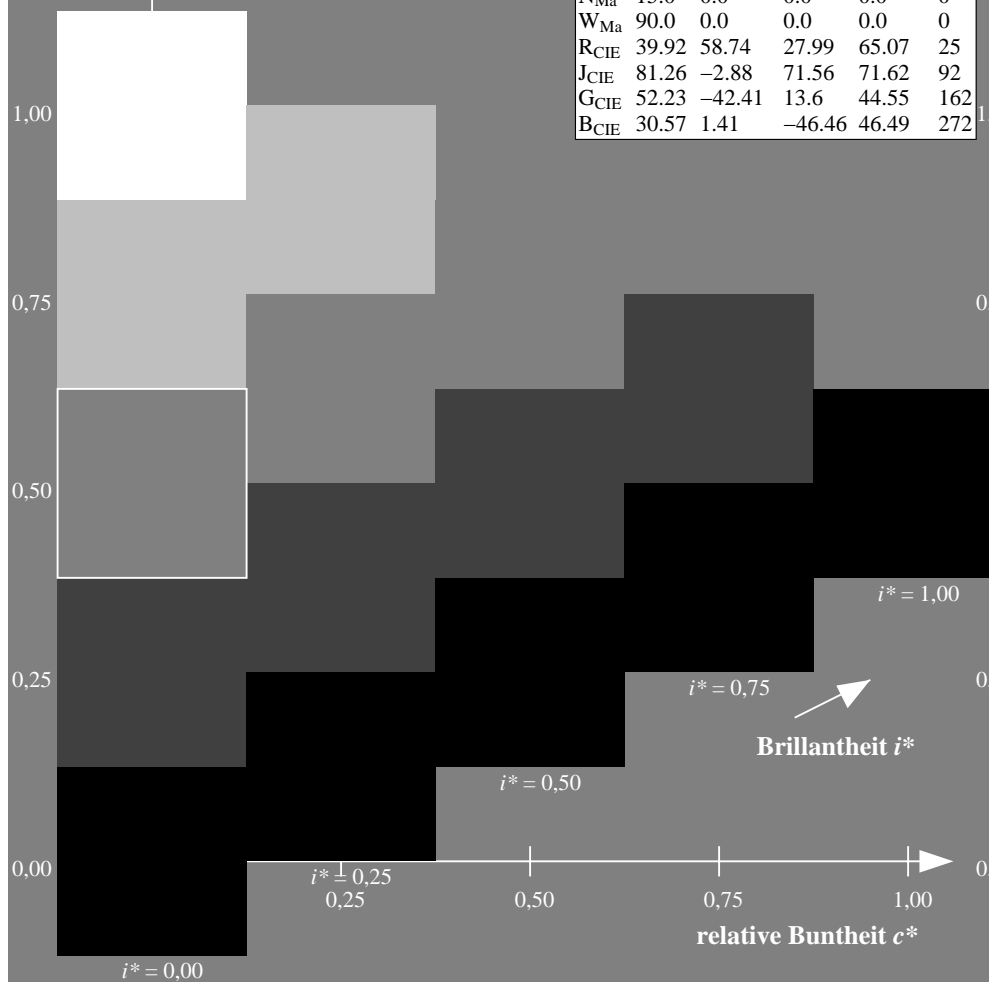
%Regularität

$g^*_{H,rel} = 31$

$g^*_{C,rel} = 40$

FRS15\_90a; adaptierte CIELAB-Daten

	$L^*=L^*_a$	$a^*_a$	$b^*_a$	$C^*_{ab,a}$	$h^*_{ab,a}$
r00j	35.47	56.92	27.12	63.05	25
r25j	39.12	49.04	44.45	66.19	42
r50j	50.64	35.19	58.33	68.13	59
r75j	64.01	19.11	74.45	76.87	76
j00g	83.18	-3.93	97.56	97.64	92
j25g	66.73	-26.86	74.66	79.35	110
j50g	54.03	-43.42	57.07	71.71	127
j75g	44.73	-54.21	38.33	66.4	145
g00b	47.59	-44.11	14.14	46.33	162
g25b	49.97	-35.68	-6.03	36.19	190
g50b	51.85	-29.05	-21.88	36.38	217
g75b	46.92	-15.53	-32.37	35.92	244
b00r	37.91	1.15	-38.05	38.08	272
b25r	23.81	27.31	-46.96	54.33	300
b50r	29.52	62.07	-37.87	72.72	329
b75r	36.48	64.24	-3.31	64.33	357





Ein und Ausgabe: Farbmetrisches Drucker-Reflektiv-System FRS15\_90a für relativen CIELAB-Buntton  $h^* = lab^*h^* = h_{ab}/360 = 42/360 = 0.117$

Daten für jede Farbe:

$lab^*ch^*$  und  $lab^*icu^*$

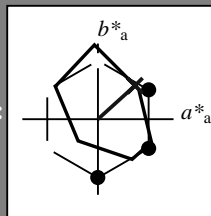
Elementar-Bunttontext:

$u^* = r25j$

Kontrastreduzierungsfaktor:

$c_R = 0.9$

Dreiecks-Helligkeit  $i^*$



FRS15\_90a; adaptierte CIELAB-Daten

	$L^*=L_a^*$	$a_a^*$	$b_a^*$	$C_{ab,a}^*$	$h_{ab,a}^*$
O <sub>Ma</sub>	35.06	53.93	39.55	66.88	36
Y <sub>Ma</sub>	83.77	-4.63	98.26	98.37	93
L <sub>Ma</sub>	44.13	-56.32	43.36	71.09	142
C <sub>Ma</sub>	52.66	-26.18	-28.74	38.89	228
V <sub>Ma</sub>	14.15	45.22	-53.06	69.72	310
M <sub>Ma</sub>	37.37	70.69	-30.1	76.83	337
N <sub>Ma</sub>	15.0	0.0	0.0	0.0	0
W <sub>Ma</sub>	90.0	0.0	0.0	0.0	0
R <sub>CIE</sub>	39.92	58.74	27.99	65.07	25
J <sub>CIE</sub>	81.26	-2.88	71.56	71.62	92
G <sub>CIE</sub>	52.23	-42.41	13.6	44.55	162
B <sub>CIE</sub>	30.57	1.41	-46.46	46.49	272

Daten für Maximalfarbe (Ma):

$LAB^*LAB^*_{Ma}$ : 39 49 44

$LAB^*LCH^*_{Ma}$ : 39 66 42

$lab^*rgb^*_{Ma}$ : 1.0 0.25 0.0

$lab^*olv^*_{Ma}$ : 1.0 0.08 0.0

Dreiecks-Helligkeit  $i^*$

%Umfang

$u^*_{rel} = 88$

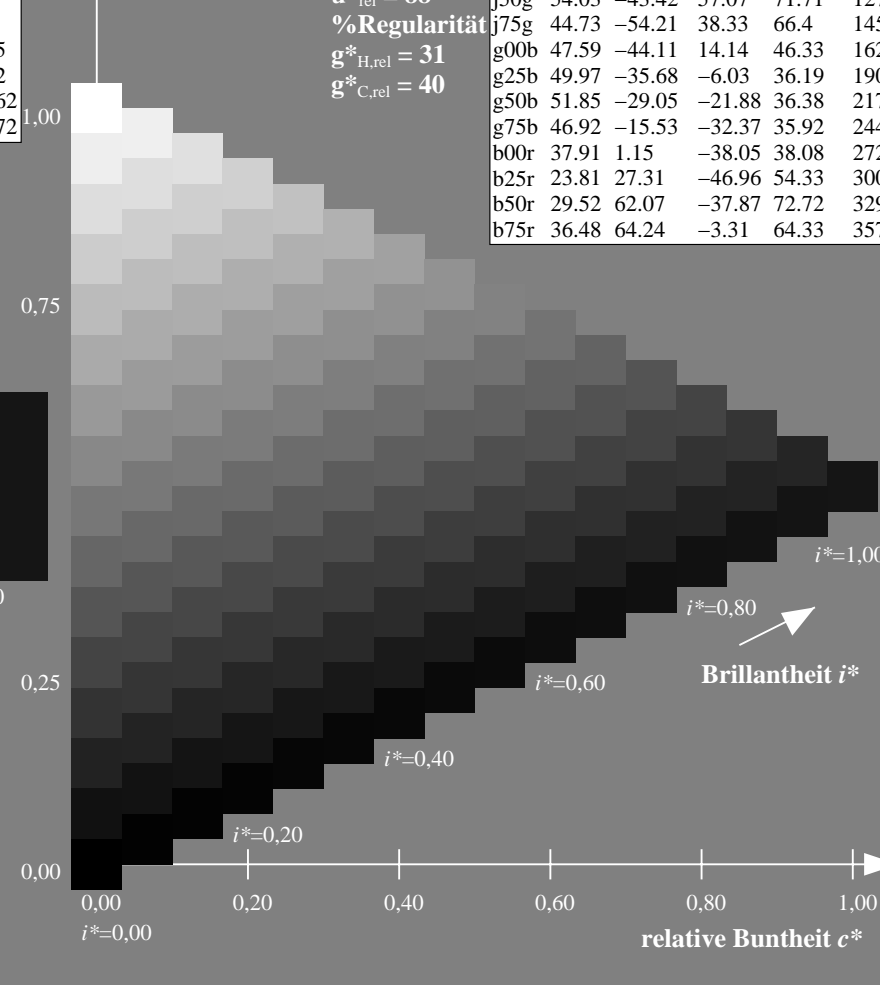
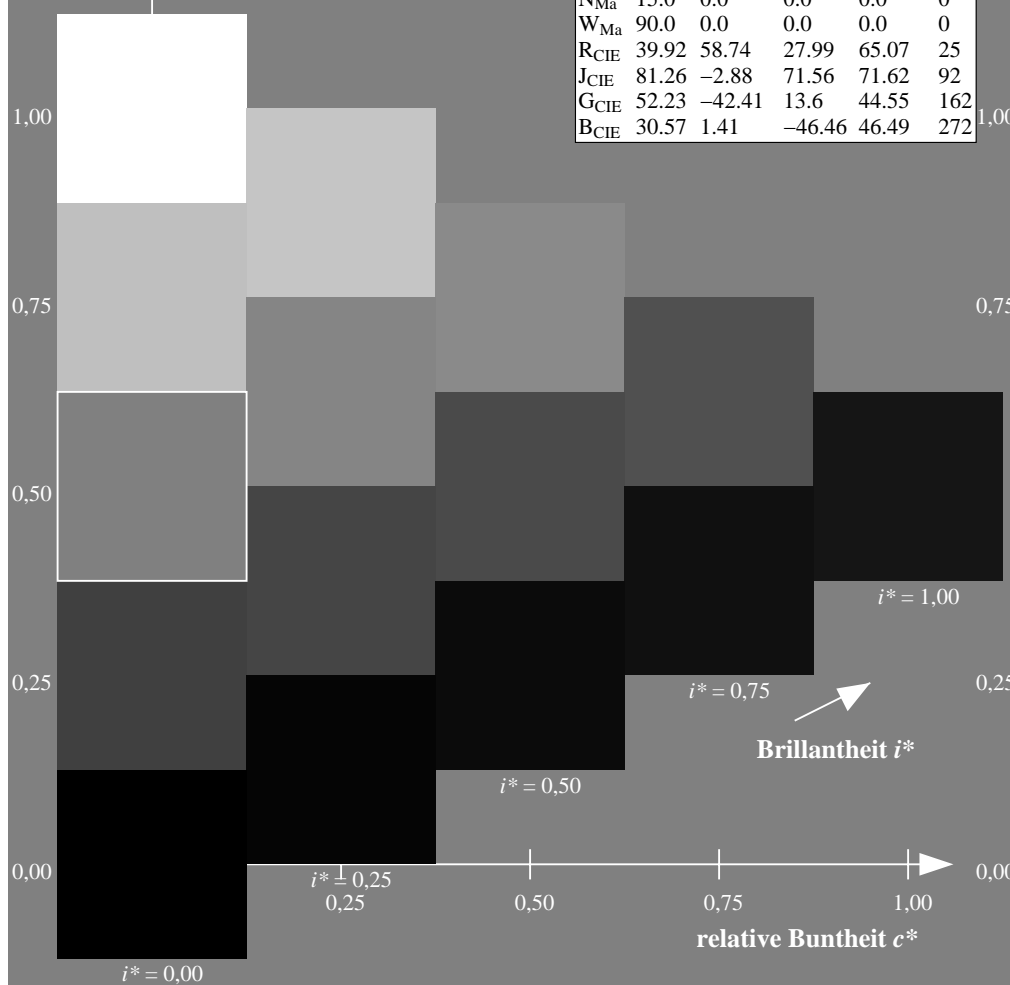
%Regularität

$g^*_{H,rel} = 31$

$g^*_{C,rel} = 40$

FRS15\_90a; adaptierte CIELAB-Daten

	$L^*=L_a^*$	$a_a^*$	$b_a^*$	$C_{ab,a}^*$	$h_{ab,a}^*$
r00j	35.47	56.92	27.12	63.05	25
r25j	39.12	49.04	44.45	66.19	42
r50j	50.64	35.19	58.33	68.13	59
r75j	64.01	19.11	74.45	76.87	76
j00g	83.18	-3.93	97.56	97.64	92
j25g	66.73	-26.86	74.66	79.35	110
j50g	54.03	-43.42	57.07	71.71	127
j75g	44.73	-54.21	38.33	66.4	145
g00b	47.59	-44.11	14.14	46.33	162
g25b	49.97	-35.68	-6.03	36.19	190
g50b	51.85	-29.05	-21.88	36.38	217
g75b	46.92	-15.53	-32.37	35.92	244
b00r	37.91	1.15	-38.05	38.08	272
b25r	23.81	27.31	-46.96	54.33	300
b50r	29.52	62.07	-37.87	72.72	329
b75r	36.48	64.24	-3.31	64.33	357



Ein und Ausgabe: Farbmetrisches Drucker-Reflektiv-System FRS15\_90a für relativen CIELAB-Buntton  $h^* = lab^*h^* = h_{ab}/360 = 59/360 = 0.164$

Daten für jede Farbe:

$lab^*ch^*$  und  $lab^*icu^*$

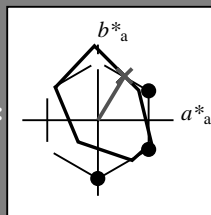
Elementar-Bunttontext:

$u^* = r50j$

Kontrastreduzierungsfaktor:

$c_R = 0.9$

Dreiecks-Helligkeit  $i^*$



FRS15\_90a; adaptierte CIELAB-Daten

	$L^*=L_a^*$	$a_a^*$	$b_a^*$	$C_{ab,a}^*$	$h_{ab,a}^*$
O <sub>Ma</sub>	35.06	53.93	39.55	66.88	36
Y <sub>Ma</sub>	83.77	-4.63	98.26	98.37	93
L <sub>Ma</sub>	44.13	-56.32	43.36	71.09	142
C <sub>Ma</sub>	52.66	-26.18	-28.74	38.89	228
V <sub>Ma</sub>	14.15	45.22	-53.06	69.72	310
M <sub>Ma</sub>	37.37	70.69	-30.1	76.83	337
N <sub>Ma</sub>	15.0	0.0	0.0	0.0	0
W <sub>Ma</sub>	90.0	0.0	0.0	0.0	0
R <sub>CIE</sub>	39.92	58.74	27.99	65.07	25
J <sub>CIE</sub>	81.26	-2.88	71.56	71.62	92
G <sub>CIE</sub>	52.23	-42.41	13.6	44.55	162
B <sub>CIE</sub>	30.57	1.41	-46.46	46.49	272

Daten für Maximalfarbe (Ma):

$LAB^*LAB^*Ma$ : 51 35 58

$LAB^*LCH^*Ma$ : 51 68 59

$lab^*rgb^*Ma$ : 1.0 0.5 0.0

$lab^*olv^*Ma$ : 1.0 0.32 0.0

Dreiecks-Helligkeit  $i^*$

%Umfang

$u^*_{rel} = 88$

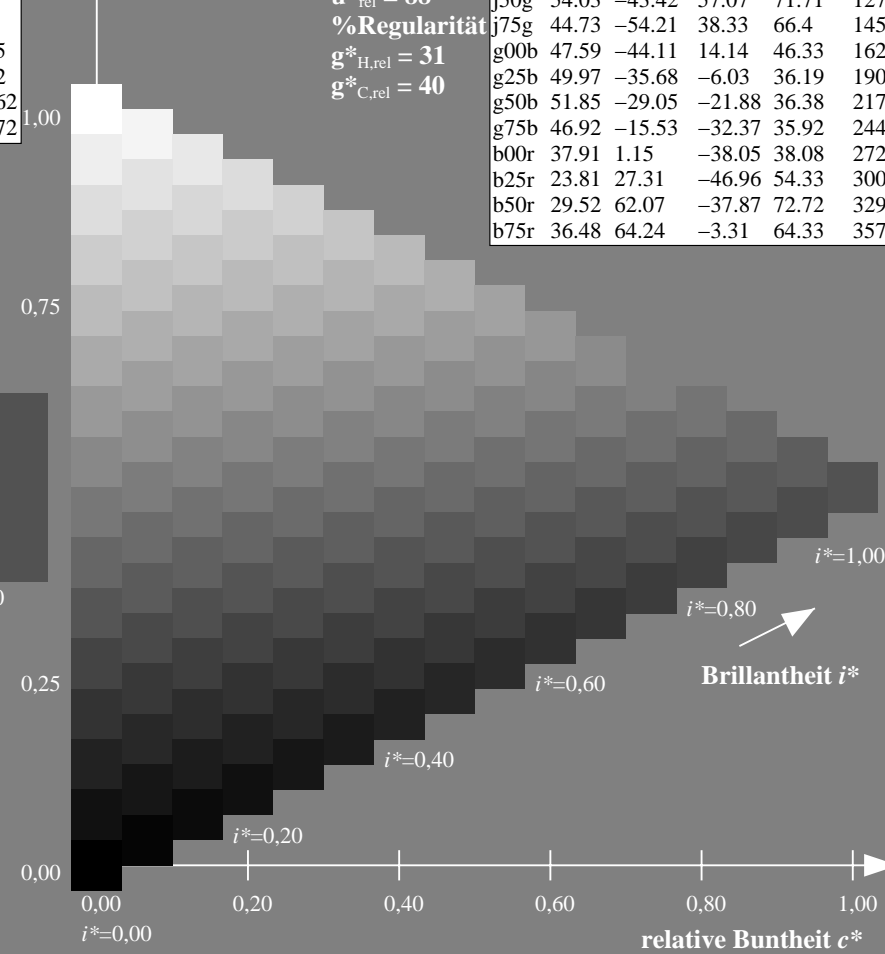
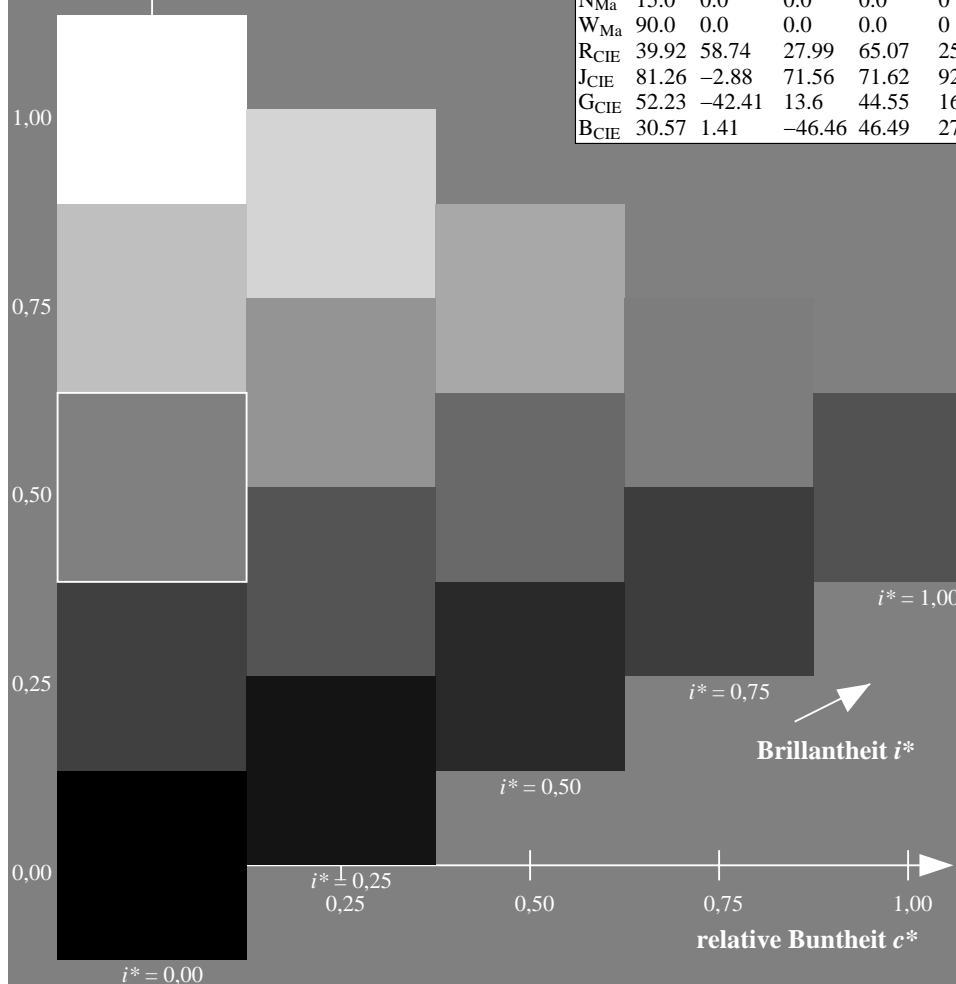
%Regularität

$g^*_{H,rel} = 31$

$g^*_{C,rel} = 40$

FRS15\_90a; adaptierte CIELAB-Daten

	$L^*=L_a^*$	$a_a^*$	$b_a^*$	$C_{ab,a}^*$	$h_{ab,a}^*$
r00j	35.47	56.92	27.12	63.05	25
r25j	39.12	49.04	44.45	66.19	42
r50j	50.64	35.19	58.33	68.13	59
r75j	64.01	19.11	74.45	76.87	76
j00g	83.18	-3.93	97.56	97.64	92
j25g	66.73	-26.86	74.66	79.35	110
j50g	54.03	-43.42	57.07	71.71	127
j75g	44.73	-54.21	38.33	66.4	145
g00b	47.59	-44.11	14.14	46.33	162
g25b	49.97	-35.68	-6.03	36.19	190
g50b	51.85	-29.05	-21.88	36.38	217
g75b	46.92	-15.53	-32.37	35.92	244
b00r	37.91	1.15	-38.05	38.08	272
b25r	23.81	27.31	-46.96	54.33	300
b50r	29.52	62.07	-37.87	72.72	329
b75r	36.48	64.24	-3.31	64.33	357



Ein und Ausgabe: Farbmetrisches Drucker-Reflektiv-System FRS15\_90a für relativen CIELAB-Buntton  $h^* = lab^*h^* = h_{ab}/360 = 76/360 = 0.21$

Daten für jede Farbe:

$lab^*tch^*$  und  $lab^*icu^*$

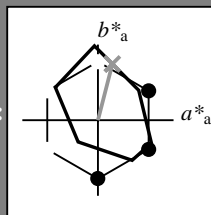
Elementar-Bunttontext:

$u^* = r75j$

Kontrastreduzierungsfaktor:

$c_R = 0.9$

Dreiecks-Helligkeit  $t^*$



FRS15\_90a; adaptierte CIELAB-Daten

	$L^*=L_a^*$	$a_a^*$	$b_a^*$	$C_{ab,a}^*$	$h_{ab,a}^*$
O <sub>Ma</sub>	35.06	53.93	39.55	66.88	36
Y <sub>Ma</sub>	83.77	-4.63	98.26	98.37	93
L <sub>Ma</sub>	44.13	-56.32	43.36	71.09	142
C <sub>Ma</sub>	52.66	-26.18	-28.74	38.89	228
V <sub>Ma</sub>	14.15	45.22	-53.06	69.72	310
M <sub>Ma</sub>	37.37	70.69	-30.1	76.83	337
N <sub>Ma</sub>	15.0	0.0	0.0	0.0	0
W <sub>Ma</sub>	90.0	0.0	0.0	0.0	0
R <sub>CIE</sub>	39.92	58.74	27.99	65.07	25
J <sub>CIE</sub>	81.26	-2.88	71.56	71.62	92
G <sub>CIE</sub>	52.23	-42.41	13.6	44.55	162
B <sub>CIE</sub>	30.57	1.41	-46.46	46.49	272

Daten für Maximalfarbe (Ma):

$LAB^*LAB^*_{Ma}$ : 64 19 74

$LAB^*LCH^*_{Ma}$ : 64 77 76

$lab^*rgb^*_{Ma}$ : 1.0 0.75 0.0

$lab^*olv^*_{Ma}$ : 1.0 0.59 0.0

Dreiecks-Helligkeit  $t^*$

%Umfang

$u^*_{rel} = 88$

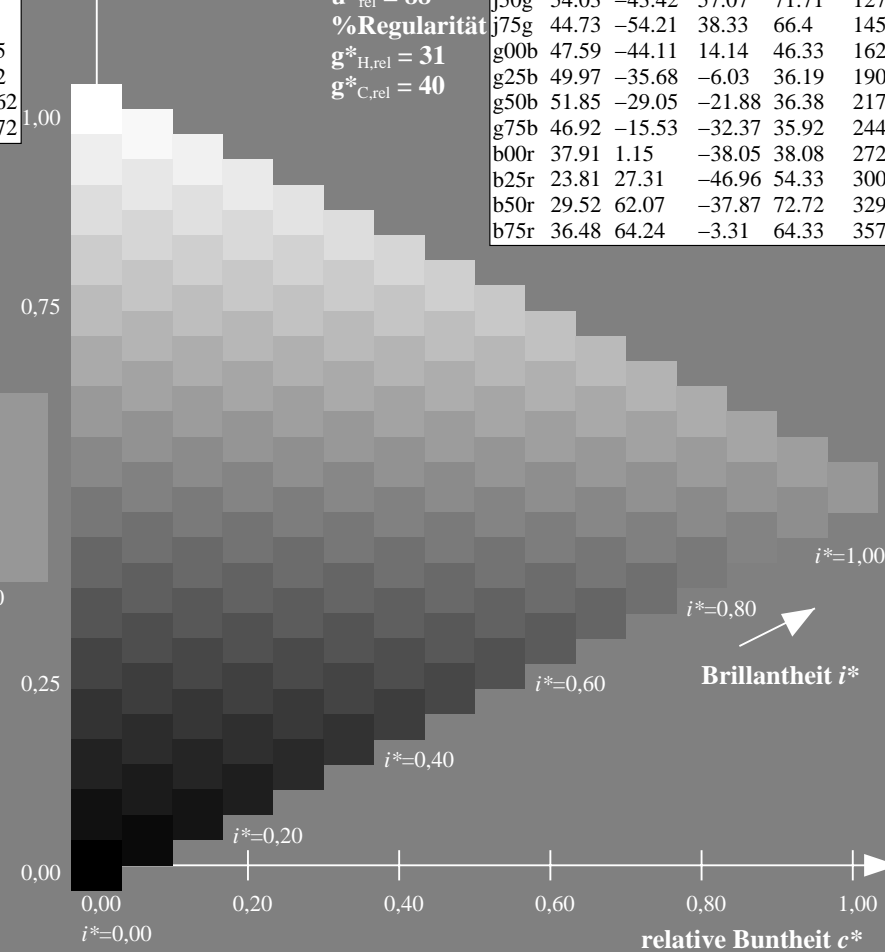
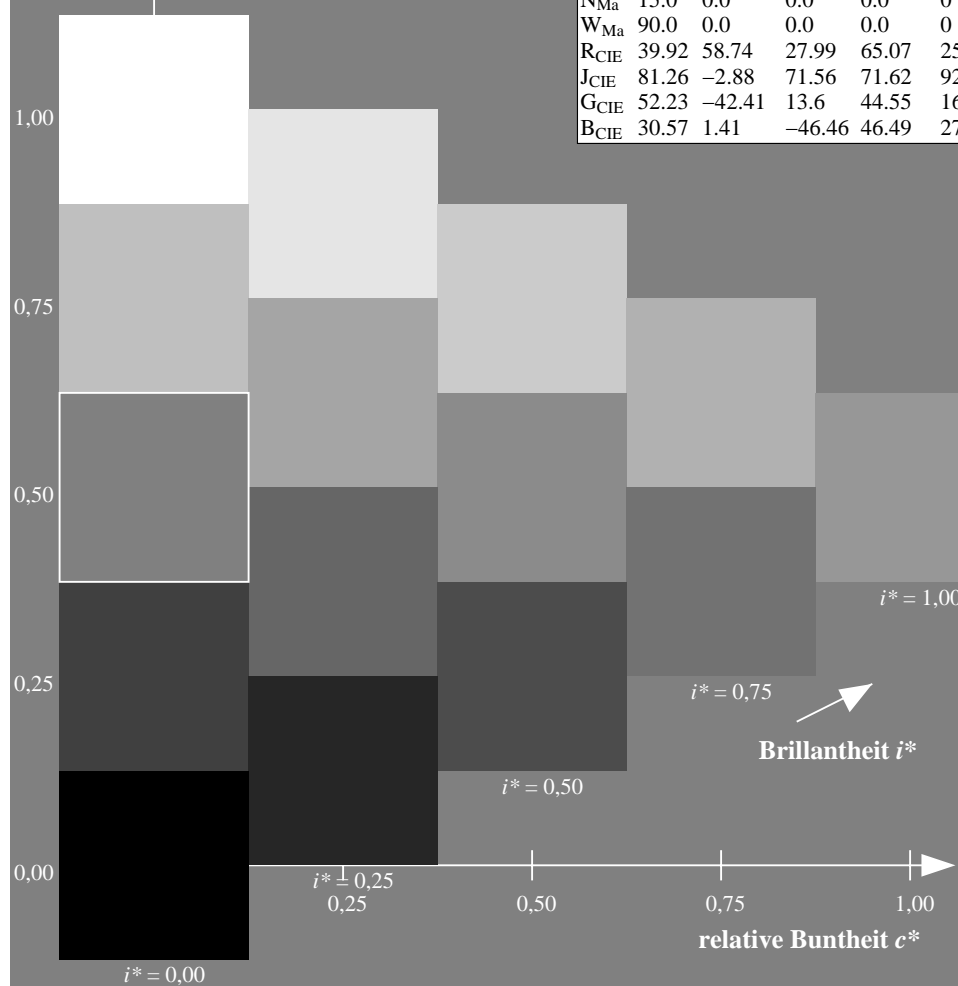
%Regularität

$g^*_{H,rel} = 31$

$g^*_{C,rel} = 40$

FRS15\_90a; adaptierte CIELAB-Daten

	$L^*=L_a^*$	$a_a^*$	$b_a^*$	$C_{ab,a}^*$	$h_{ab,a}^*$
r00j	35.47	56.92	27.12	63.05	25
r25j	39.12	49.04	44.45	66.19	42
r50j	50.64	35.19	58.33	68.13	59
r75j	64.01	19.11	74.45	76.87	76
j00g	83.18	-3.93	97.56	97.64	92
j25g	66.73	-26.86	74.66	79.35	110
j50g	54.03	-43.42	57.07	71.71	127
j75g	44.73	-54.21	38.33	66.4	145
g00b	47.59	-44.11	14.14	46.33	162
g25b	49.97	-35.68	-6.03	36.19	190
g50b	51.85	-29.05	-21.88	36.38	217
g75b	46.92	-15.53	-32.37	35.92	244
b00r	37.91	1.15	-38.05	38.08	272
b25r	23.81	27.31	-46.96	54.33	300
b50r	29.52	62.07	-37.87	72.72	329
b75r	36.48	64.24	-3.31	64.33	357



Siehe ähnliche Dateien: <http://www.ps.bam.de/Dg71/>; [www.ps.bam.de/Dg71.HTM](http://www.ps.bam.de/Dg71.HTM)  
Technische Information: <http://www.ps.bam.de> Version 2.1, io=1,1, ColSpx=0

Ein und Ausgabe: Farbmetrisches Drucker-Reflektiv-System FRS15\_90a für relativen CIELAB-Buntton  $h^* = lab^*h^* = h_{ab}/360 = 92/360 = 0.256$

Daten für jede Farbe:

$lab^*ch^*$  und  $lab^*icu^*$

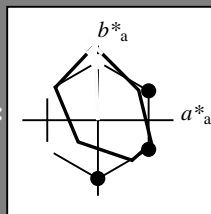
Elementar-Bunttonext:

$u^* = j00g$

Kontrastreduzierungsfaktor:

$c_R = 0.9$

Dreiecks-Helligkeit  $i^*$



FRS15\_90a; adaptierte CIELAB-Daten

	$L^*=L^*_a$	$a^*_a$	$b^*_a$	$C^*_{ab,a}$	$h^*_{ab,a}$
O <sub>Ma</sub>	35.06	53.93	39.55	66.88	36
Y <sub>Ma</sub>	83.77	-4.63	98.26	98.37	93
L <sub>Ma</sub>	44.13	-56.32	43.36	71.09	142
C <sub>Ma</sub>	52.66	-26.18	-28.74	38.89	228
V <sub>Ma</sub>	14.15	45.22	-53.06	69.72	310
M <sub>Ma</sub>	37.37	70.69	-30.1	76.83	337
N <sub>Ma</sub>	15.0	0.0	0.0	0.0	0
W <sub>Ma</sub>	90.0	0.0	0.0	0.0	0
R <sub>CIE</sub>	39.92	58.74	27.99	65.07	25
J <sub>CIE</sub>	81.26	-2.88	71.56	71.62	92
G <sub>CIE</sub>	52.23	-42.41	13.6	44.55	162
B <sub>CIE</sub>	30.57	1.41	-46.46	46.49	272

Daten für Maximalfarbe (Ma):

$LAB^*LAB^*_{Ma}$ : 83 -3 98

$LAB^*LCH^*_{Ma}$ : 83 98 92

$lab^*rgb^*_{Ma}$ : 1.0 1.0 0.0

$lab^*olv^*_{Ma}$ : 1.0 0.99 0.0

Dreiecks-Helligkeit  $i^*$

%Umfang

$u^*_{rel} = 88$

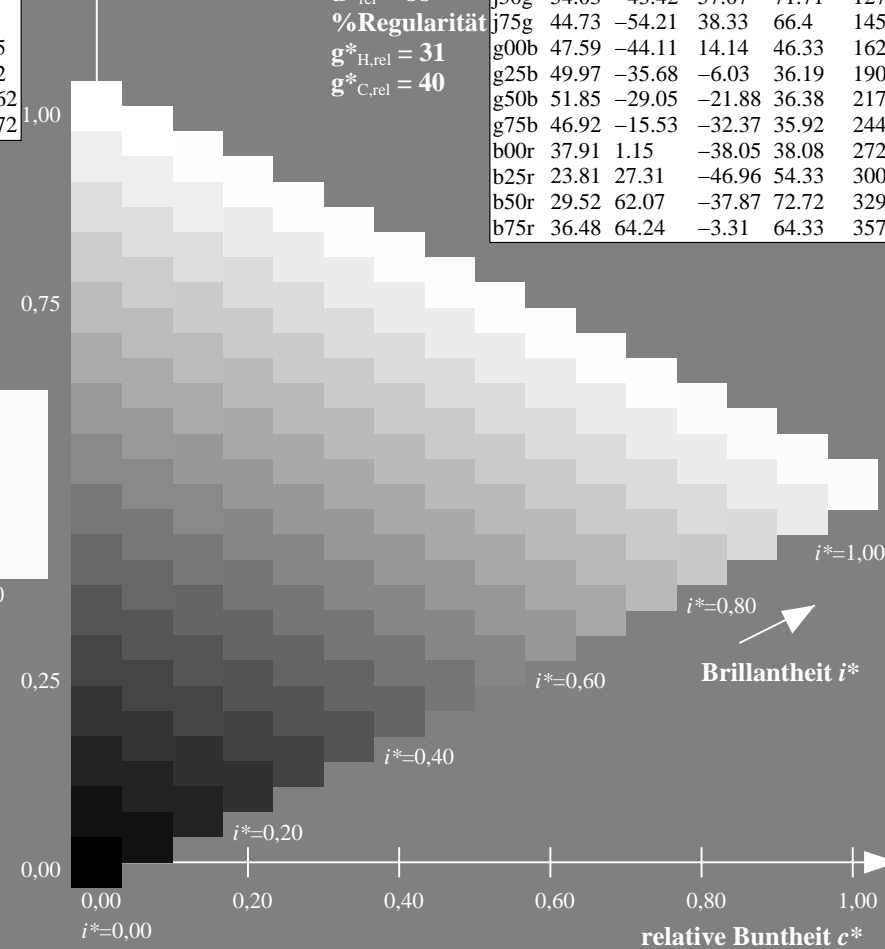
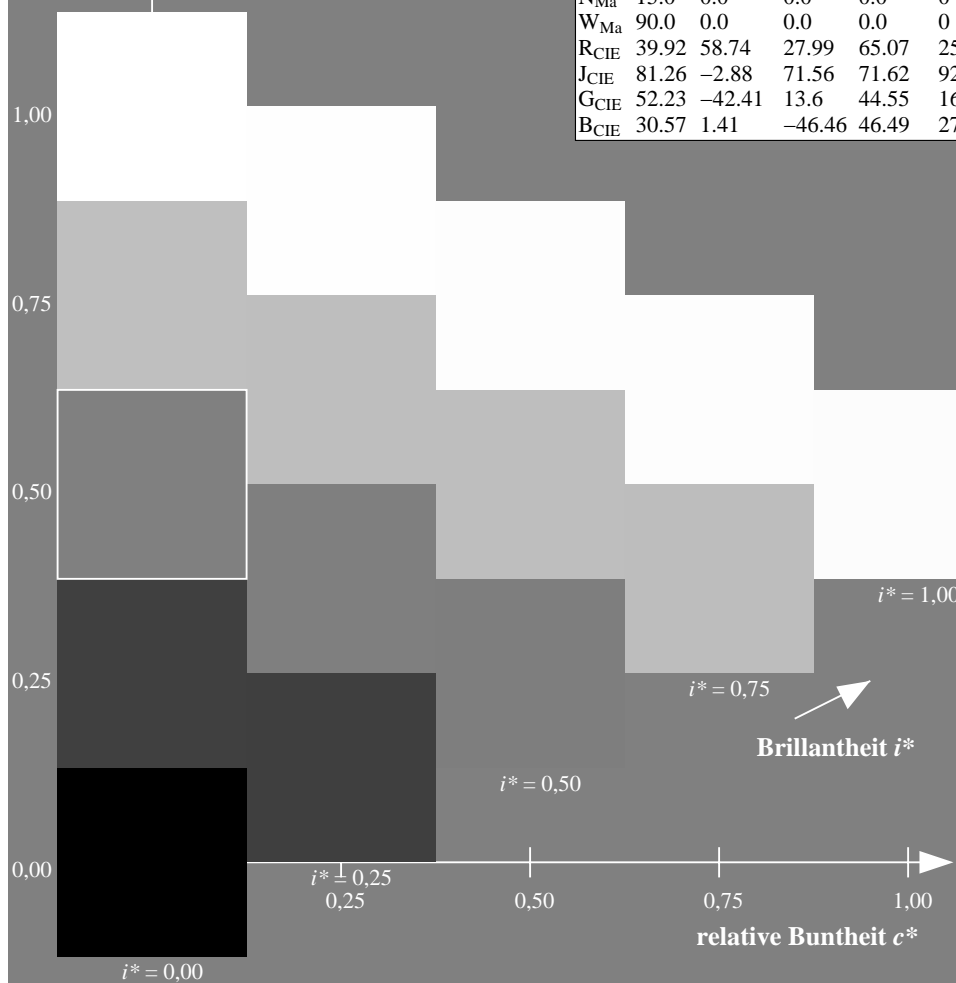
%Regularität

$g^*_{H,rel} = 31$

$g^*_{C,rel} = 40$

FRS15\_90a; adaptierte CIELAB-Daten

	$L^*=L^*_a$	$a^*_a$	$b^*_a$	$C^*_{ab,a}$	$h^*_{ab,a}$
r00j	35.47	56.92	27.12	63.05	25
r25j	39.12	49.04	44.45	66.19	42
r50j	50.64	35.19	58.33	68.13	59
r75j	64.01	19.11	74.45	76.87	76
j00g	83.18	-3.93	97.56	97.64	92
j25g	66.73	-26.86	74.66	79.35	110
j50g	54.03	-43.42	57.07	71.71	127
j75g	44.73	-54.21	38.33	66.4	145
g00b	47.59	-44.11	14.14	46.33	162
g25b	49.97	-35.68	-6.03	36.19	190
g50b	51.85	-29.05	-21.88	36.38	217
g75b	46.92	-15.53	-32.37	35.92	244
b00r	37.91	1.15	-38.05	38.08	272
b25r	23.81	27.31	-46.96	54.33	300
b50r	29.52	62.07	-37.87	72.72	329
b75r	36.48	64.24	-3.31	64.33	357



Ein und Ausgabe: Farbmetrisches Drucker-Reflektiv-System FRS15\_90a für relativen CIELAB-Buntton  $h^* = lab^*h^* = h_{ab}/360 = 110/360 = 0.305$

Daten für jede Farbe:

$lab^*ch^*$  und  $lab^*icu^*$

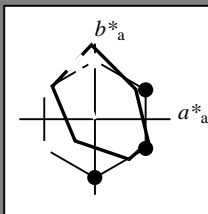
Elementar-Bunttonext:

$u^* = j25g$

Kontrastreduzierungsfaktor:

$c_R = 0.9$

Dreiecks-Helligkeit  $i^*$



FRS15\_90a; adaptierte CIELAB-Daten

	$L^*=L_a^*$	$a_a^*$	$b_a^*$	$C_{ab,a}^*$	$h_{ab,a}^*$
O <sub>Ma</sub>	35.06	53.93	39.55	66.88	36
Y <sub>Ma</sub>	83.77	-4.63	98.26	98.37	93
L <sub>Ma</sub>	44.13	-56.32	43.36	71.09	142
C <sub>Ma</sub>	52.66	-26.18	-28.74	38.89	228
V <sub>Ma</sub>	14.15	45.22	-53.06	69.72	310
M <sub>Ma</sub>	37.37	70.69	-30.1	76.83	337
N <sub>Ma</sub>	15.0	0.0	0.0	0.0	0
W <sub>Ma</sub>	90.0	0.0	0.0	0.0	0
R <sub>CIE</sub>	39.92	58.74	27.99	65.07	25
J <sub>CIE</sub>	81.26	-2.88	71.56	71.62	92
G <sub>CIE</sub>	52.23	-42.41	13.6	44.55	162
B <sub>CIE</sub>	30.57	1.41	-46.46	46.49	272

Daten für Maximalfarbe (Ma):

$LAB^*LAB^*_{Ma}$ : 67 -26 75

$LAB^*LCH^*_{Ma}$ : 67 79 110

$lab^*rgb^*_{Ma}$ : 0.75 1.0 0.0

$lab^*olv^*_{Ma}$ : 0.57 1.0 0.0

Dreiecks-Helligkeit  $i^*$

%Umfang

$u^*_{rel} = 88$

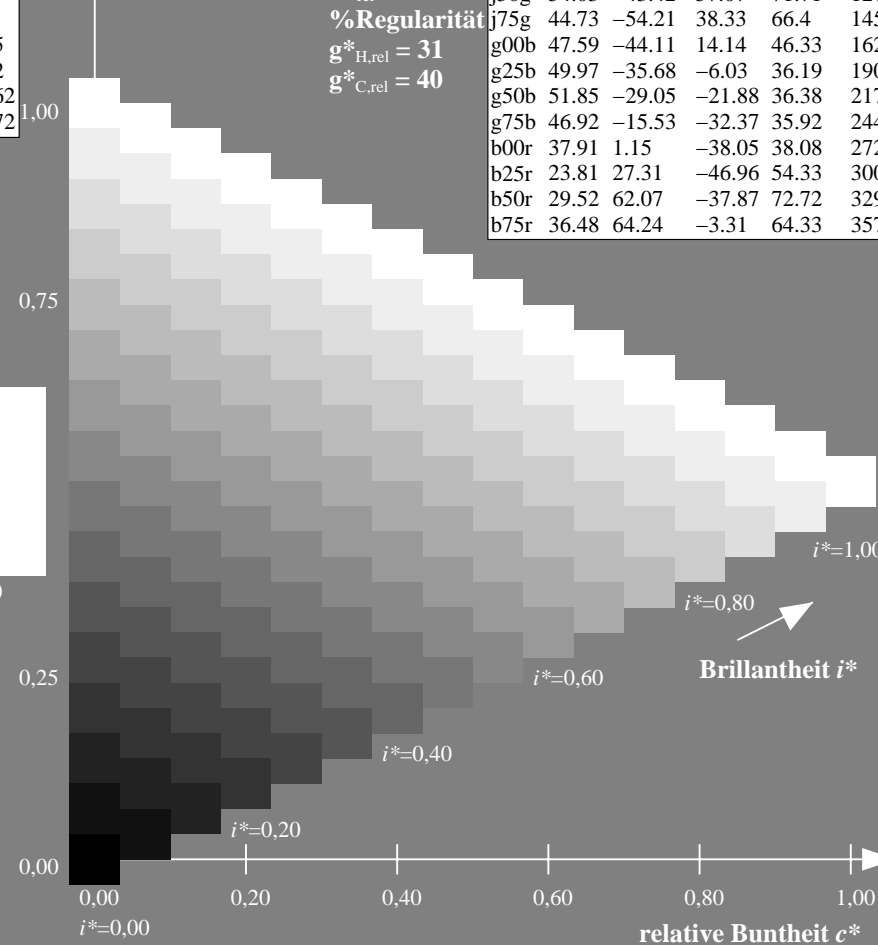
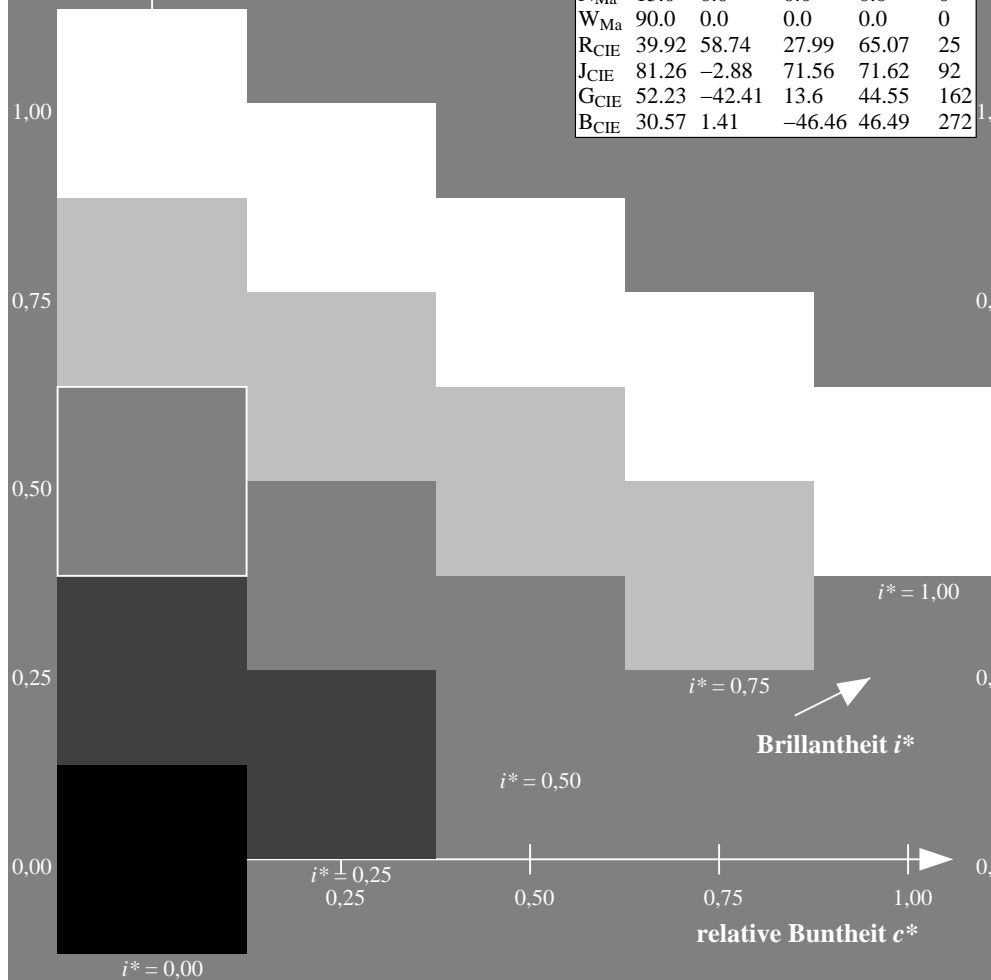
%Regularität

$g^*_{H,rel} = 31$

$g^*_{C,rel} = 40$

FRS15\_90a; adaptierte CIELAB-Daten

	$L^*=L_a^*$	$a_a^*$	$b_a^*$	$C_{ab,a}^*$	$h_{ab,a}^*$
r00j	35.47	56.92	27.12	63.05	25
r25j	39.12	49.04	44.45	66.19	42
r50j	50.64	35.19	58.33	68.13	59
r75j	64.01	19.11	74.45	76.87	76
j00g	83.18	-3.93	97.56	97.64	92
j25g	66.73	-26.86	74.66	79.35	110
j50g	54.03	-43.42	57.07	71.71	127
j75g	44.73	-54.21	38.33	66.4	145
g00b	47.59	-44.11	14.14	46.33	162
g25b	49.97	-35.68	-6.03	36.19	190
g50b	51.85	-29.05	-21.88	36.38	217
g75b	46.92	-15.53	-32.37	35.92	244
b00r	37.91	1.15	-38.05	38.08	272
b25r	23.81	27.31	-46.96	54.33	300
b50r	29.52	62.07	-37.87	72.72	329
b75r	36.48	64.24	-3.31	64.33	357



Ein und Ausgabe: Farbmetrisches Drucker-Reflektiv-System FRS15\_90a für relativen CIELAB-Buntton  $h^* = lab^*h^* = h_{ab}/360 = 127/360 = 0.354$

Daten für jede Farbe:

$lab^*ch^*$  und  $lab^*icu^*$

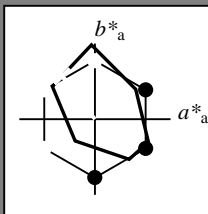
Elementar-Bunttonext:

$u^* = j50g$

Kontrastreduzierungsfaktor:

$c_R = 0.9$

Dreiecks-Helligkeit  $i^*$



FRS15\_90a; adaptierte CIELAB-Daten

	$L^*=L^*_a$	$a^*_a$	$b^*_a$	$C^*_{ab,a}$	$h^*_{ab,a}$
O <sub>Ma</sub>	35.06	53.93	39.55	66.88	36
Y <sub>Ma</sub>	83.77	-4.63	98.26	98.37	93
L <sub>Ma</sub>	44.13	-56.32	43.36	71.09	142
C <sub>Ma</sub>	52.66	-26.18	-28.74	38.89	228
V <sub>Ma</sub>	14.15	45.22	-53.06	69.72	310
M <sub>Ma</sub>	37.37	70.69	-30.1	76.83	337
N <sub>Ma</sub>	15.0	0.0	0.0	0.0	0
W <sub>Ma</sub>	90.0	0.0	0.0	0.0	0
R <sub>CIE</sub>	39.92	58.74	27.99	65.07	25
J <sub>CIE</sub>	81.26	-2.88	71.56	71.62	92
G <sub>CIE</sub>	52.23	-42.41	13.6	44.55	162
B <sub>CIE</sub>	30.57	1.41	-46.46	46.49	272

Daten für Maximalfarbe (Ma):

$LAB^*LAB^*_{Ma}$ : 54 -42 57

$LAB^*LCH^*_{Ma}$ : 54 72 127

$lab^*rgb^*_{Ma}$ : 0.5 1.0 0.0

$lab^*olv^*_{Ma}$ : 0.25 1.0 0.0

Dreiecks-Helligkeit  $i^*$

%Umfang

$u^*_{rel} = 88$

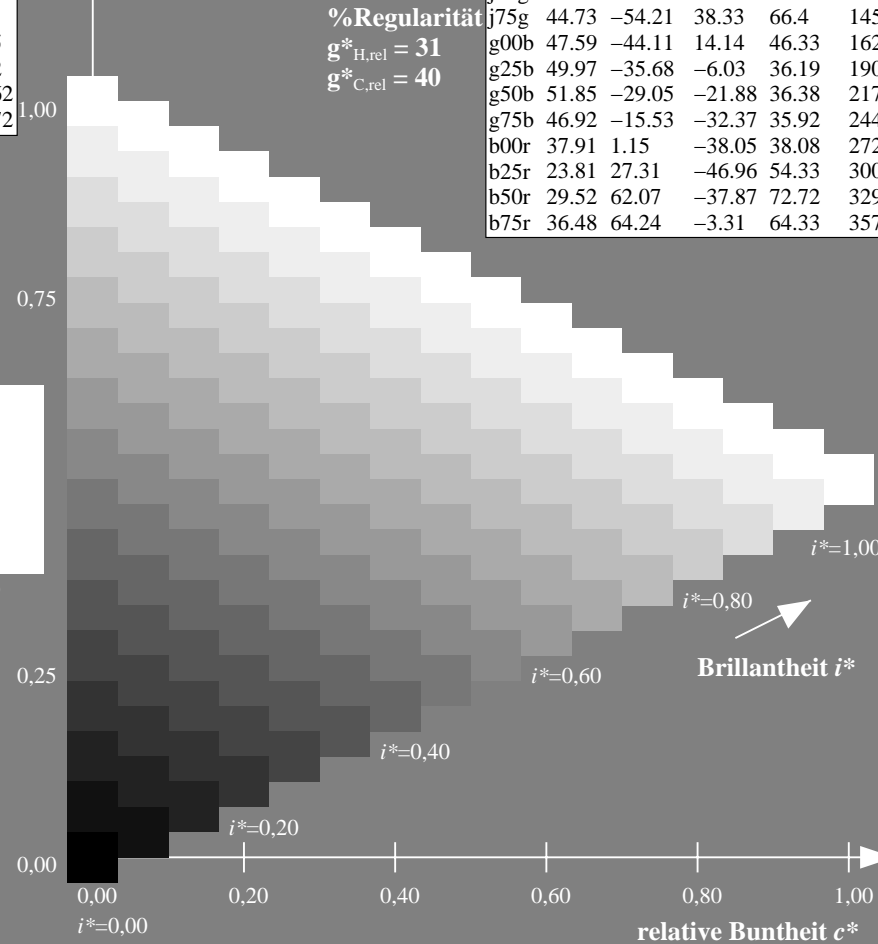
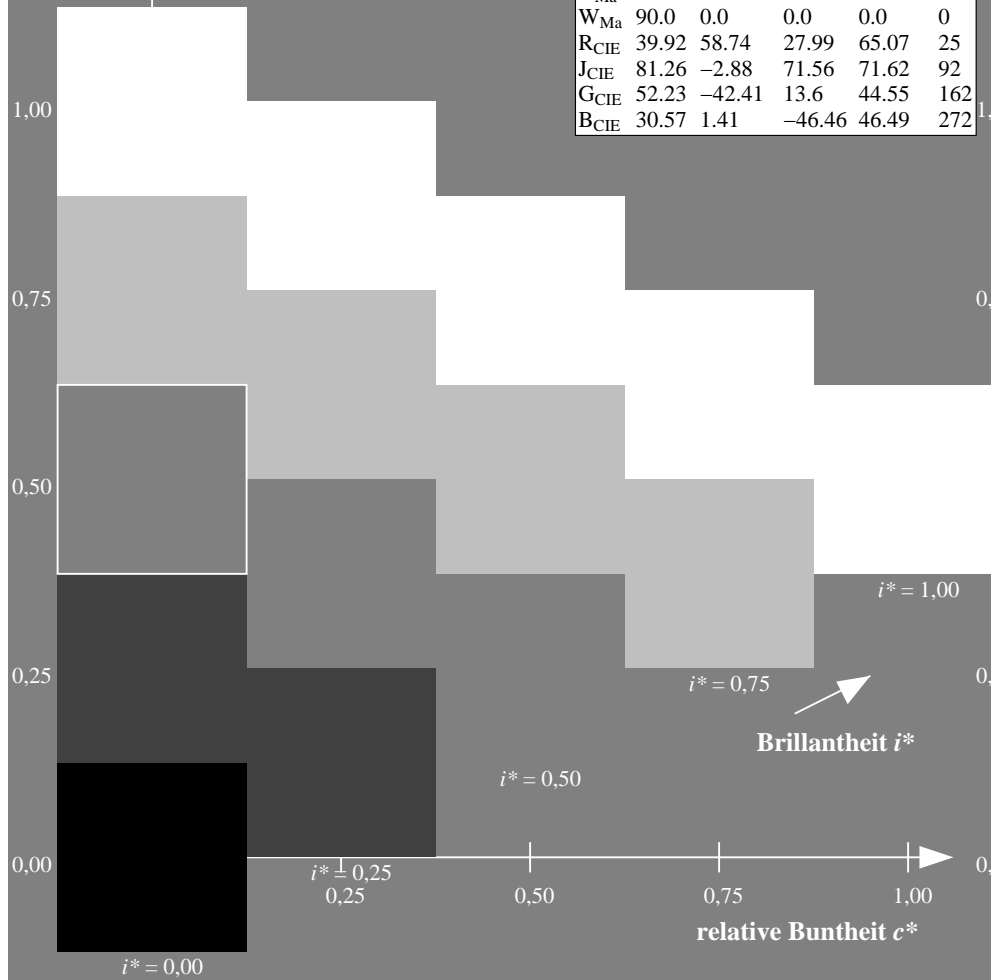
%Regularität

$g^*_{H,rel} = 31$

$g^*_{C,rel} = 40$

FRS15\_90a; adaptierte CIELAB-Daten

	$L^*=L^*_a$	$a^*_a$	$b^*_a$	$C^*_{ab,a}$	$h^*_{ab,a}$
r00j	35.47	56.92	27.12	63.05	25
r25j	39.12	49.04	44.45	66.19	42
r50j	50.64	35.19	58.33	68.13	59
r75j	64.01	19.11	74.45	76.87	76
j00g	83.18	-3.93	97.56	97.64	92
j25g	66.73	-26.86	74.66	79.35	110
j50g	54.03	-43.42	57.07	71.71	127
j75g	44.73	-54.21	38.33	66.4	145
g00b	47.59	-44.11	14.14	46.33	162
g25b	49.97	-35.68	-6.03	36.19	190
g50b	51.85	-29.05	-21.88	36.38	217
g75b	46.92	-15.53	-32.37	35.92	244
b00r	37.91	1.15	-38.05	38.08	272
b25r	23.81	27.31	-46.96	54.33	300
b50r	29.52	62.07	-37.87	72.72	329
b75r	36.48	64.24	-3.31	64.33	357





Ein und Ausgabe: Farbmetrisches Drucker-Reflektiv-System FRS15\_90a für relativen CIELAB-Buntton  $h^* = lab^*h^* = h_{ab}/360 = 145/360 = 0.402$

Daten für jede Farbe:

$lab^*ch^*$  und  $lab^*icu^*$

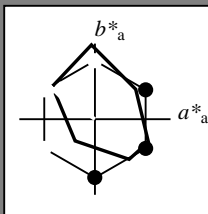
Elementar-Bunttonext:

$u^* = j75g$

Kontrastreduzierungsfaktor:

$c_R = 0.9$

Dreiecks-Helligkeit  $i^*$



FRS15\_90a; adaptierte CIELAB-Daten

	$L^*=L_a^*$	$a_a^*$	$b_a^*$	$C_{ab,a}^*$	$h_{ab,a}^*$
O <sub>Ma</sub>	35.06	53.93	39.55	66.88	36
Y <sub>Ma</sub>	83.77	-4.63	98.26	98.37	93
L <sub>Ma</sub>	44.13	-56.32	43.36	71.09	142
C <sub>Ma</sub>	52.66	-26.18	-28.74	38.89	228
V <sub>Ma</sub>	14.15	45.22	-53.06	69.72	310
M <sub>Ma</sub>	37.37	70.69	-30.1	76.83	337
N <sub>Ma</sub>	15.0	0.0	0.0	0.0	0
W <sub>Ma</sub>	90.0	0.0	0.0	0.0	0
R <sub>CIE</sub>	39.92	58.74	27.99	65.07	25
J <sub>CIE</sub>	81.26	-2.88	71.56	71.62	92
G <sub>CIE</sub>	52.23	-42.41	13.6	44.55	162
B <sub>CIE</sub>	30.57	1.41	-46.46	46.49	272

Daten für Maximalfarbe (Ma):

$LAB^*LAB^*_{Ma}$ : 45 -53 38

$LAB^*LCH^*_{Ma}$ : 45 66 145

$lab^*rgb^*_{Ma}$ : 0.25 1.0 0.0

$lab^*olv^*_{Ma}$ : 0.0 1.0 0.07

Dreiecks-Helligkeit  $i^*$

%Umfang

$u^*_{rel} = 88$

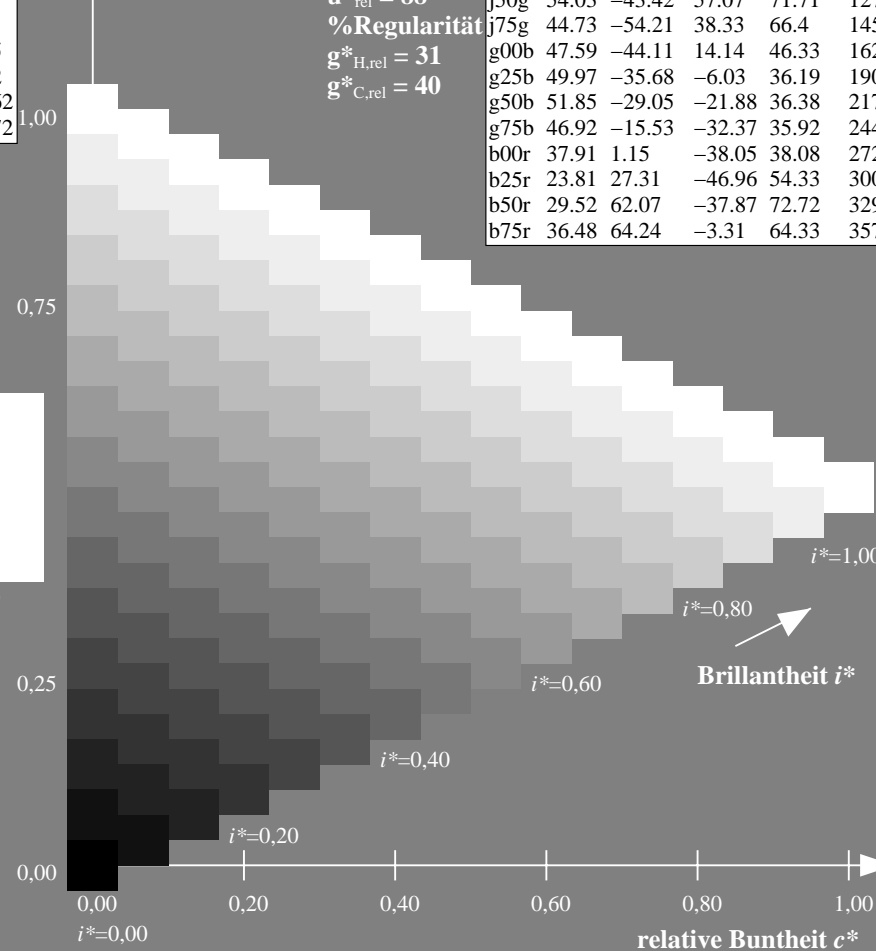
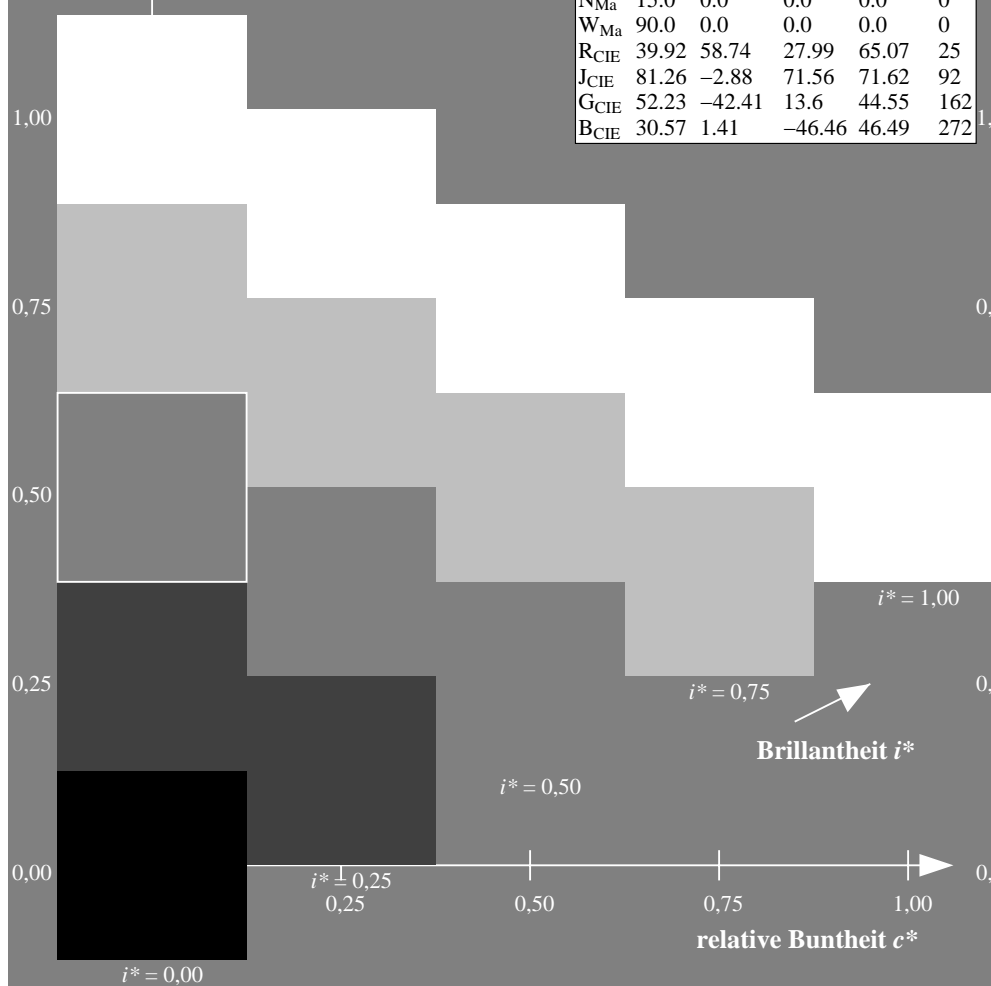
%Regularität

$g^*_{H,rel} = 31$

$g^*_{C,rel} = 40$

FRS15\_90a; adaptierte CIELAB-Daten

	$L^*=L_a^*$	$a_a^*$	$b_a^*$	$C_{ab,a}^*$	$h_{ab,a}^*$
r00j	35.47	56.92	27.12	63.05	25
r25j	39.12	49.04	44.45	66.19	42
r50j	50.64	35.19	58.33	68.13	59
r75j	64.01	19.11	74.45	76.87	76
j00g	83.18	-3.93	97.56	97.64	92
j25g	66.73	-26.86	74.66	79.35	110
j50g	54.03	-43.42	57.07	71.71	127
j75g	44.73	-54.21	38.33	66.4	145
g00b	47.59	-44.11	14.14	46.33	162
g25b	49.97	-35.68	-6.03	36.19	190
g50b	51.85	-29.05	-21.88	36.38	217
g75b	46.92	-15.53	-32.37	35.92	244
b00r	37.91	1.15	-38.05	38.08	272
b25r	23.81	27.31	-46.96	54.33	300
b50r	29.52	62.07	-37.87	72.72	329
b75r	36.48	64.24	-3.31	64.33	357



Ein und Ausgabe: Farbmetrisches Drucker-Reflektiv-System FRS15\_90a für relativen CIELAB-Buntton  $h^* = lab^*h^* = h_{ab}/360 = 162/360 = 0.451$

Daten für jede Farbe:

$lab^*ch^*$  und  $lab^*icu^*$

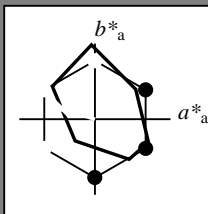
Elementar-Bunttonext:

$u^* = g00b$

Kontrastreduzierungsfaktor:

$c_R = 0.9$

Dreiecks-Helligkeit  $i^*$



FRS15\_90a; adaptierte CIELAB-Daten

	$L^*=L_a^*$	$a_a^*$	$b_a^*$	$C_{ab,a}^*$	$h_{ab,a}^*$
O <sub>Ma</sub>	35.06	53.93	39.55	66.88	36
Y <sub>Ma</sub>	83.77	-4.63	98.26	98.37	93
L <sub>Ma</sub>	44.13	-56.32	43.36	71.09	142
C <sub>Ma</sub>	52.66	-26.18	-28.74	38.89	228
V <sub>Ma</sub>	14.15	45.22	-53.06	69.72	310
M <sub>Ma</sub>	37.37	70.69	-30.1	76.83	337
N <sub>Ma</sub>	15.0	0.0	0.0	0.0	0
W <sub>Ma</sub>	90.0	0.0	0.0	0.0	0
R <sub>CIE</sub>	39.92	58.74	27.99	65.07	25
J <sub>CIE</sub>	81.26	-2.88	71.56	71.62	92
G <sub>CIE</sub>	52.23	-42.41	13.6	44.55	162
B <sub>CIE</sub>	30.57	1.41	-46.46	46.49	272

Daten für Maximalfarbe (Ma):

$LAB^*LAB^*_{Ma}$ : 48 -43 14

$LAB^*LCH^*_{Ma}$ : 48 46 162

$lab^*rgb^*_{Ma}$ : 0.0 1.0 0.0

$lab^*olv^*_{Ma}$ : 0.0 1.0 0.41

Dreiecks-Helligkeit  $i^*$

%Umfang

$u^*_{rel} = 88$

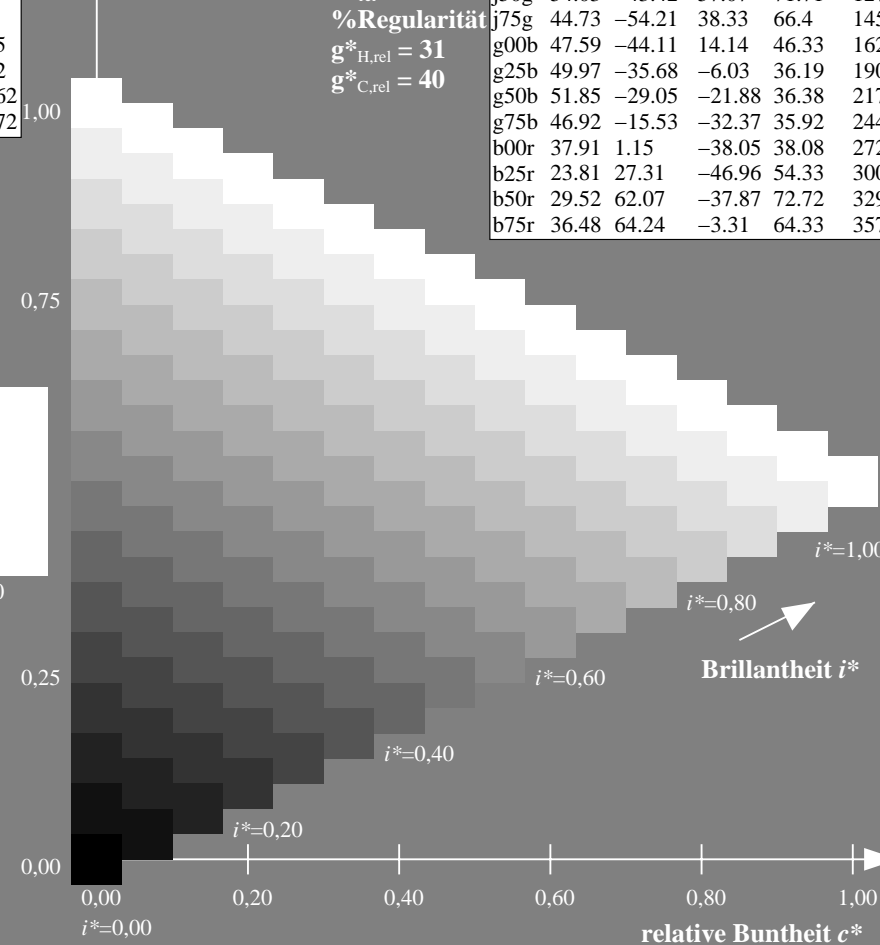
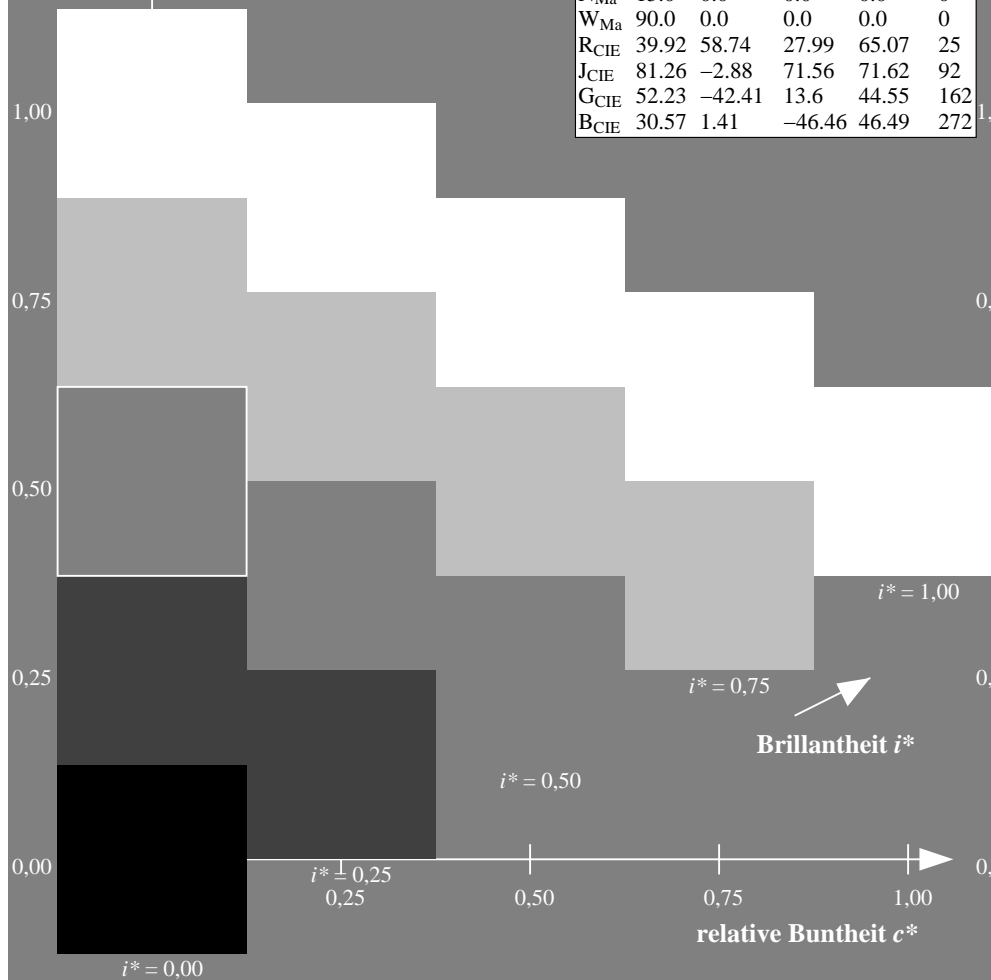
%Regularität

$g^*_{H,rel} = 31$

$g^*_{C,rel} = 40$

FRS15\_90a; adaptierte CIELAB-Daten

	$L^*=L_a^*$	$a_a^*$	$b_a^*$	$C_{ab,a}^*$	$h_{ab,a}^*$
r00j	35.47	56.92	27.12	63.05	25
r25j	39.12	49.04	44.45	66.19	42
r50j	50.64	35.19	58.33	68.13	59
r75j	64.01	19.11	74.45	76.87	76
j00g	83.18	-3.93	97.56	97.64	92
j25g	66.73	-26.86	74.66	79.35	110
j50g	54.03	-43.42	57.07	71.71	127
j75g	44.73	-54.21	38.33	66.4	145
g00b	47.59	-44.11	14.14	46.33	162
g25b	49.97	-35.68	-6.03	36.19	190
g50b	51.85	-29.05	-21.88	36.38	217
g75b	46.92	-15.53	-32.37	35.92	244
b00r	37.91	1.15	-38.05	38.08	272
b25r	23.81	27.31	-46.96	54.33	300
b50r	29.52	62.07	-37.87	72.72	329
b75r	36.48	64.24	-3.31	64.33	357



Ein und Ausgabe: Farbmetrisches Drucker-Reflektiv-System FRS15\_90a für relativen CIELAB-Buntton  $h^* = lab^*h^* = h_{ab}/360 = 190/360 = 0.527$

Daten für jede Farbe:

$lab^*ch^*$  und  $lab^*icu^*$

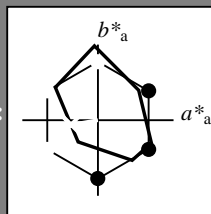
Elementar-Bunttontext:

$u^* = g25b$

Kontrastreduzierungsfaktor:

$c_R = 0.9$

Dreiecks-Helligkeit  $i^*$



FRS15\_90a; adaptierte CIELAB-Daten

	$L^*=L^*_a$	$a^*_a$	$b^*_a$	$C^*_{ab,a}$	$h^*_{ab,a}$
O <sub>Ma</sub>	35.06	53.93	39.55	66.88	36
Y <sub>Ma</sub>	83.77	-4.63	98.26	98.37	93
L <sub>Ma</sub>	44.13	-56.32	43.36	71.09	142
C <sub>Ma</sub>	52.66	-26.18	-28.74	38.89	228
V <sub>Ma</sub>	14.15	45.22	-53.06	69.72	310
M <sub>Ma</sub>	37.37	70.69	-30.1	76.83	337
N <sub>Ma</sub>	15.0	0.0	0.0	0.0	0
W <sub>Ma</sub>	90.0	0.0	0.0	0.0	0
R <sub>CIE</sub>	39.92	58.74	27.99	65.07	25
J <sub>CIE</sub>	81.26	-2.88	71.56	71.62	92
G <sub>CIE</sub>	52.23	-42.41	13.6	44.55	162
B <sub>CIE</sub>	30.57	1.41	-46.46	46.49	272

Daten für Maximalfarbe (Ma):

$LAB^*LAB^*_{Ma}$ : 50 -35 -5

$LAB^*LCH^*_{Ma}$ : 50 36 190

$lab^*rgb^*_{Ma}$ : 0.0 1.0 0.5

$lab^*olv^*_{Ma}$ : 0.0 1.0 0.69

Dreiecks-Helligkeit  $i^*$

%Umfang

$u^*_{rel} = 88$

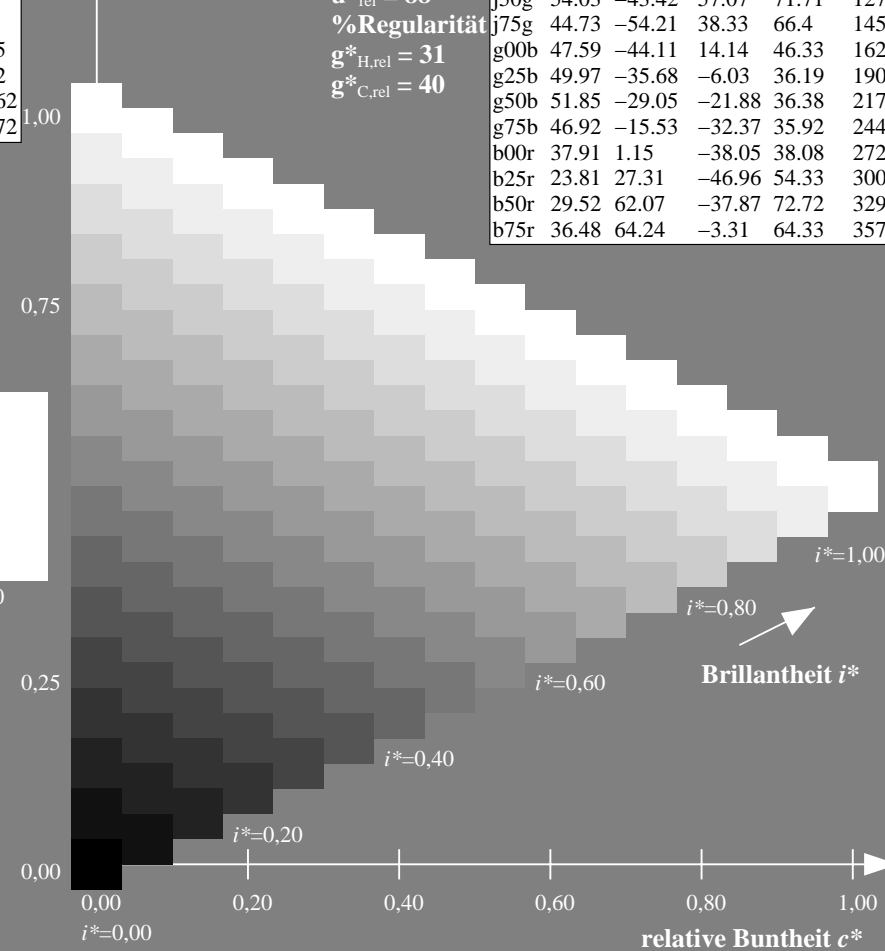
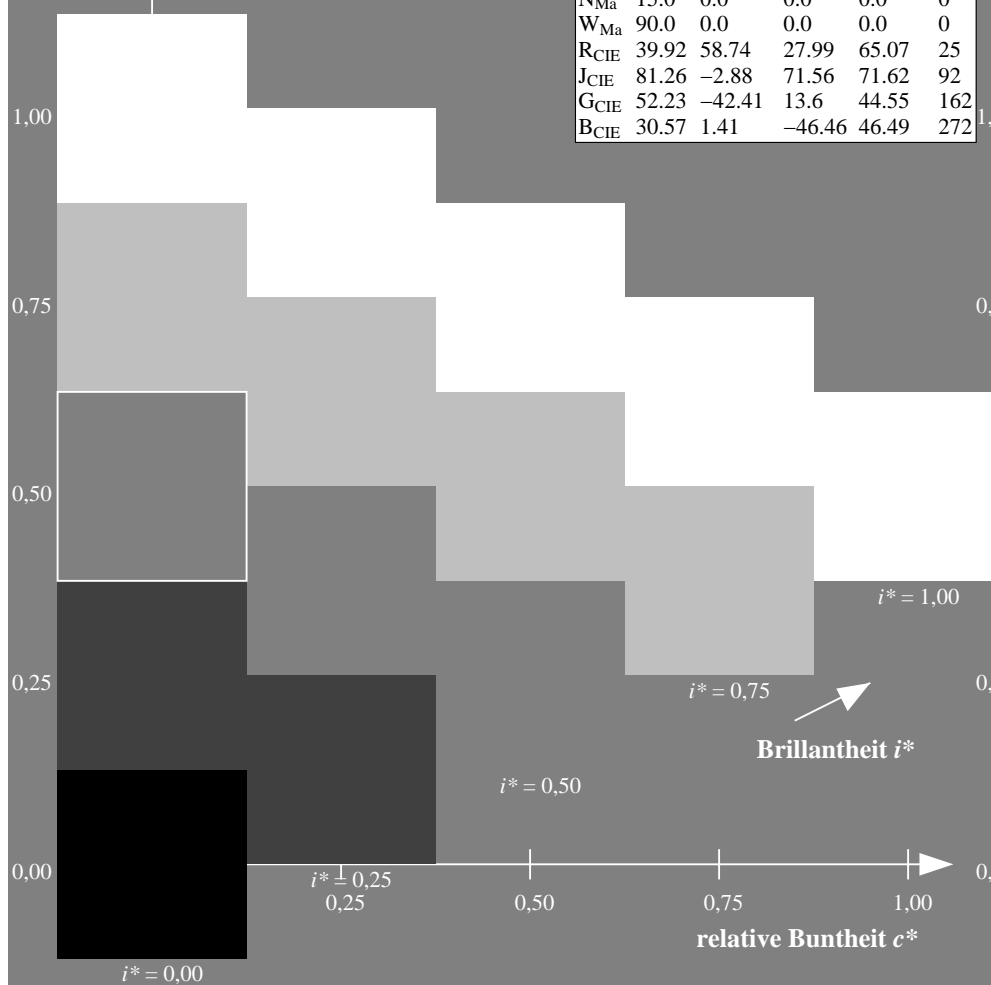
%Regularität

$g^*_{H,rel} = 31$

$g^*_{C,rel} = 40$

FRS15\_90a; adaptierte CIELAB-Daten

	$L^*=L^*_a$	$a^*_a$	$b^*_a$	$C^*_{ab,a}$	$h^*_{ab,a}$
r00j	35.47	56.92	27.12	63.05	25
r25j	39.12	49.04	44.45	66.19	42
r50j	50.64	35.19	58.33	68.13	59
r75j	64.01	19.11	74.45	76.87	76
j00g	83.18	-3.93	97.56	97.64	92
j25g	66.73	-26.86	74.66	79.35	110
j50g	54.03	-43.42	57.07	71.71	127
j75g	44.73	-54.21	38.33	66.4	145
g00b	47.59	-44.11	14.14	46.33	162
g25b	49.97	-35.68	-6.03	36.19	190
g50b	51.85	-29.05	-21.88	36.38	217
g75b	46.92	-15.53	-32.37	35.92	244
b00r	37.91	1.15	-38.05	38.08	272
b25r	23.81	27.31	-46.96	54.33	300
b50r	29.52	62.07	-37.87	72.72	329
b75r	36.48	64.24	-3.31	64.33	357



Ein und Ausgabe: Farbmetrisches Drucker-Reflektiv-System FRS15\_90a für relativen CIELAB-Buntton  $h^* = lab^*h^* = h_{ab}/360 = 217/360 = 0.603$

Daten für jede Farbe:

$lab^*ch^*$  und  $lab^*icu^*$

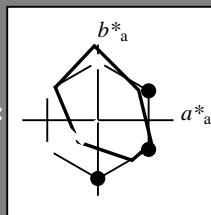
Elementar-Bunttontext:

$u^* = g50b$

Kontrastreduzierungsfaktor:

$c_R = 0.9$

Dreiecks-Helligkeit  $i^*$



FRS15\_90a; adaptierte CIELAB-Daten

	$L^*=L^*_a$	$a^*_a$	$b^*_a$	$C^*_{ab,a}$	$h^*_{ab,a}$
O <sub>Ma</sub>	35.06	53.93	39.55	66.88	36
Y <sub>Ma</sub>	83.77	-4.63	98.26	98.37	93
L <sub>Ma</sub>	44.13	-56.32	43.36	71.09	142
C <sub>Ma</sub>	52.66	-26.18	-28.74	38.89	228
V <sub>Ma</sub>	14.15	45.22	-53.06	69.72	310
M <sub>Ma</sub>	37.37	70.69	-30.1	76.83	337
N <sub>Ma</sub>	15.0	0.0	0.0	0.0	0
W <sub>Ma</sub>	90.0	0.0	0.0	0.0	0
R <sub>CIE</sub>	39.92	58.74	27.99	65.07	25
J <sub>CIE</sub>	81.26	-2.88	71.56	71.62	92
G <sub>CIE</sub>	52.23	-42.41	13.6	44.55	162
B <sub>CIE</sub>	30.57	1.41	-46.46	46.49	272

Daten für Maximalfarbe (Ma):

$LAB^*LAB^*_{Ma}$ : 52 -28 -21

$LAB^*LCH^*_{Ma}$ : 52 36 217

$lab^*rgb^*_{Ma}$ : 0.0 1.0 1.0

$lab^*olv^*_{Ma}$ : 0.0 1.0 0.9

Dreiecks-Helligkeit  $i^*$

%Umfang

$u^*_{rel} = 88$

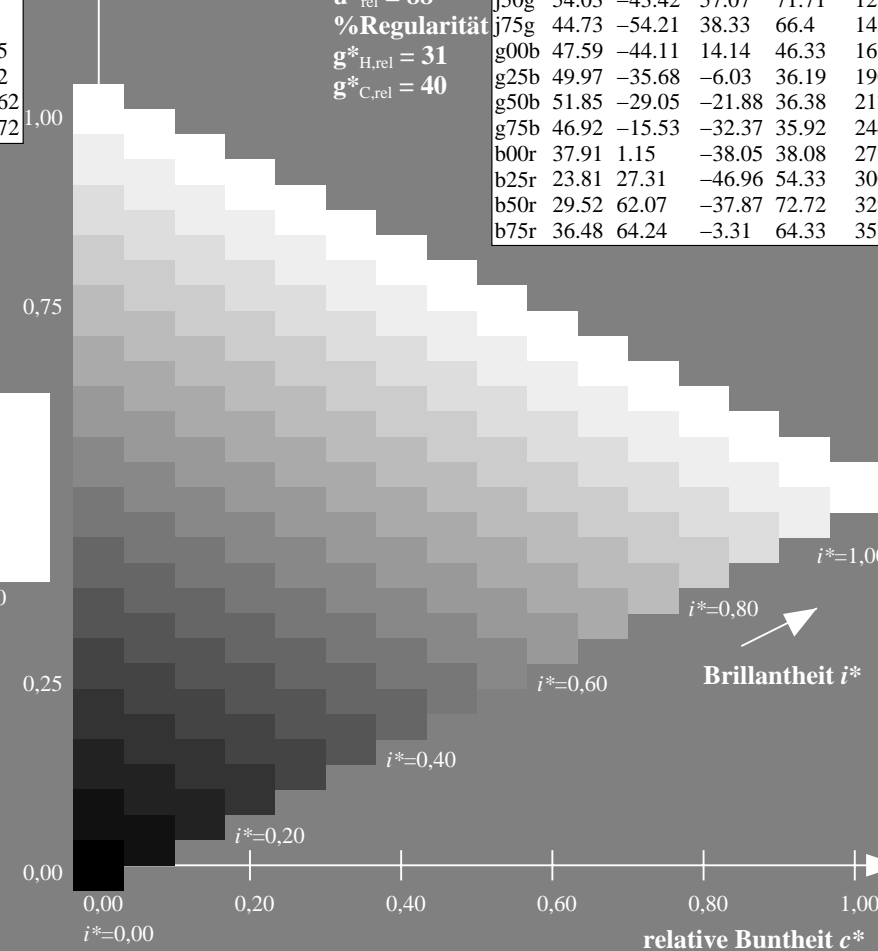
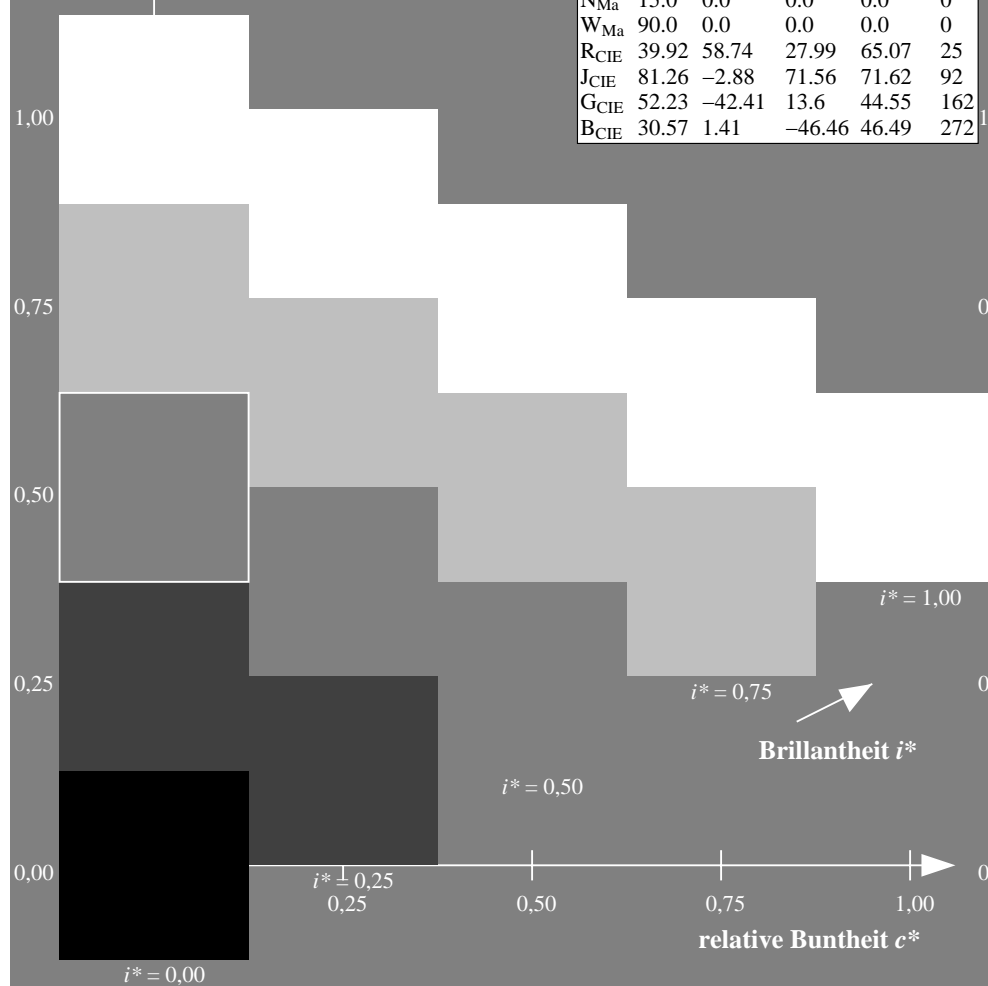
%Regularität

$g^*_{H,rel} = 31$

$g^*_{C,rel} = 40$

FRS15\_90a; adaptierte CIELAB-Daten

	$L^*=L^*_a$	$a^*_a$	$b^*_a$	$C^*_{ab,a}$	$h^*_{ab,a}$
r00j	35.47	56.92	27.12	63.05	25
r25j	39.12	49.04	44.45	66.19	42
r50j	50.64	35.19	58.33	68.13	59
r75j	64.01	19.11	74.45	76.87	76
j00g	83.18	-3.93	97.56	97.64	92
j25g	66.73	-26.86	74.66	79.35	110
j50g	54.03	-43.42	57.07	71.71	127
j75g	44.73	-54.21	38.33	66.4	145
g00b	47.59	-44.11	14.14	46.33	162
g25b	49.97	-35.68	-6.03	36.19	190
g50b	51.85	-29.05	-21.88	36.38	217
g75b	46.92	-15.53	-32.37	35.92	244
b00r	37.91	1.15	-38.05	38.08	272
b25r	23.81	27.31	-46.96	54.33	300
b50r	29.52	62.07	-37.87	72.72	329
b75r	36.48	64.24	-3.31	64.33	357



Ein und Ausgabe: Farbmetrisches Drucker-Reflektiv-System FRS15\_90a für relativen CIELAB-Buntton  $h^* = lab^*h^* = h_{ab}/360 = 244/360 = 0.679$

Daten für jede Farbe:

$lab^*ch^*$  und  $lab^*icu^*$

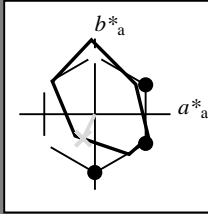
Elementar-Bunttonext:

$u^* = g75b$

Kontrastreduzierungsfaktor:

$c_R = 0.9$

Dreiecks-Helligkeit  $i^*$



FRS15\_90a; adaptierte CIELAB-Daten

	$L^*=L_a^*$	$a_a^*$	$b_a^*$	$C_{ab,a}^*$	$h_{ab,a}^*$
O <sub>Ma</sub>	35.06	53.93	39.55	66.88	36
Y <sub>Ma</sub>	83.77	-4.63	98.26	98.37	93
L <sub>Ma</sub>	44.13	-56.32	43.36	71.09	142
C <sub>Ma</sub>	52.66	-26.18	-28.74	38.89	228
V <sub>Ma</sub>	14.15	45.22	-53.06	69.72	310
M <sub>Ma</sub>	37.37	70.69	-30.1	76.83	337
N <sub>Ma</sub>	15.0	0.0	0.0	0.0	0
W <sub>Ma</sub>	90.0	0.0	0.0	0.0	0
R <sub>CIE</sub>	39.92	58.74	27.99	65.07	25
J <sub>CIE</sub>	81.26	-2.88	71.56	71.62	92
G <sub>CIE</sub>	52.23	-42.41	13.6	44.55	162
B <sub>CIE</sub>	30.57	1.41	-46.46	46.49	272

Daten für Maximalfarbe (Ma):

$LAB^*LAB^*_{Ma}$ : 47 -15 -31

$LAB^*LCH^*_{Ma}$ : 47 36 244

$lab^*rgb^*_{Ma}$ : 0.0 0.5 1.0

$lab^*olv^*_{Ma}$ : 0.0 0.85 1.0

Dreiecks-Helligkeit  $i^*$

%Umfang

$u^*_{rel} = 88$

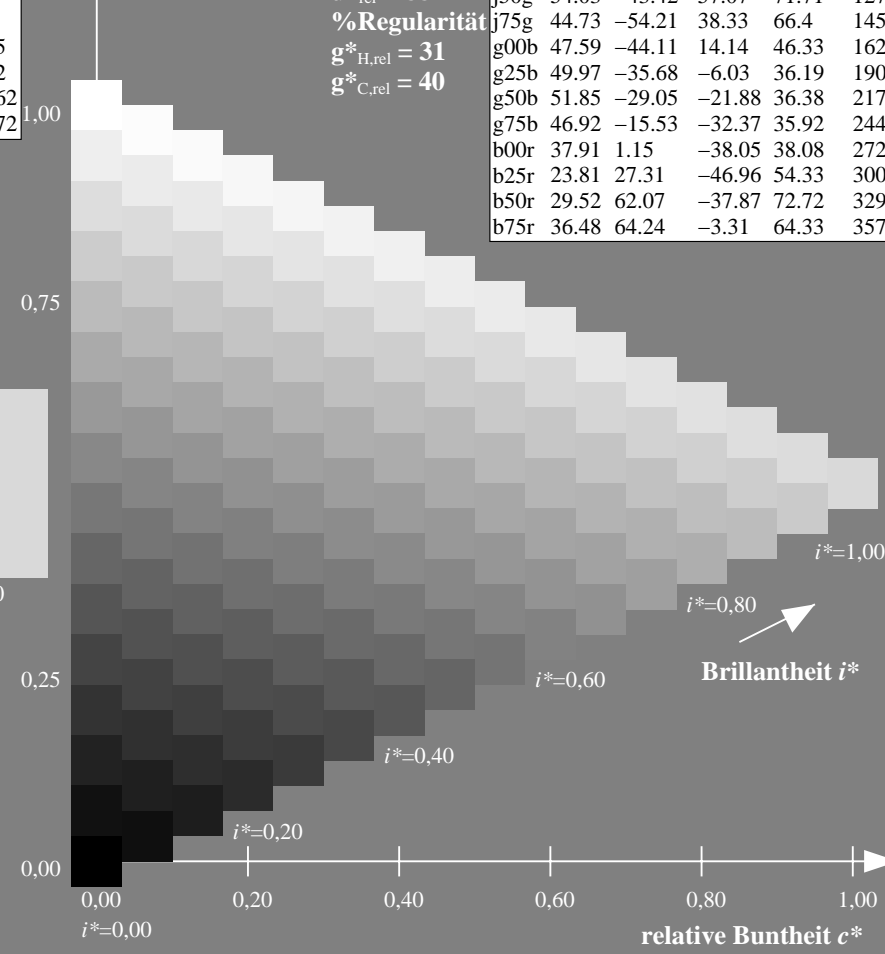
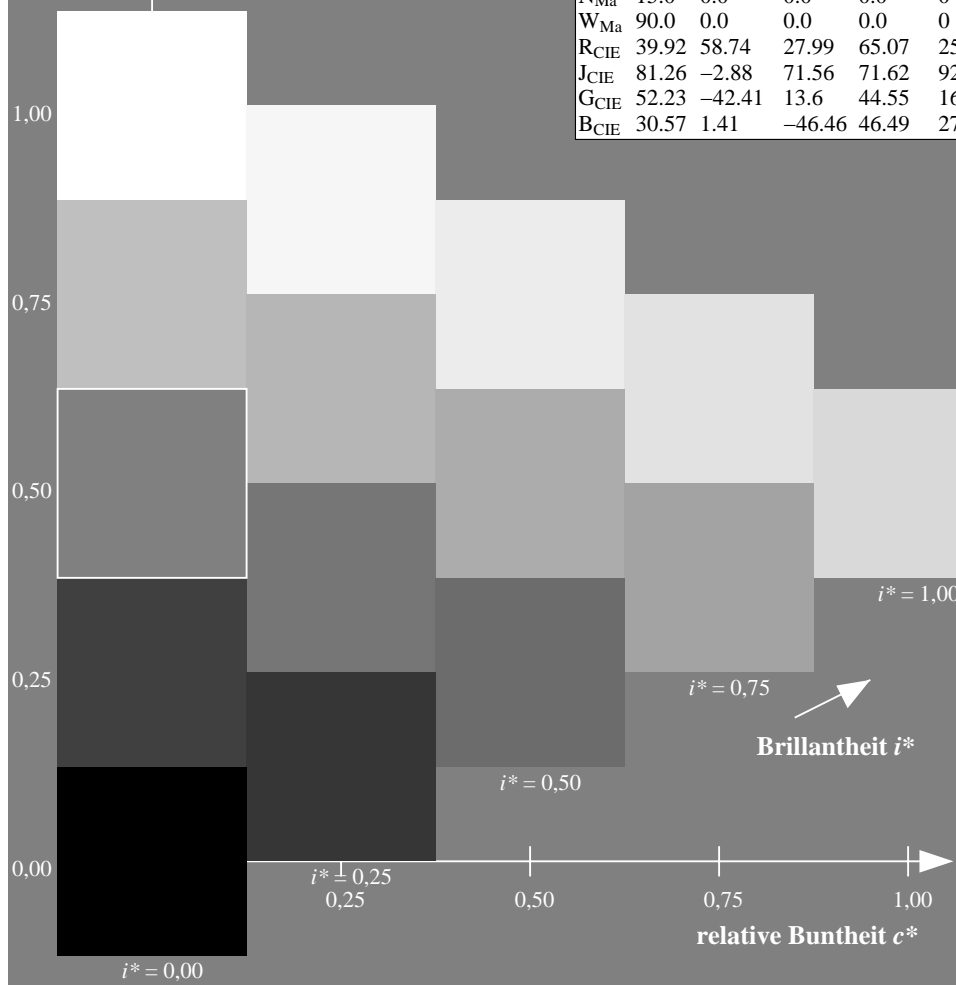
%Regularität

$g^*_{H,rel} = 31$

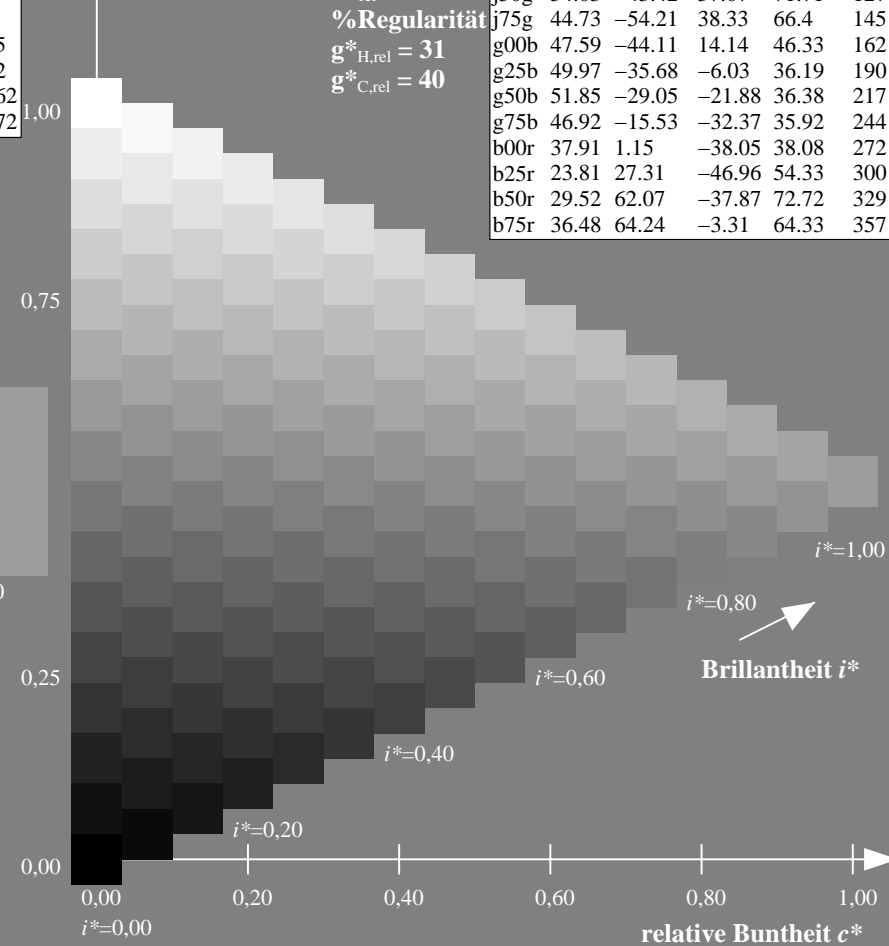
$g^*_{C,rel} = 40$

FRS15\_90a; adaptierte CIELAB-Daten

	$L^*=L_a^*$	$a_a^*$	$b_a^*$	$C_{ab,a}^*$	$h_{ab,a}^*$
r00j	35.47	56.92	27.12	63.05	25
r25j	39.12	49.04	44.45	66.19	42
r50j	50.64	35.19	58.33	68.13	59
r75j	64.01	19.11	74.45	76.87	76
j00g	83.18	-3.93	97.56	97.64	92
j25g	66.73	-26.86	74.66	79.35	110
j50g	54.03	-43.42	57.07	71.71	127
j75g	44.73	-54.21	38.33	66.4	145
g00b	47.59	-44.11	14.14	46.33	162
g25b	49.97	-35.68	-6.03	36.19	190
g50b	51.85	-29.05	-21.88	36.38	217
g75b	46.92	-15.53	-32.37	35.92	244
b00r	37.91	1.15	-38.05	38.08	272
b25r	23.81	27.31	-46.96	54.33	300
b50r	29.52	62.07	-37.87	72.72	329
b75r	36.48	64.24	-3.31	64.33	357



### Dreiecks-Helligkeit $t^*$



Ausgabe:  $\rightarrow cmy\mathbf{n}5^* \text{ setcmykcolor}$

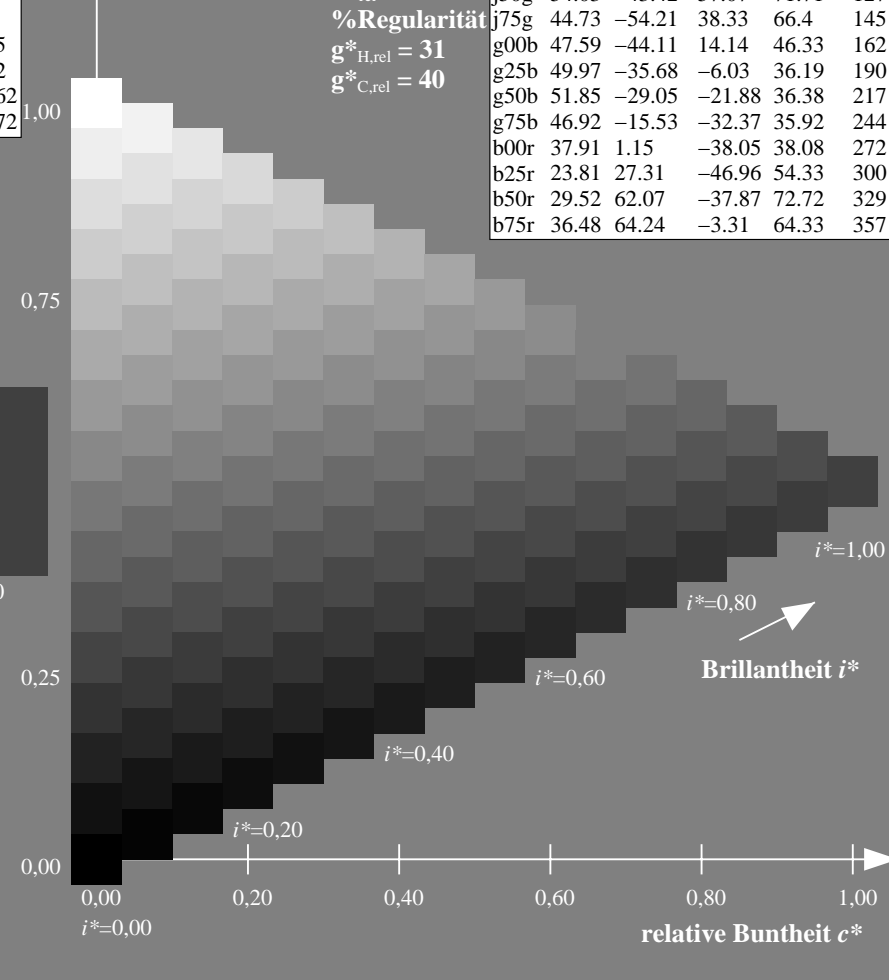
BAM-Registrierung: 20080701-Dg71/10L/L71G00NP.PS/.PDF BAM-Material: Code=rhata  
+ Anwendung für Beurteilung und Messung von Drucker- oder Monitorsystemen



### Dreiecks-Helligkeit $t^*$



### Dreiecks-Helligkeit $t^*$


$$g^*_{C,rel} = 40$$


Ausgabe:  $\rightarrow cmy\mathbf{n}5^* \text{ setcmykcolor}$

BAM-Registrierung: 20080701-Dg71/10L/L71G00NP.PS/.PDF BAM-Material: Code=rhata  
t Anwendung für Beurteilung und Messung von Drucker- oder Monitorsystemen

Ein und Ausgabe: Farbmetrisches Drucker-Reflektiv-System FRS15\_90a für relativen CIELAB-Buntton  $h^* = lab^*h^* = h_{ab}/360 = 329/360 = 0.913$

Daten für jede Farbe:

$lab^*tch^*$  und  $lab^*icu^*$

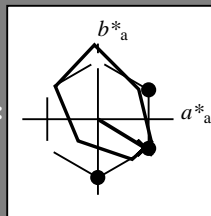
Elementar-Bunttoncontext:

$u^* = b50r$

Kontrastreduzierungsfaktor:

$c_R = 0.9$

Dreiecks-Helligkeit  $t^*$



FRS15\_90a; adaptierte CIELAB-Daten

	$L^*=L_a^*$	$a_a^*$	$b_a^*$	$C_{ab,a}^*$	$h_{ab,a}^*$
O <sub>Ma</sub>	35.06	53.93	39.55	66.88	36
Y <sub>Ma</sub>	83.77	-4.63	98.26	98.37	93
L <sub>Ma</sub>	44.13	-56.32	43.36	71.09	142
C <sub>Ma</sub>	52.66	-26.18	-28.74	38.89	228
V <sub>Ma</sub>	14.15	45.22	-53.06	69.72	310
M <sub>Ma</sub>	37.37	70.69	-30.1	76.83	337
N <sub>Ma</sub>	15.0	0.0	0.0	0.0	0
W <sub>Ma</sub>	90.0	0.0	0.0	0.0	0
R <sub>CIE</sub>	39.92	58.74	27.99	65.07	25
J <sub>CIE</sub>	81.26	-2.88	71.56	71.62	92
G <sub>CIE</sub>	52.23	-42.41	13.6	44.55	162
B <sub>CIE</sub>	30.57	1.41	-46.46	46.49	272

Daten für Maximalfarbe (Ma):

$LAB^*LAB^*Ma$ : 30 62 -37

$LAB^*LCH^*Ma$ : 30 73 329

$lab^*rgb^*Ma$ : 1.0 0.0 1.0

$lab^*olv^*Ma$ : 0.66 0.0 1.0

Dreiecks-Helligkeit  $t^*$

%Umfang

$u^*_{rel} = 88$

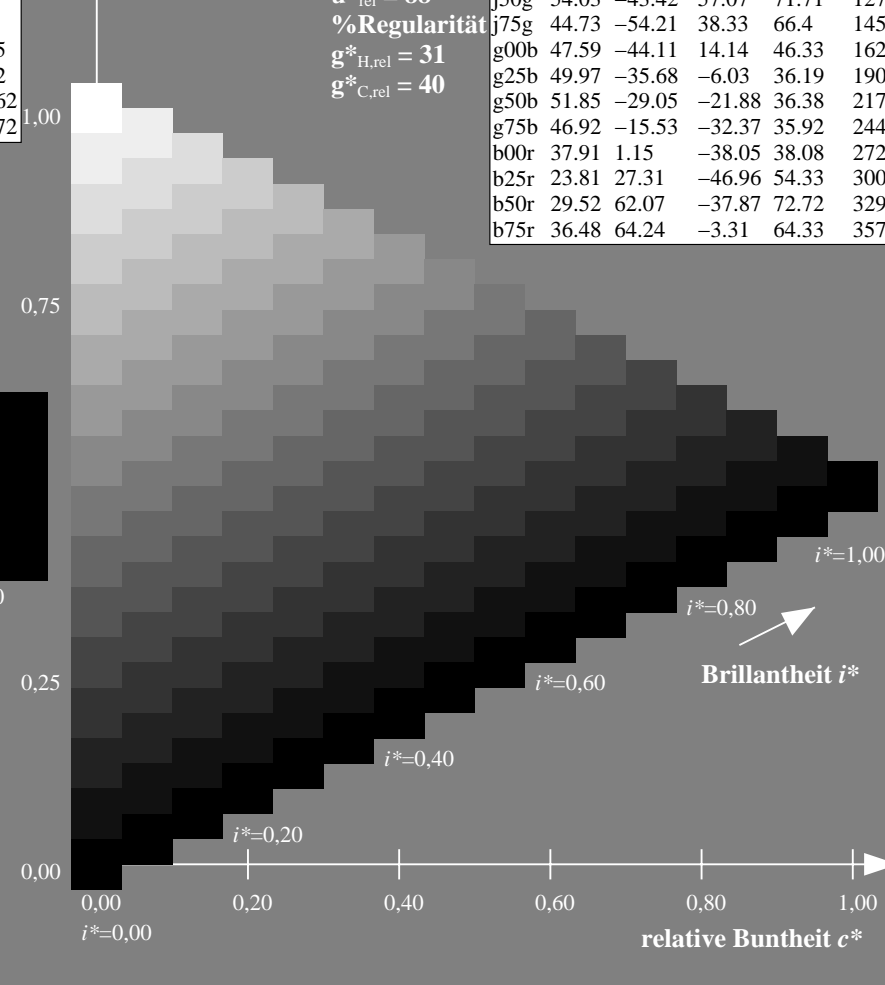
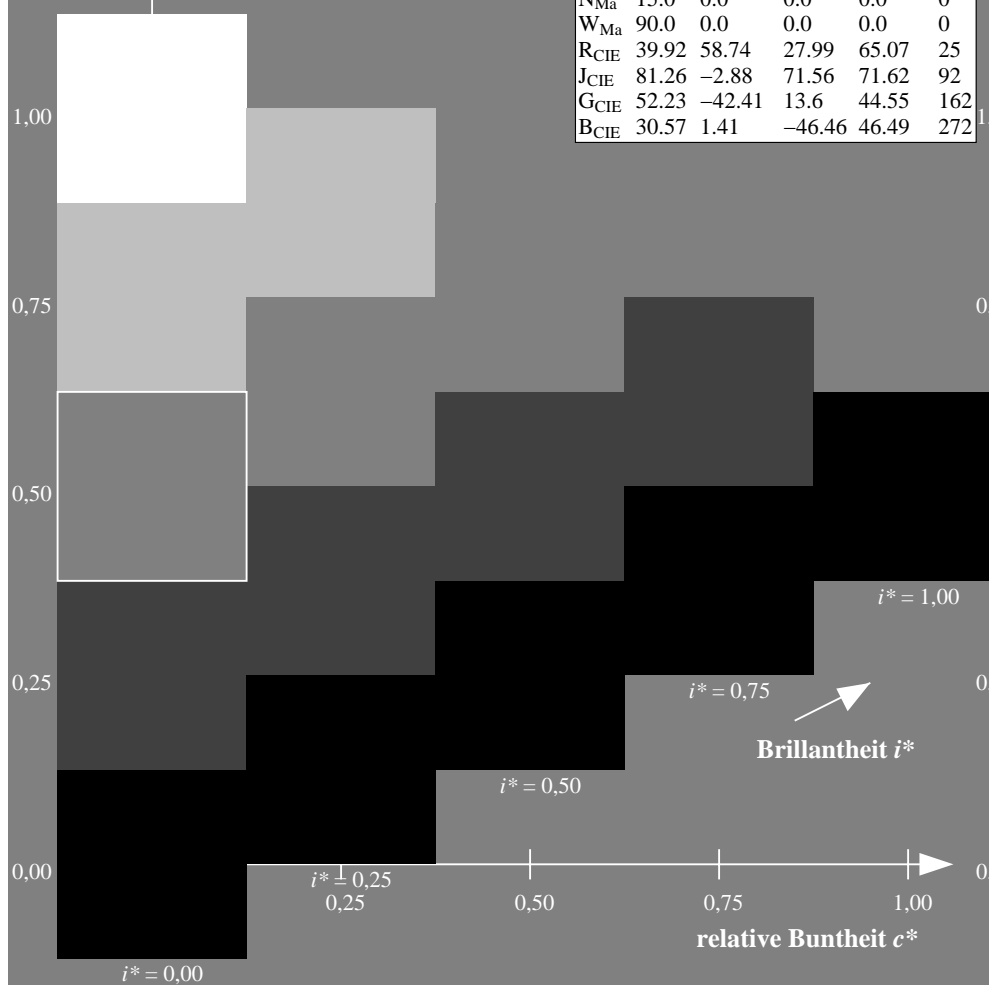
%Regularität

$g^*_{H,rel} = 31$

$g^*_{C,rel} = 40$

FRS15\_90a; adaptierte CIELAB-Daten

	$L^*=L_a^*$	$a_a^*$	$b_a^*$	$C_{ab,a}^*$	$h_{ab,a}^*$
r00j	35.47	56.92	27.12	63.05	25
r25j	39.12	49.04	44.45	66.19	42
r50j	50.64	35.19	58.33	68.13	59
r75j	64.01	19.11	74.45	76.87	76
j00g	83.18	-3.93	97.56	97.64	92
j25g	66.73	-26.86	74.66	79.35	110
j50g	54.03	-43.42	57.07	71.71	127
j75g	44.73	-54.21	38.33	66.4	145
g00b	47.59	-44.11	14.14	46.33	162
g25b	49.97	-35.68	-6.03	36.19	190
g50b	51.85	-29.05	-21.88	36.38	217
g75b	46.92	-15.53	-32.37	35.92	244
b00r	37.91	1.15	-38.05	38.08	272
b25r	23.81	27.31	-46.96	54.33	300
b50r	29.52	62.07	-37.87	72.72	329
b75r	36.48	64.24	-3.31	64.33	357



Ein und Ausgabe: Farbmetrisches Drucker-Reflektiv-System FRS15\_90a für relativen CIELAB-Buntton  $h^* = lab^*h^* = h_{ab}/360 = 357/360 = 0.992$

Daten für jede Farbe:

$lab^*ch^*$  und  $lab^*icu^*$

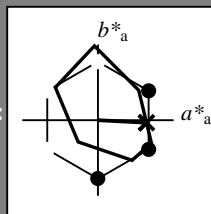
Elementar-Bunttoncontext:

$u^* = b75r$

Kontrastreduzierungsfaktor:

$c_R = 0.9$

Dreiecks-Helligkeit  $i^*$



FRS15\_90a; adaptierte CIELAB-Daten

	$L^*=L_a^*$	$a_a^*$	$b_a^*$	$C_{ab,a}^*$	$h_{ab,a}^*$
O <sub>Ma</sub>	35.06	53.93	39.55	66.88	36
Y <sub>Ma</sub>	83.77	-4.63	98.26	98.37	93
L <sub>Ma</sub>	44.13	-56.32	43.36	71.09	142
C <sub>Ma</sub>	52.66	-26.18	-28.74	38.89	228
V <sub>Ma</sub>	14.15	45.22	-53.06	69.72	310
M <sub>Ma</sub>	37.37	70.69	-30.1	76.83	337
N <sub>Ma</sub>	15.0	0.0	0.0	0.0	0
W <sub>Ma</sub>	90.0	0.0	0.0	0.0	0
R <sub>CIE</sub>	39.92	58.74	27.99	65.07	25
J <sub>CIE</sub>	81.26	-2.88	71.56	71.62	92
G <sub>CIE</sub>	52.23	-42.41	13.6	44.55	162
B <sub>CIE</sub>	30.57	1.41	-46.46	46.49	272

Daten für Maximalfarbe (Ma):

$LAB^*LAB^*Ma$ : 36 64 -2

$LAB^*LCH^*Ma$ : 36 64 357

$lab^*rgb^*Ma$ : 1.0 0.0 0.5

$lab^*olv^*Ma$ : 1.0 0.0 0.62

Dreiecks-Helligkeit  $i^*$

%Umfang

$u^*_{rel} = 88$

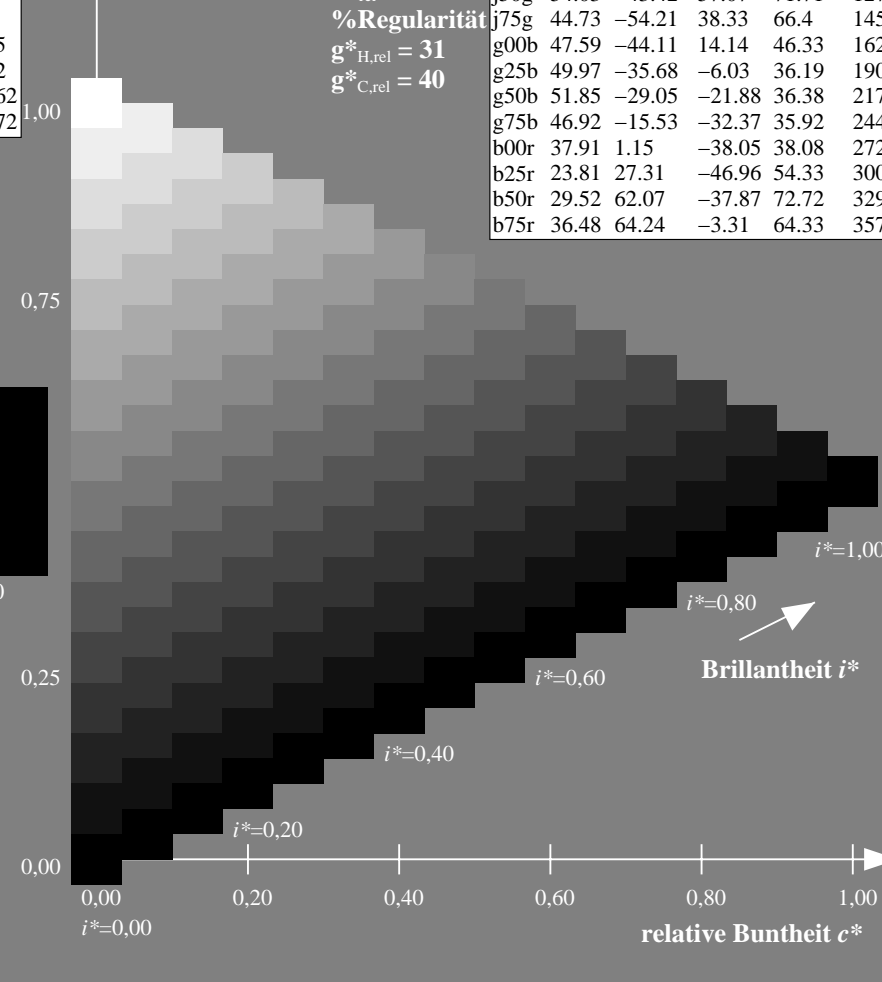
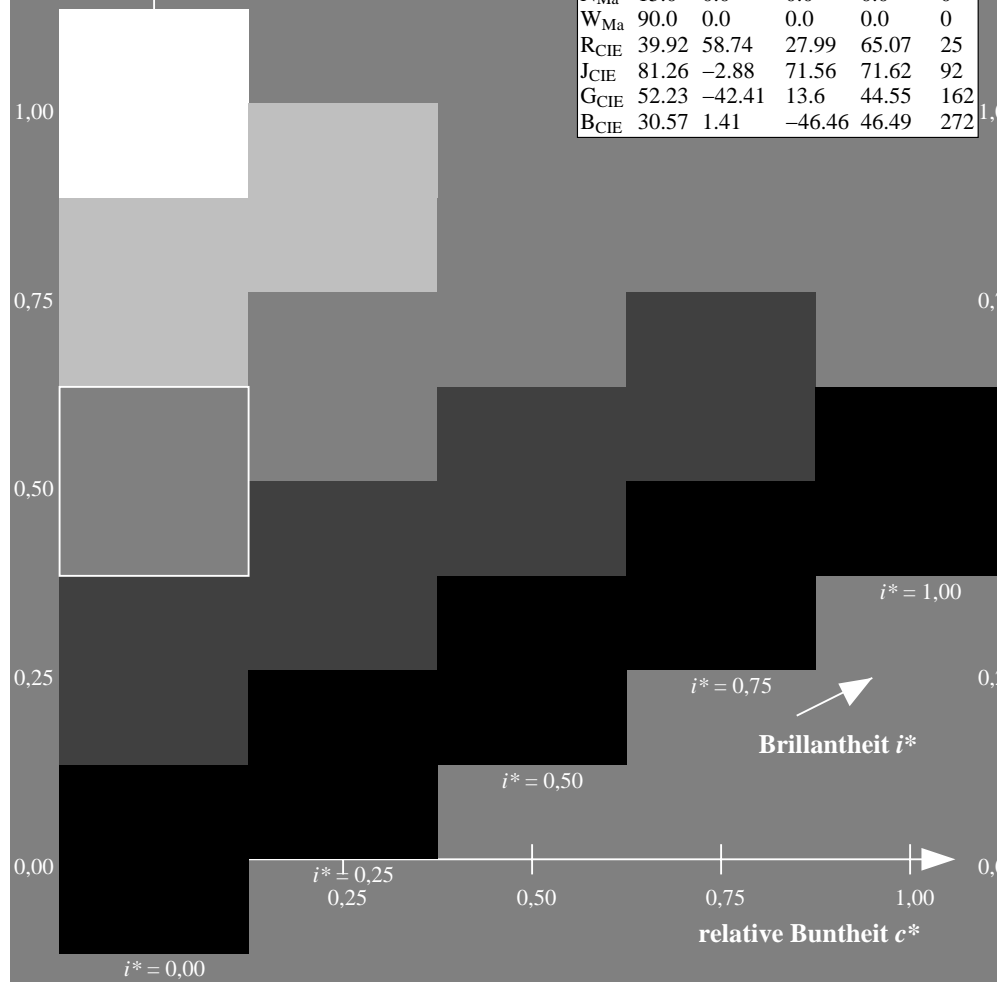
%Regularität

$g^*_{H,rel} = 31$

$g^*_{C,rel} = 40$

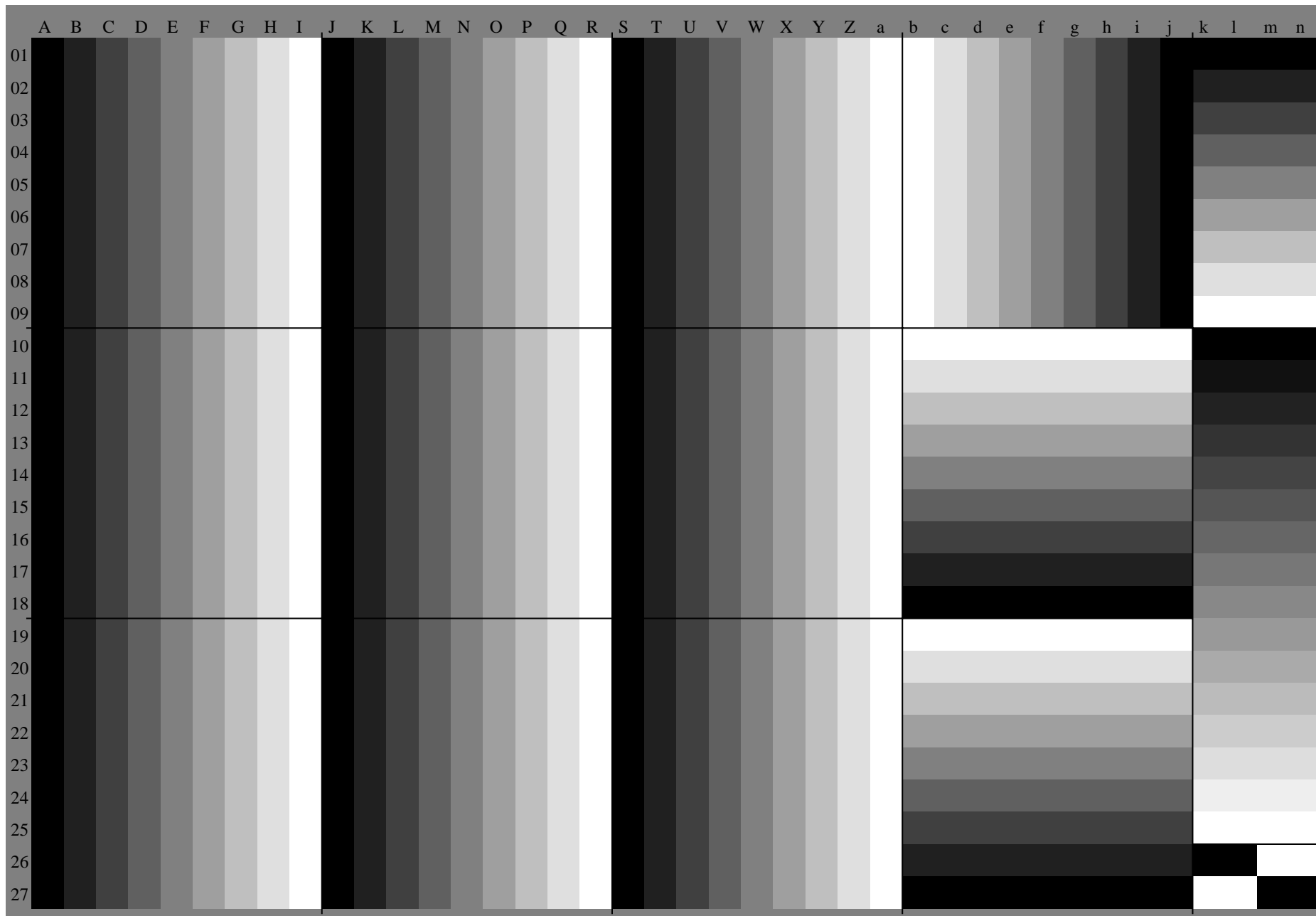
FRS15\_90a; adaptierte CIELAB-Daten

	$L^*=L_a^*$	$a_a^*$	$b_a^*$	$C_{ab,a}^*$	$h_{ab,a}^*$
r00j	35.47	56.92	27.12	63.05	25
r25j	39.12	49.04	44.45	66.19	42
r50j	50.64	35.19	58.33	68.13	59
r75j	64.01	19.11	74.45	76.87	76
j00g	83.18	-3.93	97.56	97.64	92
j25g	66.73	-26.86	74.66	79.35	110
j50g	54.03	-43.42	57.07	71.71	127
j75g	44.73	-54.21	38.33	66.4	145
g00b	47.59	-44.11	14.14	46.33	162
g25b	49.97	-35.68	-6.03	36.19	190
g50b	51.85	-29.05	-21.88	36.38	217
g75b	46.92	-15.53	-32.37	35.92	244
b00r	37.91	1.15	-38.05	38.08	272
b25r	23.81	27.31	-46.96	54.33	300
b50r	29.52	62.07	-37.87	72.72	329
b75r	36.48	64.24	-3.31	64.33	357



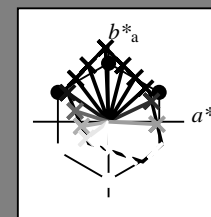
Siehe ähnliche Dateien: <http://www.ps.bam.de/Dg71/>; [www.ps.bam.de/Dg71/10L/L71G00NP.PS/.PDF](http://www.ps.bam.de/Dg71/10L/L71G00NP.PS/.PDF) BAM-Material: Code=rh4ta  
Technische Information: <http://www.ps.bam.de> Version 2.1, io=1,1, ColSpx=0

BAM-Registrierung: 20080701-Dg71/10L/L71G00NP.PS/.PDF BAM-Material: Code=rh4ta  
Anwendung für Beurteilung und Messung von Drucker- oder Monitorsystemen



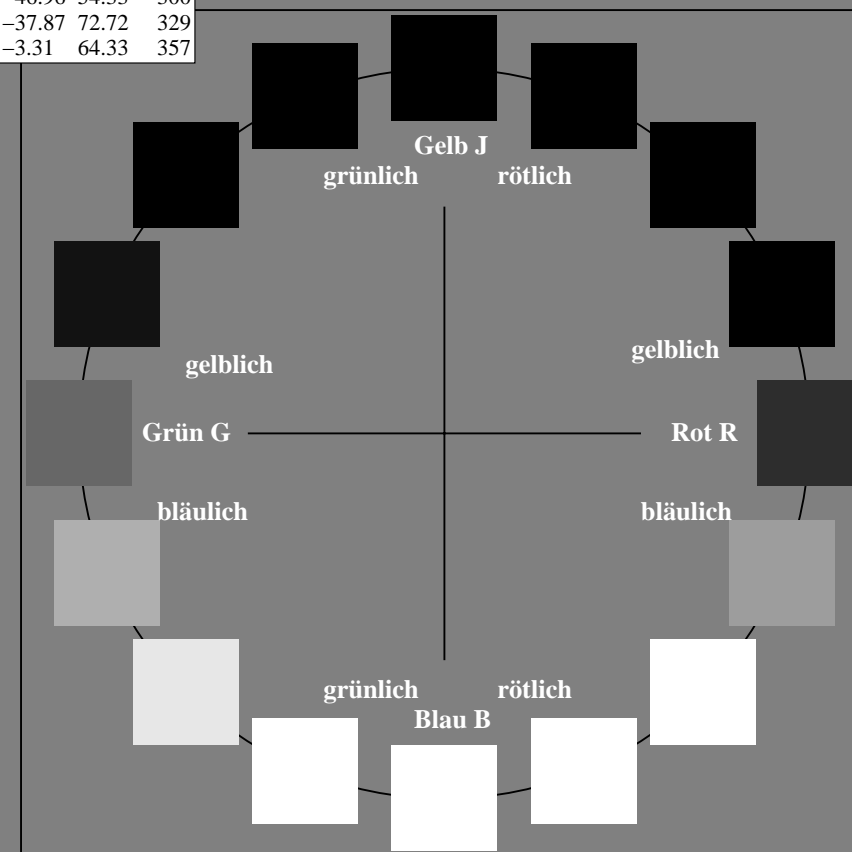
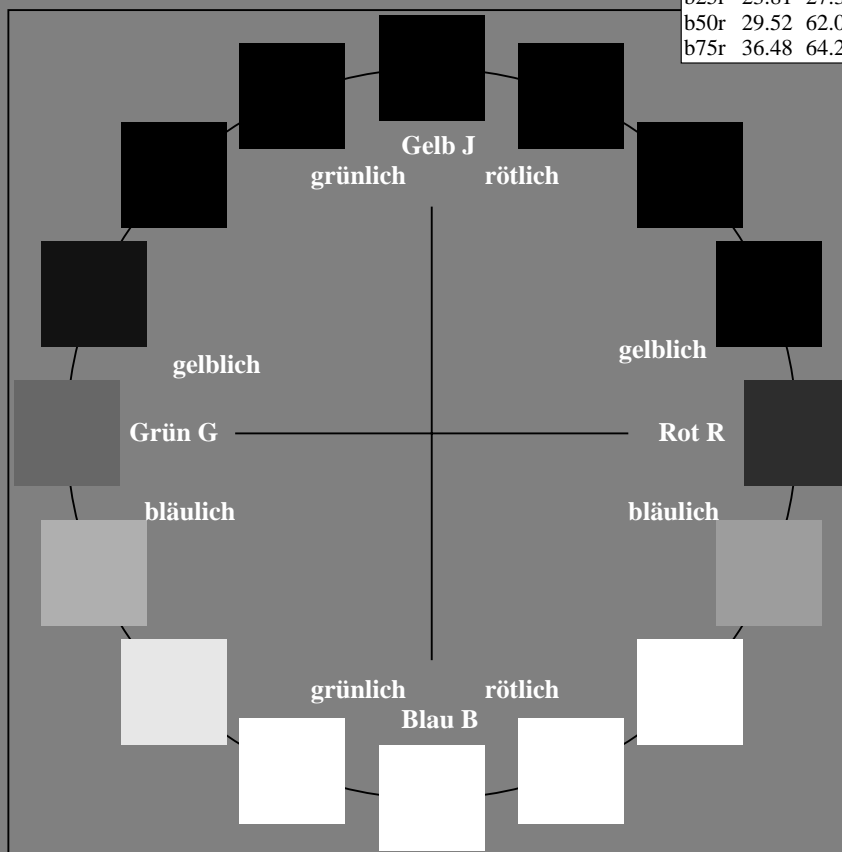
Ein und Ausgabe:  
Farbmetrisches Drucker-Reflektiv-System FRS15\_90a  
Daten für jede Farbe:  
*lab\*<sub>ich</sub>*\* und *lab\*<sub>icu</sub>*\*  
Elementar-Bunttontext:  
*u\** = 16 Bunttöne *r00j*, *r25j*, ..., *b75r*  
Kontrastreduzierungsfaktor:  
*c<sub>R</sub>* = 0.9

FRS15_90a; adaptierte CIELAB-Daten					
	<i>L*</i> = <i>L*</i> <sub>a</sub>	<i>a*</i> <sub>a</sub>	<i>b*</i> <sub>a</sub>	<i>C*</i> <sub>ab,a</sub>	<i>h*</i> <sub>ab,a</sub>
r00j	35.47	56.92	27.12	63.05	25
r25j	39.12	49.04	44.45	66.19	42
r50j	50.64	35.19	58.33	68.13	59
r75j	64.01	19.11	74.45	76.87	76
j00g	83.18	-3.93	97.56	97.64	92
j25g	66.73	-26.86	74.66	79.35	110
j50g	54.03	-43.42	57.07	71.71	127
j75g	44.73	-54.21	38.33	66.4	145
g00b	47.59	-44.11	14.14	46.33	162
g25b	49.97	-35.68	-6.03	36.19	190
g50b	51.85	-29.05	-21.88	36.38	217
g75b	46.92	-15.53	-32.37	35.92	244
b00r	37.91	1.15	-38.05	38.08	272
b25r	23.81	27.31	-46.96	54.33	300
b50r	29.52	62.07	-37.87	72.72	329
b75r	36.48	64.24	-3.31	64.33	357



%Umfang  
*u\**<sub>rel</sub> = 88  
%Regularität  
*g\**<sub>H,rel</sub> = 31  
*g\**<sub>C,rel</sub> = 40

FRS15_90a; adaptierte CIELAB-Daten					
	<i>L*</i> = <i>L*</i> <sub>a</sub>	<i>a*</i> <sub>a</sub>	<i>b*</i> <sub>a</sub>	<i>C*</i> <sub>ab,a</sub>	<i>h*</i> <sub>ab,a</sub>
O <sub>Ma</sub>	35.06	53.93	39.55	66.88	36
Y <sub>Ma</sub>	83.77	-4.63	98.26	98.37	93
L <sub>Ma</sub>	44.13	-56.32	43.36	71.09	142
C <sub>Ma</sub>	52.66	-26.18	-28.74	38.89	228
V <sub>Ma</sub>	14.15	45.22	-53.06	69.72	310
M <sub>Ma</sub>	37.37	70.69	-30.1	76.83	337
N <sub>Ma</sub>	15.0	0.0	0.0	0.0	0
W <sub>Ma</sub>	90.0	0.0	0.0	0.0	0
R <sub>CIE</sub>	39.92	58.74	27.99	65.07	25
J <sub>CIE</sub>	81.26	-2.88	71.56	71.62	92
G <sub>CIE</sub>	52.23	-42.41	13.6	44.55	162
B <sub>CIE</sub>	30.57	1.41	-46.46	46.49	272



Ein und Ausgabe: Farbmetrisches Drucker-Reflektiv-System FRS15\_90a für relativen CIELAB-Buntton  $h^* = lab^*h^* = h_{ab}/360 = 25/360 = 0.071$

Daten für jede Farbe:

$lab^*ch^*$  und  $lab^*icu^*$

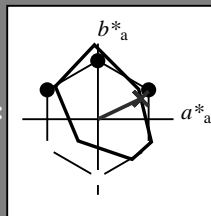
Elementar-Bunttontext:

$u^* = r00j$

Kontrastreduzierungsfaktor:

$c_R = 0.9$

Dreiecks-Helligkeit  $i^*$



FRS15_90a; adaptierte CIELAB-Daten					
	$L^*=L^*_a$	$a^*_a$	$b^*_a$	$C^*_{ab,a}$	$h^*_{ab,a}$
O <sub>Ma</sub>	35.06	53.93	39.55	66.88	36
Y <sub>Ma</sub>	83.77	-4.63	98.26	98.37	93
L <sub>Ma</sub>	44.13	-56.32	43.36	71.09	142
C <sub>Ma</sub>	52.66	-26.18	-28.74	38.89	228
V <sub>Ma</sub>	14.15	45.22	-53.06	69.72	310
M <sub>Ma</sub>	37.37	70.69	-30.1	76.83	337
N <sub>Ma</sub>	15.0	0.0	0.0	0.0	0
W <sub>Ma</sub>	90.0	0.0	0.0	0.0	0
R <sub>CIE</sub>	39.92	58.74	27.99	65.07	25
J <sub>CIE</sub>	81.26	-2.88	71.56	71.62	92
G <sub>CIE</sub>	52.23	-42.41	13.6	44.55	162
B <sub>CIE</sub>	30.57	1.41	-46.46	46.49	272

Daten für Maximalfarbe (Ma):

$LAB^*LAB^*Ma$ : 35 57 27

$LAB^*LCH^*Ma$ : 35 63 25

$lab^*rgb^*Ma$ : 1.0 0.0 0.0

$lab^*olv^*Ma$ : 1.0 0.0 0.18

Dreiecks-Helligkeit  $i^*$

%Umfang

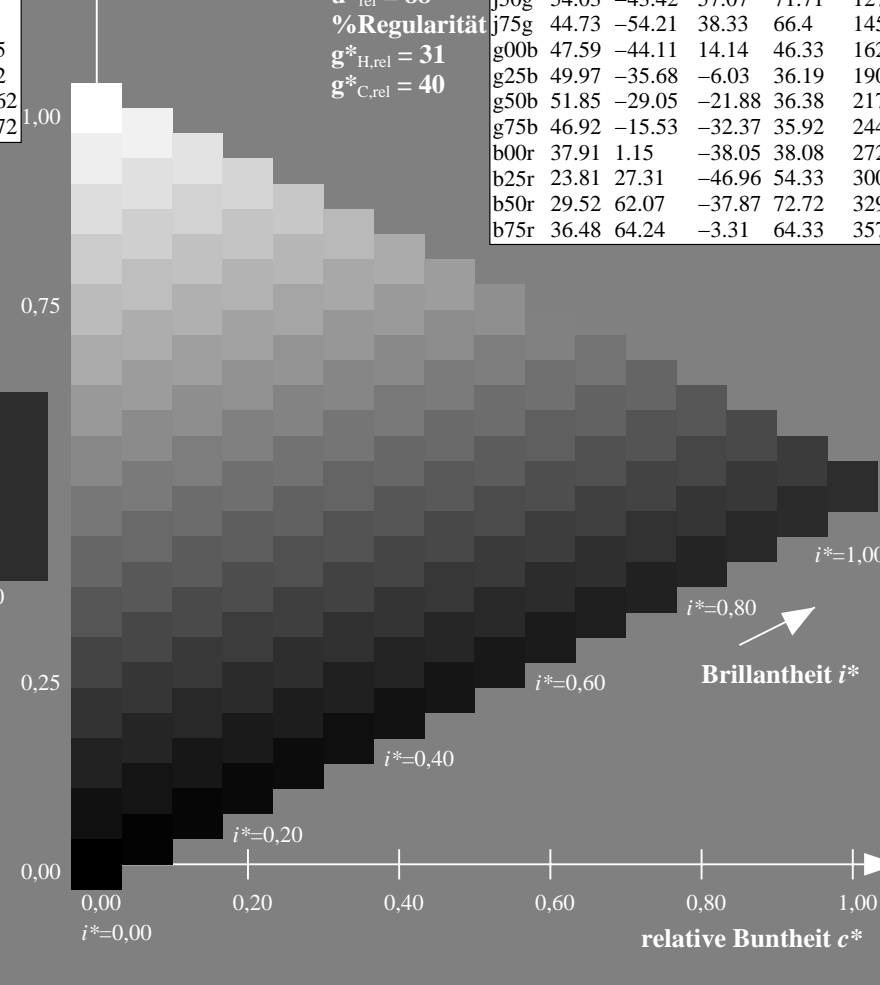
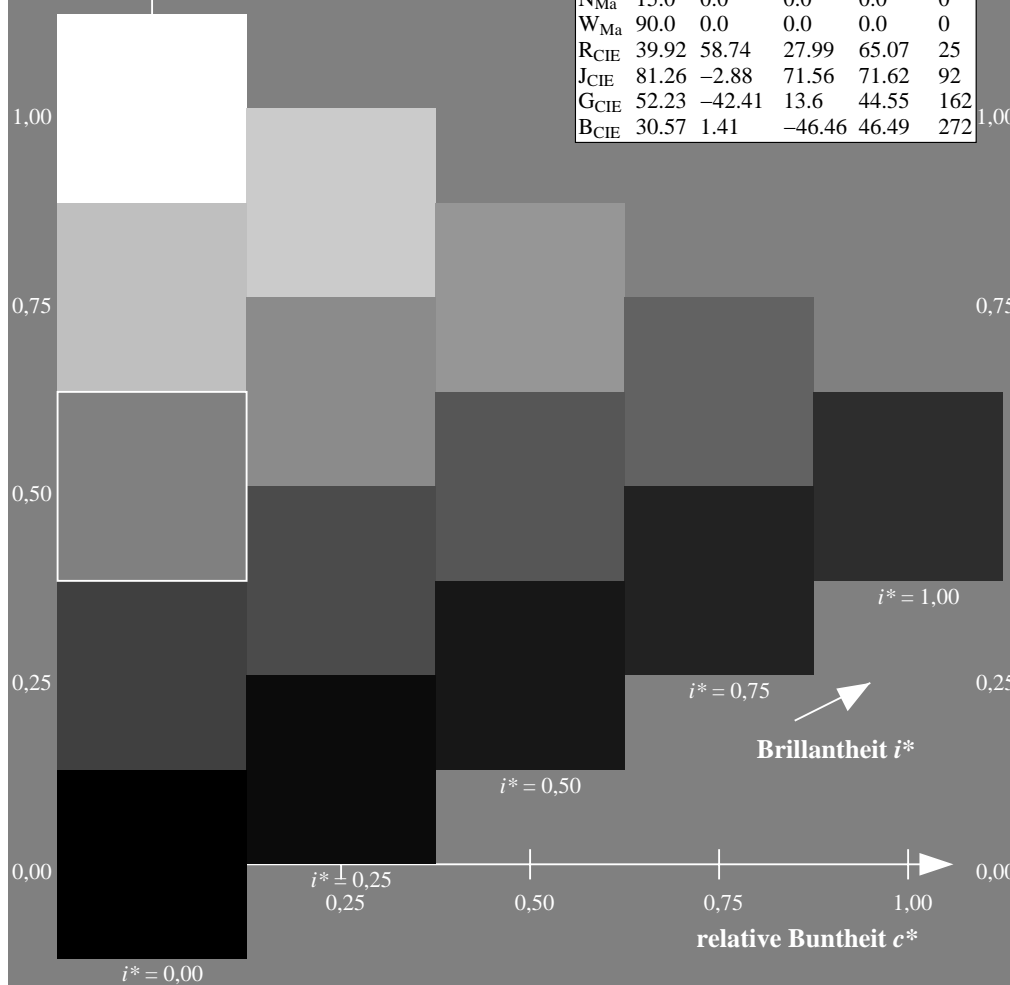
$u^*_{rel} = 88$

%Regularität

$g^*_{H,rel} = 31$

$g^*_{C,rel} = 40$

FRS15_90a; adaptierte CIELAB-Daten					
	$L^*=L^*_a$	$a^*_a$	$b^*_a$	$C^*_{ab,a}$	$h^*_{ab,a}$
r00j	35.47	56.92	27.12	63.05	25
r25j	39.12	49.04	44.45	66.19	42
r50j	50.64	35.19	58.33	68.13	59
r75j	64.01	19.11	74.45	76.87	76
j00g	83.18	-3.93	97.56	97.64	92
j25g	66.73	-26.86	74.66	79.35	110
j50g	54.03	-43.42	57.07	71.71	127
j75g	44.73	-54.21	38.33	66.4	145
g00b	47.59	-44.11	14.14	46.33	162
g25b	49.97	-35.68	-6.03	36.19	190
g50b	51.85	-29.05	-21.88	36.38	217
g75b	46.92	-15.53	-32.37	35.92	244
b00r	37.91	1.15	-38.05	38.08	272
b25r	23.81	27.31	-46.96	54.33	300
b50r	29.52	62.07	-37.87	72.72	329
b75r	36.48	64.24	-3.31	64.33	357





Ein und Ausgabe: Farbmetrisches Drucker-Reflektiv-System FRS15\_90a für relativen CIELAB-Buntton  $h^* = lab^*h^* = h_{ab}/360 = 42/360 = 0.117$

Daten für jede Farbe:

$lab^*ch^*$  und  $lab^*icu^*$

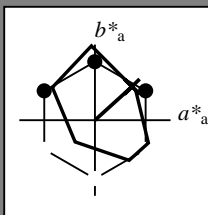
Elementar-Bunttoncontext:

$u^* = r25j$

Kontrastreduzierungsfaktor:

$c_R = 0.9$

Dreiecks-Helligkeit  $i^*$



FRS15\_90a; adaptierte CIELAB-Daten

	$L^*=L^*_a$	$a^*_a$	$b^*_a$	$C^*_{ab,a}$	$h^*_{ab,a}$
O <sub>Ma</sub>	35.06	53.93	39.55	66.88	36
Y <sub>Ma</sub>	83.77	-4.63	98.26	98.37	93
L <sub>Ma</sub>	44.13	-56.32	43.36	71.09	142
C <sub>Ma</sub>	52.66	-26.18	-28.74	38.89	228
V <sub>Ma</sub>	14.15	45.22	-53.06	69.72	310
M <sub>Ma</sub>	37.37	70.69	-30.1	76.83	337
N <sub>Ma</sub>	15.0	0.0	0.0	0.0	0
W <sub>Ma</sub>	90.0	0.0	0.0	0.0	0
R <sub>CIE</sub>	39.92	58.74	27.99	65.07	25
J <sub>CIE</sub>	81.26	-2.88	71.56	71.62	92
G <sub>CIE</sub>	52.23	-42.41	13.6	44.55	162
B <sub>CIE</sub>	30.57	1.41	-46.46	46.49	272

Daten für Maximalfarbe (Ma):

$LAB^*LAB^*_{Ma}$ : 39 49 44

$LAB^*LCH^*_{Ma}$ : 39 66 42

$lab^*rgb^*_{Ma}$ : 1.0 0.25 0.0

$lab^*olv^*_{Ma}$ : 1.0 0.08 0.0

Dreiecks-Helligkeit  $i^*$

%Umfang

$u^*_{rel} = 88$

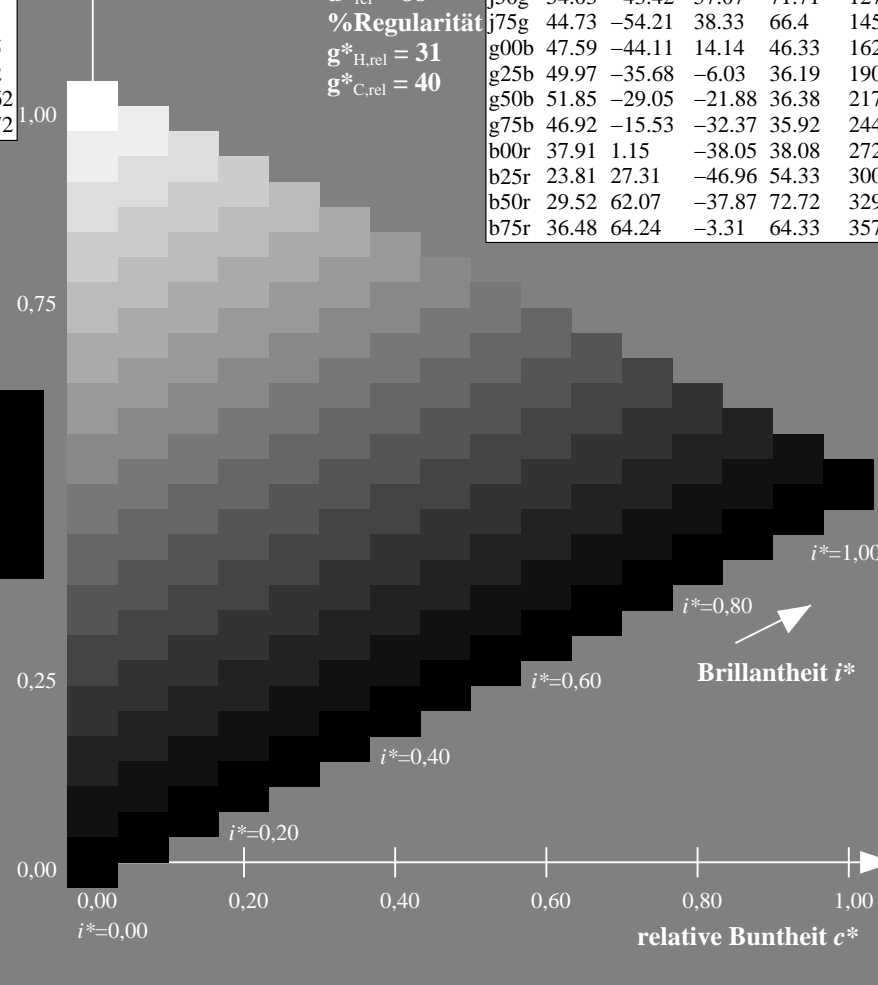
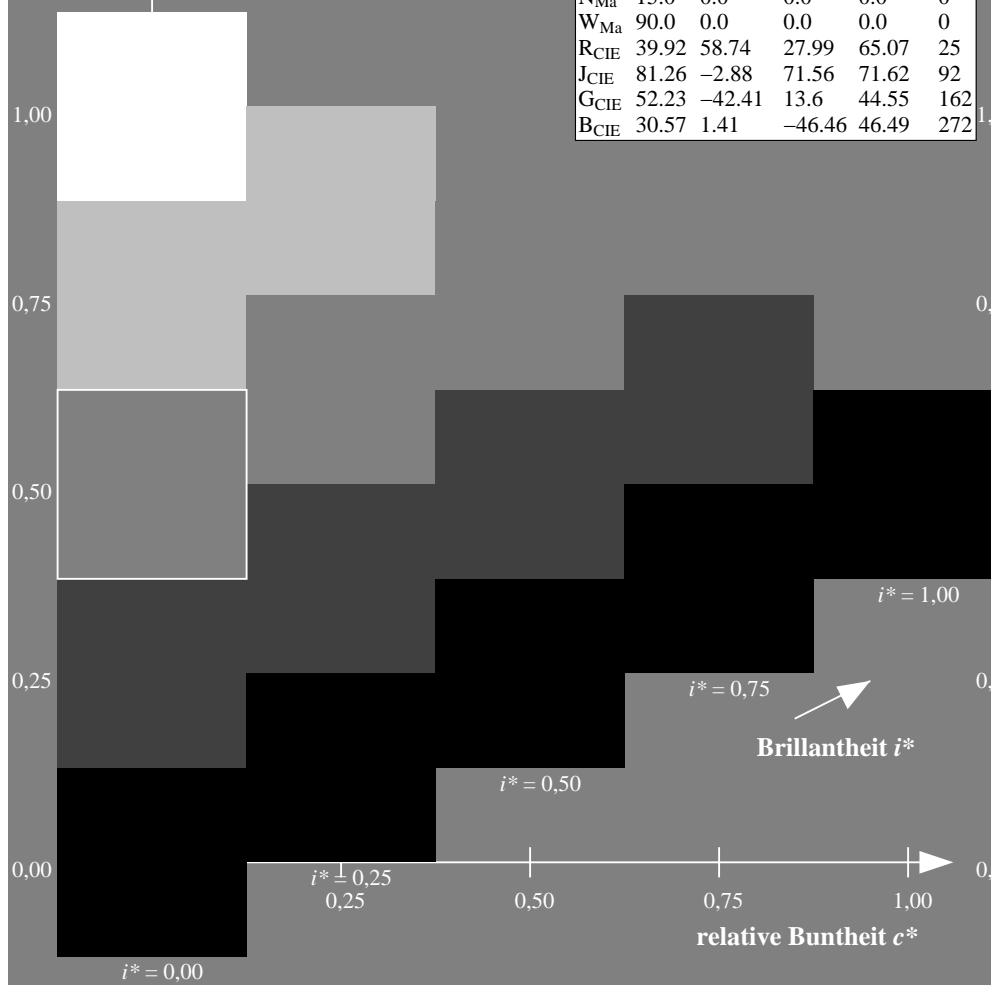
%Regularität

$g^*_{H,rel} = 31$

$g^*_{C,rel} = 40$

FRS15\_90a; adaptierte CIELAB-Daten

	$L^*=L^*_a$	$a^*_a$	$b^*_a$	$C^*_{ab,a}$	$h^*_{ab,a}$
r00j	35.47	56.92	27.12	63.05	25
r25j	39.12	49.04	44.45	66.19	42
r50j	50.64	35.19	58.33	68.13	59
r75j	64.01	19.11	74.45	76.87	76
j00g	83.18	-3.93	97.56	97.64	92
j25g	66.73	-26.86	74.66	79.35	110
j50g	54.03	-43.42	57.07	71.71	127
j75g	44.73	-54.21	38.33	66.4	145
g00b	47.59	-44.11	14.14	46.33	162
g25b	49.97	-35.68	-6.03	36.19	190
g50b	51.85	-29.05	-21.88	36.38	217
g75b	46.92	-15.53	-32.37	35.92	244
b00r	37.91	1.15	-38.05	38.08	272
b25r	23.81	27.31	-46.96	54.33	300
b50r	29.52	62.07	-37.87	72.72	329
b75r	36.48	64.24	-3.31	64.33	357



Ein und Ausgabe: Farbmetrisches Drucker-Reflektiv-System FRS15\_90a für relativen CIELAB-Buntton  $h^* = lab^*h^* = h_{ab}/360 = 59/360 = 0.164$

Daten für jede Farbe:

$lab^*ch^*$  und  $lab^*icu^*$

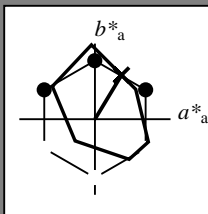
Elementar-Bunttontext:

$u^* = r50j$

Kontrastreduzierungsfaktor:

$c_R = 0.9$

Dreiecks-Helligkeit  $i^*$



FRS15\_90a; adaptierte CIELAB-Daten

	$L^*=L^*_a$	$a^*_a$	$b^*_a$	$C^*_{ab,a}$	$h^*_{ab,a}$
O <sub>Ma</sub>	35.06	53.93	39.55	66.88	36
Y <sub>Ma</sub>	83.77	-4.63	98.26	98.37	93
L <sub>Ma</sub>	44.13	-56.32	43.36	71.09	142
C <sub>Ma</sub>	52.66	-26.18	-28.74	38.89	228
V <sub>Ma</sub>	14.15	45.22	-53.06	69.72	310
M <sub>Ma</sub>	37.37	70.69	-30.1	76.83	337
N <sub>Ma</sub>	15.0	0.0	0.0	0.0	0
W <sub>Ma</sub>	90.0	0.0	0.0	0.0	0
R <sub>CIE</sub>	39.92	58.74	27.99	65.07	25
J <sub>CIE</sub>	81.26	-2.88	71.56	71.62	92
G <sub>CIE</sub>	52.23	-42.41	13.6	44.55	162
B <sub>CIE</sub>	30.57	1.41	-46.46	46.49	272

Daten für Maximalfarbe (Ma):

$LAB^*LAB^*_{Ma}$ : 51 35 58

$LAB^*LCH^*_{Ma}$ : 51 68 59

$lab^*rgb^*_{Ma}$ : 1.0 0.5 0.0

$lab^*olv^*_{Ma}$ : 1.0 0.32 0.0

Dreiecks-Helligkeit  $i^*$

%Umfang

$u^*_{rel} = 88$

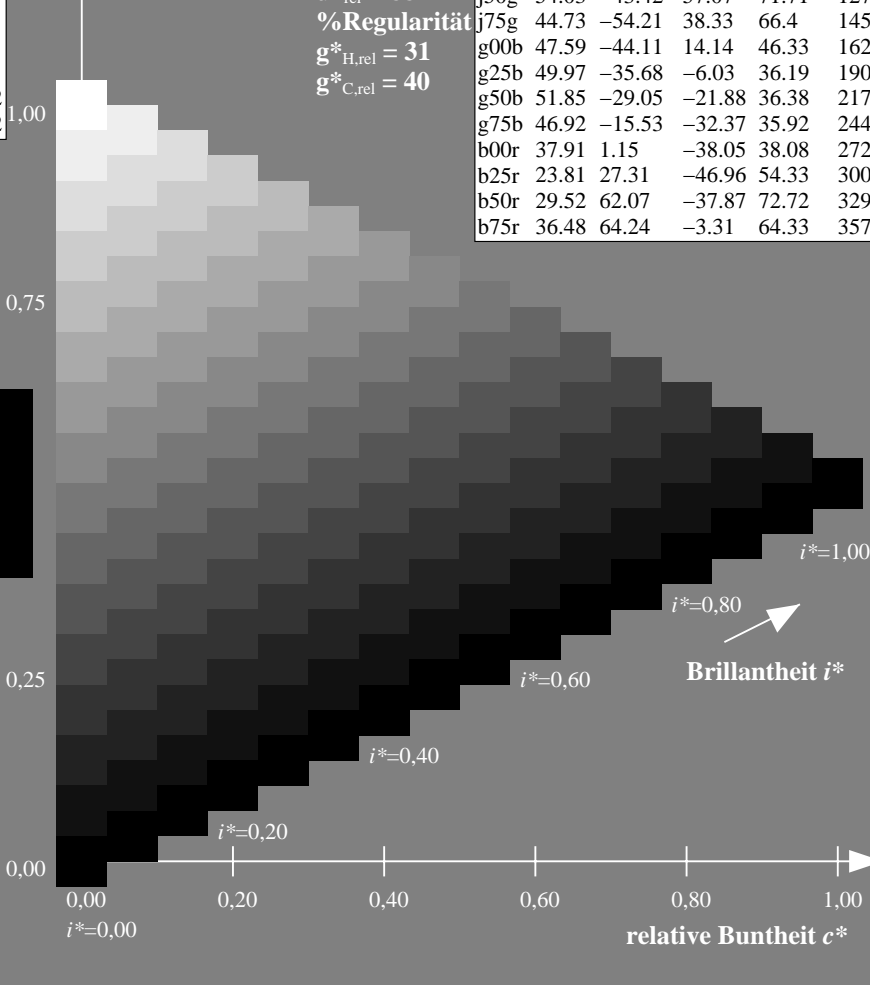
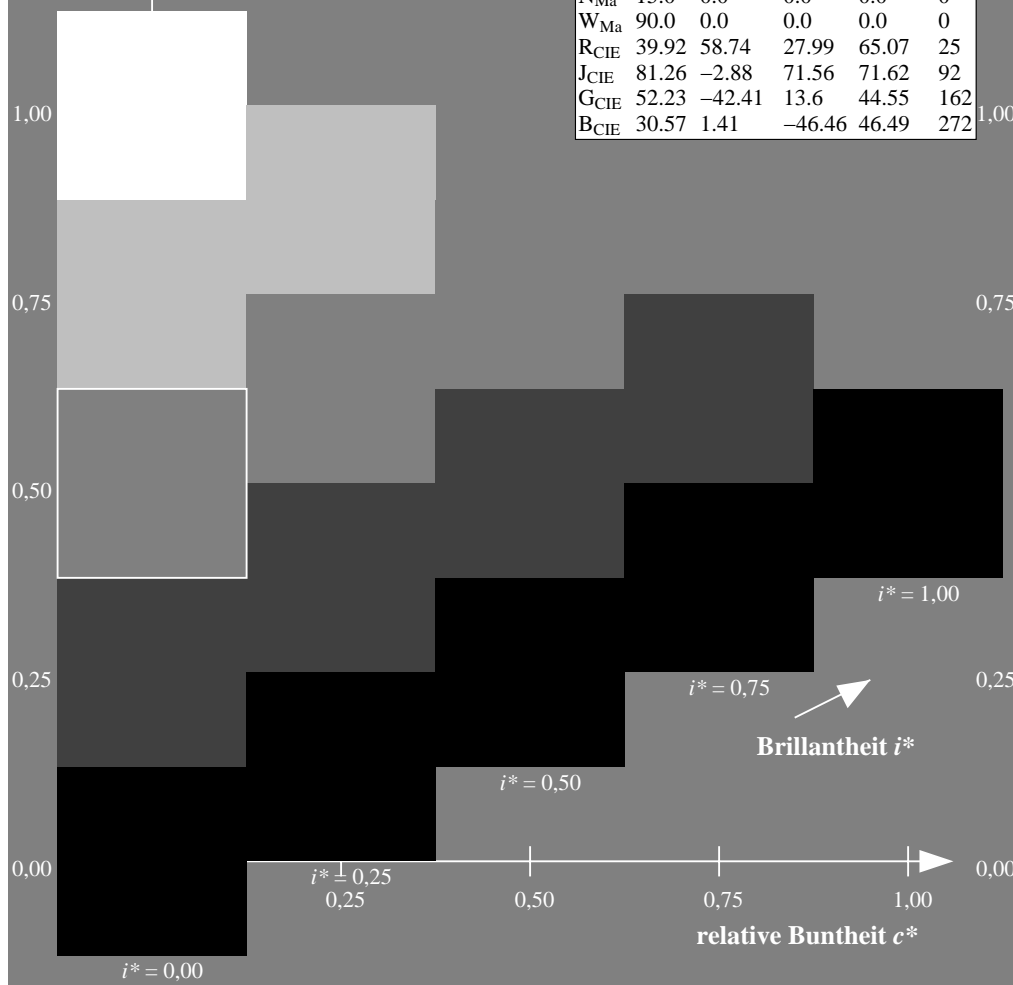
%Regularität

$g^*_{H,rel} = 31$

$g^*_{C,rel} = 40$

FRS15\_90a; adaptierte CIELAB-Daten

	$L^*=L^*_a$	$a^*_a$	$b^*_a$	$C^*_{ab,a}$	$h^*_{ab,a}$
r00j	35.47	56.92	27.12	63.05	25
r25j	39.12	49.04	44.45	66.19	42
r50j	50.64	35.19	58.33	68.13	59
r75j	64.01	19.11	74.45	76.87	76
j00g	83.18	-3.93	97.56	97.64	92
j25g	66.73	-26.86	74.66	79.35	110
j50g	54.03	-43.42	57.07	71.71	127
j75g	44.73	-54.21	38.33	66.4	145
g00b	47.59	-44.11	14.14	46.33	162
g25b	49.97	-35.68	-6.03	36.19	190
g50b	51.85	-29.05	-21.88	36.38	217
g75b	46.92	-15.53	-32.37	35.92	244
b00r	37.91	1.15	-38.05	38.08	272
b25r	23.81	27.31	-46.96	54.33	300
b50r	29.52	62.07	-37.87	72.72	329
b75r	36.48	64.24	-3.31	64.33	357



Ein und Ausgabe: Farbmetrisches Drucker-Reflektiv-System FRS15\_90a für relativen CIELAB-Buntton  $h^* = lab^*h^* = h_{ab}/360 = 76/360 = 0.21$

Daten für jede Farbe:

$lab^*ch^*$  und  $lab^*icu^*$

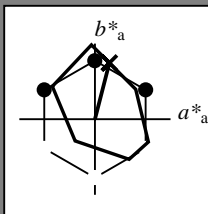
Elementar-Bunttoncontext:

$u^* = r75j$

Kontrastreduzierungsfaktor:

$c_R = 0.9$

Dreiecks-Helligkeit  $i^*$



FRS15\_90a; adaptierte CIELAB-Daten

	$L^*=L_a^*$	$a_a^*$	$b_a^*$	$C_{ab,a}^*$	$h_{ab,a}^*$
O <sub>Ma</sub>	35.06	53.93	39.55	66.88	36
Y <sub>Ma</sub>	83.77	-4.63	98.26	98.37	93
L <sub>Ma</sub>	44.13	-56.32	43.36	71.09	142
C <sub>Ma</sub>	52.66	-26.18	-28.74	38.89	228
V <sub>Ma</sub>	14.15	45.22	-53.06	69.72	310
M <sub>Ma</sub>	37.37	70.69	-30.1	76.83	337
N <sub>Ma</sub>	15.0	0.0	0.0	0.0	0
W <sub>Ma</sub>	90.0	0.0	0.0	0.0	0
R <sub>CIE</sub>	39.92	58.74	27.99	65.07	25
J <sub>CIE</sub>	81.26	-2.88	71.56	71.62	92
G <sub>CIE</sub>	52.23	-42.41	13.6	44.55	162
B <sub>CIE</sub>	30.57	1.41	-46.46	46.49	272

Daten für Maximalfarbe (Ma):

$LAB^*LAB^*Ma$ : 64 19 74

$LAB^*LCH^*Ma$ : 64 77 76

$lab^*rgb^*Ma$ : 1.0 0.75 0.0

$lab^*olv^*Ma$ : 1.0 0.59 0.0

Dreiecks-Helligkeit  $i^*$

%Umfang

$u^*_{rel} = 88$

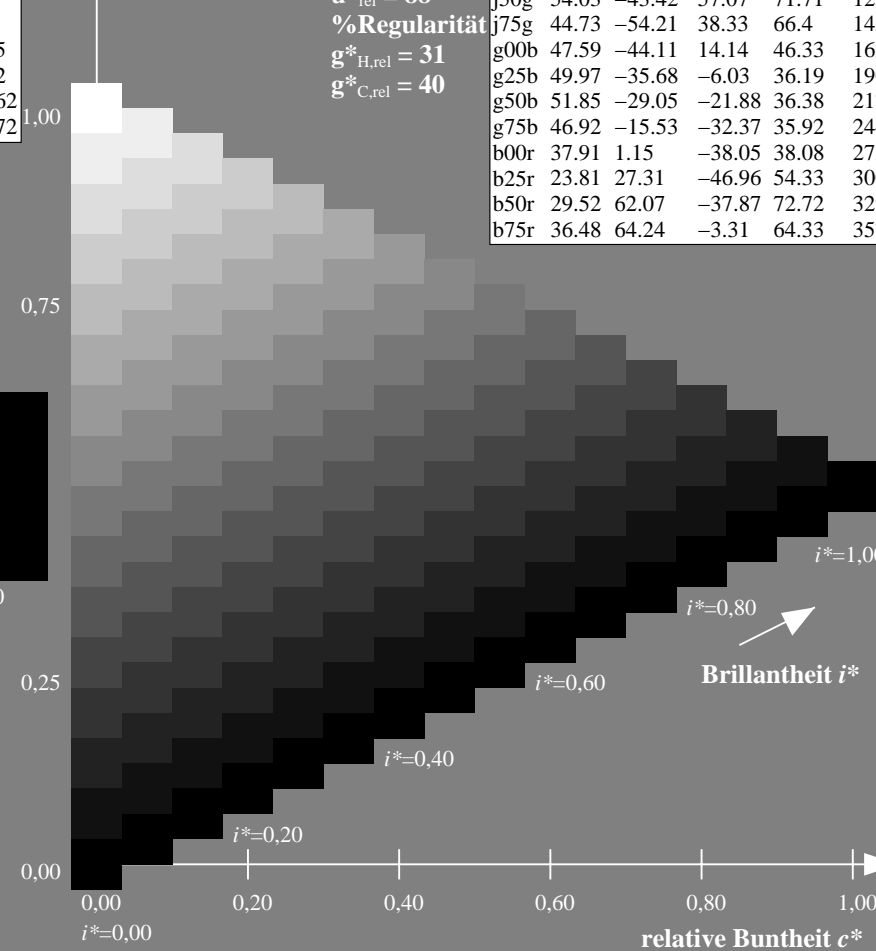
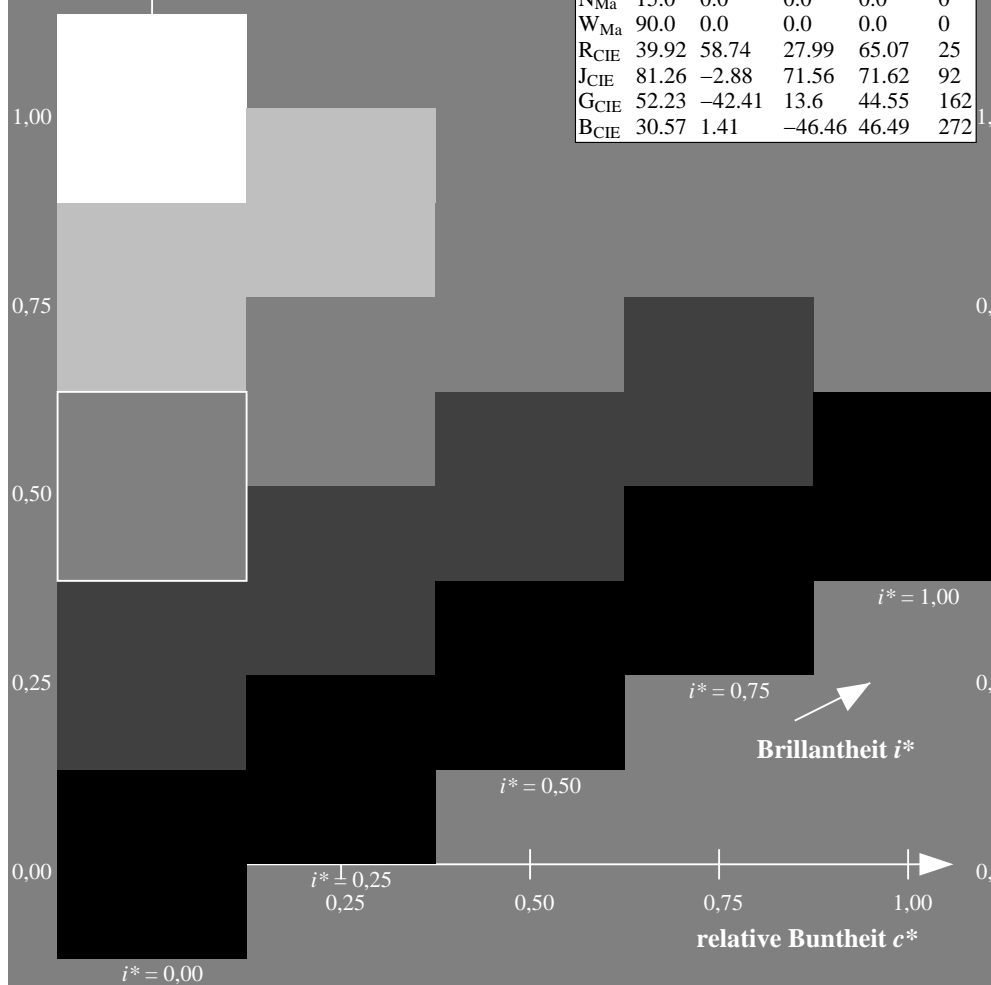
%Regularität

$g^*_{H,rel} = 31$

$g^*_{C,rel} = 40$

FRS15\_90a; adaptierte CIELAB-Daten

	$L^*=L_a^*$	$a_a^*$	$b_a^*$	$C_{ab,a}^*$	$h_{ab,a}^*$
r00j	35.47	56.92	27.12	63.05	25
r25j	39.12	49.04	44.45	66.19	42
r50j	50.64	35.19	58.33	68.13	59
r75j	64.01	19.11	74.45	76.87	76
j00g	83.18	-3.93	97.56	97.64	92
j25g	66.73	-26.86	74.66	79.35	110
j50g	54.03	-43.42	57.07	71.71	127
j75g	44.73	-54.21	38.33	66.4	145
g00b	47.59	-44.11	14.14	46.33	162
g25b	49.97	-35.68	-6.03	36.19	190
g50b	51.85	-29.05	-21.88	36.38	217
g75b	46.92	-15.53	-32.37	35.92	244
b00r	37.91	1.15	-38.05	38.08	272
b25r	23.81	27.31	-46.96	54.33	300
b50r	29.52	62.07	-37.87	72.72	329
b75r	36.48	64.24	-3.31	64.33	357



Ein und Ausgabe: Farbmetrisches Drucker-Reflektiv-System FRS15\_90a für relativen CIELAB-Buntton  $h^* = lab^*h^* = h_{ab}/360 = 92/360 = 0.256$

Daten für jede Farbe:

$lab^*ch^*$  und  $lab^*icu^*$

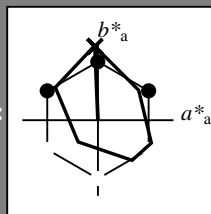
Elementar-Bunttoncontext:

$u^* = j00g$

Kontrastreduzierungsfaktor:

$c_R = 0.9$

Dreiecks-Helligkeit  $i^*$



FRS15\_90a; adaptierte CIELAB-Daten

	$L^*=L_a^*$	$a_a^*$	$b_a^*$	$C^*_{ab,a}$	$h^*_{ab,a}$
O <sub>Ma</sub>	35.06	53.93	39.55	66.88	36
Y <sub>Ma</sub>	83.77	-4.63	98.26	98.37	93
L <sub>Ma</sub>	44.13	-56.32	43.36	71.09	142
C <sub>Ma</sub>	52.66	-26.18	-28.74	38.89	228
V <sub>Ma</sub>	14.15	45.22	-53.06	69.72	310
M <sub>Ma</sub>	37.37	70.69	-30.1	76.83	337
N <sub>Ma</sub>	15.0	0.0	0.0	0.0	0
W <sub>Ma</sub>	90.0	0.0	0.0	0.0	0
R <sub>CIE</sub>	39.92	58.74	27.99	65.07	25
J <sub>CIE</sub>	81.26	-2.88	71.56	71.62	92
G <sub>CIE</sub>	52.23	-42.41	13.6	44.55	162
B <sub>CIE</sub>	30.57	1.41	-46.46	46.49	272

Daten für Maximalfarbe (Ma):

$LAB^*LAB^*_{Ma}$ : 83 -3 98

$LAB^*LCH^*_{Ma}$ : 83 98 92

$lab^*rgb^*_{Ma}$ : 1.0 1.0 0.0

$lab^*olv^*_{Ma}$ : 1.0 0.99 0.0

Dreiecks-Helligkeit  $i^*$

%Umfang

$u^*_{rel} = 88$

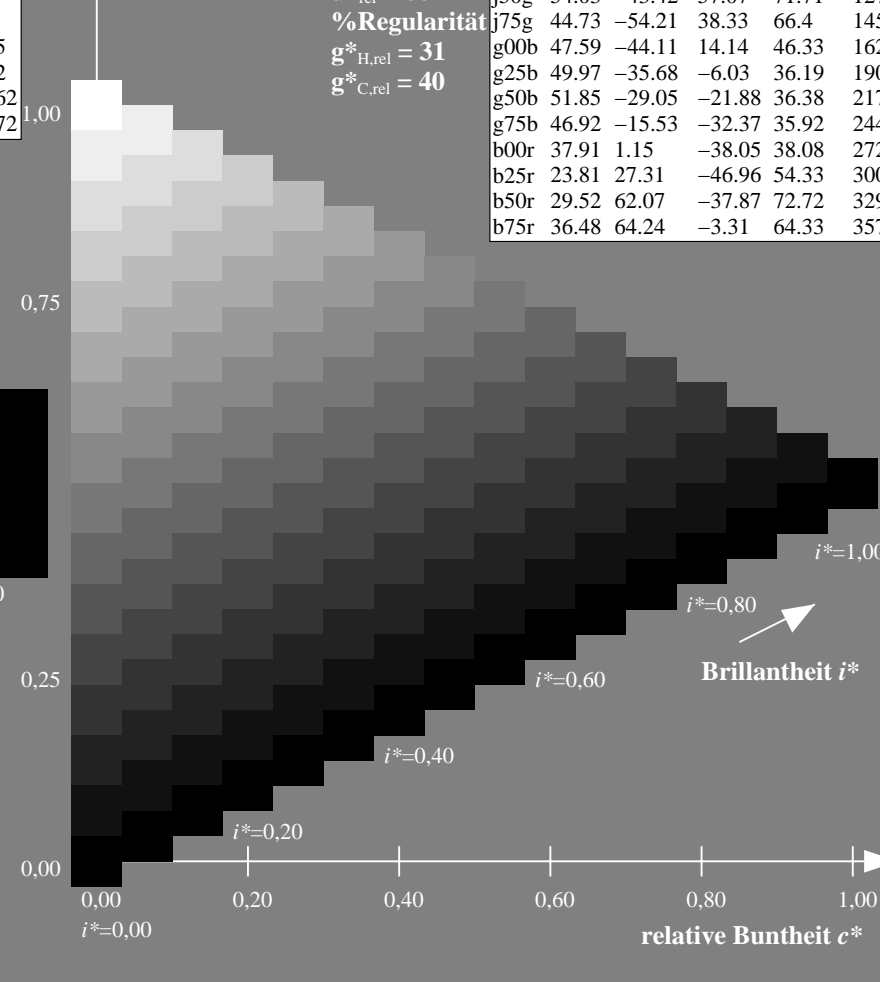
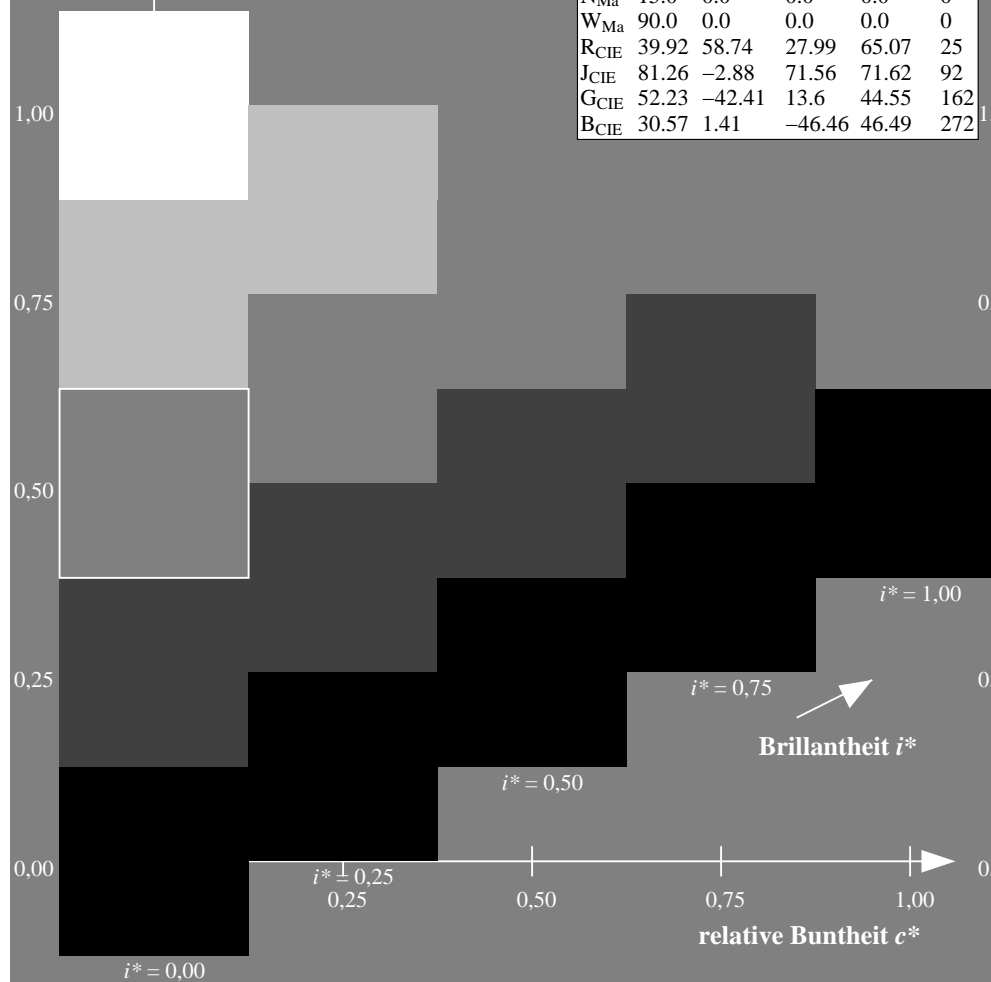
%Regularität

$g^*_{H,rel} = 31$

$g^*_{C,rel} = 40$

FRS15\_90a; adaptierte CIELAB-Daten

	$L^*=L_a^*$	$a_a^*$	$b_a^*$	$C^*_{ab,a}$	$h^*_{ab,a}$
r00j	35.47	56.92	27.12	63.05	25
r25j	39.12	49.04	44.45	66.19	42
r50j	50.64	35.19	58.33	68.13	59
r75j	64.01	19.11	74.45	76.87	76
j00g	83.18	-3.93	97.56	97.64	92
j25g	66.73	-26.86	74.66	79.35	110
j50g	54.03	-43.42	57.07	71.71	127
j75g	44.73	-54.21	38.33	66.4	145
g00b	47.59	-44.11	14.14	46.33	162
g25b	49.97	-35.68	-6.03	36.19	190
g50b	51.85	-29.05	-21.88	36.38	217
g75b	46.92	-15.53	-32.37	35.92	244
b00r	37.91	1.15	-38.05	38.08	272
b25r	23.81	27.31	-46.96	54.33	300
b50r	29.52	62.07	-37.87	72.72	329
b75r	36.48	64.24	-3.31	64.33	357



Ein und Ausgabe: Farbmetrisches Drucker-Reflektiv-System FRS15\_90a für relativen CIELAB-Buntton  $h^* = lab^*h^* = h_{ab}/360 = 110/360 = 0.305$

Daten für jede Farbe:

$lab^*ch^*$  und  $lab^*icu^*$

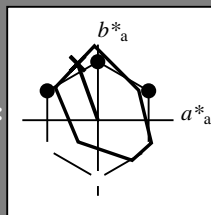
Elementar-Bunttoncontext:

$u^* = j25g$

Kontrastreduzierungsfaktor:

$c_R = 0.9$

Dreiecks-Helligkeit  $i^*$



FRS15\_90a; adaptierte CIELAB-Daten

	$L^*=L^*_a$	$a^*_a$	$b^*_a$	$C^*_{ab,a}$	$h^*_{ab,a}$
O <sub>Ma</sub>	35.06	53.93	39.55	66.88	36
Y <sub>Ma</sub>	83.77	-4.63	98.26	98.37	93
L <sub>Ma</sub>	44.13	-56.32	43.36	71.09	142
C <sub>Ma</sub>	52.66	-26.18	-28.74	38.89	228
V <sub>Ma</sub>	14.15	45.22	-53.06	69.72	310
M <sub>Ma</sub>	37.37	70.69	-30.1	76.83	337
N <sub>Ma</sub>	15.0	0.0	0.0	0.0	0
W <sub>Ma</sub>	90.0	0.0	0.0	0.0	0
R <sub>CIE</sub>	39.92	58.74	27.99	65.07	25
J <sub>CIE</sub>	81.26	-2.88	71.56	71.62	92
G <sub>CIE</sub>	52.23	-42.41	13.6	44.55	162
B <sub>CIE</sub>	30.57	1.41	-46.46	46.49	272

Daten für Maximalfarbe (Ma):

$LAB^*LAB^*_{Ma}$ : 67 -26 75

$LAB^*LCH^*_{Ma}$ : 67 79 110

$lab^*rgb^*_{Ma}$ : 0.75 1.0 0.0

$lab^*olv^*_{Ma}$ : 0.57 1.0 0.0

Dreiecks-Helligkeit  $i^*$

%Umfang

$u^*_{rel} = 88$

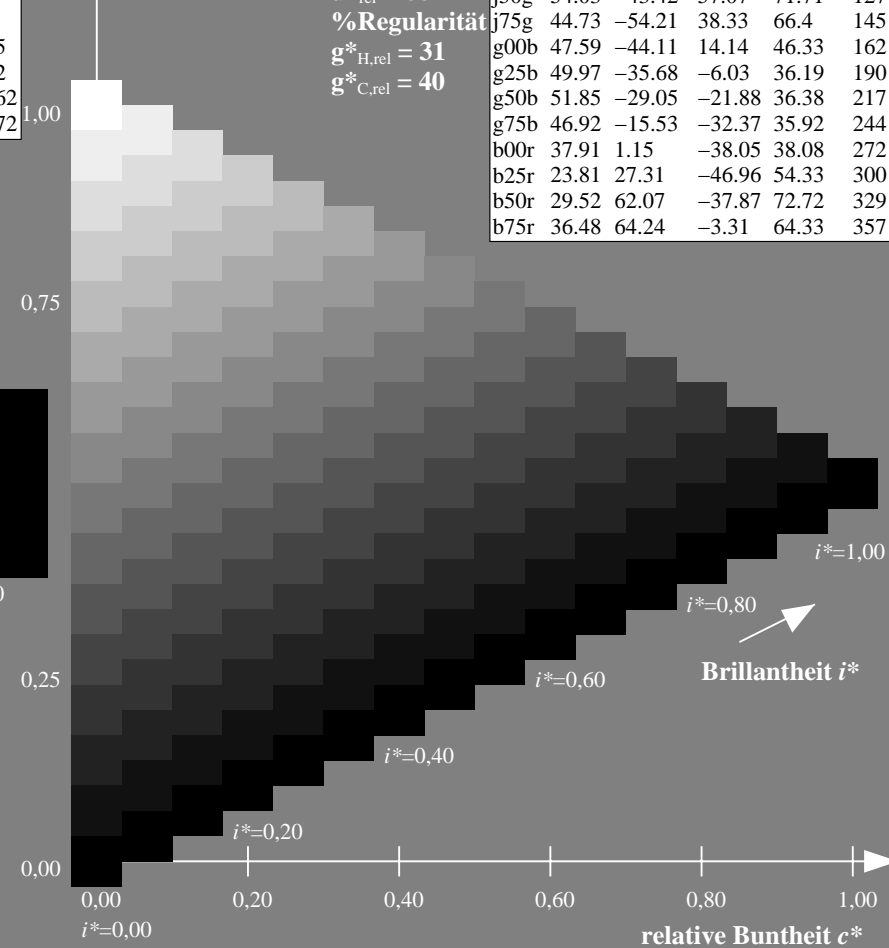
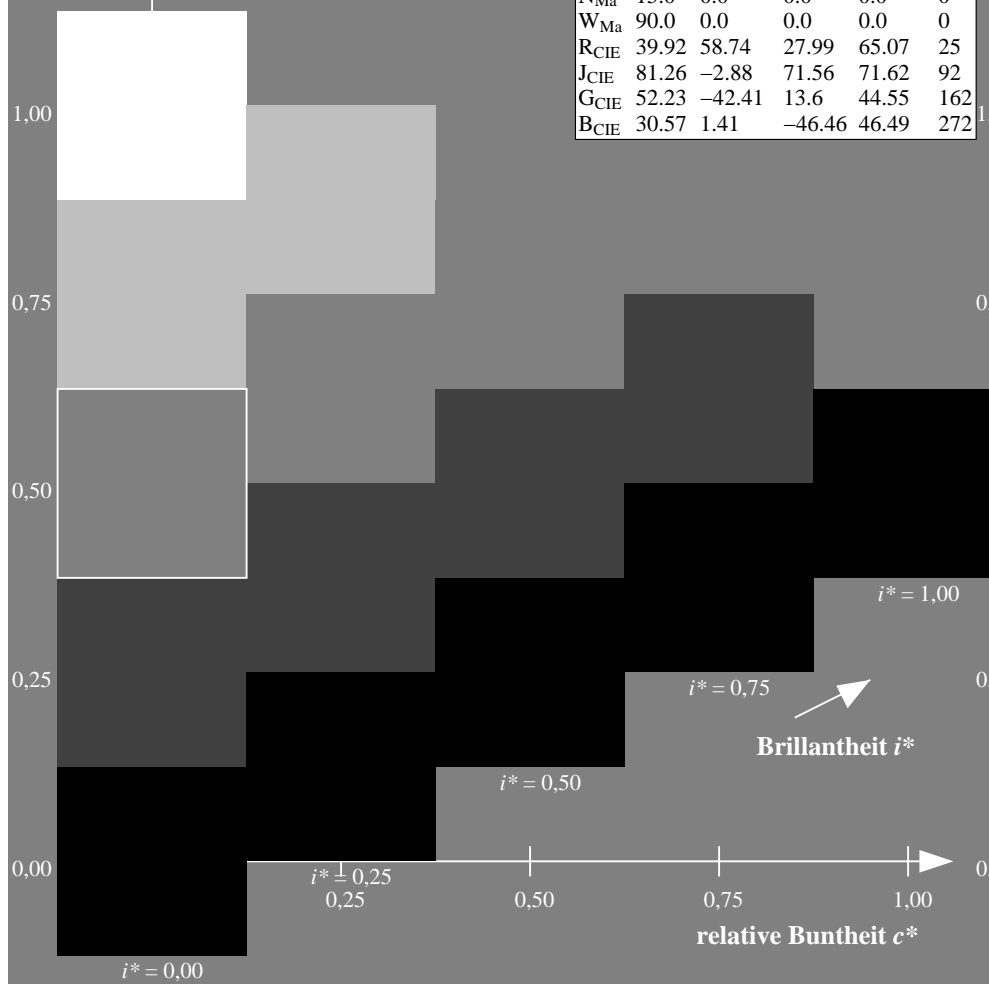
%Regularität

$g^*_{H,rel} = 31$

$g^*_{C,rel} = 40$

FRS15\_90a; adaptierte CIELAB-Daten

	$L^*=L^*_a$	$a^*_a$	$b^*_a$	$C^*_{ab,a}$	$h^*_{ab,a}$
r00j	35.47	56.92	27.12	63.05	25
r25j	39.12	49.04	44.45	66.19	42
r50j	50.64	35.19	58.33	68.13	59
r75j	64.01	19.11	74.45	76.87	76
j00g	83.18	-3.93	97.56	97.64	92
j25g	66.73	-26.86	74.66	79.35	110
j50g	54.03	-43.42	57.07	71.71	127
j75g	44.73	-54.21	38.33	66.4	145
g00b	47.59	-44.11	14.14	46.33	162
g25b	49.97	-35.68	-6.03	36.19	190
g50b	51.85	-29.05	-21.88	36.38	217
g75b	46.92	-15.53	-32.37	35.92	244
b00r	37.91	1.15	-38.05	38.08	272
b25r	23.81	27.31	-46.96	54.33	300
b50r	29.52	62.07	-37.87	72.72	329
b75r	36.48	64.24	-3.31	64.33	357



Ein und Ausgabe: Farbmetrisches Drucker-Reflektiv-System FRS15\_90a für relativen CIELAB-Buntton  $h^* = lab^*h^* = h_{ab}/360 = 127/360 = 0.354$

Daten für jede Farbe:

$lab^*ch^*$  und  $lab^*icu^*$

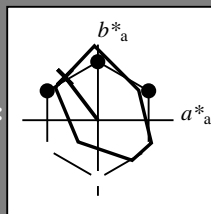
Elementar-Bunttoncontext:

$u^* = j50g$

Kontrastreduzierungsfaktor:

$c_R = 0.9$

Dreiecks-Helligkeit  $i^*$



FRS15\_90a; adaptierte CIELAB-Daten

	$L^*=L^*_a$	$a^*_a$	$b^*_a$	$C^*_{ab,a}$	$h^*_{ab,a}$
O <sub>Ma</sub>	35.06	53.93	39.55	66.88	36
Y <sub>Ma</sub>	83.77	-4.63	98.26	98.37	93
L <sub>Ma</sub>	44.13	-56.32	43.36	71.09	142
C <sub>Ma</sub>	52.66	-26.18	-28.74	38.89	228
V <sub>Ma</sub>	14.15	45.22	-53.06	69.72	310
M <sub>Ma</sub>	37.37	70.69	-30.1	76.83	337
N <sub>Ma</sub>	15.0	0.0	0.0	0.0	0
W <sub>Ma</sub>	90.0	0.0	0.0	0.0	0
R <sub>CIE</sub>	39.92	58.74	27.99	65.07	25
J <sub>CIE</sub>	81.26	-2.88	71.56	71.62	92
G <sub>CIE</sub>	52.23	-42.41	13.6	44.55	162
B <sub>CIE</sub>	30.57	1.41	-46.46	46.49	272

Daten für Maximalfarbe (Ma):

$LAB^*LAB^*_{Ma}$ : 54 -42 57

$LAB^*LCH^*_{Ma}$ : 54 72 127

$lab^*rgb^*_{Ma}$ : 0.5 1.0 0.0

$lab^*olv^*_{Ma}$ : 0.25 1.0 0.0

Dreiecks-Helligkeit  $i^*$

%Umfang

$u^*_{rel} = 88$

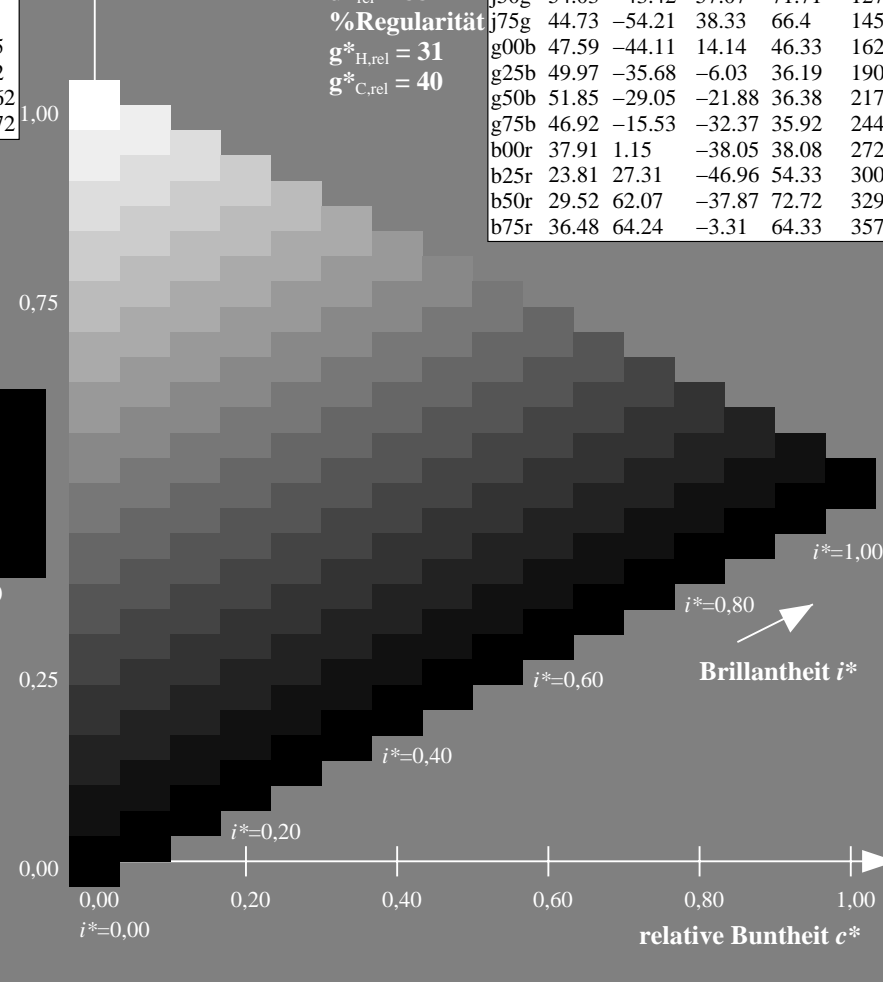
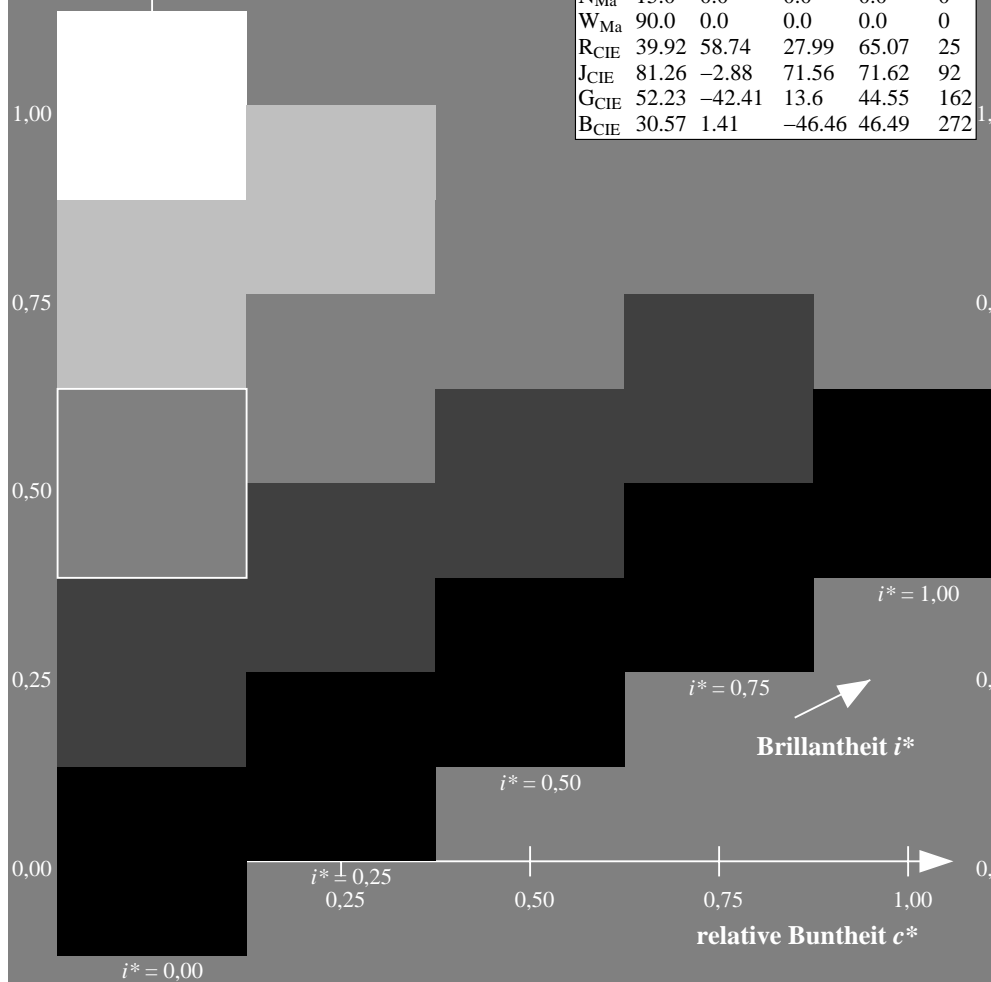
%Regularität

$g^*_{H,rel} = 31$

$g^*_{C,rel} = 40$

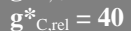
FRS15\_90a; adaptierte CIELAB-Daten

	$L^*=L^*_a$	$a^*_a$	$b^*_a$	$C^*_{ab,a}$	$h^*_{ab,a}$
r00j	35.47	56.92	27.12	63.05	25
r25j	39.12	49.04	44.45	66.19	42
r50j	50.64	35.19	58.33	68.13	59
r75j	64.01	19.11	74.45	76.87	76
j00g	83.18	-3.93	97.56	97.64	92
j25g	66.73	-26.86	74.66	79.35	110
j50g	54.03	-43.42	57.07	71.71	127
j75g	44.73	-54.21	38.33	66.4	145
g00b	47.59	-44.11	14.14	46.33	162
g25b	49.97	-35.68	-6.03	36.19	190
g50b	51.85	-29.05	-21.88	36.38	217
g75b	46.92	-15.53	-32.37	35.92	244
b00r	37.91	1.15	-38.05	38.08	272
b25r	23.81	27.31	-46.96	54.33	300
b50r	29.52	62.07	-37.87	72.72	329
b75r	36.48	64.24	-3.31	64.33	357

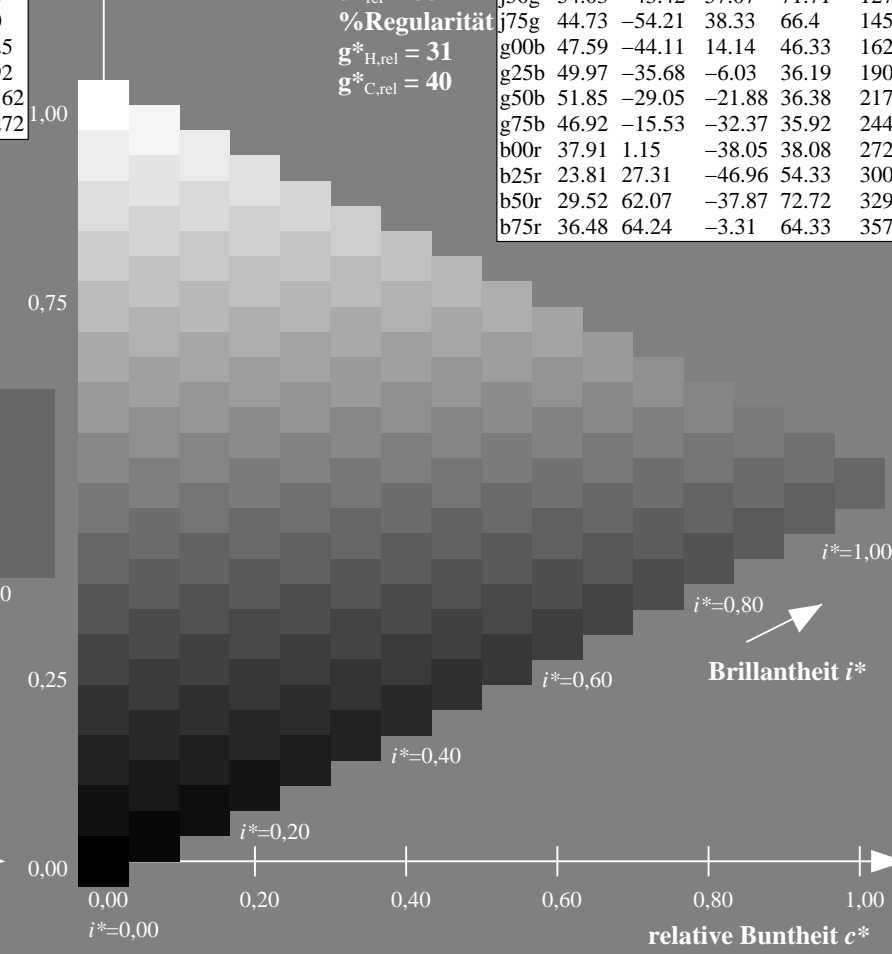




### Dreiecks-Helligkeit $t^*$

[illegible]

### Dreiecks-Helligkeit $t^*$


$$g^*_{C,rel} = 40$$


Eingabe: 000n / w / nnn0 / www set...  
Ausgabe: ->cmyn5\* setcmykcolor

BAM-Registrierung: 20080701-Dg71/10L/L71G00NP.PS/.PDF BAM-Material: Code=rha4ta  
Anwendung für Beurteilung und Messung von Drucker- oder Monitorsystemen

Ein und Ausgabe: Farbmetrisches Drucker-Reflektiv-System FRS15\_90a für relativen CIELAB-Buntton  $h^* = lab^*h^* = h_{ab}/360 = 190/360 = 0.527$

Daten für jede Farbe:

$lab^*tch^*$  und  $lab^*icu^*$

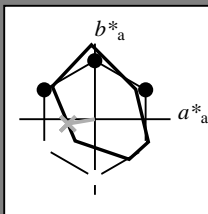
Elementar-Bunttoncontext:

$u^* = g25b$

Kontrastreduzierungsfaktor:

$c_R = 0.9$

Dreiecks-Helligkeit  $t^*$



FRS15\_90a; adaptierte CIELAB-Daten

	$L^*=L^*_a$	$a^*_a$	$b^*_a$	$C^*_{ab,a}$	$h^*_{ab,a}$
O <sub>Ma</sub>	35.06	53.93	39.55	66.88	36
Y <sub>Ma</sub>	83.77	-4.63	98.26	98.37	93
L <sub>Ma</sub>	44.13	-56.32	43.36	71.09	142
C <sub>Ma</sub>	52.66	-26.18	-28.74	38.89	228
V <sub>Ma</sub>	14.15	45.22	-53.06	69.72	310
M <sub>Ma</sub>	37.37	70.69	-30.1	76.83	337
N <sub>Ma</sub>	15.0	0.0	0.0	0.0	0
W <sub>Ma</sub>	90.0	0.0	0.0	0.0	0
R <sub>CIE</sub>	39.92	58.74	27.99	65.07	25
J <sub>CIE</sub>	81.26	-2.88	71.56	71.62	92
G <sub>CIE</sub>	52.23	-42.41	13.6	44.55	162
B <sub>CIE</sub>	30.57	1.41	-46.46	46.49	272

Daten für Maximalfarbe (Ma):

$LAB^*LAB^*_{Ma}$ : 50 -35 -5

$LAB^*LCH^*_{Ma}$ : 50 36 190

$lab^*rgb^*_{Ma}$ : 0.0 1.0 0.5

$lab^*olv^*_{Ma}$ : 0.0 1.0 0.69

Dreiecks-Helligkeit  $t^*$

%Umfang

$u^*_{rel} = 88$

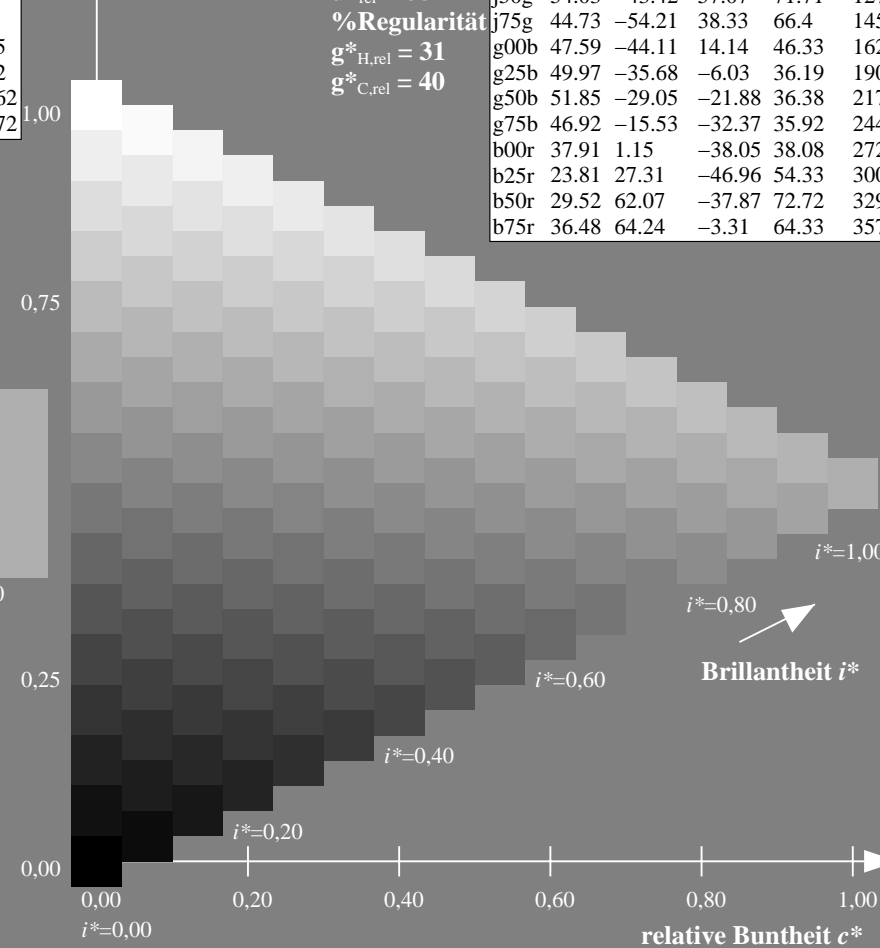
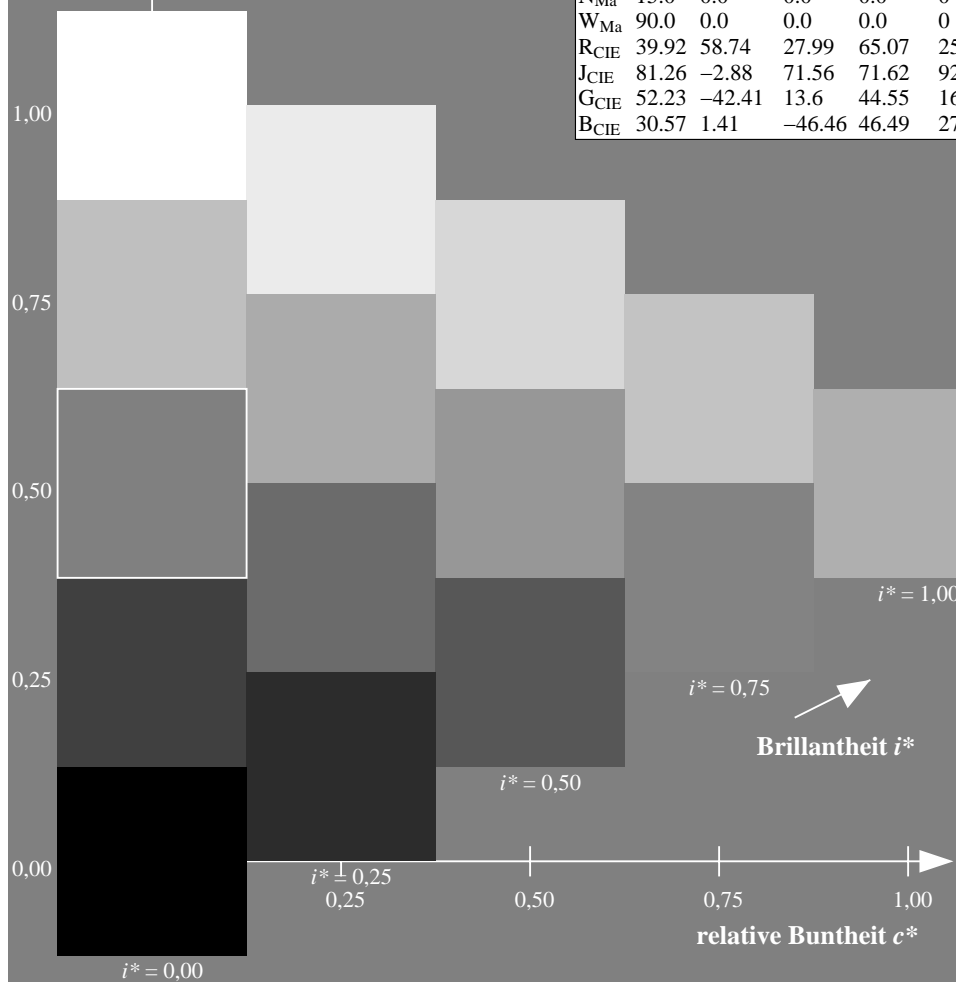
%Regularität

$g^*_{H,rel} = 31$

$g^*_{C,rel} = 40$

FRS15\_90a; adaptierte CIELAB-Daten

	$L^*=L^*_a$	$a^*_a$	$b^*_a$	$C^*_{ab,a}$	$h^*_{ab,a}$
r00j	35.47	56.92	27.12	63.05	25
r25j	39.12	49.04	44.45	66.19	42
r50j	50.64	35.19	58.33	68.13	59
r75j	64.01	19.11	74.45	76.87	76
j00g	83.18	-3.93	97.56	97.64	92
j25g	66.73	-26.86	74.66	79.35	110
j50g	54.03	-43.42	57.07	71.71	127
j75g	44.73	-54.21	38.33	66.4	145
g00b	47.59	-44.11	14.14	46.33	162
g25b	49.97	-35.68	-6.03	36.19	190
g50b	51.85	-29.05	-21.88	36.38	217
g75b	46.92	-15.53	-32.37	35.92	244
b00r	37.91	1.15	-38.05	38.08	272
b25r	23.81	27.31	-46.96	54.33	300
b50r	29.52	62.07	-37.87	72.72	329
b75r	36.48	64.24	-3.31	64.33	357



Ein und Ausgabe: Farbmetrisches Drucker-Reflektiv-System FRS15\_90a für relativen CIELAB-Buntton  $h^* = lab^*h^* = h_{ab}/360 = 217/360 = 0.603$

Daten für jede Farbe:

$lab^*ch^*$  und  $lab^*icu^*$

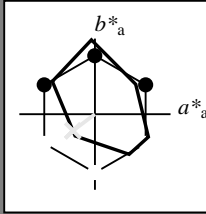
Elementar-Bunttonext:

$u^* = g50b$

Kontrastreduzierungsfaktor:

$c_R = 0.9$

Dreiecks-Helligkeit  $i^*$



FRS15_90a; adaptierte CIELAB-Daten					
	$L^*=L^*_a$	$a^*_a$	$b^*_a$	$C^*_{ab,a}$	$h^*_{ab,a}$
O <sub>Ma</sub>	35.06	53.93	39.55	66.88	36
Y <sub>Ma</sub>	83.77	-4.63	98.26	98.37	93
L <sub>Ma</sub>	44.13	-56.32	43.36	71.09	142
C <sub>Ma</sub>	52.66	-26.18	-28.74	38.89	228
V <sub>Ma</sub>	14.15	45.22	-53.06	69.72	310
M <sub>Ma</sub>	37.37	70.69	-30.1	76.83	337
N <sub>Ma</sub>	15.0	0.0	0.0	0.0	0
W <sub>Ma</sub>	90.0	0.0	0.0	0.0	0
R <sub>CIE</sub>	39.92	58.74	27.99	65.07	25
J <sub>CIE</sub>	81.26	-2.88	71.56	71.62	92
G <sub>CIE</sub>	52.23	-42.41	13.6	44.55	162
B <sub>CIE</sub>	30.57	1.41	-46.46	46.49	272

Daten für Maximalfarbe (Ma):

$LAB^*LAB^*_{Ma}$ : 52 -28 -21

$LAB^*LCH^*_{Ma}$ : 52 36 217

$lab^*rgb^*_{Ma}$ : 0.0 1.0 1.0

$lab^*olv^*_{Ma}$ : 0.0 1.0 0.9

Dreiecks-Helligkeit  $i^*$

%Umfang

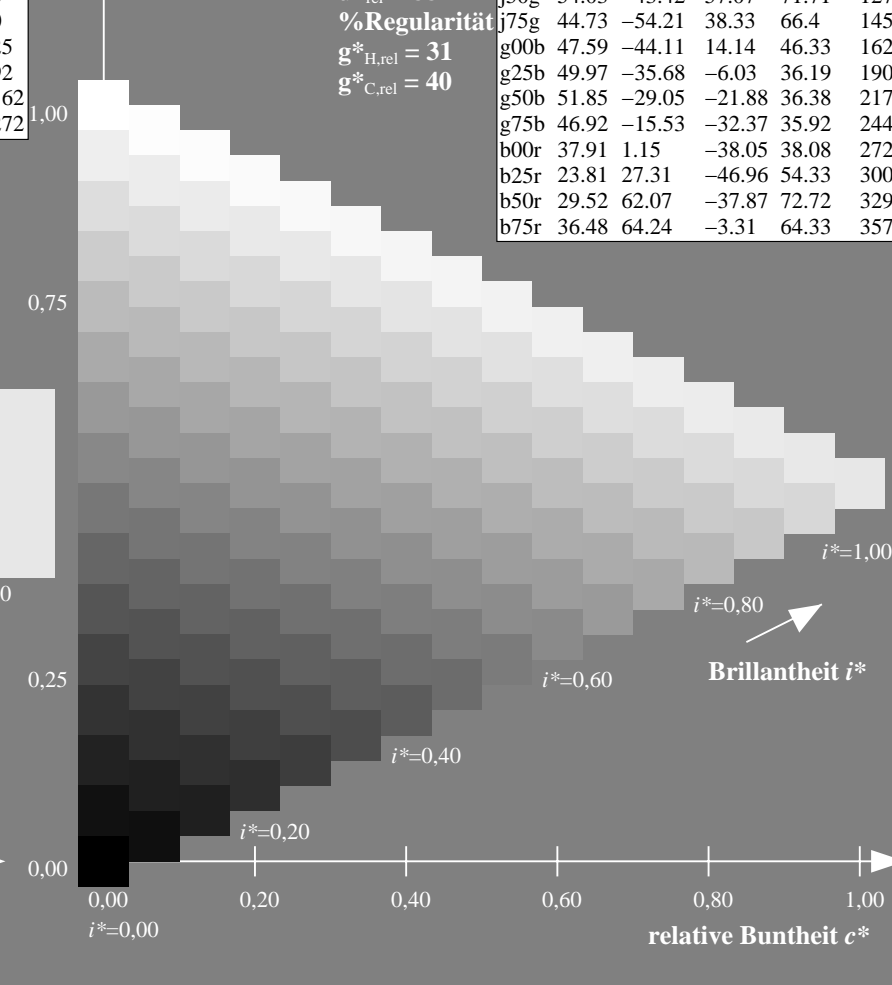
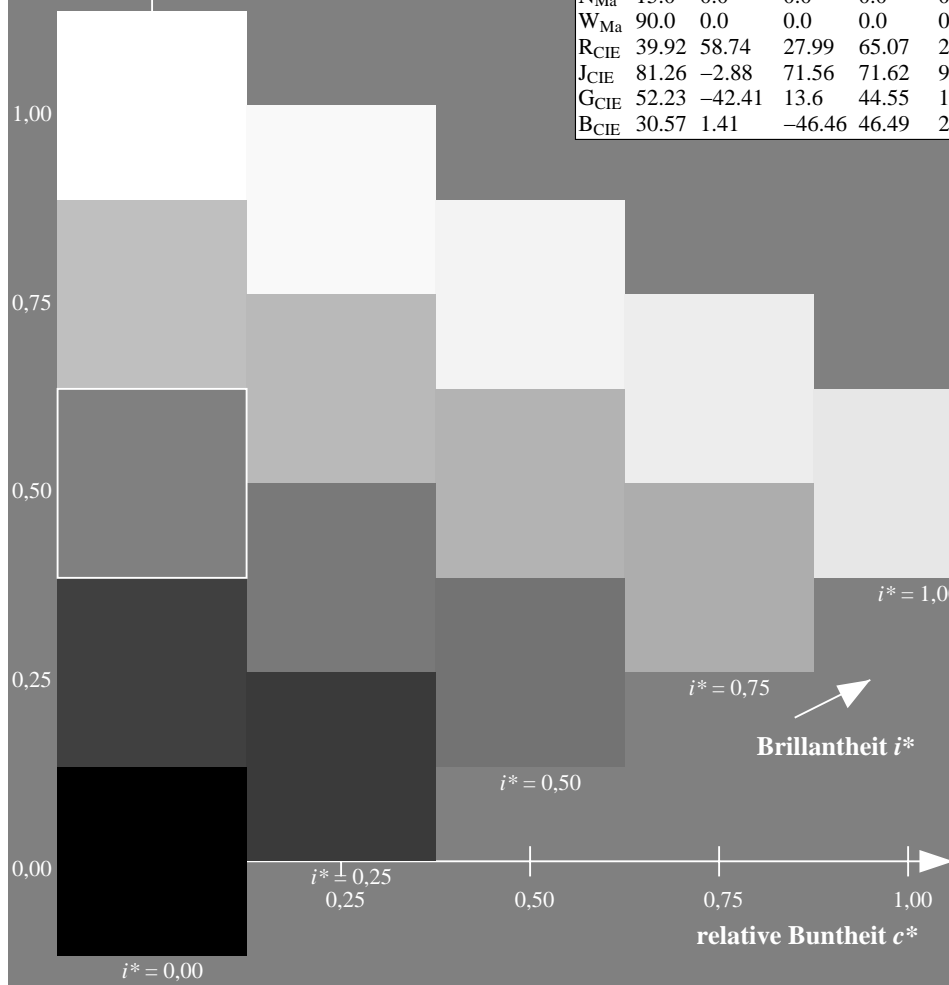
$u^*_{rel} = 88$

%Regularität

$g^*_{H,rel} = 31$

$g^*_{C,rel} = 40$

FRS15_90a; adaptierte CIELAB-Daten					
	$L^*=L^*_a$	$a^*_a$	$b^*_a$	$C^*_{ab,a}$	$h^*_{ab,a}$
r00j	35.47	56.92	27.12	63.05	25
r25j	39.12	49.04	44.45	66.19	42
r50j	50.64	35.19	58.33	68.13	59
r75j	64.01	19.11	74.45	76.87	76
j00g	83.18	-3.93	97.56	97.64	92
j25g	66.73	-26.86	74.66	79.35	110
j50g	54.03	-43.42	57.07	71.71	127
j75g	44.73	-54.21	38.33	66.4	145
g00b	47.59	-44.11	14.14	46.33	162
g25b	49.97	-35.68	-6.03	36.19	190
g50b	51.85	-29.05	-21.88	36.38	217
g75b	46.92	-15.53	-32.37	35.92	244
b00r	37.91	1.15	-38.05	38.08	272
b25r	23.81	27.31	-46.96	54.33	300
b50r	29.52	62.07	-37.87	72.72	329
b75r	36.48	64.24	-3.31	64.33	357



Ein und Ausgabe: Farbmetrisches Drucker-Reflektiv-System FRS15\_90a für relativen CIELAB-Buntton  $h^* = lab^*h^* = h_{ab}/360 = 244/360 = 0.679$

Daten für jede Farbe:

$lab^*ch^*$  und  $lab^*icu^*$

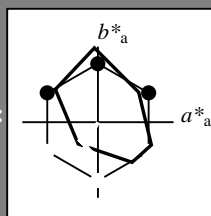
Elementar-Bunttonext:

$u^* = g75b$

Kontrastreduzierungsfaktor:

$c_R = 0.9$

Dreiecks-Helligkeit  $i^*$



FRS15\_90a; adaptierte CIELAB-Daten

	$L^*=L_a^*$	$a_a^*$	$b_a^*$	$C_{ab,a}^*$	$h_{ab,a}^*$
O <sub>Ma</sub>	35.06	53.93	39.55	66.88	36
Y <sub>Ma</sub>	83.77	-4.63	98.26	98.37	93
L <sub>Ma</sub>	44.13	-56.32	43.36	71.09	142
C <sub>Ma</sub>	52.66	-26.18	-28.74	38.89	228
V <sub>Ma</sub>	14.15	45.22	-53.06	69.72	310
M <sub>Ma</sub>	37.37	70.69	-30.1	76.83	337
N <sub>Ma</sub>	15.0	0.0	0.0	0.0	0
W <sub>Ma</sub>	90.0	0.0	0.0	0.0	0
R <sub>CIE</sub>	39.92	58.74	27.99	65.07	25
J <sub>CIE</sub>	81.26	-2.88	71.56	71.62	92
G <sub>CIE</sub>	52.23	-42.41	13.6	44.55	162
B <sub>CIE</sub>	30.57	1.41	-46.46	46.49	272

Daten für Maximalfarbe (Ma):

$LAB^*LAB^*_{Ma}$ : 47 -15 -31

$LAB^*LCH^*_{Ma}$ : 47 36 244

$lab^*rgb^*_{Ma}$ : 0.0 0.5 1.0

$lab^*olv^*_{Ma}$ : 0.0 0.85 1.0

Dreiecks-Helligkeit  $i^*$

%Umfang

$u^*_{rel} = 88$

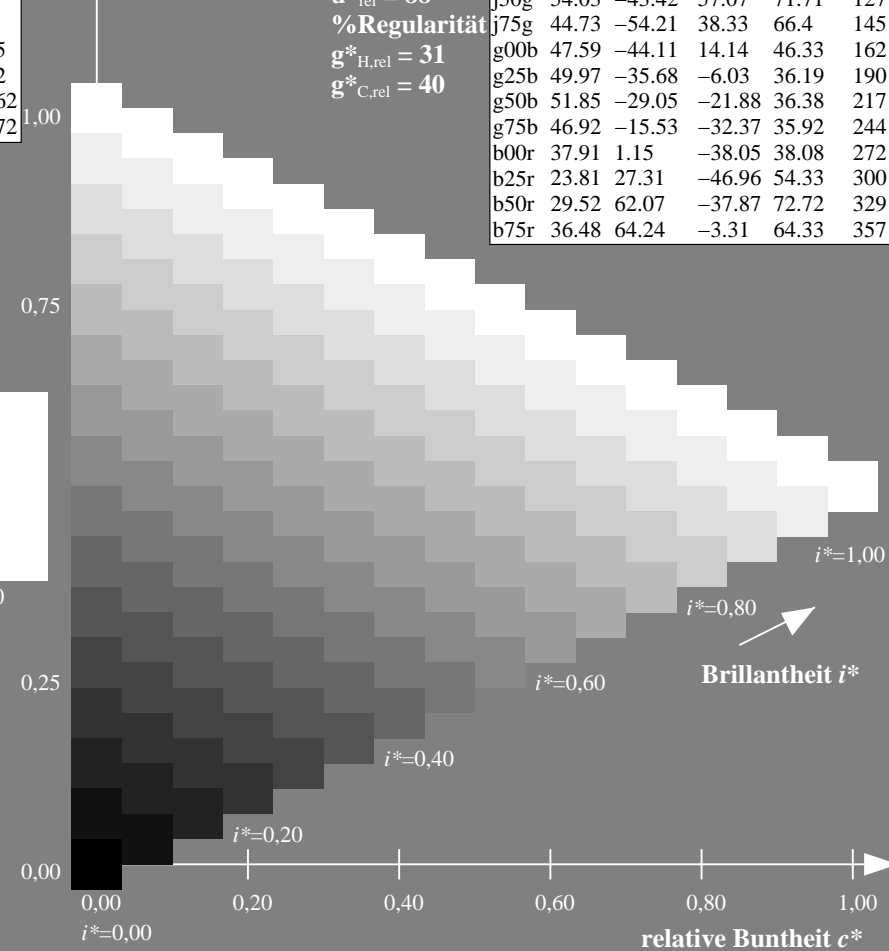
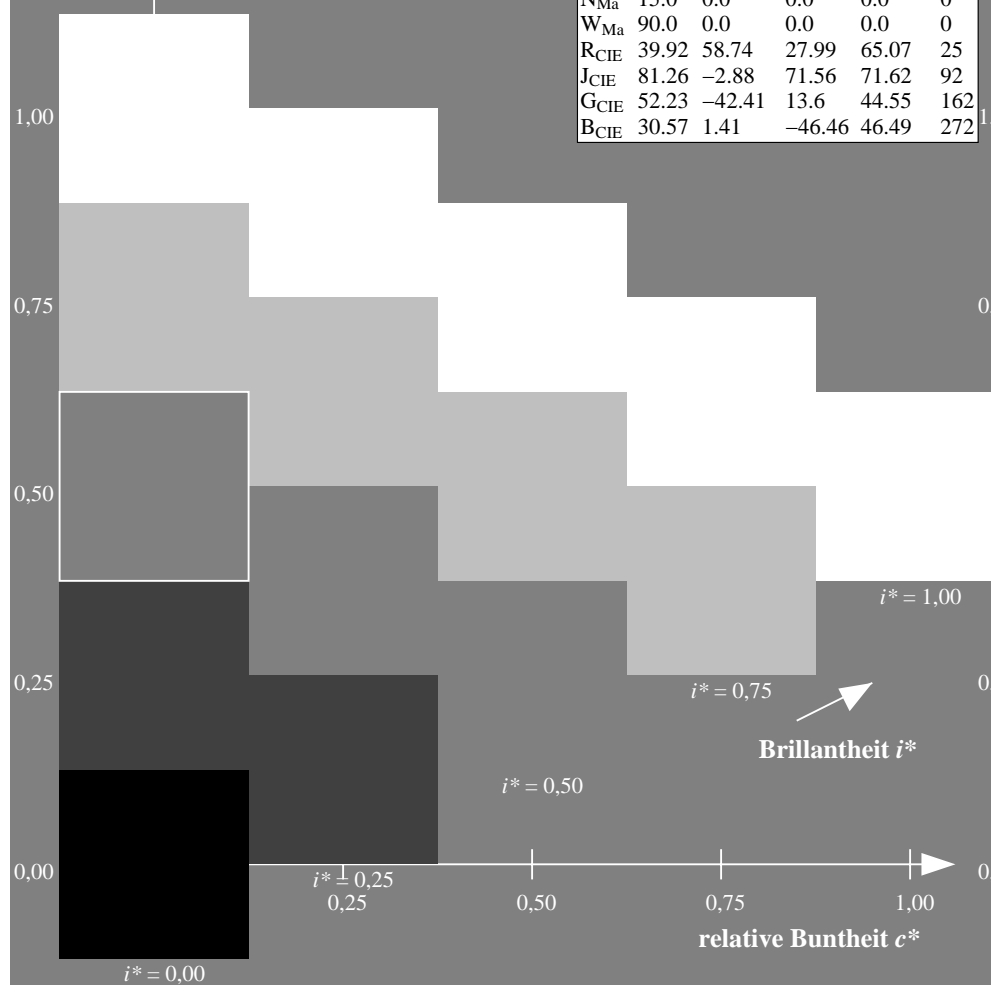
%Regularität

$g^*_{H,rel} = 31$

$g^*_{C,rel} = 40$

FRS15\_90a; adaptierte CIELAB-Daten

	$L^*=L_a^*$	$a_a^*$	$b_a^*$	$C_{ab,a}^*$	$h_{ab,a}^*$
r00j	35.47	56.92	27.12	63.05	25
r25j	39.12	49.04	44.45	66.19	42
r50j	50.64	35.19	58.33	68.13	59
r75j	64.01	19.11	74.45	76.87	76
j00g	83.18	-3.93	97.56	97.64	92
j25g	66.73	-26.86	74.66	79.35	110
j50g	54.03	-43.42	57.07	71.71	127
j75g	44.73	-54.21	38.33	66.4	145
g00b	47.59	-44.11	14.14	46.33	162
g25b	49.97	-35.68	-6.03	36.19	190
g50b	51.85	-29.05	-21.88	36.38	217
g75b	46.92	-15.53	-32.37	35.92	244
b00r	37.91	1.15	-38.05	38.08	272
b25r	23.81	27.31	-46.96	54.33	300
b50r	29.52	62.07	-37.87	72.72	329
b75r	36.48	64.24	-3.31	64.33	357



Siehe ähnliche Dateien: <http://www.ps.bam.de/Dg71/>; [www.ps.bam.de/Dg71/10L/L71G00NP.PS/](http://www.ps.bam.de/Dg71/10L/L71G00NP.PS/). PDF BAM-Material: Code=rh4ta  
Technische Information: <http://www.ps.bam.de> Version 2.1, io=1,1, ColSpx=0

Ein und Ausgabe: Farbmetrisches Drucker-Reflektiv-System FRS15\_90a für relativen CIELAB-Buntton  $h^* = lab^*h^* = h_{ab}/360 = 272/360 = 0.755$

Daten für jede Farbe:

$lab^*ch^*$  und  $lab^*icu^*$

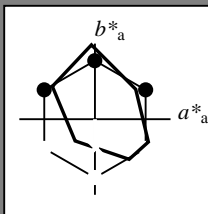
Elementar-Bunttontext:

$u^* = b00r$

Kontrastreduzierungsfaktor:

$c_R = 0.9$

Dreiecks-Helligkeit  $i^*$



FRS15\_90a; adaptierte CIELAB-Daten

	$L^*=L^*_a$	$a^*_a$	$b^*_a$	$C^*_{ab,a}$	$h^*_{ab,a}$
O <sub>Ma</sub>	35.06	53.93	39.55	66.88	36
Y <sub>Ma</sub>	83.77	-4.63	98.26	98.37	93
L <sub>Ma</sub>	44.13	-56.32	43.36	71.09	142
C <sub>Ma</sub>	52.66	-26.18	-28.74	38.89	228
V <sub>Ma</sub>	14.15	45.22	-53.06	69.72	310
M <sub>Ma</sub>	37.37	70.69	-30.1	76.83	337
N <sub>Ma</sub>	15.0	0.0	0.0	0.0	0
W <sub>Ma</sub>	90.0	0.0	0.0	0.0	0
R <sub>CIE</sub>	39.92	58.74	27.99	65.07	25
J <sub>CIE</sub>	81.26	-2.88	71.56	71.62	92
G <sub>CIE</sub>	52.23	-42.41	13.6	44.55	162
B <sub>CIE</sub>	30.57	1.41	-46.46	46.49	272

Daten für Maximalfarbe (Ma):

$LAB^*LAB^*_{Ma}$ : 38 1 -37

$LAB^*LCH^*_{Ma}$ : 38 38 272

$lab^*rgb^*_{Ma}$ : 0.0 0.0 1.0

$lab^*olv^*_{Ma}$ : 0.0 0.62 1.0

Dreiecks-Helligkeit  $i^*$

%Umfang

$u^*_{rel} = 88$

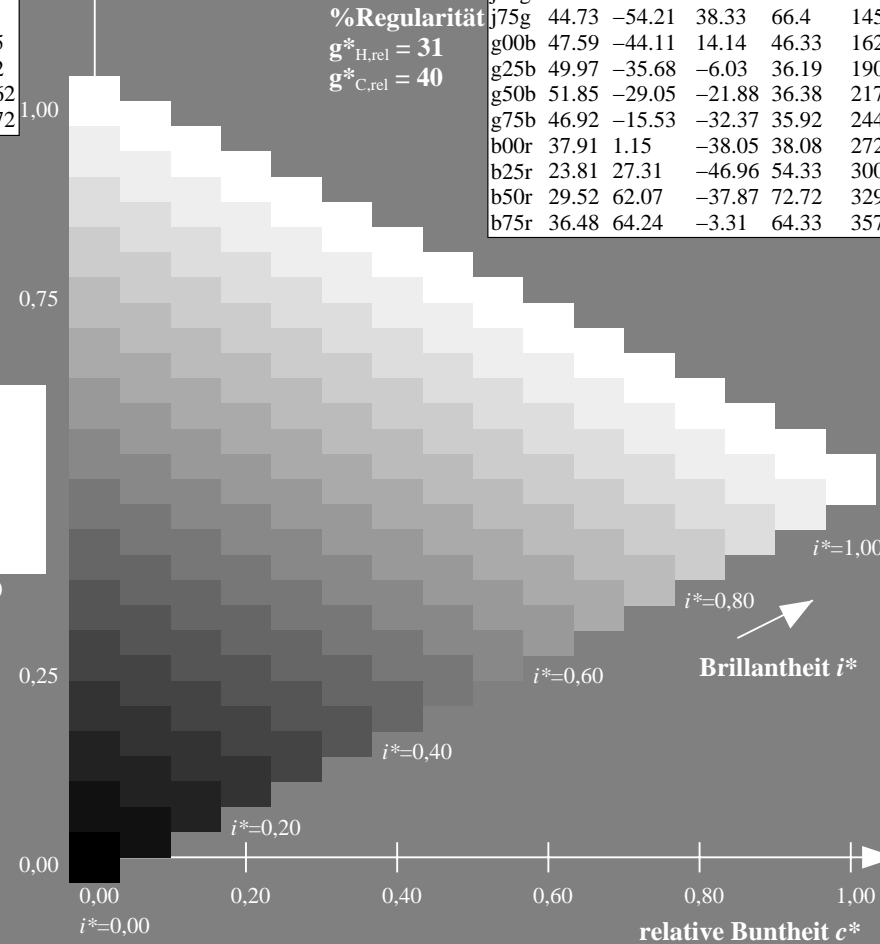
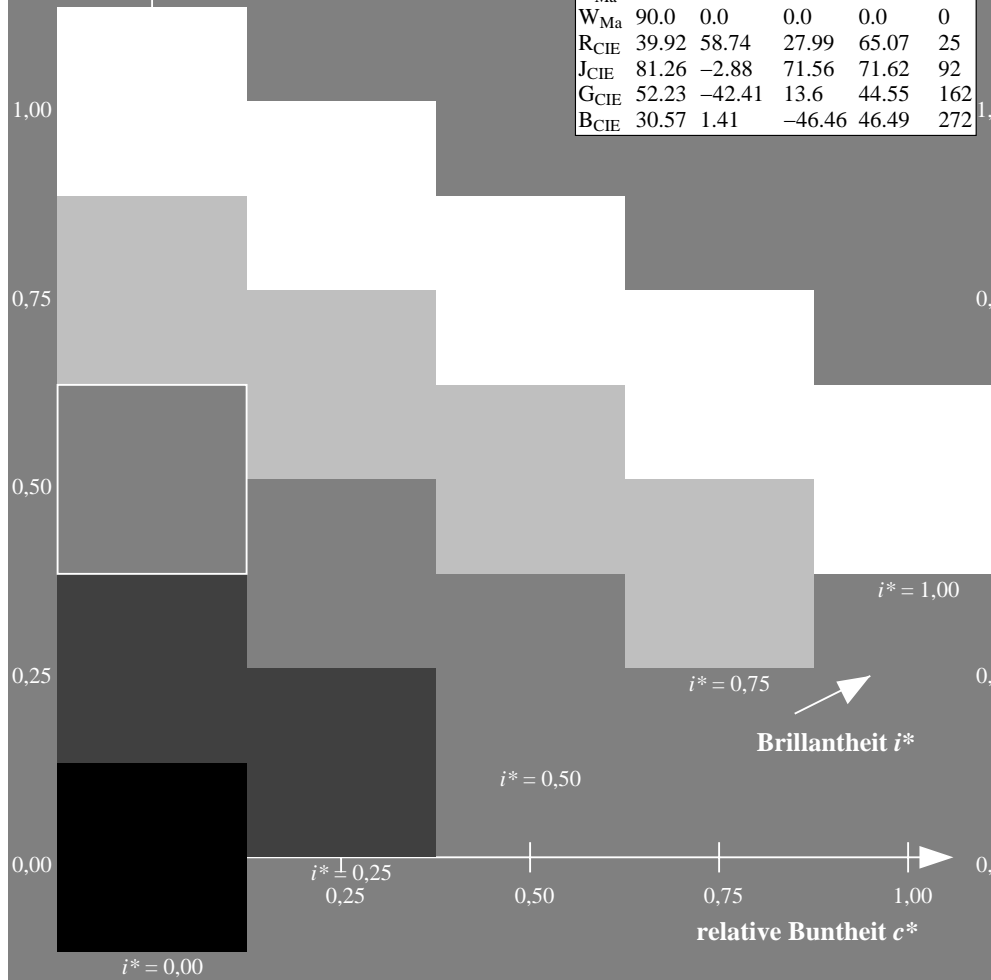
%Regularität

$g^*_{H,rel} = 31$

$g^*_{C,rel} = 40$

FRS15\_90a; adaptierte CIELAB-Daten

	$L^*=L^*_a$	$a^*_a$	$b^*_a$	$C^*_{ab,a}$	$h^*_{ab,a}$
r00j	35.47	56.92	27.12	63.05	25
r25j	39.12	49.04	44.45	66.19	42
r50j	50.64	35.19	58.33	68.13	59
r75j	64.01	19.11	74.45	76.87	76
j00g	83.18	-3.93	97.56	97.64	92
j25g	66.73	-26.86	74.66	79.35	110
j50g	54.03	-43.42	57.07	71.71	127
j75g	44.73	-54.21	38.33	66.4	145
g00b	47.59	-44.11	14.14	46.33	162
g25b	49.97	-35.68	-6.03	36.19	190
g50b	51.85	-29.05	-21.88	36.38	217
g75b	46.92	-15.53	-32.37	35.92	244
b00r	37.91	1.15	-38.05	38.08	272
b25r	23.81	27.31	-46.96	54.33	300
b50r	29.52	62.07	-37.87	72.72	329
b75r	36.48	64.24	-3.31	64.33	357



BAM-Registrierung: 20080701-Dg71/10L/L71G00NP.PS/ .PDF BAM-Material: Code=rh4ta  
Anwendung für Beurteilung und Messung von Drucker- oder Monitorsystemen



Siehe ähnliche Dateien: <http://www.ps.bam.de/Dg71/>; [www.ps.bam.de/Dg71/10L/L71G00NP.PS/](http://www.ps.bam.de/Dg71/10L/L71G00NP.PS/).PDF  
Technische Information: <http://www.ps.bam.de> Version 2.1, io=1,1, ColSpx=0

Ein und Ausgabe: Farbmetrisches Drucker-Reflektiv-System FRS15\_90a für relativen CIELAB-Buntton  $h^* = lab^*h^* = h_{ab}/360 = 300/360 = 0.834$

Daten für jede Farbe:

$lab^*ch^*$  und  $lab^*icu^*$

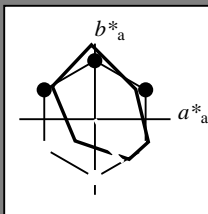
Elementar-Bunttontext:

$u^* = b25r$

Kontrastreduzierungsfaktor:

$c_R = 0.9$

Dreiecks-Helligkeit  $i^*$



FRS15\_90a; adaptierte CIELAB-Daten

	$L^*=L_a^*$	$a_a^*$	$b_a^*$	$C^*_{ab,a}$	$h^*_{ab,a}$
O <sub>Ma</sub>	35.06	53.93	39.55	66.88	36
Y <sub>Ma</sub>	83.77	-4.63	98.26	98.37	93
L <sub>Ma</sub>	44.13	-56.32	43.36	71.09	142
C <sub>Ma</sub>	52.66	-26.18	-28.74	38.89	228
V <sub>Ma</sub>	14.15	45.22	-53.06	69.72	310
M <sub>Ma</sub>	37.37	70.69	-30.1	76.83	337
N <sub>Ma</sub>	15.0	0.0	0.0	0.0	0
W <sub>Ma</sub>	90.0	0.0	0.0	0.0	0
R <sub>CIE</sub>	39.92	58.74	27.99	65.07	25
J <sub>CIE</sub>	81.26	-2.88	71.56	71.62	92
G <sub>CIE</sub>	52.23	-42.41	13.6	44.55	162
B <sub>CIE</sub>	30.57	1.41	-46.46	46.49	272

Daten für Maximalfarbe (Ma):

$LAB^*LAB^*_{Ma}$ : 24 27 -46

$LAB^*LCH^*_{Ma}$ : 24 54 300

$lab^*rgb^*_{Ma}$ : 0.5 0.0 1.0

$lab^*olv^*_{Ma}$ : 0.0 0.25 1.0

Dreiecks-Helligkeit  $i^*$

%Umfang

$u^*_{rel} = 88$

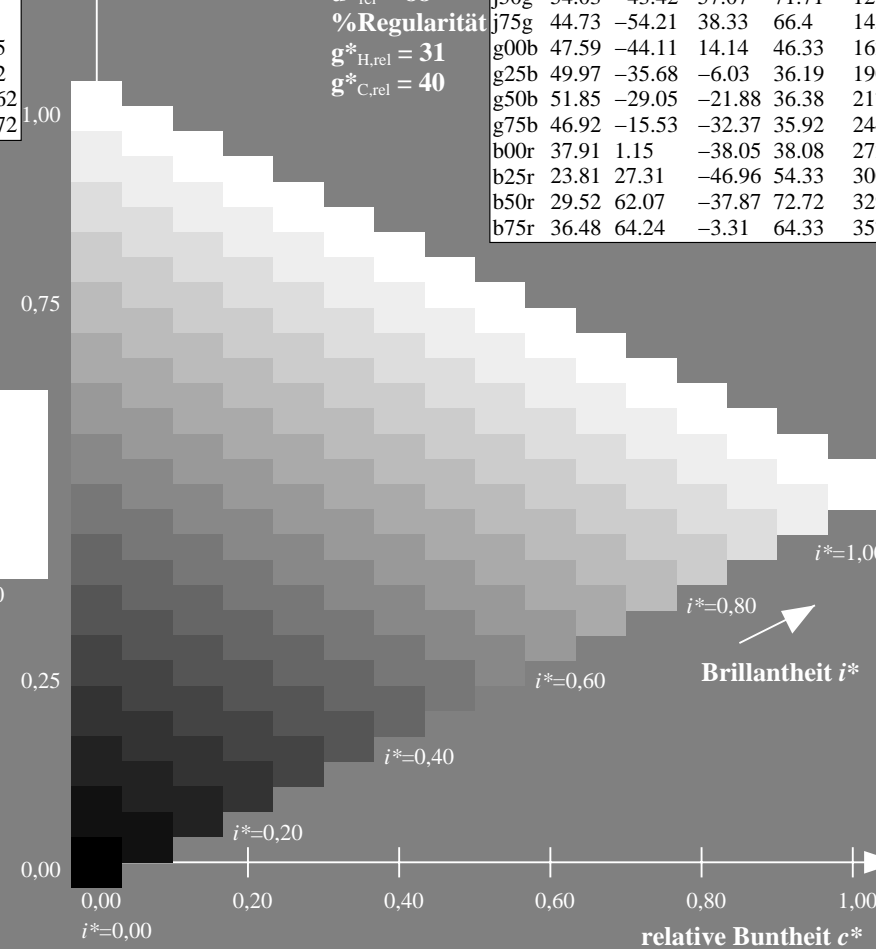
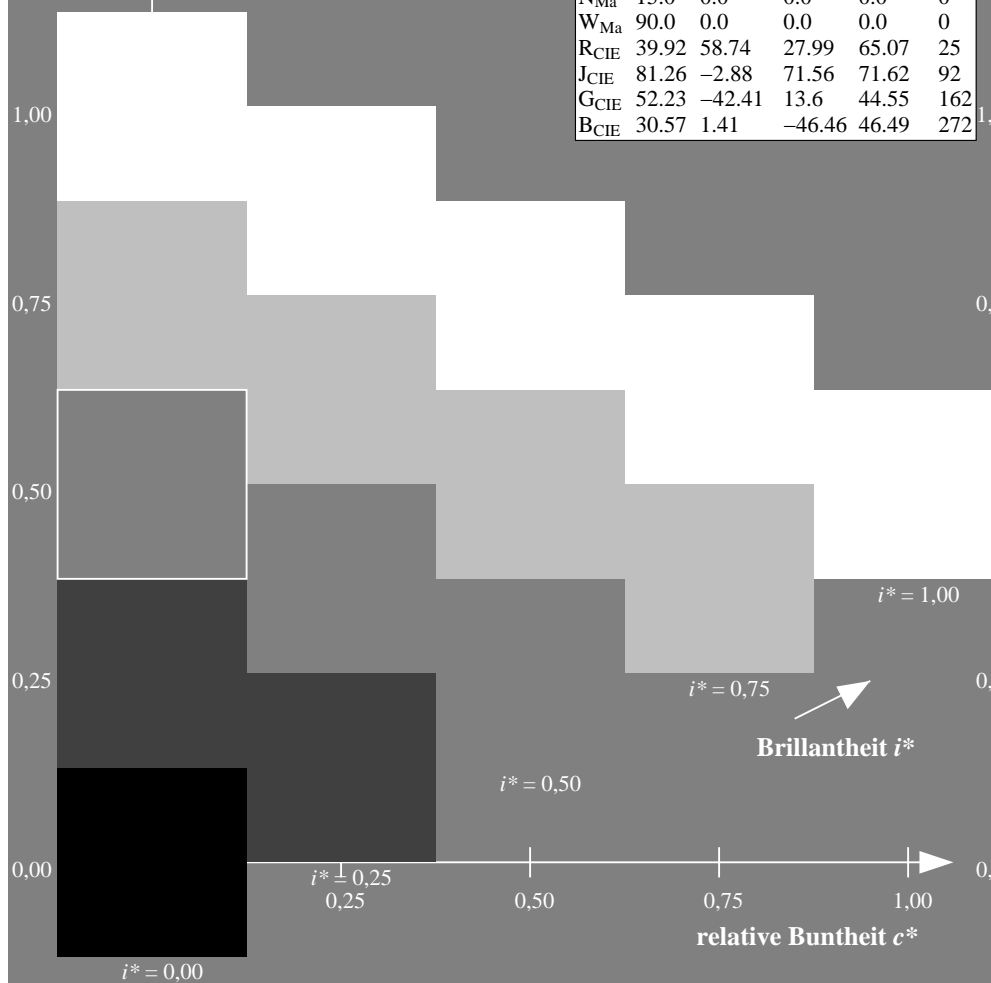
%Regularität

$g^*_{H,rel} = 31$

$g^*_{C,rel} = 40$

FRS15\_90a; adaptierte CIELAB-Daten

	$L^*=L_a^*$	$a_a^*$	$b_a^*$	$C^*_{ab,a}$	$h^*_{ab,a}$
r00j	35.47	56.92	27.12	63.05	25
r25j	39.12	49.04	44.45	66.19	42
r50j	50.64	35.19	58.33	68.13	59
r75j	64.01	19.11	74.45	76.87	76
j00g	83.18	-3.93	97.56	97.64	92
j25g	66.73	-26.86	74.66	79.35	110
j50g	54.03	-43.42	57.07	71.71	127
j75g	44.73	-54.21	38.33	66.4	145
g00b	47.59	-44.11	14.14	46.33	162
g25b	49.97	-35.68	-6.03	36.19	190
g50b	51.85	-29.05	-21.88	36.38	217
g75b	46.92	-15.53	-32.37	35.92	244
b00r	37.91	1.15	-38.05	38.08	272
b25r	23.81	27.31	-46.96	54.33	300
b50r	29.52	62.07	-37.87	72.72	329
b75r	36.48	64.24	-3.31	64.33	357



Ein und Ausgabe: Farbmetrisches Drucker-Reflektiv-System FRS15\_90a für relativen CIELAB-Buntton  $h^* = lab^*h^* = h_{ab}/360 = 329/360 = 0.913$

Daten für jede Farbe:

$lab^*ch^*$  und  $lab^*icu^*$

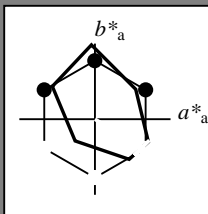
Elementar-Bunttontext:

$u^* = b50r$

Kontrastreduzierungsfaktor:

$c_R = 0.9$

Dreiecks-Helligkeit  $i^*$



FRS15\_90a; adaptierte CIELAB-Daten

	$L^*=L_a^*$	$a_a^*$	$b_a^*$	$C_{ab,a}^*$	$h_{ab,a}^*$
O <sub>Ma</sub>	35.06	53.93	39.55	66.88	36
Y <sub>Ma</sub>	83.77	-4.63	98.26	98.37	93
L <sub>Ma</sub>	44.13	-56.32	43.36	71.09	142
C <sub>Ma</sub>	52.66	-26.18	-28.74	38.89	228
V <sub>Ma</sub>	14.15	45.22	-53.06	69.72	310
M <sub>Ma</sub>	37.37	70.69	-30.1	76.83	337
N <sub>Ma</sub>	15.0	0.0	0.0	0.0	0
W <sub>Ma</sub>	90.0	0.0	0.0	0.0	0
R <sub>CIE</sub>	39.92	58.74	27.99	65.07	25
J <sub>CIE</sub>	81.26	-2.88	71.56	71.62	92
G <sub>CIE</sub>	52.23	-42.41	13.6	44.55	162
B <sub>CIE</sub>	30.57	1.41	-46.46	46.49	272

Daten für Maximalfarbe (Ma):

$LAB^*LAB^*_{Ma}$ : 30 62 -37

$LAB^*LCH^*_{Ma}$ : 30 73 329

$lab^*rgb^*_{Ma}$ : 1.0 0.0 1.0

$lab^*olv^*_{Ma}$ : 0.66 0.0 1.0

Dreiecks-Helligkeit  $i^*$

%Umfang

$u^*_{rel} = 88$

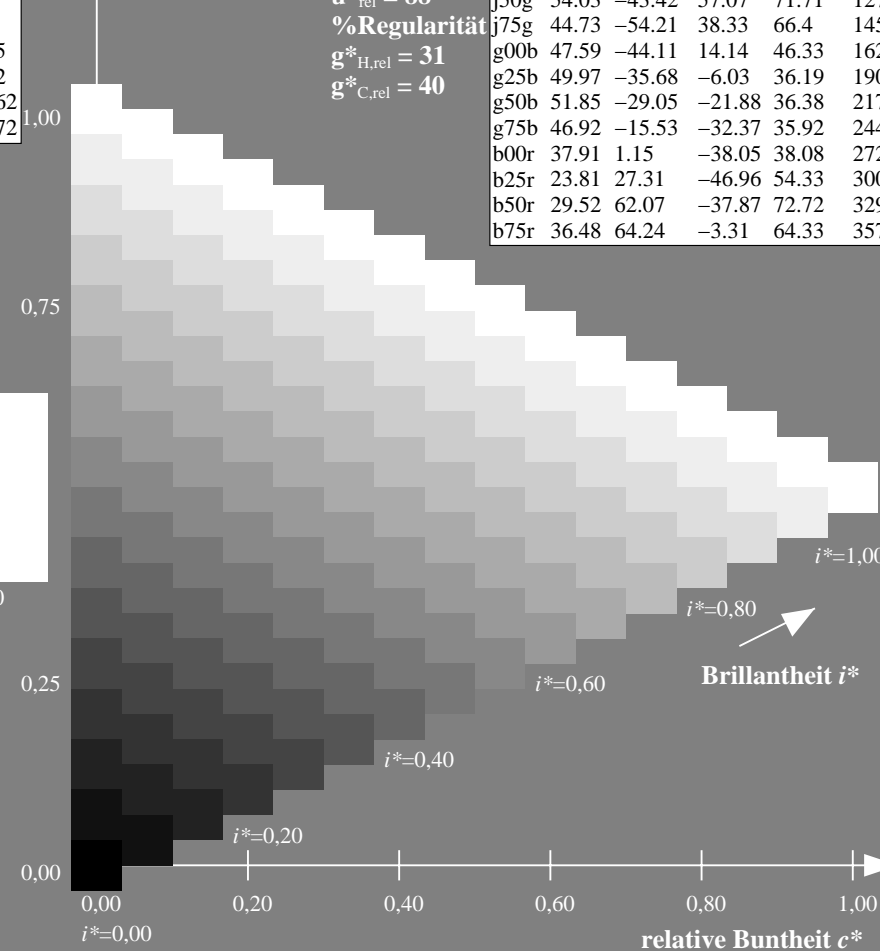
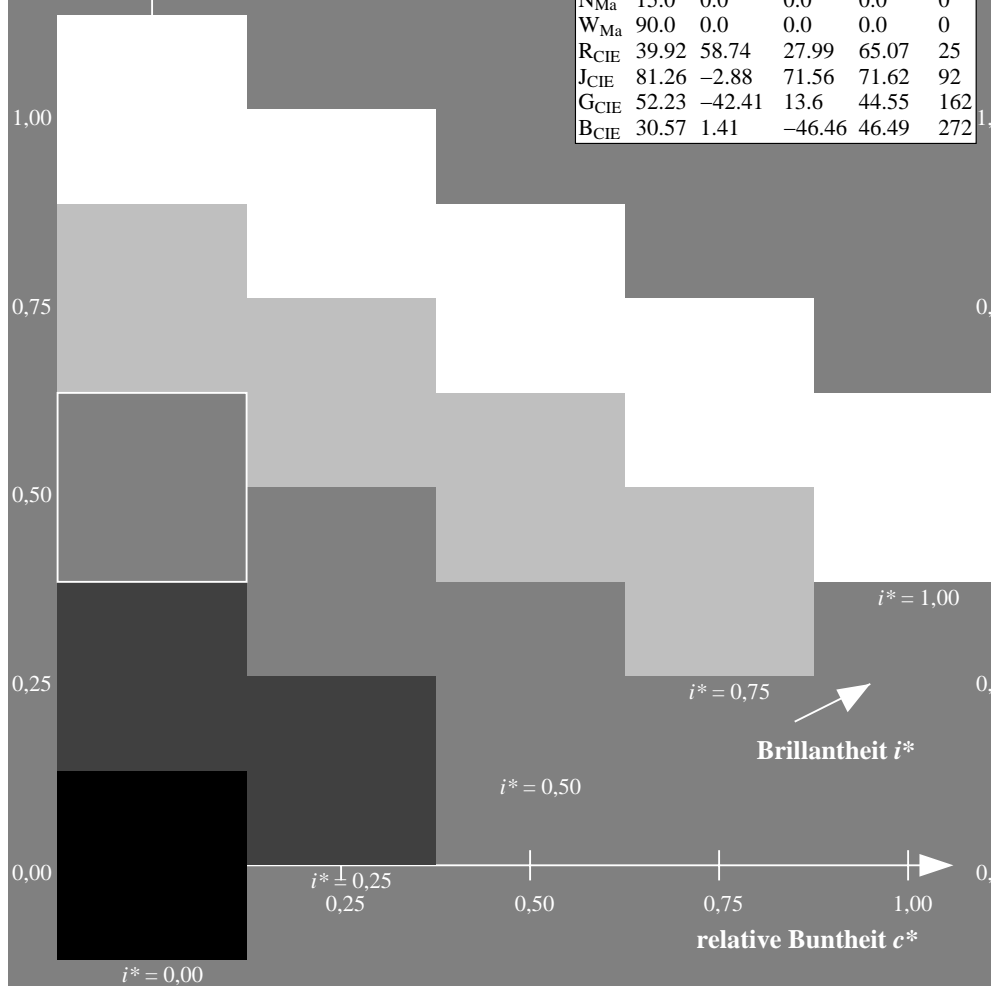
%Regularität

$g^*_{H,rel} = 31$

$g^*_{C,rel} = 40$

FRS15\_90a; adaptierte CIELAB-Daten

	$L^*=L_a^*$	$a_a^*$	$b_a^*$	$C_{ab,a}^*$	$h_{ab,a}^*$
r00j	35.47	56.92	27.12	63.05	25
r25j	39.12	49.04	44.45	66.19	42
r50j	50.64	35.19	58.33	68.13	59
r75j	64.01	19.11	74.45	76.87	76
j00g	83.18	-3.93	97.56	97.64	92
j25g	66.73	-26.86	74.66	79.35	110
j50g	54.03	-43.42	57.07	71.71	127
j75g	44.73	-54.21	38.33	66.4	145
g00b	47.59	-44.11	14.14	46.33	162
g25b	49.97	-35.68	-6.03	36.19	190
g50b	51.85	-29.05	-21.88	36.38	217
g75b	46.92	-15.53	-32.37	35.92	244
b00r	37.91	1.15	-38.05	38.08	272
b25r	23.81	27.31	-46.96	54.33	300
b50r	29.52	62.07	-37.87	72.72	329
b75r	36.48	64.24	-3.31	64.33	357



Ein und Ausgabe: Farbmetrisches Drucker-Reflektiv-System FRS15\_90a für relativen CIELAB-Buntton  $h^* = lab^*h^* = h_{ab}/360 = 357/360 = 0.992$

Daten für jede Farbe:

$lab^*tch^*$  und  $lab^*icu^*$

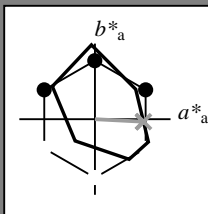
Elementar-Bunttontext:

$u^* = b75r$

Kontrastreduzierungsfaktor:

$c_R = 0.9$

Dreiecks-Helligkeit  $t^*$



FRS15\_90a; adaptierte CIELAB-Daten

	$L^*=L^*_a$	$a^*_a$	$b^*_a$	$C^*_{ab,a}$	$h^*_{ab,a}$
O <sub>Ma</sub>	35.06	53.93	39.55	66.88	36
Y <sub>Ma</sub>	83.77	-4.63	98.26	98.37	93
L <sub>Ma</sub>	44.13	-56.32	43.36	71.09	142
C <sub>Ma</sub>	52.66	-26.18	-28.74	38.89	228
V <sub>Ma</sub>	14.15	45.22	-53.06	69.72	310
M <sub>Ma</sub>	37.37	70.69	-30.1	76.83	337
N <sub>Ma</sub>	15.0	0.0	0.0	0.0	0
W <sub>Ma</sub>	90.0	0.0	0.0	0.0	0
R <sub>CIE</sub>	39.92	58.74	27.99	65.07	25
J <sub>CIE</sub>	81.26	-2.88	71.56	71.62	92
G <sub>CIE</sub>	52.23	-42.41	13.6	44.55	162
B <sub>CIE</sub>	30.57	1.41	-46.46	46.49	272

Daten für Maximalfarbe (Ma):

$LAB^*LAB^*_{Ma}$ : 36 64 -2

$LAB^*LCH^*_{Ma}$ : 36 64 357

$lab^*rgb^*_{Ma}$ : 1.0 0.0 0.5

$lab^*olv^*_{Ma}$ : 1.0 0.0 0.62

Dreiecks-Helligkeit  $t^*$

%Umfang

$u^*_{rel} = 88$

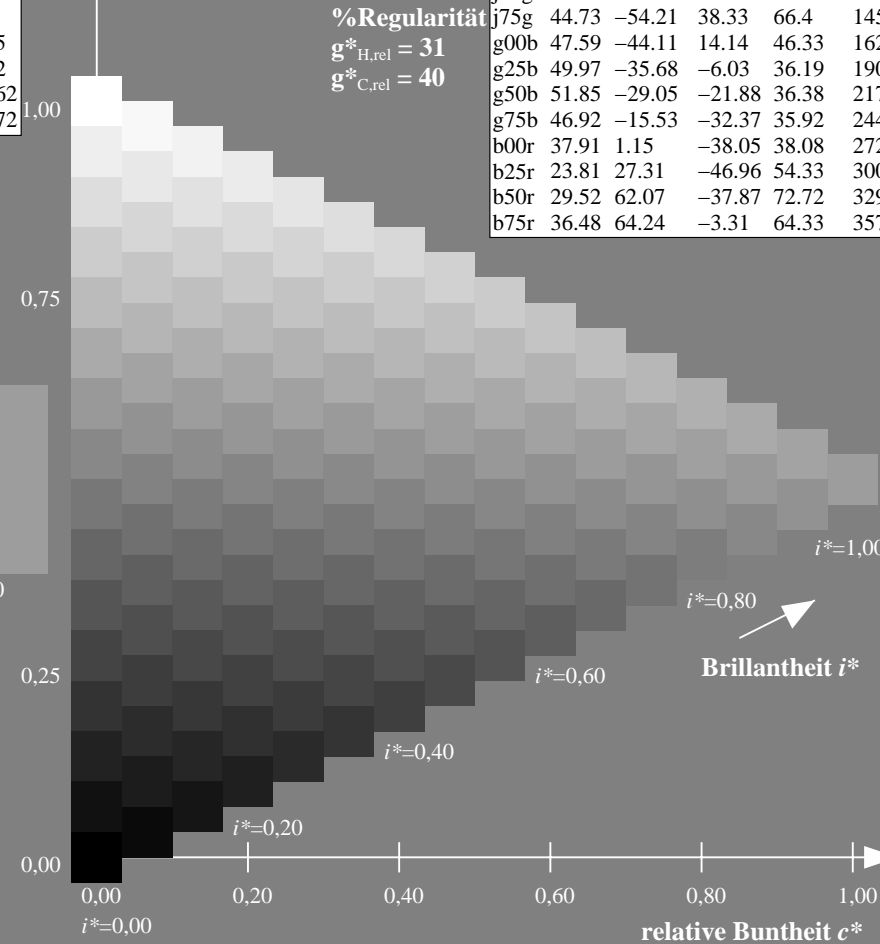
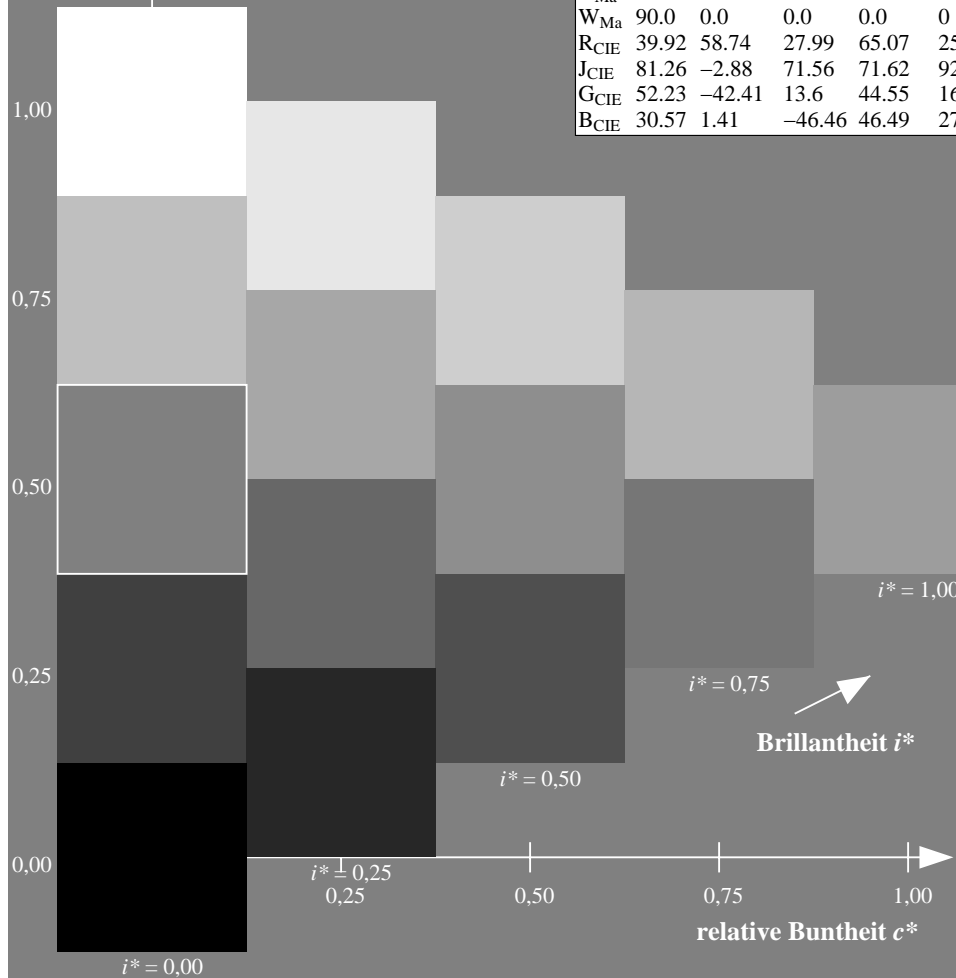
%Regularität

$g^*_{H,rel} = 31$

$g^*_{C,rel} = 40$

FRS15\_90a; adaptierte CIELAB-Daten

	$L^*=L^*_a$	$a^*_a$	$b^*_a$	$C^*_{ab,a}$	$h^*_{ab,a}$
r00j	35.47	56.92	27.12	63.05	25
r25j	39.12	49.04	44.45	66.19	42
r50j	50.64	35.19	58.33	68.13	59
r75j	64.01	19.11	74.45	76.87	76
j00g	83.18	-3.93	97.56	97.64	92
j25g	66.73	-26.86	74.66	79.35	110
j50g	54.03	-43.42	57.07	71.71	127
j75g	44.73	-54.21	38.33	66.4	145
g00b	47.59	-44.11	14.14	46.33	162
g25b	49.97	-35.68	-6.03	36.19	190
g50b	51.85	-29.05	-21.88	36.38	217
g75b	46.92	-15.53	-32.37	35.92	244
b00r	37.91	1.15	-38.05	38.08	272
b25r	23.81	27.31	-46.96	54.33	300
b50r	29.52	62.07	-37.87	72.72	329
b75r	36.48	64.24	-3.31	64.33	357



Siehe ähnliche Dateien: <http://www.ps.bam.de/Dg71/>; [www.ps.bam.de/Dg71/10L/L71G00NP.PS/.PDF](http://www.ps.bam.de/Dg71/10L/L71G00NP.PS/.PDF) BAM-Material: Code=rh4ta  
Technische Information: <http://www.ps.bam.de> Version 2.1, io=1,1, ColSpx=0

